

MINISTERUL EDUCAȚIEI SI ÎNVĂȚAMINTULUI
INSTITUTUL POLITEHNIC "TRAIAN VUIA" TIMIȘOARA
FACULTATEA DE MECANICA

ING. PETRU SURU

COMANDA ADAPTIVA DUPA AUTOVIBRATII
LA STRUNGUURI

TEZA DE DOCTORAT

BIBLIOTECA CENTRALĂ
UNIVERSITATEA "POLITEHNICA"
TIMIȘOARA

CONDUCATOR STIINȚIFIC
PROF.DR.ING.EUGEN DODON

- 1980 -

INSTITUTUL POLITEHNIC TIMIȘOARA

BIBLIOTECĂ

361 G

C U P R I N S

	pag.
Cap.1. INTRODUCERE.....	5
Cap.2. COMENZILE ADAPTIVE ALE MASINILOR-UNELTE.....	10
2.1. Comanda adaptivă (CA) și sensul funcției tehnologice în aceasta.....	11
2.2. Comanda adaptivă și autovibrăriile.....	16
2.3. Apreciere critică asupra structurii și funcțiilor S.C.A. analizate.....	25
Cap.3. DESPRE SISTEMUL DINAMIC AL MASINILOR UNELTE.....	28
3.1. Generalități.....	28
3.2. Sistemul dinamic al mașinii unelte.....	29
3.2.1. Despre stabilitatea procesului de aşchiere	32
3.3. Vibrăriile mașinilor-unelte.....	35
3.3.1. Vibrăriile forțate ale strungurilor.....	36
3.3.2. Vibrăriile autoexcitate ale strungurilor..	40
Cap.4. AMORTIZAREA VIBRATIILOR AUTOEXCITATE SI INFLUENTA REGIMULUI DE ASCHIERE ASUPRA ACESTORA LA ASCHIEREA PE STRUNGURI.....	43
4.1. Influența parametrilor regimului de aşchiere asupra vibrăriilor autoexcitate.....	45
4.1.1. Influența vitezei de aşchiere asupra intensității vibrăriilor.....	45
4.1.2. Influența avansului asupra intensității vibrăriilor.....	57
4.1.3. Studiul influenței variației simultane a parametrilor v și s asupra intensității autovibrăriilor.....	61
4.1.4. Influența adîncimii de aşchiere asupra intensității autovibrăriilor.....	65
4.1.5. Influența geometriei sculei asupra intensității autovibrăriilor.....	68
4.1.6. Concluzii privind influența parametrilor regimului de aşchiere v, s și t asupra vibrăriilor autoexcitate la strunjire....	69

	pag.
Cap.5. STABILITATEA PROCESULUI DE AŞCHIERE	
LA STRUNJIRE	71
5.1. Introducere.....	71
5.2. Stabilirea mărimii de referință a amplitudinii... 5.2.1. Determinarea teoretică a mărimii de referință.....	71 72
5.3. Stabilisarea procesului de aşchierare.....	74
5.3.1. Calculul la stabilitate după viteză la aşchierare.....	76
5.3.1.1. Stabilitatea sistemelor cu un grad de libertate.....	76
5.3.1.1.1. Stabilitatea la prelucrarea fără urme.....	79
5.3.1.1.2. Stabilitatea la prelucrarea după urme.....	83
5.3.1.2. Stabilitatea sistemelor cu două grade de libertate.....	88
5.3.1.2.1. Cazul deplasării după o direcție.....	88
5.3.1.2.2. Cazul deplasării după două direcții.....	92
5.3.2. Stabilitatea procesului de aşchierare după avans.....	97
5.3.2.1. Stabilitatea dinamică a mecanismului de avans.....	98
5.4. Concluzii.....	103
Cap.6. STABILITATEA ALGORITMULUI SI A LEGILOR CE GUVERNEAZA S.C.A. CU LUAREA IN CONSIDERARE	
A AUTOVIBRAJIILOR	105
6.1. Introducere.....	105
6.2. Variația vitezei și avansului în condițiile menținerii forței maxime ..	106
6.3. Stabilirea logicii și a parametrilor regimului de aşchierare la prelucrare cu CA după autovibrății	110
6.3.1. Schema logică la operațiile de finisare a CA pe strunjuri.....	110
6.3.1.1. Alegerea viteselor economice pentru operația de finisare cu CA	112

	pag.
6.3.2. Schema logică la operațiile de degro- sare cu C.A. pe strunjuri.....	116 116
6.3.2.1. Alegera regimurilor optime pen- tru operațiile de degroșare.....	118
6.3.3. Stabilirea algoritmului. General.....	121
Cap.7. INCERCARI EXPERIMENTALE SI INTERPRETAREA REZULTATELOR OBTINUTE PENTRU COMANDA ADAPTIVA DUPA AUTOVIBRATII PE STRUNJURI.....	132
7.1. Marimea de referință și dependența ei de R_z	132
7.1.1. Determinarea experimentală a mărimii rugosității R_z	132
7.1.2. Determinarea experimentală a legăturii dintre R_z și $2A$	134
7.1.3. Concluzii.....	138
7.2. Determinarea experimentală a dependenței ampli- tudinii autovibrățiilor de parametrii v și s ai regimului de așchiere.....	138
7.2.1. Dependența amplitudinii autovibrățiilor de viteza de așchiere la strunjire.....	139
7.2.1.1. Determinări pentru prelucrarea de dezroșare.....	140
7.2.1.2. Determinări pentru prelucrarea de finisare.....	143
7.2.2. Dependența amplitudinii de avans.....	145
7.2.3. Concluzii.....	151
7.3. Elemente specifice SCA după autovibratii, construcția și încercarea lor.....	152
7.3.1. Blocul electronic pentru SCA.....	152
7.3.2. Cuplaj inductiv de comandă.....	158
7.3.3. Considerații finale.....	160
Cap.8. CONCLUZII.....	162
BIBLIOGRAFIE.....	163

Cap.1. I N T R O D U C E R E

In prezent construcția de mașini-unelte pe plan mondial ca și în țara noastră marchează un ritm vertiginos de dezvoltare.

In evoluția mașinilor-unelte (MU) o mare perioadă de timp s-a căutat în principal echiparea acestora cu dispozitive care să urmărească în proces doar controlul dimensional al pieselor și aceasta în special la operațiile finale. Cu deosebire însă, în ultimul deceniu au căpătat o amploare deosebită în construcția de mașini-unelte, comenziile numerice (NC), de poziționare, de conturare (NCC), comenziile prin calculatoare integrate (CNC) sisteme numerice computerizate (SNC), centrele de prelucrare CP, acestea revoluționând acest domeniu atât în ce privește comanda mașinilor cît și respectiv structura constructivă a acestora.

In principal aceste comenzi au rezolvat automatizarea deplasărilor pentru realizarea ciclului cotelor, în programul mașinilor putindu-se introduce și parametrii regimului de aşchiere, viteza de aşchiere v , și avansul s , mărimea adâncimii de aşchiere t stabilindu-se în funcție de adansul de prelucrare și de trecerile prealabile.

Desvoltarea la scară industrială a comenziilor numerice (NC), a condus firește, la o mare diversitate de sisteme care au echipat mașinile-unelte.

Toate aceste sisteme însă trebuie să utilizeze un program pe bandă care conține date privind ciclul cotelor, un anumit itinerar tehnologic și în concordanță cu acesta programarea sculelor din magazia de scule și a parametrilor regimului de aşchiere. În ultimul timp sistemele de comandă numerică s-au dezvoltat în sensul comenziilor directe (DNC) și al comenziilor mașinilor prin calculator integrat (CNC).

Dăsi comanda după program a regimului de aşchiere $-s, v-$ a reprezentat la timpul său un element de certă eficiență și neutate, ulterior aceasta a început să arate și desavantaje, care practic nu pot fi înălăturate. Astfel:

- datorită expresiilor matematice din teoria aşchierii [36][39], 106) cu numeroși coeficienți pe care acestea le conțin, a unei mari diversități de cazuri tehnologice concrete, cărora li se asociază

necunoașterea exactă a materialelor și proceselor, datele utilizate în calcule sunt stabilite cu inevitabile erori;

- este dificil să se țină seama de variația cotelor și a forțelor de așchieri datorate uzurii normale a sculelor așchiectare;

- variația dimensională a semifabricatului nu poate fi cuprinsă în programare, motiv pentru care la stabilirea acestuia se iau în considerare dimensiunile maxime;

- fiind vorba de o programare anterior stabilită nu se poate realiza o urmărire a procesului de așchieri în dinamica sa;

- nu se cunosc încă mașini-unelte, care să ia în considerare în programul stabilit sau să introducă în calculator date privind instabilitatea procesului de așchieri prin apariția autovibrățiilor și evident elementele de decizie care să conduce la eliminarea lor;

- preghitirea programului precum și înscrierea sa pe purtătorul de program necesită un volum mare de calcule și operații, acestea reclamând un volum mare de informații aprioric stabilite despre materialul piesei și al sculei, despre starea semifabricatului și construcția sculei, etc.;

- dificultăți în determinarea precisă a adâncimii de așchieri t, chiar și în cazuri tehnologice mai simple, pentru care literatura de specialitate nu oferă date suficiente [22],[23],[39],[106],[113].

Neajunsurile mai sus presentate, precum și pericolul ca erorile ce apar la prelucrare să provoace rebuturi sau defecte, conduce la admiterea unor rezerve mari de siguranță în stabilirea parametrilor regimului de așchieri.

Introducerea în programare de către tehnolog, a unor astfel de rezerve conduce în multe cazuri la o încărcare a mașinilor cu program, înlocuirea mașinilor unelte similare, tradiționale, la care operatorul poate interveni de cîte ori este nevoie la apariția unor factori întimplători, pe care însă programarea nu-i poate prevedea.

Deseavantajele ce caracterizează comanda prin program și care au fost prezentate mai sus pot fi înălțurate total sau parțial prin introducerea comenziilor adaptive (CA). Acestea reprezintă un sistem cu buclă închisă, al cărui rol este de a stabili și în același timp de a păstra în mod automat un anumit regim de prelucrare, ce caracterizează o anumită lege de variația pentru un parametru inițial stabilit. Comanda adaptivă (CA) poate dirija procesul fie în sensul optimizării, fie în a menține anumiți parametri în limite prestabilite.

Aspectele legate de menținerea în domeniul optimului a

procesului, în sensul în care literatura le tratează, nu elucidează pe deplin această problemă. În acest sens se apreciază că stabilirea unei viteze economice în proces nu este suficientă pentru un regim optim, încărcarea mașinii-anelte la puterea nominală, și la forțe nominale, utilizarea de scule așchietoare capabile să suporte sarcina maximă admisă de acționarea principală și de măcamismul de avans, sunt probleme prea puțin tratate în aprecierea optimului pentru prelucrările mecanice pe mașini-anelte, într-un cuvînt acest element - optimul - este necesar să se aprecieze prin eficiența economică a prelucrării în interdependența tuturor factorilor ce participă la proces.

In general, literatura tehnică consemnează ca parametri frecvent urmăriți în procesul de așchiere - forțe, momente, puteri, temperaturi - prin măsurarea cărora, totală sau parțială, în funcție de algoritmul sistemului de comandă adaptivă (SCA) se realizează funcția propusă.

Prin posibilitățile ce le oferă, CA este deosebit de eficientă în cazul producției individuale și de serie mică în cazul prelucrărilor complexe cu variații și frecvențe mari de încărcări, cum este cazul centrelor de prelucrare sau a mașinilor-anelte cu (CN). Echiparea mașinilor-anelte cu sisteme care să realizeze acționări reglabile continuu, cicluri automatizate sau cu CN pentru ciclul cotelor, ușurează într-un grad simțitor introducerea CA.

In principiu însă, domeniul de aplicabilitate al SCA este mult mai amplu, întrucât acest gen de sisteme începe a fi folosit și la conducerea mașinilor-anelte cu calculatoare, inclusiv în conducerea mașinilor unelte specializate ca de ex. a mașinilor de cojitură bare, de danturat, de rectificat danturi, a unităților de lucru pentru agregate, fapt ce conduce la creșterea eficienței, a durabilității sculelor și a capacitații de producție chiar și în cazul producției de serie mare sau de masă. Preocupările constructorilor de mașini-anelte din țara noastră, se încadrează în contextul general al eforturilor ce se fac pe plan mondial, în direcția introducerii la o gamă cît mai mare de mașini-anelte a CN și în ultimul timp a CA.

Se poate aminti în acest sens, că în efortul general depus de constructorii de mașini-anelte, se înscrie și activitatea colectivului de mașini-anelte ^{de la} IPTV Timișoara. Activitatea de pionierat în domeniul CA în țara noastră a fost desfășurată de prof.dr.ing. Eugen Dodon, care de mai bine de două decenii se ocupă de astfel de sisteme, reușind ca în anul 1957 să poată comunica finalizarea a două

modele experimentale de sisteme de CA. În acest context România se numără printre primele țări din lume care a reușit să demonstreze practic posibilitatea introducerii CA pe mașini-unelte 22 .

În intervalul scurs la primele experimentări activitatea s-a amplificat, în prezent fiind finalizate cîteva SCA (experimentate) pentru struguri normale și revolve, mașini de rectificat, mașini de superfinisat, mașini de cojît bare și mașini de dăhtură cu freză mele. Toate cercetările întreprinse de colectivul amintit au urmărit în principal soluționarea bazei tehnologice a SCA, având în vedere că din punct de vedere al sistemului automat și al logicii sale, SCA nu prezintă în mare dificultăți deosebite. În cercetările efectuate, activitatea s-a axat în principal pe rezolvarea aspectelor ce vizează optimizarea procesului, de așchierea, aceasta însă nu legată doar de durabilitatea optimă a sculelor ci de mai mulți factori cum ar fi: gradul și modul de încărcare a mașinii-unelte, de limitare a intensității autovibrățiilor din procesul de așchiere. Legat de acest ultim parametru - autovibrățiile, - în comanda mașinilor unelte se cunosc puține încercări pe plan mondial.

[10],[50],[177] care să utilizeze SCA după autovibrății, chiar și acestea limitindu-se doar la faza de laborator, neexistând mașini echipate cu un astfel de sistem de comandă în exploatare. Este cunoscut faptul că procesul de așchiere este adeseori însotit de autovibrății, limitare sau înlăturarea acestora rămnind la aprecierea operatorului. Lucrarea de față și-a propus tocmai acest scop să înăture influența subiectului, decizia de stabilizare a procesului fiind luată de SCA al mașinii în funcție de logica stabilită în care este inclusă mărimea de referință. În intenția de a defini mărimi capabile să sintetizeze un număr cît mai mare de condiții ce ar urma să le îndeplinească regimul de așchiere optim s-a introdus noțiunea de "mărime de referință" mărime pe care SCA trebuie să o respecte pe durata așchierii. Legat de modul de încărcare al mașinii-unelte ca mărime de referință s-a introdus de exemplu la struguri forța de așchiere $F_{gr} = f(y)$, prin care se exprimă condițiile de așchiere în funcție de deformațiile din sistem. În cazul limitării autovibrățiilor ca mărime de referință s-a introdus amplitudinea undei vibratoare A_r , aceasta fiind de fapt pragul de stabilitate la așchiere. Menținerea procesului în limitele mărimi de referință presupune o desfășurare lină și a acestuia, adică funcția $v = f(A_r)$ nu depășește pragul de stabilitate. Mărimea de referință A_r fiind de fapt o transpunere a mărimilor ce caracterizează microasperitățile

suprafețelor prelucrate, deciziile în proces se vor lua în funcție de mărimele măsurate în proces și cele stabilite prin mărimea de referință. După cum se poate observa din cele prezentate SCA sunt într-adevăr sisteme cu buclă închisă, acest aspect fiind luat în considerare în primul rînd de automatică rămînind mai puțin studiate aspectele fundamentale de natură tehnologică legate de direcția de propagare a undei vibratorii și neajunsurile pe care acestea le provoacă asupra preciziei și calității pieselor ce se prelucrează precum și asupra durabilității sculelor.

Deși la ora actuală au apărut unele lucrări ce tratează aspecte legate de autovibrări și CA la prelucrarea pe mașini-unelte [10, 50, 177] pe plan mondial nu se cunoaște un astfel de gen de abordare a problemei, de fond a SCA, direcție pe care colectivul de mașini-unelte de la I.P.T.V Timișoara a introdus-o în problematica sa. Studiile ce au apărut privind S.C.A după autovibrării, iau în considerare rigiditatea sistemului tehnologic elastic, adîncimea de aşchiere pentru o perioadă scurtă de timp, fără a ține seama însă în permanentă de variațiile ce apar în dinamica desfășurării procesului. Adîncimea și rigiditatea sunt considerate corectii ce se aplică sistemului în scopul menținerii unui parametru.

Analiza completă a procesului în care S.C.A stabilisează autovibrăriile ținând seama și de variația forței de referință F_{zr} , este un aspect care nu a fost analizat și care pe plan mondial încă nu este cunoscut.

In abordarea problemei menționate este necesar ca tehnologul să cunoască strungul și caracteristicile sale statice și dinamice după care se pot ridica curbele de variație ai parametrilor ce caracterizează procesul ținindu-se seama de mărimea de referință A_r . In scopul păstrării unor performanțe a capacitatii de producție cît mai ridicate precum și a unor precizii dimensionale și a calității prelucrării cît mai apropiate de cele impuse, se va urmări alegerea parametrilor de stabilisare (eliminare a vibrațiilor) care au cea mai redusă influență asupra acestora.

Prezenta lucrare se ocupă de stabilizarea automată a procesului de aşchiere prin CA la strunguri. In acest domeniu colectivul de mașini-unelte de la I.P.T.V Timișoara, deține prioritate pe plan mondial, iar teza face parte din activitatea colectivului amintit.

Cap.2. COMENZILE ADAPTIVE ALE MASINILOR-UNELTE

Dezvoltarea în ritm vertiginos a industriei, cu performanțe spectaculoase în ultimii ani, a pus în fața constructorilor de mașini-unelte sarcini deosebit de complexe, în direcția realizării de utilaje cu indicii tehnico-economiți ridicate și în mod deosebit a echipării acestora cu sisteme automate de decizie și urmărire. Echiparea mașinilor cu astfel de elemente presupunând și integrarea în sistemele de comandă a acestora, a calculatoarelor care să urmărească diverși parametri ai procesului de așchiere : viteze, avansuri, forțe de așchiere, momente la așchiere, temperaturi, etc. și în funcție de mărimea acestora să stabilească deciziile potrivite algoritmului stabilit. Din marea diversitate de sisteme, apărute pe plan mondial în conducerea proceselor pe mașini-unelte, nu se cunosc încă mașini care să fie echipate cu calculatoare, capabile să ia decizii în cazul intrării în instabilitate a procesului de așchiere datorită apariției autovibrățiilor.

Introducerea sistemelor de comandă adaptivă (SCA) constituie o etapă nouă în construcția de mașini-unelte, ea vizând printre altele și modificări structurale a acestora în comparație cu construcțiile clasice. Principala caracteristică a sistemelor de comandă adaptivă (SCA) constituind-o permanentul control al parametrilor din proces, iar faptul că SCA sunt sisteme cu buclă închisă conferă mașinilor-unelte caracteristici și performanțe superioare celor clasice sau echipate cu comenzi numerice (NC). În timpul procesului de așchiere parametrii urmăriți pot fi măsurăți în totalitate sau parțial, atât urmărirea cît și decizia luată, fiind funcție de algoritmul SCA. Față de evoluția SCA se poate aprecia că acest gen de sisteme poate fi mult mai larg utilizat, ele fiind deja folosite și la conducerea mașinilor-unelte cu calculatoare, lucru ce are drept rezultat creșterea eficienței, a durabilității sculelor și capacitații de producție, atât la prelucrarea de serie cît și la producția de masă. De asemenei conducerea mașinilor-unelte cu SCA oferă acestora un grad mai mare de independentă și elasticitate în urmărire și decizie fapt ce situează aceste sisteme pe o treaptă calitativă superioară față

de cele pentru comanda după program a regimului de aşchiere.

2.1. Comanda adaptivă (CA) și sensul funcției

tehnologice în aceasta

Elementul de progres și implicit de noutate în construcția de mașini, l-a constituit la vremea respectivă posibilitatea de realizare automată a ciclului cotelor prin comenzi numerice (CN) fapt, care nu a reușit însă să înălțe deficiențele legate de încărcarea optimă a mașinilor echipate cu astfel de sisteme. Domeniul comenziilor numerice constituind în continuare un cimp deschis în direcția realizării ciclului cotelor pe mașini unelte (MU), s-a trecut la realizarea de sisteme pentru reglarea automată a regimului de aşchiere [7] acestea fiind sistemele de comandă adaptivă. Prin introducerea acestor sisteme, în conducederea MU cu calculatoare s-au realizat salturi calitative semnificative atât în creșterea capacitatei de producție, a durabilității sculelor cât și a preciziei de lucru.

Pără a ține seama de încercările ce se fac în clasificarea sistemelor de comandă adaptivă [99], [135] toate aceste sisteme de reglare cu buclă inchisă și modifică caracteristicile de reglare în scopul asigurării unei funcționări optime, în condițiile în care apar modificări în STE.

Un astfel de mod de integrare al unui sistem de comandă adaptivă (SCA) în structura comenzi procesului de lucru al unei mașini unelte este prezentat în fig.2.1 aceasta fiind SCA pentru strungul P 800 NC [174] realizat de firma

AEG - Telefunken împreună cu
firma VDP-Bechringer echipat cu
un sistem Numerie 312.

Se observă că unitatea de strategie este legată de MU și sistemul CN printr-un flux de informații în ambele sensuri, elementul esențial în acest cas

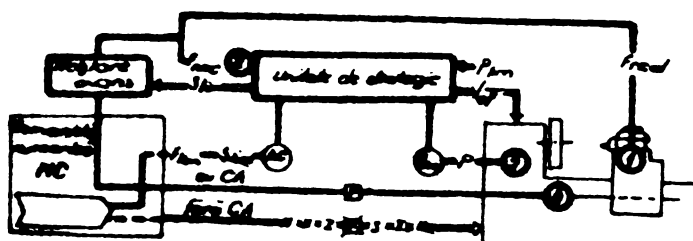


Fig. 2.1

constituindu-l un "regulator" al forței de aşchiere comandat prin programare. Mărimea avansului se stabilește în funcție de regimul de lucru, în urma comparării valorii limită a forței de aşchiere F_{lim} cu valoarea forței măsurate la un moment dat F_{real} . În cazul unor variații mari ale adâncimii de aşchiere se are în vedere

evitarea depășirii limitelor de putere P_{lim} și forță F_{lim} . În ansamblu blocul de strategie face legătura informațiilor între partea de bază a MU și CN primind, prelucrând și transmitând date ce controlează procesul de aşchiere. Prin destinația cît și prin natura sa, CA nu poate fi disociată de legile procesului de aşchiere, de tehnologia concretă de prelucrare, aceștia la rîndul lor fiind determinate de construcția MU, de caracteristicile STE - inclusiv ale sculei - caracteristici evidențiate în dinamica funcționării ansamblului.

Un sistem de comandă adaptivă mai evaluat este cel prezentat

în fig.2.2. Acest sistem a fost realizat de firma japoneză Yamazaki Machinery Works, LTD - pentru strungul model MAZAK 1500 R. dotat cu un sistem de CN de tip FANUC 240 [167]. La acest model de mașină echipată cu CN+CA, structura comenzi adaptive este mai explicită și chiar mai evoluată. Sistemul de comandă adaptivă (CA) pe acest tip de strung regleză avansul în scopul menținerii forței de aşchiere F și a puterii consumate, care nu trebuie să o depășească pe cea a motorului de acționare P , în domeniul optimului asigurând în același timp o viteză de aşchiere

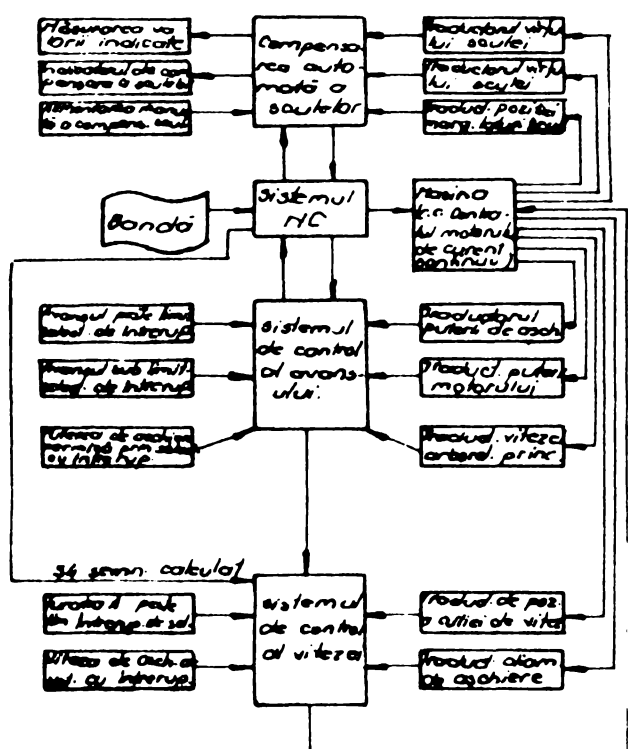


Fig. 2.2

chieri constantă independent de diametrul piesei de prelucrat. Acest sistem de CA este echipat și cu un sistem de control care detectează uzura sculelor și corectează poziția acestora. La acest sistem se constată deci că reglarea avansului și menținerea constantă a vitezei se realizează prin două subsisteme.

Prințul subsistem permite stabilirea avansului optim fără a ține cont de puterea motorului, CA având capacitatea de a menține în permanentă controlul asupra avansului în funcție de forțele în aşchiere. În cazul cînd forța de aşchiere depășește de două ori forța admisă se decouplează automat avansul. Cel de al doilea subsistem regleză viteza de aşchiere ținând cont de poziția sculei și de diametrul piesei ce se prelucrează. În general cînd viteza de aşchiere a

fost definită, selectarea turăției arborelui principal n_{AP} - turăția cea mai apropiată de cea calculată n_{APcalc} . - este urmată de stabilirea avansului "S" ce va fi diferită de valoarea anterior estimată.

Ca și în alte cazuri și în casul acestui sistem se constată că anumite mărimi ale procesului de aşchiere apar cu caracter limitativ și sunt introduse în sistem - ca valoare initială - prin programare.

In fig.2.3. este prezentată schema bloc a sistemului AEG -

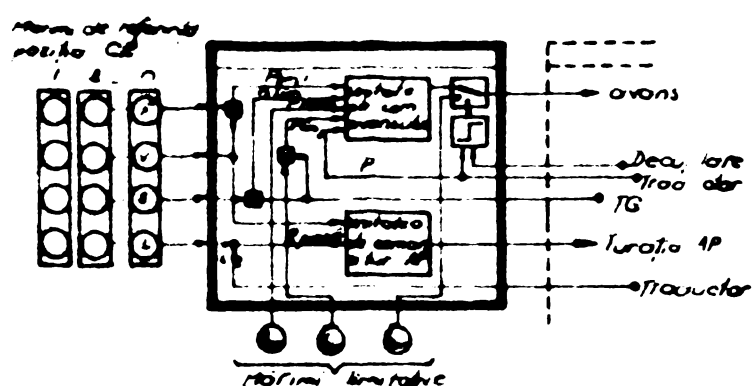


Fig.2.3

sestrată cu traductoare pentru măsurarea puterii de antrenare a AP, traductoare pentru sesizarea apropiierii sculei de material, tahogenerator (TG) pentru turăția AP.

Mărurile ce se introduc în CA sunt mărimi de referință (P , v_{max} și L) precum și mărimi limitative (P_{max} , M_{max} , v_{max}) care definesc de fapt posibilitățile mașinii. La acest sistem în principiu mărimea de referință P poate fi considerată ca o funcție tehnologică, caz în care punctul de lucru PL fig.2.4 ar rămâne

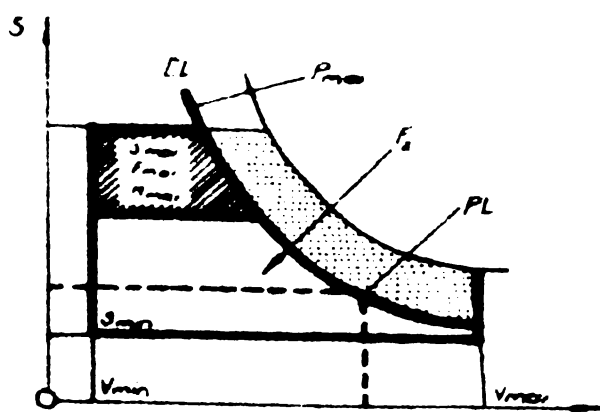


Fig. 2.4

ADAPTIC 101, sistem ce poate echipa MU dotate cu CN, secvențiale sau cu came.

La acest sistem există un bloc de introducere a mărimilor de referință, precum și două blocuri de comandă a avansului de aşchiere și a turăției arborelui principal - acest ultim parametru nefiind comandat adaptiv - Mașina este în-

continu pe curba limită de reglaj CL, asigurîndu-se în acest fel valoarea cea mai mare a puterii de aşchiere prin reglarea avansului și eventual prin variația vitezei. Spre deosebire de sistemul prezentat anterior sistemul adaptic AEG 201 echipat cu CN cel mai frecvent cu NUMERIC 312 (fig. 2.5), urmărește prelucrarea la

putere maximă, informațiile necesare CA fiind introduse prin bandă perforată. Ca mărimi limitative apar avansurile minime și maxime,

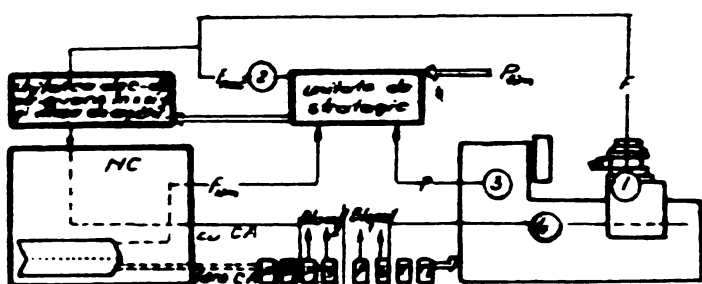


Fig.2.5

forță maximă de așchiere, momentul maxim la AP și puterea maximă. Sistemul conține două blocuri și anume: un bloc de reglare a avansului și forței de așchiere și un alt bloc care asigură reglarea avansului vitezei și adincimii de așchiere. Blocul unității de strategie a S.C.A. conține un regula-

tor al forței de așchiere cu caracteristică nelinieră. Suplimentar pe banda perforată a programului CN se introduce și se citește valoarea prescrisă a forței de așchiere. În fig.2.6. este prezentat modul de lucru al acestui bloc.

Se observă că forța de așchiere necesară P_{nec} programată prin CN de valoare constantă nu reprezintă altceva decât o limită în jurul căreia SCA trebuie să mențină valoarea forței efective de așchiere

P_{ef} . Apropierea forței efective P_{ef} de cea necesară P_{nec} ($P_{ef} \rightarrow P_{nec}$) se realizează prin reglarea în trepte a avansului iar turația n_{AP} se păstrează constantă. Atunci cînd din diverse

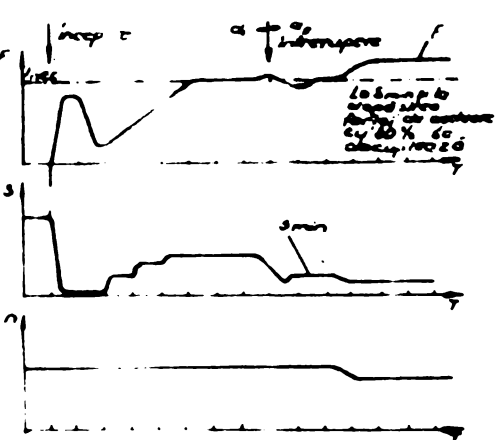


Fig.2.6

motive (variații mari ale adâncului de prelucrare, structură nehomogenă a materialului de prelucrat, măsură sculei, etc.) SCA nu reușește să mențină egalitatea $P_{nec} = P_{ef}$ pentru o anumită depășire a valorii prescrise are loc intreruperea procesului de așchiere. Se poate aprecia deci că capacitatea de decizie a S.C.A. este limitată toamă de faptul că acesta urmărește valoare o mărime ce poate fi atât arbitrar P_{nec} ca fiind prestabilită în mod rigid inițial, ca nepășind fi considerată o funcție tehnologică care să oglindească desfășurarea procesului de așchiere în dinamica sa.

Revenind la fig.2.6, blocul 2 asigură reglarea independentă și a adincimii de așchiere, motiv pentru care în program se introduc datele conturului finit al piesei - este de menționat aici faptul că această soluție de reglare nu este definitiv rezolvată, fiind cunoscute dificultățile sistemului ACMA 126 [18]. De altfel o altă

problemă pentru care încă nu s-a găsit o soluționare definitivă este cea a controlului procesului de aşchieriere în faza de pătrundere a sculei în material, proces analizat în cîteva lucrări de specialitate [22], [135], [177].

O altă soluție de comandă adaptivă este prezentată în fig. 2.7 în care valorile programate sunt puterea maximă a acționării

principale, forță de aşchieriere maximă și avansul maxim, la acest sistem fiind cuprins în program și forță de aşchieriere la intrarea sculei în material. Schema bloc conține trei bucle de reglare, pentru avans, forță de aşchieriere și putere. Bucla de re-

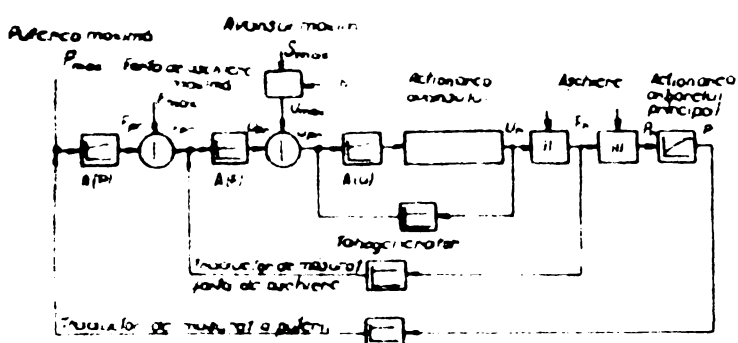


Fig. 2.7

glare a forței se compune din amplificatorul A(.) comparitorul B (a), elementul de reglare al vitezei de aşchieriere (II) și elementul de măsurare a forței, la care se ține seama de faptul că aceasta este proporțională cu deformăția.

Soluțiile prezentate sunt considerate a fi cele mai reprezentative S.C.A. cunoscute la ora actuală, în toate acestea urmărindu-se natura și sensul mărimilor de referință ce apar în comandă adaptivă. Prin cele prezentate s-a relevat în primul rînd deosebirea de fond într-o mărime de referință stabilită aprioric și o mărime de referință cu aspect de funcție tehnologică.

In toate sistemele de comandă adaptivă prezentate s-a observat că parametri ce constituie mărime de referință au caracter de funcție tehnologică cel mai frecvent sint forțele de aşchieriere, momentele sau puterile, pentru menținerea lor, acționindu-se asupra mărimilor tehnologice α , v sau t . În multe cazuri însă [167], [171], [173], [174] în adopțarea soluțiilor pentru S.C.A și chiar la stabilirea mărimilor de referință (funcțiilor tehnologice) se neglijăază aspectul dinamic cu toate consecințele sale asupra procesului de aşchieriere.

Din S.C.A. analizate s-a observat la majoritatea, că s-a ales cu precădere ca mărime de referință - forță de aşchieriere - mărime prin care se poate controla în permanență deformările S.T.E. în deosebi prin modificarea avansului, în cazul momentului se acționează asupra forței prin același parametru, avansul. Utilizarea ca mărime de referință puterea consumată la arborele principal condusă în teate

casurile la acționarea fie asupra avansului fie asupra vitezei de aşchieri. Însă nici una din soluțiile de CA presentate nu e luat în considerare ca mărimi de referință vibrațiile autoexcitate ce apar în procesul de aşchiere, deși efectul dăunător al acestora este cunoscut și tratat pe larg în literatura de specialitate. Înlăturarea vibrațiilor din procesul de aşchiere reprezintă un avantaj net într-o industrie în care tehnologiile moderne sunt aplicate pe scară largă, din acest motiv înmestrarea mașinilor unelte cu un sistem care să realizeze scoaterea automată a procesului din starea de instabilitate constituie o necesitate obiectivă.

2.2. Comanda adaptivă și autovibrațiile

Vibrațiile ce apar la prelucrarea pe strunguri influențează suprafetele și precizia pieselor ce se prelucrează și prin efectul lor obligă la limitarea regimurilor de aşchieri, fapt ce introduce complicații. Încercările de stabilisare a vibrațiilor la aşchiere folosind diferite dispozitive de amortisare și chiar modificări constructive ale sistemului tehnic elastic (S.T.E) nu sunt întotdeauna de efect pentru unele condiții reale de lucru. Preocupările în direcția înlăturării autovibrațiilor și a diminuirii efectului lor la prelucrarea pe mașini unelte, se cunosc de foarte multă vreme, dar deabia în ultimul timp au apărut încercări de găsire a unor posibilități pentru înlăturarea autovibrațiilor folosind sistemele de comandă adaptivă [10], [50]. Se indică [10], două posibilități de înlăturare a autovibrațiilor:

- înlăturarea autovibrațiilor pe calea automatizării regimurilor de aşchieri;
- înlăturarea autovibrațiilor prin stabilisarea poziției relative a piesei de prelucrat față de scule de aşchiat.

Analiza primului grup de procedee constă în obținerea unor amortisări efective prin acționarea asupra forțelor din procesul de aşchieri, iar analiza celui de al doilea grup constă în principal în acționarea asupra unor elemente din însâruri S.T.E. al strungului. Pe baza rezultatelor cercetărilor privind mecanismul de amortisare a autovibrațiilor s-a constituit un model al procesului de prelucrare pe strung, model, în care după cum se observă din fig. 2.8. intră un număr mare de elemente ce caracterizează comportarea dinamică a sistemului în timpul procesului, acesta considerindu-se un sistem dinamic închis.

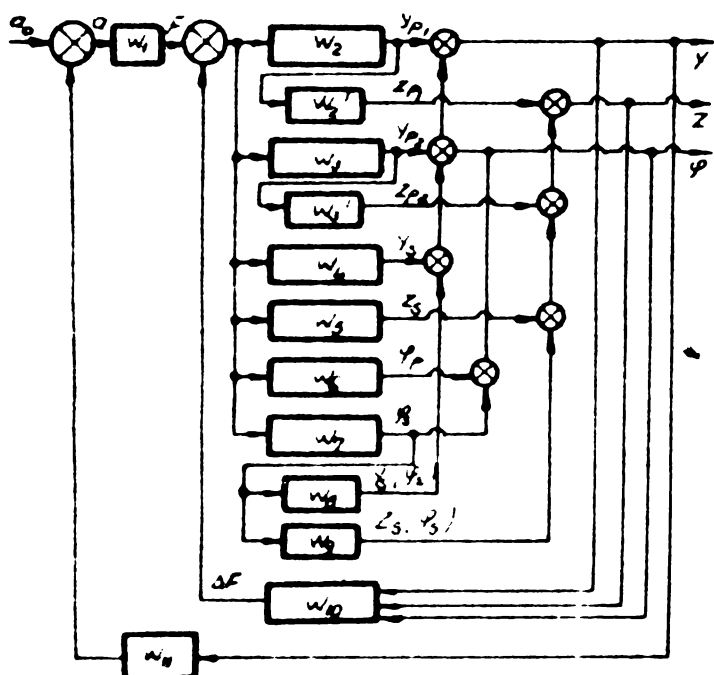


Fig. 2.8

w_1-w_n - reprezentă funcții de transfer în sistem

a_0 - grosimea așchiei [mm]

a - grosimea efectivă de așchiere [mm]

F - forța de așchiere [daN]

y_{p_1}, y_{p_2} - compunerea deplasării relative a piesei față de sculă după axa y . [mm]

z_{p_1}, z_{p_2} - compunerea deplasării relative a piesei față de sculă după axa Z [mm]

y_s, z_s - deformăția elastică relativă a suportului S după axele Y și Z . [mm]

γ_p, γ_s - unghiul de rotire a piesei P și suportului S [gr]

F - creșterea forței de așchiere în funcție de viteză de așchiere și geometria sculei. [daN]

Gradul de influență al fiecărui din factorii prezentanți, asupra stabilității procesului de așchiere s-a determinat pe un strâns model MK62 stabilindu-se caracteristicile sistemului elastic și procesului de așchiere în cazul prelucrării oțelurilor de construcție. Analiza stabilității pe modelul menționat indică că după direcția de deplasare a piesei și suportului este posibilă excitarea autovibrățiilor în proces în două cazuri:

- dacă frecvența proprie a vibrațiilor după axa elipsei de rigiditate este foarte redusă ($f_p \approx 0,8 - 1,2 f_g$)

- dacă dispersia frecvenței este foarte mare ($f_p \leq 4 f_g$) dar proiecțiile deplasărilor piesei P și a suportului S pe axa Y au valori distincte.

In primul caz autovibrățiile au un caracter discontinuu, acest corespunzând deplasărilor piesei de prelucrat după axele elipsei de rigiditate.

In cel de al doilea caz apare în timpul așchierii așa numitul "efect de filtrare" al frecvențelor joase, cînd elementul cu frecvență mică a vibrației, împinge vibrațiile elementelor cu frecvență mare obligind repetarea vibrațiilor primului element, în regim de urmărire: în cazul analizat coresponditor urmăririi suportului S

după deplasarea piesei P în direcția axei y. Acestea indică că schema constructivă a strungului model 1K62 a fost necesară se realizeze rotirea suportului în planul oz, rigiditatea la torsion a suportului depășind rigiditatea piesei pe direcția y.

In fig. 2.9 este prezentată schema de acționare a momentului forței de așchiere asupra suportului strungului, unde:

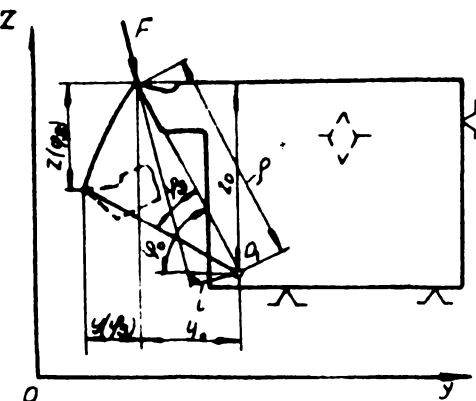


Fig. 2.9

- O_1 - centrul de rotație al suportului
- r - raza de rotație a suportului [mm]
- I_0, Z_0 - coordonatele față de centrul de rotație
- $y(l_s), z(l_s)$ - deplasările după cele două direcții rezultate în urma rotirii suportului [mm]
- l - brațul ce dă momentul de rotație al suportului față de O_1
- ℓ_0 - unghiul ce-l face direcția forței F cu orizontală [gr]

ℓ_s - unghiul cu care se rotește suportul față de poziția inițială. Încercările experimentale efectuate pe modelul 1K62 au arătat că pentru amortizarea autovibrățiilor este necesară întreruperea conturului autovibrățiilor, fapt ce corespunde excluderii din model - fig.2.8 - a verigilor paralele.

In condițiile utilizării CA în scopul diminuării autovibrățiilor se indică să se acționeze fie în direcția asigurării amortizării autovibrățiilor fie în direcția măririi stabilității la vibrații a S.T.E. In primul caz se pune problema stabilisării forței de așchiere și a distanței dintre piesă și sculă, iar în cel de al doilea cas stabilisarea mărimii unghiului ℓ_0 de rotație relativă a forței de așchiere față de axele elipselor de rigiditate; stabilisarea unghiului de rotație a suportului ℓ_s , stabilisarea constantei de timp T_p și în ultimă instanță înălțarea influenței urmărilor de la prelucrarea anterioară.

Utilizarea celui de al doilea procedeu este posibil de aplicat într-un sistem cu C.A., cu constantă de timp a cărei valoare să depășească timpul unei perioade a autovibrăției. Tinând seama de cele prezentate în tabela 2.1. sint indicate caracteristicile de bază pentru C.A.

Primal procedeu este analiza pe larg în lucrarea [10], vom prezenta doar schemele bloc ale acestor sisteme de C.A.

F.I. 15/1
36/1

Numele comandării	Tip de comandă	Strategia de comandă	$T_{C,y}$ și T_K
F	s	$F = \text{const.}$	$T_{C,y} = (0,1 \div 0,2)T_K$
y	A_C	$y = \text{const.}$	$T_{C,y} \leq T_K$
β	$\frac{F_x}{F_1}, \frac{U_2}{J_y}$	$\beta = \text{const.}$	$T_{C,y} \geq T_K$
φ_C	$\frac{F_x}{F_z}, \frac{U_2}{L_1}$	$\varphi_C = \text{const.}$	$T_{C,y} \geq T_K$
T_p	V_{sous}	$T_p = \text{const.}$	$T_{C,y} \geq T_K$

Tab.2.1.

SE care modifică parametrul stabilit (în cazul dat evansul). În acest cas se arată că stabilitatea sistemului poate fi asigurată pentru valori ale lui T_{CA} de 5 - 10 ori mai mici decât ale timpului T_a^* .

Cea de a doua schema de C.A. din primul cas se referă la stabilirea poziției relative, y a sculei pe calea reglării dimensiunii A_C stabilită statistic și este prezentată în fig.2.10b. În acest cas durata transitorie în S.C.A., T_{CA} nu trebuie să depășească 0,02 sec. și chiar la $T_{CA} < T_a$

autovibrățiile însetează, acest lucru depinzând însă și de grosimea așchiei; cu cît aceasta crește, gradul de stabilitate se reduce. În casul mașinilor de mărime mijlocie, menținerea constantă a grosimii așchiei prin S.C.A. se realizează pe calea modificării mărimii (dimensiunii) reglate statistic A_g . Ca și în primul cas, în figură se observă că mărimea măsurată y se compară cu o mărime prestabilită (de referință), în blocul MR, iar seignalul U_2 ieșit din comparator se transmite elementului de execuție EE.

Cele prezentate fac obiectul cercetărilor, efectuate de B.N. Basrov și V.I. Gornachin, ele fiind mai pe larg tratate în literatură [147] [146].

Din cea de a doua categorie de sisteme de C.A. ce conduce la diminuarea intensității autovibrățiilor prin mărirea stabilității $* T_a$ perioada autovibrăției

In fig.2.10a este indicată o schema pentru CA în care stabilirea procesului de așchiere se realizează prin acțiunea asupra mărimii evansului s .

In circuitul C.A. se stabilește mărimea de referință în blocul MR care se compară cu mărimea măsurată NM ce poate fi un traductor de deplasare, de viteză sau accelerometru, iar seignalul primit se transmite unui element de execuție

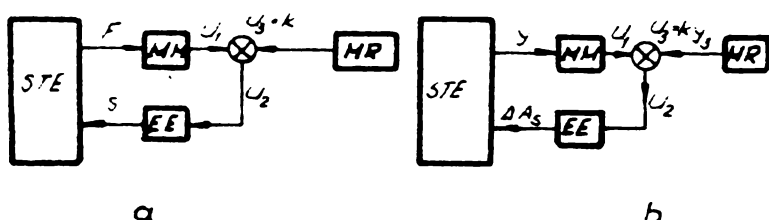


Fig.2.10

a b

S.T.E. în fig.2.11 este prezentată schema bloc a unui astfel de sistem care controlează stabilitate

procesului de aşchierare prin valoările celor două unghiuri ℓ_0 și ℓ_s exprimate prin coeficientul a cărui valoare se compară cu mărimea inițial prescrisă în blocul MR, semnalul fiind transmis la EE care modifică raportul celor două componente P_z/P_y (ce modifică evident unghiurile ℓ_0 și ℓ_s) astfel încât să se stabilească poziția pentru care rezultanta forțelor de aşchierare în planul y_0z față de poziția axei elipsei de rigiditate asigură o prelucrare liniștită.

Realizarea unui astfel de procedeu de comandă la strunguri presupune realizarea unui mecanism necesar rotirii suportului acesta definind poziția axelor elipsei de rigiditate față de direcția rezultantei componentelor P_z și P_y . Rotirea suportului S și schimbarea poziției forței rezultante conduc la modificarea brațului L și deci a momentului, fenomen sesizat de cei doi trăductori T_1 și T_2 .

Soluția adoptată în sistem pentru păstrarea constantă a momentului este prezentată în fig.2.12 și ea constă în aplicarea unor corecții poziției suportului ce se realizează cu ajutorul unui motor electric M cu mecanisme șurub-piuliță.

In aceste condiții realizarea conducerii mărimii constantei de timp a procesului de aşchierare constă în găsirea acelor valori ale ei prin care să se realizeze răminerea în urmă a forței de aşchierare față de deplasare - acesta fiind principiul care stă la baza generării autovibrătorilor - In concordanță cu relația

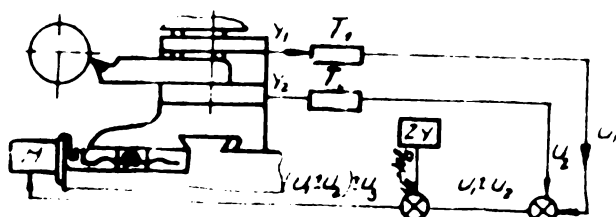


Fig.2.12.

$T_p = k \frac{a_0}{v}$ (v - viteză de aşchierare; a_0 - grosimea aşchiei; k - coeficient ce se determină în procesul de lucru) prin conducerea mărimii lui T_p se pot determina grosimea aşchiei a_0 sau viteză de aşchierare v. In fig.2.13 se indică schema bloc într-o comandă adaptivă CA cu conducedea duratei transitorii T_p și în acest caz se observă că structura S.C.A. se păstrează ca și la sistemele mai înainte prezentate ea constă din

elementul de măsurare MN al timpului T_p , blocul mărimilor de referință MR , un element de comparare și elementul de execuție care poate fi mecanismul de avans sau viteza de așchiere v .

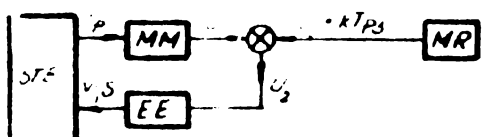


Fig.2.13

stabilizarea deplasării elastice relative pe calea reglării mărimii statice -fig.2.10 b -, acordarea și stabilizarea unghiului de rotație a suportului, au fost verificate experimental pe modelul 1K61.

In urma încercărilor efectuate s-au stabilit următoarele:

- stabilizarea componentei P_z a forței de așchiere prin S.C.A. cu $T_{ct} = 0,8$ sec prin modularea autovibrățiilor -fig.2.14.
- stabilizarea deplasării elastice prin reglarea mărimii statice $T_{CA} = 0,425$, amortizând autovibrățiile.
- stabilizarea unghiului de rotație

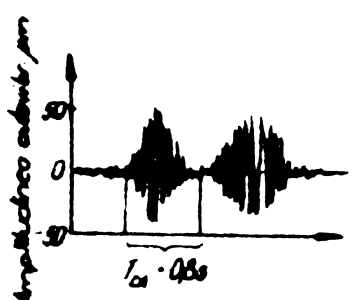


Fig.2.14

a suportului la $T_{CA} = 0,15$ ce influențează mai ales procedeul.

Exprimarea analitică a posibilităților de dirijare automată a stabilității procesului de așchiere [50] pentru sistemele de comandă adaptivă mai înainte analizate evidențiază încă odată metodologia de lucru și principiul adoptat în S.C.A. conceput și experimentat.

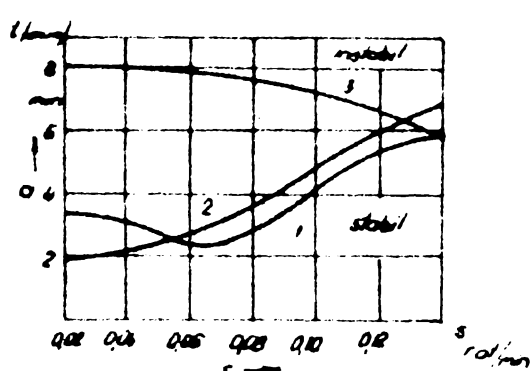


Fig.2.15

pentru aceleași condiții de lucru dar pe calculator, iar curba 3

Așa cum s-a mai arătat ca măsură pentru limita de stabilitate s-a ales adâncimea de așchiere, fig. 2.15 în care curba 1 reprezintă limita de stabilitate pentru mașina pe care s-au efectuat încercările experimentale. Din figură se observă că domeniul de stabilitate crește pentru valori mai mari ale avansului. Curba 2 s-a construit

s-a ridicat pentru aceleasi conditii de lucru dar, utilizindu-se in dirijarea masinii S.C.A. La curba 3 se remarcă zona mare de stabilitate pe care o oferă un S.C.A. la prelucrarea pe strunguri.

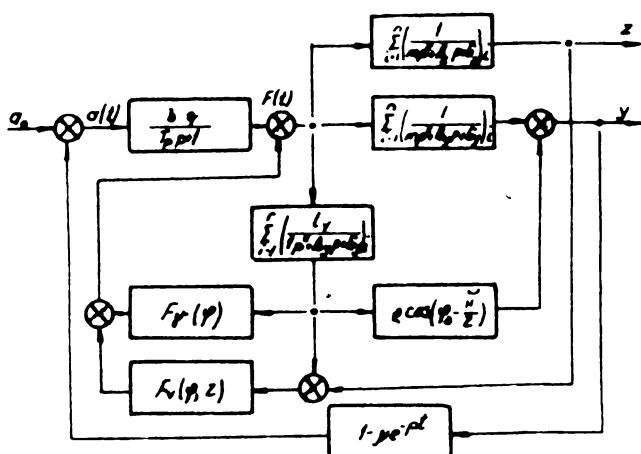


Fig.2.16

lui momentelor 0, ca urmare a variației forțelor de aşchierare, cu brațul 1 este considerată ca foarte importantă, aceasta și alături de ea poziționarea suportului pe direcția y fiind determinante în asigurarea stabilității procesului de aşchierare.

Prin bascularea suportului este influențată în primul rînd distanța relativă y (φ) a cărei expresie este de forma:

$$y(\varphi) = \frac{1}{2} \rho_1 \cos(\varphi - \frac{\pi}{2}) \sum_{i=1}^n \frac{1}{I_i p^2 + \beta_i + G \ell_i} \quad (2.1)$$

ρ - [mm] raza vectoare a punctului de aplicatie a forței față de O_1

ℓ - [mm] brațul momentului la bascularea cu unghiul

φ - [rad] unghiul de basculare al suportului

J - [cm⁴] momentul de inerție

β - amortisarea

G - [N/rad] rigiditatea pe direcția de basculare a suportului.

La stabilirea ecuației de mișcare corespunzător structurii din fig.2.16 s-a modificat grosimea aşchiei la diferite mărimi ale svansului și la diferite lungimi de pîrghie l.

Analiza efectuată pe un calculator analogic a arătat că punctul limitei de stabilitate poate fi deplasat utilizând sisteme de reglare care să aibă caracteristicile de mai jos:

- pentru reglarea prin deplasarea radială adică pe direcția y - fig.2.10 b -

$$y_R (T_1 p^2 + T_2 p + 1) = y_0 - y(\xi) \quad (2.2)$$

aceasta în casul cînd informația de conducere a procesului vine neajunsit de la rigiditatea (sau elasticitatea) sistemului dinamic

y_0 - mărimea inițială a deplasării

$y(\xi)$ - deplasarea în regim dinamic

y_R - mărimea reală a deplasării

p - operatori diferențiali

- în casul cînd informațiile despre procesul de așchiere sunt transmise prin forță de așchiere fig.2.10 a - există expresia

$$y_R (T_1 p^2 + T_2 p + 1) = P_0 - P(\xi) \cdot W_y(p) \quad (2.3)$$

sun exprimind în funcție de parametrul ce modifică mărimea măsurată, avem

$$S_R (T_1 p^2 + T_2 p + 1) = f[P(\xi)] \quad (2.4)$$

cu condiția să se țină seama că

$$P(\xi) = f(a, a_1, b) = P_0 = \text{const} \quad (2.5)$$

unde $W_y(p)$ - coeficient de transmitere pe direcția .

- în casul basculării suportului fig.2.11 și fig.2.12 cînd conducerea procesului prin S.C.A. se realizează prin acest procedeu

$$\ell_R (T_1 p^2 + T_2 p + 1) = - \varphi(\xi) \quad (2.6)$$

iar în casul cînd se realizează o rigidizare a suportului, unghial de basculare poate tinde la zero, adică

$$\varphi(\xi) = \frac{W_y(\xi)}{G(p)} = \frac{P(\xi) \cdot l_0}{G(p)} \rightarrow 0 \quad (2.7)$$

și ținând seama de aceasta, atunci cînd conducerea sistemului se realizează după momentul rezistent din proces, din expresia 2.6 se obține

$$\varphi(\xi) = (T_1 p^2 + T_2 p + 1) = - \frac{W(\xi)}{G(p)} \quad (2.8)$$

și ținând seama de 2.7 caracteristica de reglare devine

$$W_R (T_1 p^2 + T_2 p + 1) = - W(\xi) \quad (2.9)$$

Pentru exemplificare - folosind acest procedeu al basculării în fig.2.17 se indică modul de schimbare al grosimii așchiei - atunci cînd sistemul intră în instabilitate - la o creștere a adâncimii (grosimii) de așchiere cu Δ a unde la timpul ξ_0 avem

$$h(\xi_0) = S \cdot \sin \alpha \quad (2.10)$$

α - [rad] unghiul de atac al sculei

Urmare a creșterii adâncimii apare o creștere a forței de așchiere,

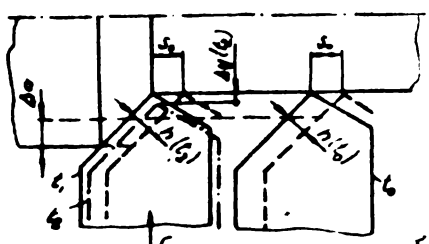


Fig.2.17

lucru ce produce deformări suplimentare în sistem și deci distanța dintre piesă și sculă va crește și ea cu mărimea

$$\Delta y(\xi_2) = \Delta b \cdot k_s \cdot s_0 \cdot \sin \alpha \cdot \frac{1}{w_y(p)} \quad (2.11)$$

b - grosimea așchiei [mm]

s_0 - avansul la momentul ξ_0 [$\frac{\text{mm}}{\text{rot}}$]

k_s - forța de așchiere specifică [N/mm^2]
într-grosimea așchiei devine

$$h(\xi_2) = h(\xi_0) - \Delta y(\xi_2) \cos \alpha \quad (2.12)$$

Mărimea de perturbație Δy sesizată de S.C.A. va fi preluată de acesta, comparată cu mărimea prescrisă cu timpul de basculare ξ_{CA} și la $\xi_3 = \xi_2 + \xi_{CA}$ grosimea așchiei va avea din nou valoarea inițială $y_R = y(\xi_2)$ iar

$$h(\xi_2 + \xi_{CA}) = h(\xi_0) - [\Delta y(\xi_2) - y_R] \cos \alpha = h(\xi_0) \quad (2.13)$$

Curba 3 realizată printr-un asemenea reglaj este prezentată în diagrama din fig.2.15.

La modificarea forței de așchiere cind se realizează bascularea suportului așa cum se indică în fig.2.12. valoarea cu care se rotește suportul este dată de expresia

$$\ell \approx \frac{P \cos \alpha}{L^2 J_{AB}} \left[(2 l_K - L) \operatorname{tg} \alpha + 2(k - a_0) \right] \quad (2.14)$$

Schema suportului împreună cu circuitul de reglare este prezentată în fig.2.18 iar semnificația rotațiilor din expresia (2.13) este:

α - unghiul forței de așchiere față de axa [rad]

L - distanța dintre reasemenele A și B [mm]

J_{AB} - rigiditatea reasemenerelor AB [N/mm]

l_K - distanța între suportul și proiecția machiei tăietoare pe axa y [mm].

k - distanță de la machia tăiateare la suportii A-B [mm].

m₀ - distanță între suportul C și suportii A-B [mm]

Insercările au condus la cunoașterea că la o îndreptare suficient

de mare a mașinii procesul este stabil pentru un timp de bănculare relativ mare

$T_{CA} > 02$ s, încrezut că se explică prin aceea că la reglarea mărimii perturbatoare CA reacționând în sistem înainte de a fi stinsă li-

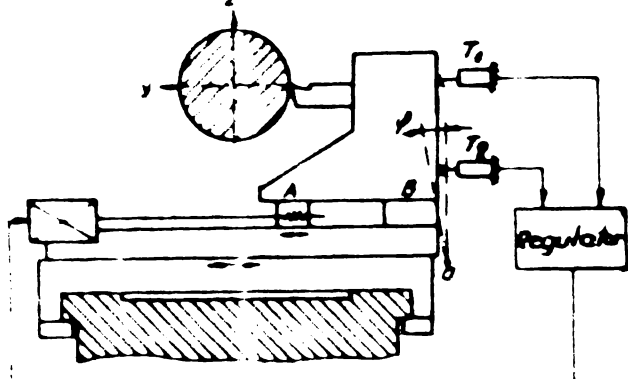


Fig. 2.18

mită de stabilitate.

Din insercările experimentale efectuate s-a constatat că pentru prelucrarea piecelor rigide se protează conducerea procesului prin CA folosindu-se procedeul deplasării radiale după ecuația (2.2) sau după modificarea forței de așchiere, după ecuația (2.3) sau (2.4). La prelucrarea piecelor ovale de lungime mare și diametru mic procedeul conducerii procesului după modificarea forței de așchiere nu a dat rezultate satisfăcătoare din punct de vedere al vibrațiilor. În schimb pentru același tip de piese, folosindu-se procedeul bănculării suportului, ecuația (2.6) s-a putut realiza o prelucrare liniștită fără depășirea limitei de stabilitate.

2.3. Apreciere critică asupra structurii și funcțiilor

S.C.A. analizate

- În sistemul de comandă adaptivă analizate s-a observat că cel mai frecvent ca mărimi de referință în sistem să-să aibă, forța de așchiere, paterea secționării principale momentul la arborele principal, iar pentru păstrarea în limitele prescrise a acestor parametri cel mai adesea s-a acționat asupra avansului sau vitezei de așchiere. Înțelegem prin aceasta că sistemele de comandă adaptivă au printre altele roluri de a adapta în permanență procesul de așchiere unor condiții inițiale prescrise, acestea fiind fie mărimi constante fie funcții de alți parametri.

- În ultimii ani s-au manifestat preocupări intense în direcția studierii dinamicii procesului de așchiere și a implicațiilor ce le introduce aceasta în păstrarea unei performanțe de natură tehnologică la prelucrarea pe mașini-ovale [7], [8], [10], [22], [23], [90], [66], [170], [171], [172], [174].

La analiza comenzilor adaptive pe mașini-unelte deși s-au luat în considerare un număr mare de parametri tehnologici în scopul realizării sau menținerii unor condiții impuse, în aproape toate cazurile nu s-a ținut seama de vibrațiile ce apar în procesul de aşchiere și de efectul acestora asupra piesei de prelucrat. Acționarea asupra unuia sau altuia dintre parametrii tehnologici în scopul satisfacerii unor condiții poate conduce la o aşchiere liniștită, dar acesta nu poate fi decit un efect întâmplător ce nu poate fi luat în considerare în analiza propusă. Luarea în considerare în S.C.A. a unor parametri de referință cît mai puțini posibili dar care să răspundă unui număr cît mai mare de condiții impuse vor simplifica mult, S.C.A. dar în nici un caz neglijarea autovibrațiilor - legate efectiv de aşchiere - nu ar însemna un progres în construcția S.C.A.

In ideia realizării unor S.C.A. complete în care alături de mărimi de reglare legate direct de precizia sau încărcarea mașinilor-unelte s-ar lua în considerare și autovibrațiile ce apar la aşchiere aceasta nu ar face decit să întregească ideia de adaptabilitate a procesului de aşchiere. Pe de altă parte tratarea singulară a S.C.A privită deoar prin prisma înălțurării autovibrațiilor din procesul de aşchiere ar soluționa acest aspect, dar neglijarea altora, ce ține seama de alte condiții ar conduce de asemenea la neajunsuri de natură tehnologică.

Încercările de integrare într-un S.C.A. a autovibrațiilor și prezентate în lucrarea de față au dat unele rezultate satisfăcătoare pentru unele tipuri de prelucrări, dar în același timp au apărut și o seamă de insuficiențe pentru alte tipuri de prelucrări. În acest sens este necesar să se realizeze un S.C.A. al căruia principiu -algoritm - să satisfacă cît mai multe - chiar toate - tipurile și procedeele de prelucrări de pe mașina respectivă.

Conducerea procesului de aşchiere folosind ca mărimi de informație deformăția pe direcția ya S.T.E. ecuația (2.2) introduce complicații privind sesizarea și măsurarea acestor deformații, existând posibilitatea în acest caz să apară și variații ale adîncimii de aşchiere. Acceptarea unui astfel de procedeu pretinde elemente de sesizare și de execuție de mare finețe și precizie.

In casul luării în considerare a ecuației (2.3) sau 2.4) pentru conducerea procesului prin S.C.A. apar deasemenea cîteva neajunsuri evidente. Acest principiu are la bază modificarea raportului forțelor de aşchiere F_x/F_y , fapt ce conduce la dificultăți privind posibilitățile de obținere a unor precizii ridicate, aceasta conducind și

la modificări ale rigidității suportului. Din fig.2.9 se observă de asemenea că modificarea forței de așchiere provoacă și o modificare a momentului atunci cind brațul î rămâne constant. Schimbarea parametrului s în scopul modificării mărimi forței de așchiere în deosebi pentru operațiile finale nu este cazul cel mai fericit acesta fiind un motiv în plus să afirmăm că soluția nu satisfacă pe deplin. De altfel se apreciază [50] că acest procedeu nu a satisfăcut nici la încercările experimentale efectuate cu C.A pe modelul de strung 1K62, la nici modificări ale forței de așchiere au apărut autovibrări.

Se apreciază că soluția care a dat cele mai bune rezultate a fost cea a conducerii SCA utilizând ecuația 2.6, după procedeul de basculare. Problemele dificile care apar în acest caz sunt legate de basculare T_{CA} care trebuie să se modifice pentru diferite condiții de lucru, cunoscut fiindcă aceasta realizează amortizarea în sistem în funcție de durata unei perioade a autovibrării. Un alt meajuns al acestui principiu de comandă constă în aceea că, bascularea suportului chiar și pentru perioade de timp foarte scurte provoacă variații ale adincimii de așchiere, acestea provocând periodic (funcție de frecvență de basculare) denivelări pe suprafața prelucrată. Dezavantajul cel mai mare al acestui procedeu este însă legat de însăși principiul soluției; este posibil ca într-un anumit caz procesul să se mențină un timp mai îndelungat la limita de stabilitate, cas în care S.C.A. ar trebui să comande bascularea suportului în mai multe cicluri, fapt ce ar putea conduce la o instabilitate a însuși sistemului de comandă. În plus realizarea și măsurarea efectivă a constantelor de timp în proces este dificilă de realizat, chiar și numai în condiții de laborator.

Cu toate acestea rezultatele obținute constituie un progres cert dar sunt necesare noi investigații în scopul stabilirii unor principii unice, valabile pentru toate procedeele de prelucrări și în același timp posibile de cuplat cu S.C.A. ce folosesc alte funcții tehnologice.

Cap.3. DESPRE SISTEMUL DINAMIC AL
MASINILOR UNELTE

3.1. Generalități

Indicii calității dinamice a mașinilor-unealte (MU) [56], [76], [78], [114], [125], [126], [129] cuprind precizări cu privire la asigurarea unor anumite precizii dimensionale de prelucrare și a unei anumite calități a suprafeței, ambele evident pentru o anumită capacitate de producție, precum și pentru rezerva de stabilitate, durata de funcționare, viteza de reacție, grad de stabilitate, etc. În timpul procesului de aşchieri apar fenomene tranzitorii și staționare, fenomene provocate de un mare număr de factori cum ar fi: greutatea subansamblurilor mobile și semifabricatelor, forțelor de strângere, forțelor de inertie, acțiunile termice din zona de aşchieri, modificarea secțiunii aşchiei, etc. În ansamblul mașinii toți acești factori, se exprimă prin variația simultană a stărilor de tensiune, a vitezelor, presiunilor etc., ce nu trebuie să depășească o anumită limită admisă pentru un anumit tip de mașină-unealtă. Stabilirea acestei limite se face analizând variația uneia sau mai multor parametri în funcție de domeniul de dispersie a valorilor față de valoarea limită admisă. În acest mod se poate explica posibilitatea studierii separate a proceselor dinamice ale mașinilor-unealte, iar variația mărimilor precise mai întâi are loc concomitent, reprezentând un proces dinamic unic în cadrul sistemului. Acest proces depinde de acțiunea factorilor externi și a proprietăților sistemului el fiind definit de calitatea dinamică a mașinii - unealte. Calitatea dinamică a mașinii-unealte este determinată de stabilitatea sistemului și de caracteristica reacției sale la acțiunea factorilor externi. În legătură cu calitatea dinamică a mașinii-unealte, este de recomandat să se urmărească în deosebi precizia de prelucrare, și capacitatea de producție. Acești parametri influențăți direct de deplasarea relativă sculă - semifabricat, de durabilitatea sculei, de regimul admis de sistem prin condițiile de stabilitate și precizie.

3.2. Sistemul dinamic al mașinii unealte

Procesele ce apar la prelucrarea pe mașini-unealte și care sunt determinate de sistemul dinamic al M-U pentru care se consideră procesele de lucru și sistemul tehnologic elastic (STE) în interacțiunea lor.

Procesele de lucru sunt reprezentate prin, procesele de aşchierare și frecările care au loc în sistemele de acționare.

Procesele de lucru acționează asupra STE provocând deplasări ale elementelor constructive ale acestuia modificând poziția reciprocă a elementelor aflate în mișcare relativă; sculă-semifabricat; sanie, ghidaj, etc. Acțiunea sistemului elastic asupra proceselor de lucru se manifestă prin modificarea parametrilor lor de bază: secțiunea aşchiei, presiunea normală pe suprafețele de prelucrare, viteza de deplasare, etc. Această acțiune provoacă variația forțelor, a cantității de căldură degajată, etc.

Se poate deci spune că forțele cît și celelalte forme de acțiune ale proceselor de lucru asupra sistemului elastic sunt forțe sau acțiuni interne. Se observă deci că această dependență dintre procesele de lucru și sistemul elastic provoacă reacția inversă a sistemului.

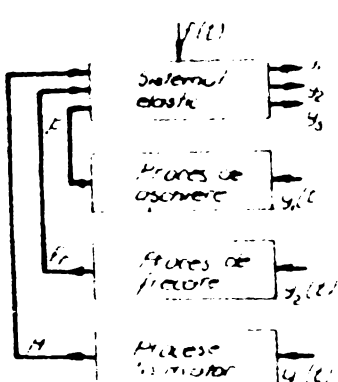
Atunci cînd se neglijă acțiunea inversă, a sistemului elastic asupra proceselor de lucru, forțele din proces se consideră ca fiind exterioare sistemului, ele pot fi considerate constante sau variabile în timp.

Schema convențională a acțiunii proceselor de lucru asupra sistemului elastic este reprezentată în fig.3.1.

Se observă că pe lîngă procesele de lucru în care intră: procesele de aşchierare, de frecare și procese în motor, mai acționează asupra sistemului elastic forțele de inerție din sistem,

greutatea subansamblelor și semifabricatelor, forță de stingere a pieselor, sursele termice, șocurile și vibrațiile ce apar fie datorită factorilor externi, fie celor din proces, acestea sunt prezente în sistem prin funcția $f(t)$. Acțiunea factorilor externi asupra proceselor de lucru conduce la modificarea unor parametri ce caracterizează aceste procese (t) .

Fig.3.1.



In general însă, la studierea comportării dinamice a unui sistem se ia în considerare și acțiunea inversă a sistemului elastic asupra proceselor de lucru. Schema unui astfel de sistem, cu acțiune inversă este reprezentată în fig.3.2.

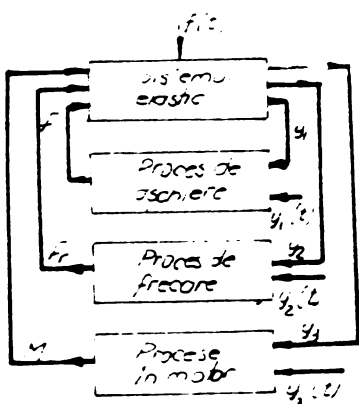


Fig.3.2

Sistemele dinamice ale mașinilor-unelte sunt neliniare și deosebit de complexe. Dat fiind acest fapt în casul cel mai general, ecuația care descrie comportarea unui sistem dinamic închis are forma (3.1)

$$L(x_e, \frac{dx_e}{d\zeta}, \frac{d^2x_e}{d\zeta^2}, \dots) = P(f, \frac{df}{d\zeta}, \frac{d^2f}{d\zeta^2}, \dots, y, \frac{dy}{d\zeta}, \frac{d^2y}{d\zeta^2}, \dots) \quad (3.1)$$

O astfel de ecuație descrie modul de comportare al sistemului dinamic închis, sub acțiunea factorilor externi, exprimăți prin funcția $f(\zeta)$, și al variației reglării $y(\zeta)$, în raport cu mărimea de ieșire x_e .

Astfel de ecuații alcătuite pe baza unor principii generale ale mecanicii teoretice, hidrodinamicii, electrotehnicii, etc. pot fi ecuații neliniare deosebit de complexe poate chiar ecuații integro-diferențiale, rezolvarea acestora fiind deosebit de greaie, uneori imposibilă. Rezolvarea comportării unui sistem în regim dinamic, într-un astfel de cas se realizează prin aducerea la forme mai simple a acestor ecuații, sau sistem de ecuații, prin înlocuirea lor cu altele echivalente care sunt de fapt ecuații liniare cu coeficienți constanți. Această operație de liniarizare în tehnică este foarte frecventă [16][48][49][53][55][71][76][121][124][140][147][153] în special în casul mașinilor-unelte [76]. Pentru sistemele liniare, frecvent se utilizează principiul superpoziției. Aceasta constă în aceia că efectul total al factorilor ce acționează concomitent asupra sistemului liniar va fi egal cu suma efectelor, provocate prin acțiunea fiecărui factor separat. Utilizând acest principiu ecuația (3.1) va deveni:

$$L(x_0, \frac{dx_0}{dt}, \frac{d^2x_0}{dt^2}, \dots) = (f, \frac{df}{dt}, \frac{d^2f}{dt^2}, \dots) + N(y, \frac{dy}{dt}, \frac{d^2y}{dt^2}, \dots) \quad (3.2)$$

Resolvarea acestui gen de ecuații este foarte comodă utilizând transformata Laplace care este definită prin relația (3.3).

$$f(s) = \int_0^\infty e^{-st} \cdot f(t) dt ; \quad f = \frac{d}{dt} \quad (3.3)$$

care atunci cind integrala are sens, permite trecerea de la funcția $f(t)$ la funcția $f(s)$, obținându-se astfel din operațiile de derivare și integrare, operații algebrice simple de înmulțire sau împărțire. În acest fel ecuația (3.2) devine:

$$L(s) \cdot x_0 = S(s) \cdot f + N(s) \cdot y. \quad (3.4)$$

unde $L(s)$, $S(s)$ și $N(s)$ sunt simple polinoame în s a căror relație desfășurată va fi

$$(a_0 s^n + a_1 s^{n-1} + \dots + a_{n-1} s + a_n) x_0 = (b_0 s^m + b_1 s^{m-1} + \dots + b_{m-1} s + b_m) f + (c_0 s^k + c_1 s^{k-1} + \dots + c_{k-1} s + c_k) y \quad (3.5)$$

unde coeficienții polinoamelor a, b și c sunt determinați de proprietățile sistemului elastic și ale proceselor de lucru precum și a legăturilor dintre ele, iar soluția ecuației (3.5) va fi de forma:

$$x_0 = x(s) + x^0(s)$$

Pentru ecuația omogenă $L(s) \cdot x_0 = 0$, soluția generală $x(s)$, descrie procesul transitoriu al sistemului, iar soluția particulară, $x^0(s)$ - corespunzătoare membrului drept al ecuației

$\left[(S(s) \cdot f + N(s) \cdot y) \right]$, va descrie procesul stabil al sistemului. Formarea și rezolvarea ecuațiilor (3.5) reprezintă punctul de plecare pentru studiul și analiza sistemului dinamic al mașinii-unelte, al elementelor sale și al legăturilor dintre ele. Prin analiza legăturilor sistemelor dinamice ale mașinilor-unelte, se poate pune în evidență particularitățile de bază ale acestor sisteme și anume:

- sistemul dinamic al mașinii-unelte este un sistem închis, format din mai multe circuite;

- acțiunile elementelor de bază ale sistemului pot fi considerate ca fiind direcționale;

- interacțiunea dintre procesele de lucru se produce numai prin intermediul sistemului elastic.

Esențial în analiza comportării dinamice a unei mașini-unelte este ca sistemul dinamic al acesteia să se considere un sistem închis, aceasta constituind de fapt baza dinamicii mașinilor-unelte.

3.2.1. Despre stabilitatea procesului de așchiere

In subcapitolul 3.1 s-a prezentat influența STE asupra comportării la stabilitate. In cele ce urmează, STE se va atăpa procesul de așchiere, care de fapt generează vibrațiile autoexcitate. Caracteristica S.E.S. în cazul cel mai general poate fi reprezentată prin suma caracteristicilor modurilor de vibrații normale fig.3.3 acestea fiind foarte bine puse în evidență de un sistem cu două grade de libertate cu legătură după coordonate. In fig.^{3.3} este indicat

circuitul legăturilor unui astfel de sistem cu procesul de așchiere, unde cu a și b s-au notat modurile normale de vibrații ale S.E.S., iar P.A reprezintă procesul de așchiere. In fig.3.3a este reprezentată schema sistemului dinamic al mașinii unelte, închis, în fig.3.3b a

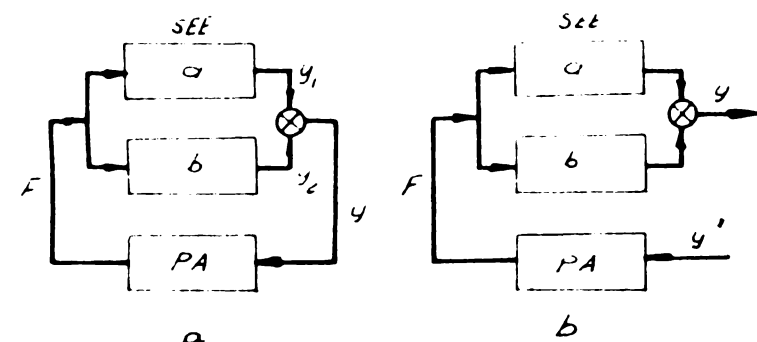


Fig.3.3

sistemului deschis. La baza teoriei lui Kudinov a legăturii după coordonate care explică condițiile de apariție a autovibrațiilor, se află totuși particularitatea sistemelor cu mai multe grade de libertate, semnătă caracteristicii dinamice. O astfel de caracteristică, prezentată în fig.3.4 descrie condițiile de stabilitate și limita limită a stratului de așchiat. Segmentul de dreapta R^0_{ad} delimitat de caracteristica sistemului pe axa reală negativă, indică comportarea la stabilitate

* SEE Sistem elastic echivalent

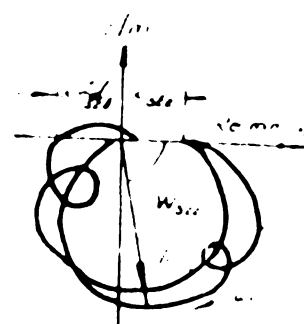


Fig.3.4

a sistemului. Cu cît este mai mare acest segment R_{ed}^0 pe axa negativă cu atât lățimea limită a stratului de aşchiat va fi mai mică și prin urmare stabilitatea la autovibrării va fi mai mică. Expressia lățimii limită a stratului de aşchiat în funcție de segmentul R_{ed}^0 care ține seama că acest segment la limita de stabilitate este egal cu unitatea, este de forma

$$t_{lim} = \frac{1}{K R_{ed}^0}, \quad (3.6)$$

Lățind în considerare rigiditatea tehnologică K_j și rigiditatea de așchiere K_p , lățimea limită se poate exprima și cu relația (3.7)

$$t_{lim} = \frac{K_j}{K_p}, \quad (3.7)$$

unde

$$K_j = \frac{P}{\Delta y} \quad [\text{daN/mm}]$$

$$K_p = \tan \alpha = \frac{F}{t} \quad [\text{daN/mm}]$$

In fig.3.5. sunt reprezentate schematic direcțiile de deplasare ale sculei - sistemul cu două grade de libertate - și dia-

grama $F=f(t)$ după care se determină rigiditatea tehnologică. Stabilitatea sistemului în acest caz rezultă ca urmare a modului de variație a forței și a adincimii de așchiere.

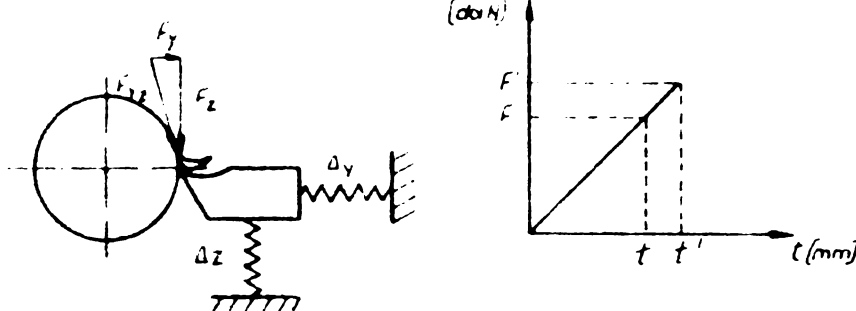


Fig.3.5.

Interpretarea fizică a fenomenului de pierdere a stabilității sistemului este ilustrată [36], [42], [56], [76], [129], [141], [145], [148] în fig. 3.6 pentru sistemul cu mai multe grade de libertate. În acestea vibrăția sculei în raport cu semifabricatul nu reprezintă decit rezultatul compunerii mai multor vibrări simple de translație sau cu rotație. În fig.3.6. este reprezentat un sistem cu două grade de libertate, cas tipic pentru așchierarea pe strung, în care se insuează două vibrări de translație după cele două axe. Datorită decalajului de fază care poate să existe între vibrăriile după cele două direcții, traectoria mișcării între piesă și sculă care rezultă din compunerea celor două vibrări este o curbă închisă

care teoretic are forma unei elipse numită elipsa deplasărilor.

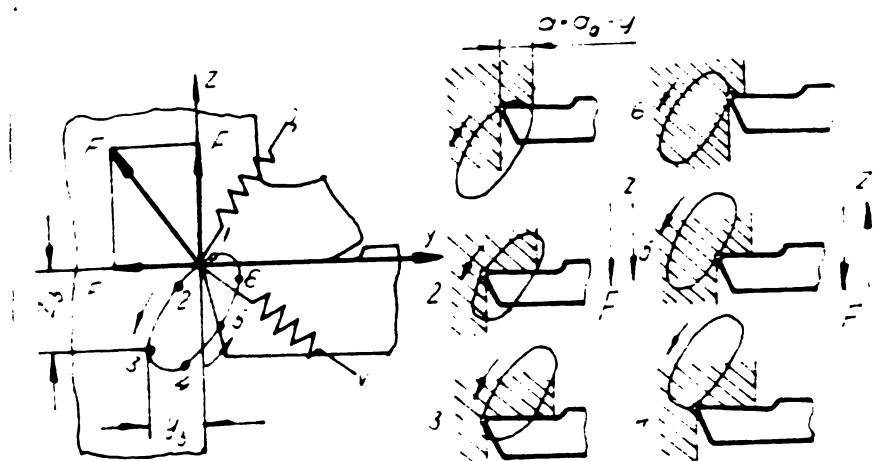


Fig. 3.6

fi mai mare decât în cazul deplasării în sensul scăderii forței de așchiere. De că decalajul de fază între vibrații este astfel, încât virful sculei să se deplaceze invers sensului indicat în figură înseamnă că sistemul este stabil iar variația forței de așchiere în acest caz va avea un efect amortizor.

In analiza caracteristicilor dinamice ale procesului de așchiere cît și din caracteristicile amplitudinei fază traseate de diversi autori [56][76] se desprinde ideea că: în procesul de așchiere apare o rămînere în urmă a variației forței față de coordonată respectiv grosimea stratului de așchiat. Intersecția caracteristicii dinamice a S.E.B. cu axa reală negativă indică gradul de stabilitate al sistemului; cu creșterea adâncimii de așchiere (t), punctul de intersecție al caracteristicii cu axa reală negativă se îndepărtează tot mai mult de originea axelor de coordonate și prin urmare gradul de stabilitate scade.

Insercarile efectuate de ICPMA pe modelul SP630-NC pentru

stabilirea adâncimii limită, au condus la determinarea acesteia în funcție de turăția piesei.

Resultatele sunt prezentate în diagrama din fig.3.7., în care se observă că odată cu creșterea avansului procesul este stabil la adâncimi mai mari. De altfel, legat de stabilitatea procesului de așchiere, unul din cele mai importante aspecte este evidențiat în

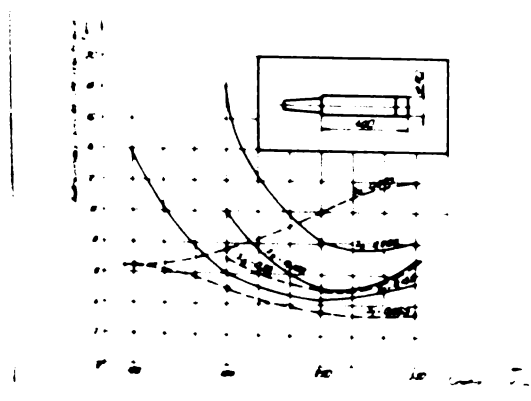


Fig.3.7

lucrările [42][129][130][133] ale lui Kliasberg, Sokolovski și Steinser

In fig.3.6 se observă că virful sculei care descrie elipsa, conduce la variația grosinii stratului de așchiat și prin urmare a forței de așchiere. În deplasarea în sensul creșterii forței, grosimea stratului de așchiat va

În care aceasta este legată de viteză de aşchiere.

Din analiza prezentată privind influența caracteristicilor dinamice asupra stabilității procesului de aşchiere se observă că, formele tuturor caracteristicilor procesului de aşchiere reflectă același fapt: răspunsul în urmă a variației forței de aşchiere față de coordonată. În capitelele următoare ale lucrării se va prezenta în mod detaliat influența parametrilor tehnologici asupra stabilității și căile de păstrare a acesteia în procesul de aşchiere pe strugeri.

3.3. Vibrăriile mașinilor - unele

În timpul procesului de aşchiere pe MU se întâmplă frecvent ca acesta să fie întrerupt sau să se modifice parametrii regimului datorită unor perturbații ce apar în proces, perturbații care în terminologia tehnică sunt cunoscute sub denumirea de vibrații. În toate cazurile de aşchiere, în stabilirea regimurilor de lucru pe MU - se pornește dela ideia satisfacerii cerințelor pe care o piesă trebuie să le îndeplinească într-o mașină. În linii mari aceste cerințe vineană:

- calitatea prelucrării;
- precizia dimensională și de formă, în plan perpendicular pe suprafață de prelucrat, cît și dealungul acesteia;
- costul minim al operației.

În funcție de aceste cerințe se stabilesc regimurile de aşchiere pentru realizarea unei piese, ținându-se bineînțeles seama de MU pe care urmează să se efectueze prelucrarea, de posibilitățile pe care aceasta le oferă. Considerentul de ordin economic impune stabilirea unor încărcări la capacitatea maximă a mașinii și deci evaluarea parametrilor regimului (adâncime, avans, viteză) la cote cît mai ridicate însă, în limitele posibilităților pe care mașina le oferă însece urivește puterea de acționare principală, posibilitățile lanțului cinematic al mecanismului de avans, rezistența sculei cu care se efectuează operația, durabilitatea sculei (cu numărul minim de reascatări) și altele.

Este evidentă deci tendința de încarcare maximă posibilă și admisă, pe o mașină-unealtă atunci cînd se proiectează și se aplică o tehnologie de prelucrare pe o mașină de aşchiat metal. Din păcate însă în majoritatea cazurilor aceste regimuri și deci

încărcării ale mașinilor unele nu sunt posibile datorită frecvențelor perturbații ce apar în timpul procesului de lucru, acestea fiind mai întotdeauna datorate vibrațiilor. Acest fenomen produce: deplasări suplimentare a unor subansamblu ale mașinilor-unele, conducând chiar la distrugerea unor organe, deplasări ale sculei cu pierderea preciziei, usuri rapide și chiar ruperea sculei, iar pe suprafața pieselor ce se prelucrează apar urme evidente ale măchiei așchietoare ale sculei, ceea ce poate conduce la rebuturi irecuperabile. Este de înțeles deci cauza pentru care preocuparea unui mare număr de cercetători s-a îndreptat înspre studiul și analiza comportării statice și dinamice ale mașinilor-unele în condițiile vibrațiilor. Se amintește că tendința de automatizare prin diverse procedee, de programare a regimurilor și a lanțurilor de dimensiuni echiparea cu calculatoare, deci computerizarea prelucrărilor pe mașini unele din ultimul deceniu, a produs un salt uriaș în concepția constructorilor de mașini. Prin urmare este normal ca față de fenomenele nedorite ce apar într-un proces, o mașină complet automatizată să poată fi în măsură să ia o decizie prin care respectivele fenomene să poată fi atenuate. Pe mașinile-unele clasice o astfel de decizie o ia operatorul, modificând un parametru pentru înălțurarea fenomenului. Analizând tipurile de vibrații ce apar la așchiereea pe mașini-unele, cu referire directă la strunguri se poate spune că ele au o natură foarte diferită. În general mașinile - unele sunt construite în așa mod încât să aibă capacitate de amortizare suficientă la apariția unor șocuri în sistem. S-a constatat de altfel că acestea dispar după o perioadă de timp relativ scurtă prin disiparea (amortisarea) energiei introduse. Apar în schimb vibrațiile forțate care pot însobi în permanență un proces de lucru.

Apariția se datorează unor factori care se prezintă în principal în paragrafele următoare.

3.3.1. Vibrațiile forțate ale strungurilor

Așa cum s-a prezentat mai înainte, acest tip de vibrații ține în general de natura constructivă a mașinilor, ele vinândă în primul rând organelor de mașini în mișcare, neechilibrate [35],[36],[45],[51],[56],[59],[125],[129],[133],[142],[146] dinamic, și pot compromite procesul de așchiere dacă nu se iau măsuri de înălțurare încă din faza de proiectare sau prototip a mașinii unele, în cele ce urmează se prezintă pe scurt influența diferitelor factori asupra acestor vibrații.

- Vibrațiile produse de roțile dințate în angrenare se datorează în principal defectelor de execuție: excentricități, erori de execuție a profilului sau erori de divizare. Aceste defecte conduc la mișcări de rotație neuniforme, motiv pentru care la mașini de precizie în multe cazuri se folosesc transmisii prin curele, acestea având rol de filtru. Utilizarea lor evită oscilațiile la tensiune de frecvență ridicată [35].

- Vibrațiile produse prin transmisiiile cu curele sunt uneori deosebit de pronunțate atunci cînd apar în funcționare variații ale fibrei neutre din curea.

Acest fenomen dă naștere la vibrații forțate torsionale cît și rectilinii, în plus, datorită fenomenului care generează acest tip de vibrații forțate apar variații ale sarcinii în lagăre și ale vitezelor unghiulare ale roților de curea. Variațiile fibrei neutre a curelelor se datorează, defectelor roții de curea, (excentricități) defectelor de formă sau de structură a curelei (variații ale profilului curelei sau neomogeneitatea materialului din care este executată). Experimental s-a constatat că, curelele lăte sint mai silentioase decît cele trapezoidale, deoarece generează perturbații mai reduse, iar forța perturbatoare este aproape independentă de tensiunea din curea [56].

- Vibrațiile ce apar datorită lagărelor folosite în construcția strugărilor, au ca principală sură, imprecizia dimensională a elementelor ce compun rulmenții cu bile și cu role, sau neregularităților de pe suprafețele de rulare. Cunoscindu-se frecvența vibrațiilor se poate determina elementul rulmentului care provoacă vibrațiile [56]. Detectarea elementului care produce vibrații este mai dificilă în cazul rulmenților cu două sau mai multe rînduri ale corpurilor de rostogolire. În construcția lagărelor de rostogolire, casul cel mai avantajos îl prezintă rulmenții cu două rînduri de corpi de rostogolire și cu un joc radial redus. Această calitate conferă rulmenților rigiditate ridicată și capacitate de amortisare bună, lucru ușor de realizat la rulmenții cu role la care se pot realiza jocuri negative prin prestrîngerile inițiale ale acestora.

Comparind comportarea lagărelor de rostogolire și a celor de alunecare la vibrații se apreciază că lagărele de alunecare au calități mai bune doar în cazurile în care se folosesc pentru ungere uleiuri cu viscositate ridicată.

- Vibrațiile datorate aşchierii intermitente, apar la prelucrările unde sculele de aşchiat au un număr mai mare de muchii aşchiecare, cum este casul la operațiile de fresare sau broșare sau la strunjire cind aceasta se desfășoară pe suprafețe discontinue. În principal apariția vibrațiilor în acest cas se datoresc variației forțelor de aşchiere. Astfel la fresare, componenta tangențială a forței de aşchiere este cea care produce vibrațiile, ea acționând

direct asupra dintelui frezei.

După R.Piekenbrink [56] legea de variație a forței de aşchiere tangențială funcție de unghiul ϕ care definește poziția muchiei aşchiecare este prezentată în fig.

3.8. Se observă că pulsăția componentei tangențiale este accentuată lucru ce produce vibrații forțate. Este de menționat faptul că utilizarea frezelor cu dinți înclinați

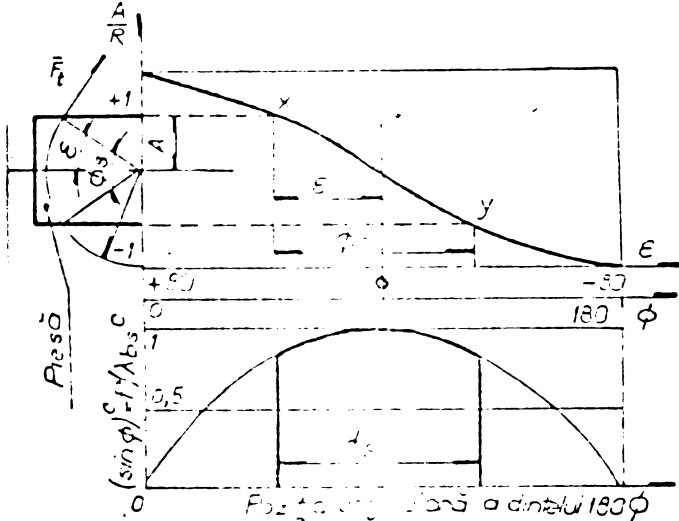


Fig.3.8

asigură o aşchiere mai liniștită. Ele sunt de recomandat atunci cind este posibilă utilizarea lor. La strunjire prelucrarea suprafețelor discontinue produc variații mari ale forțelor de aşchiere fenomen ce favorizează apariția și chiar întreținerea vibrațiilor forțate fapt care urmări nefaste asupra procesului de aşchiere: suprafețe de calitate necorespunzătoare, usuri rapide ale sculei.

- Vibrațiile forțate ce apar datorită altor mașini, au de asemenea o pondere însemnată. Ele se datoresc unor utilaje care în mod curent produc vibrații și care nu sunt afectate în prea mare măsură de prezența acestora în exploatare, cum ar fi: presele, motoarele cu ardere internă, compresoarele etc. Într-un atelier de prelucrări mecanice vibrațiile planșoului conține un spectru larg de frecvențe încât este foarte posibil ca unul din acestea să se găsească în apropierea frecvenței proprii a mașinii-unelte. Isolarea față de aceste vibrații se realizează prin folosirea isolatorilor de vibrații, la mașina care generează acest fenomen fie la mașina-unealtă influențată de acesta, de obicei se preferă prima soluție [56][15][130] mai ales cind forțele de excitație sunt produse de ciocane sau prese. În general isolatorii de vibrații produc o micșorare a frecvențelor proprii, a amortizării și a constantei elastice. Ansamblul structurii poate deveni astfel mai suscepțibil față de forțele de excitație

interne, putindu-se de acelorași modificații în mod nedorit comportarea sa față de vibrațiile autoexcitate. Este totuși avantajos faptul că numai mărurile joase de vibrații (care nu au un rol important la marea majoritate a mașinilor ușoare), sunt modificate în mod apreciabil. Pentru încărcări medii pot fi utilizate cu bune rezultate izolatori din cauciuc, foi de plută, masă plastică, iar pentru încărcări foarte mari se utilizează ca izolatori, amortizoare hidraulice sau cu frecare uscată [21],[31],[56],[64],[108]

- Variatiile ce apar datorită alunecării intermitente la mecanismele de translație (avans), au ca sursă de generare frecarea dintre suprafețele în contact, aceste vibrații mai sunt cunoscute și sub denumirea de "mers sacadat" (stick-slip). Cind începe mișcarea suportului sculei prin cuplarea unei transmisii, în lanțul cinematic al acesteia apare o deformare elastică pînă cînd forțele ce transmit mișcarea depășesc forțele de frecare statice de pe suprafețele în contact (ghidaje). După aceasta suportul începe să se miște iar forța de frecare scade la valoarea sa dinamică. Ca urmare a scăderii forței de frecare, suportul sculei capătă o accelerare mare și face un salt înainte, din cauza inerției. La sfîrșitul saltului transmisia capătă o deformare de sens opus, această deformare trebuie însă anulată înainte ca o altă mișcare să poată avea loc. Ca urmare, s-a creat condiții ca fenomenul să se repete. Acest fenomen face parte din categoria cunoscută în general sub numele de "oscilații de relaxare".

Apariția alunecării intermitente depinde de interacțiunile cîtva factori [36],[56],[65],[76],[88],[89],[93],[94],[95],[123] cum or fi:

- masa corpului ce se deplasează prin alunecare
- rigiditatea sistemului de antrenare în mișcarea de avans
- amortizarea ce există în sistemul de avans
- viteza de deplasare a corpului care alunecă (suportului)
- rugozitatea suprafeței de alunecare
- lubrifiantul utilizat

De obicei fenomenul apare la viteză de deplasare mici cînd trebuie să deplaseze piese de dimensiuni mari pe distanțe mici față de poziția de repaus. Pentru evitarea apariției acestui fenomen se reduce fie masele în mișcare fie se măresc vitezele de deplasare sau se asigură mecanismului de avans o rigiditate foarte mare.

Rezultate foarte bune s-au obținut prin utilizarea ca suprafețe de contact a fontei turnate cu un material plastic.

Se folosesc cu succes în construcția de mașini ghidajele cu ungere sub presiune. Menționându-se pelicula de ulei dintre suprafețele de contact la o anumită presiune se elimină posibilitatea apariției frecăriri mixte, uscate și viscoase și prin urmare nu poate să apară fenomenul de avans sacadat.

3.3.2. Vibrațiile autoexcitate ale strungurilor

S-a văzut că vibrațiile forțate care apar la prelucrarea pe mașini unelte sunt generate de factori externi care nu țin de procesul de aşchieri.

In procesul de aşchiere apar însă vibrații care se datorează însăși procesului. Acest tip de vibrații sunt cunoscute sub denumirea de vibrații autoexcitate. Se apreciază că ele sunt foarte dăunătoare pentru durabilitatea sculei aşchietoare, pentru calitatea suprafeței prelucrate de ele. Însoțite de sgomote considerabile ele influențează și capacitatea de producție a mașinii, vibrațiile autoexcitate ale mașinilor unelte au un caracter întimplător, efectele nedorite ale acestuia în special limitarea regimurilor de aşchiere - au preocupat un număr mare de cercetători. Caracterul complex precum și multitudinea factorilor care favorizează apariția autovibrațiilor au condus la emiterea unui număr mare de teorii privind natura și originea autovibrațiilor la aşchiera pe mașini-unelte, grupate sub denumirea "principii de generare a autovibrațiilor". În cele ce urmează vom prezenta principalele teorii emise privind apariția autovibrațiilor la aşchiera pe mașini-unelte.

a) - Principiul fragmentării aşchiilor la prelucrarea cu viteze mici [76,120,129]. Acest principiu a fost enunțat de P.Taylor și mai târziu de I.S.Steinberg [133] care a emis ipoteza că autovibrațiile ce apar în procesul de aşchiere ar ca sursă de generare fenomenul de rupere periodică a depunerilor de pe tăișul sculei. Steinberg explică însă constanța prezenței vibrațiilor autoexcitate în cazul cînd frecvența perturbatoare variază prin existența efectului produs de urmele rămase pe suprafața de prelucrat de la o trece-re anterioară cunoscut sub denumirea de efect al vibrațiilor regenerative. Acest ultim fenomen a fost mai târziu acceptat și de alți cercetători cum ar fi I.Tlusti, R.Polacek, S.A.Tobias, W.Pishwick, V.A.Kudinov [56,76,79,120,125,129,133,142,145]. Teoria privind faptul că, originea autovibrațiilor se datorează fenomenului de

fragmentare a aşchiilor nu a putut explica o seamă de fenomene legate de frecvența autovibrățiilor, eroarea constând în principal în aceea că, acest gen de vibrății, s-a considerat că poate fi redus la studiul oscilațiilor forțate ale S.E.E. sub influența unor forțe periodice exterioare, neglijindu-se tocmai fenomenul real care generează autovibrățiile - existența unei forțe interioare dependente de procesul de aşchierie.

b) - Principiul vibrățiilor regenerative. Studiile întreprinse de mulți cercetători au condus la concluzia că, caracterul autooscilant al vibrățiilor la aşchierea pe mașini unelte are ca origine efectul produs de urmele rămase pe suprafața de prelucrat de la trecerea anterioară. Primul care a explicat influența urmator de pe suprafața de prelucrat asupra apariției autovibrățiilor a fost N.D.Drozdlov, acestui teorie alăturându-se I. Ilustrii, M. Polacek, S.A. Tobias, V.A. Kudinov, [56, 76, 133, 142, 145]. Legat de acest principiu A.I.Kaşirin [67] a pus în evidență căile de acțiune inversă - reacția negativă - a S.E. asupra procesului de aşchierie care constă în principal în: variația unghiurilor active ale sculei și în cazul prelucrării cu vibrății, variația forței de frecare pe suprafețele de aşezare și degajare ale sculei ca urmare a variației unghiurilor și în funcție de viteză de aşchierie, influența urmator de la trecerea anterioară, evidențiind ca factor determinant în apariția autovibrățiilor caracteristica descrescătoare a forței de frecare a aşchiei pe suprafața de degajare a sculei. Omisiunea făcută însă de unii dintre autorii prezențați constă în aceia că în ipotezele emise, precum și în cercetările întreprinse au luat în considerare doar caracteristica statică a procesului de aşchierie, neglijind aspectul dinamic determinant în studiul acestui gen de oscilații. În acest sens A.P.Sokolovski și-a adus o contribuție esențială [129, 130] indicând importanța care o prezintă în analiza fenomenului de apariție a autovibrățiilor, raportul între viteză de oscilație și viteză de aşchierie $\frac{I}{V}$ și nu valoarea absolută a vitezei mișcării oscilatorii. El a descris din punct de vedere matematic decalajul de fază existent între variația forței de aşchierie și deplasare în procesul autovibrator, insistând cu deosebire asupra dependenței forței de aşchierie de viteză de aşchierie. Interpretarea fizică a variației forței fiind explicată prin existența unor zone de rezistență diferită a materialului de prelucrat în procesul deformării plastice la intrarea cuțitului într-un ma-

terial moale și retragerea lui din materialul ecrisaat. Această nouă ipoteză a dependenței forței de viteză a atras atenția multor cercetători în explicarea fenomenului autovibrățiilor ca R.Arnold, A.L.Voronov, L.S.Bureškin, Tobias și Pishwick [56, 72, 76, 97, 98, 101, 134] [152]. Acesteră explicație li s-a adăugat cele emise de I.Klienberg, S.Doi, S.Kato [35, 42, 45] întregite cu ideea că decalajul de fază stabilit experimental este o urmare a fenomenului de întîrziere a deformațiilor plastice în zona de așchiere. Lucrarea lui E.E.Elisberg [42] însearcă să dea o interpretare fizică fenomenului de întîrziere a forței de așchiere în raport cu deplasarea. Aceste contribuții au adus multe elemente noi în explicarea și cunosterea fenomenului de apariție a autovibrățiilor.

c).- Principiul dependenței forței de așchiere de grosimea stratului de așchiat. Această principiu a fost explicat în lucrările lor de J.Tlusti, F.Salje și V.A.Zindinov [77, 122, 143] și constă în aceea că variația forței de așchiere în funcție de deplasare, respectiv prezența decalajului de fază dintre acestea este urmări a faptului că grosimea stratului de așchiat prezintă o variație inegală datorită mișcării relativ complexe ce apare între scula și piesă, acest lucru casul unui SE cu mai multe grade de libertate. O serie de cercetători în fizicoștiile experimentale efectuate au determinat traiectoria eliptică pe care o descrie vîrful cuștitului de strung în material [4, 21, 36, 56, 59, 67, 73, 77, 109, 118, 125, 130, 143, 144, 145, 164] literatură tehnică consemnată în numeroase lucrări acest fenomen. În funcție de proprietățile SE ale mașinii-mesle, particularitățile traiectoriei mișcării constau în aceea că, la deplasarea în sensul acțiunii forței de așchiere scula pătrunde în materialul de prelucrat, înălțându-o așchie de grosime mai mare decât în cazul deplasării în sens invers forței de așchiere cind se produce retragerea cuștitului și deci deplasarea unei așchii mai subțiri, forța de așchiere variind în funcție de variația grosimii stratului deplasat.

Toate cazurile presentate mai înainte care reprezintă principiul ce explică natura și originea autovibrățiilor, sunt o reflectare parțială a comportării sistemului dinamic închis al mașinii-mesle. Este deci necesar ca în analiza comportării dinamice a mașinilor-mesle să se țină seama de caracteristica dinamică a mașinii.

Cap.4. AMORTIZAREA VIBRATIILOR AUTOEXCITATE
SI INFLUENTA REGIMULUI DE ASCHIERE
ASUPRA ACESTORA LA ASCHIEREA PE
STRUNGURI

In procesul de așchiere pe lingă mișcările pe care mașina - unealta le execuță și care în mod obișnuit sunt fără vibratii apar și mișcări suplimentare, nedorite, care condus la perturbații ale procesului și implicit la instabilitatea acestuia.

Pentru evitarea acestor fenomene, în prelucrarea pe mașini-unealte, trebuie să cunoascem cauzele care le produc.

Perturbațiile ce apar în timpul așchierii pe mașini-unealte cu deosebire de strunguri pot fi:

- a)- perturbații de scurtă durată și acestea apar ca șocuri isolate
- b)- perturbații de lungă durată și ele se prezintă de obicei ca funcții periodice.

La perturbațiile de lungă durată (vibratii) întâlnite adeseori, contribuie atât mașina-unealta cît și scula și piesa de prelucrat.

Prezența vibratilor în procesul de așchiere influențează negativ și secolii de factori: - lăsă urme pe suprafața prelucrată, reduc durabilitatea sculei, provoacă dereglații ale mașinii unealte și în ultimă instanță acestea limitează regimul de așchiere.

Analizând vibratiiile ce apar la prelucrarea pe mașini-unealte se constată că prezența acestora se datorează:

- unei rigidități necorespunzătoare a mașinilor unealte
- parametrilor sculei cu care se prelucrează
- unor defecțiuni de fundație a mașinii
- forțelor perturbatoare care apar în procesul de așchiere

Rigiditățile mașinilor unealte și parametrii geometrici ai sculelor nu se modifică esențial la trecerea din starea de stabilitate într-un regim cu vibratii, în schimb forțele perturbatoare pot să apară din mai multe cauze, cum ar fi:

- cauze de ordin constructiv
- neechilibrarea în mișcare a componentelor mașinii

- perturbații ce se datorează în exclusivitate procesului de aşchiere, acestea apar odată cu declanșarea acestuia și dispare atunci cind procesul de aşchiere încetează.

Această ultimă cauză ce provoacă perturbații la aşchiere este cunoscută sub denumirea de vibrații autoexcitate sau autovibrații.

Autovibrațiile apar în timpul aşchierii și sunt întreținute de o forță variabilă creiată și dirijată de însăși mișcarea din proces aceasta dispare odată cu închiderea procesului și odată cu ea dispare și autovibrațiile.

În scopul atenuării intensității autovibrațiilor pe mașini-unelte, se reamintesc causele care le provoacă și asupra cărora se va acționa, iar variația forței de aşchiere la un regim constant stabilit pe mașină se datorează în principal:

- variației vitezei de alunecare a aşchiei pe suprafața de degajare a sculei
- variației unghiului de degajare și așezare a sculei
- variației coeficientului de frecare între aşchie și fața de degajare a sculei, datorită vitezei de alunecare a aşchiei și vitezei de pătrundere a sculei în material.

Atenuarea și în ultimă instanță eliminarea vibrațiilor la prelucrarea pe strunguri se poate realiza prin:

- mărirea rigidității S.T.E.
- mărirea capacitatii de amortisare.
- alegerea corespunzătoare a regimurilor de aşchiere
- alegerea corespunzătoare a geometriei sculei
- utilizarea unor dispozitive speciale de amortisare.

Dintre acestea regimul de aşchiere și geometria sculei influențează în mod deosebit autovibrațiile la aşchiere. Este de înțeles în acest cas că atenuarea autovibrațiilor la aşchiera pe strunguri se poate realiza cel mai comod prin acționarea asupra unuia sau altuia din parametrii regimului cu aşchiere -v,s,t - în sensul modificării lor, aceasta însă fără complicații constructive și tehnologice prea mari chiar și la schimbarea lor din mers și sub sarcină. Așa cum s-a arătat, modificarea parametrilor regimului, conduce la obținerea unor domenii de stabilitate satisfăcătoare, iar în cazul cînd acestea nu sunt suficiente se recurge la alte căi ce vineasă, rigiditatea S.T.E., geometria sculei sau utilizarea unor dispozitive speciale de amortisare a vibrațiilor.

Mărirea rigidității S.T.E. se obține prin:

- eliminarea jocurilor din lagăre și mecanisme de avans (gurub, piuliță, pinion-cremaliere) sau chiar realizarea de prestrîngere

- realizarea de prestrîngeri la îmbinările de suprafețe și în ghidaje (în deosebi inchise)

- creșterea rigidității pieselor svelte și a batiarilor

Pe lângă de cele arătate, un deosebit interes îl prezintă modul în care parametrii regimului de aşchieri influențează atenuarea autovibrățiilor și căile prin care aceste autovibrății pot fi înălțurate acționindu-se asupra parametrilor v , s și t .

4.1. Influența parametrilor regimului de aşchieri

asupra vibrățiilor autoexcitate

În scopul înălțării vibrățiilor autoexcitate la prelucrarea pe strunguri este recomandabil să se acționeze asupra parametrilor regimului de aşchieri [56], [60], [80], [108], [130], [134], [143], [154], considerindu-se geometria sculei aşchietoare, se impune și considerarea atenuării acestor vibrății în timp cât mai scurt și în timpul aşchierii, adică din mers și sub sarcină. În cele ce urmează se va analiza modul în care parametrii regimului de aşchieri influențează vibrățiile autoexcitate și posibilitățile de folosire a lor ca mărimi regulate într-un sistem pentru scoaterea automată a STE din starea de instabilitate.

4.1.1. Influența vitezei de aşchieri asupra intensității vibrățiilor

Este cunoscut că la prelucrarea pe strunguri, alegerea vitezei de aşchieri este funcție de:

- adâncimea și avansul de aşchieri,
- geometria sculei și condițiile concrete ale aşchieriei,
- proprietățile materialului de prelucrat și ale sculei,
- durabilitatea sculei,
- puterea disponibilă la arborele principal al strungului.

Pentru marea diversitate de prelucrări, de materiale, de tipuri de mașini și scule, domeniul în care se aleg vitesele de lucru variază de la ordinul unităților la ordinul sutelor de metri pe minut. Datorită acestor intervale foarte largi ale vitezei, în timpul aşchierii pe anumite domenii ale acesteia apar eșomete și autovibră-

procesul intră în instabilitate, literatura [45][56][72][82][118][130] consemnează un mare număr de exemple prin care se evidențiază fenomenul de apariție a autovibrățiilor la valori ale vitezei de aşchiere care diferă între ele.

Din diagramele de stabilitate [56][125][146] ca și din lucrăriile experimentale [130][136] efectuate pînă în prezent se confirmă rezultatul cercetărilor fundamentale privind stabilitatea la aşchiere pe strunguri după viteză. Diagramele ridicate experimental [56][146] descriu comportarea procesului de lucru atât în cazul cînd nu apare efectul de variație al grosimii aşchiei (a adîncimii t) - este cazul prelucrărilor fără urme de la trecerea anterioară - cît și în cazul cînd apare efectul de variație al adîncimii de aşchiere.

După Tobias condiția de stabilitate a procesului la aşchierea pe strunguri este dată de semnul amortizării totale care are expresia:

$$D_e + D_s + D_r + D_o = 0 \quad (4.1)$$

La pragul de stabilitate amortizarea totală trebuie să fie egală cu zero conform (4.1) - cînd amortizarea totală este pozitivă procesul este stabil, iar cînd semnul acesteia este negativ procesul este ne-stabil. Cîi patru factori care dău amortizarea compusă sunt:

$$D_s = \frac{\mu \cdot \lambda^* \omega_0}{2 k \cdot \omega} \sin \frac{2 \bar{\omega} w}{\Omega} \quad - \text{amortizarea echivalentă dată de variația grosimii aşchiei la prelucrarea de strunjire}$$

unde:

$\Omega = 2 \bar{\omega}_n$ - vîteza unghiulară a piesei ce se prelucră

$\omega_0 = 2 \bar{\omega}_f$ - pulsăția proprie a vibrațiilor sculei

$\omega = 2 \bar{\omega}_f$ - pulsăția vibrațiilor autoexcitate

$\lambda^* = \beta \lambda_1$ - factorul de amortisare al grosimii aşchiei

β - coeficient de deplasare relativă

k - constanța de elasticitate echivalentă

λ_1^* - este funcție de tipul vibrației pe direcție radială (tip A) sau tangențială (tip B).

$D_e = \frac{1}{2} \frac{\omega_0}{\Omega} \lambda_1 \omega_0$ - amortizarea structurală efectivă

$D_r = \frac{1}{\Omega} \frac{\lambda}{k} \frac{\omega_0}{\omega}$ - amortizarea echivalentă datorită efectului variației vitezei de avans.

$D_o = \frac{1}{2} \frac{\lambda_1 \omega_0}{k R}$ - amortizarea echivalentă datorită efectului de pantă λ_1 a curbei de variație a forței de aşchiere în funcție de vîteza de aşchiere

Ecuatia (4.1) definește pragul de stabilitate, iar în absența efectului de regenerare (absența urmelor) acesta se exprimă cu

amortizarea compusă D_c a cărei expresie este

$$D_c = D_e + D_r + D = 0 \quad (4.2)$$

Investigarea stabilității procesului de aşchierare se realizează prin reprezentarea lui D_c în funcție de turăția adimensionala ($\frac{\omega}{\omega_0} = \frac{r}{r_0}$) determinând acele domenii de turății pentru care $D_c > 0$ – toate acestea fiind domenii de stabilitate a procesului.

In fig.4.1. sunt prezentate diagramele de stabilitate caracteristice prelucrării fără efectul de regenerare. Diagramele cuprind o serie de curbe ce reprezintă variația amortizării, variația vitezei de avans D_r în funcție de $\frac{r}{r_0}$.

Curbele sunt ridicate pentru diferite valori pozitive și negative ale raportului $\frac{\lambda^2}{K}$. Așa cum se observă din cele două diagrame a și b din fig.4.1 pentru valori ale raportului $\frac{\lambda^2}{K}$ 0 procesul devine instabil numai la turății relativ ridicate, iar pentru valori negative ale aceluiși raport, procesul intră în instabilitate la valori joase ale turăției ca în fig.4.1 b.

In cazul unei asemenea metode de determinare a domeniilor de stabilitate la prelucrarea pe mașini unelte, este de reținut faptul că o modificare de semn a factorului de variație a vitezei de avans λ^2 se realizează numai dacă, coeficientul de deplasare relativă β schimbă de semn, dar acesta poate schimba de semn numai prin schimbarea sau modificarea mașinii unelte. Se remarcă în acest caz faptul că prin acest procedeu se apelează în mod direct la caracteristica mașinii-unelte.

Coeficientul de deplasare relativă β influențează condițiile de aşchierare și în cazul existenței efectului de regenerare, lucru ce se observă în diagramele din fig.4.2 și 4.3. Se remarcă faptul că instabilitatea apare în domeniile de turății în care amortizarea

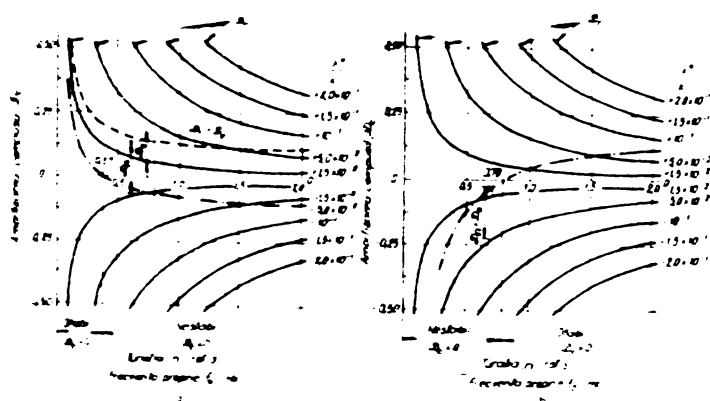


Fig.4.1.

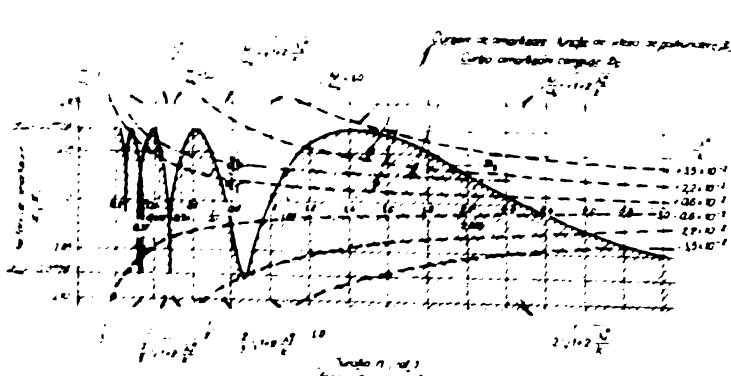


Fig.4.2.

totală a sistemului este negativă, adică în zonele în care curbele amortisării (traseate cu linie punct.) intersectează zonele hagurate

iar peste o anumită valoare a turării $\frac{n}{f_0}$ procesul se stabilizează. Cele prezentate în fig. 4.2 se referă la autovibrăriile de tip A cind $\beta > 0$, iar în fig. 4.3 este reprezentată diagrama de stabilitate pentru vibrăriile de tip B cind $\beta < 0$ și în acest

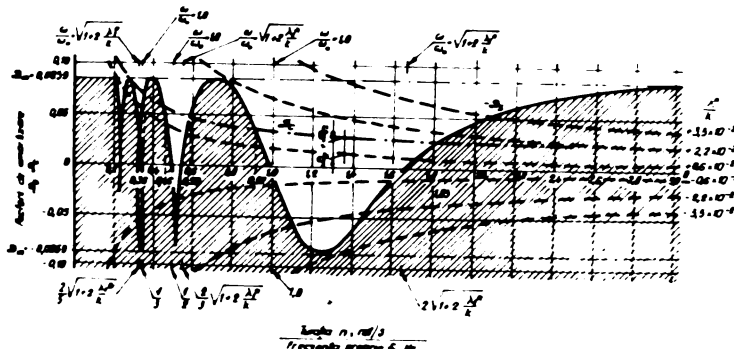


Fig. 4.3

cas al prelucrării în prezența efectului de regenerare se constată că, prin schimbarea semnului lui β și ca urmare și a lui $\frac{\lambda}{k}$ o așchiere ce se desfacează linistit poate deveni instabilă și invers.

In condițiile echipării unui strung cu C.A. este necesar să se lăsa în considerare influența ce o exercită viteză asupra stabilității, evident cu toate implicațiile ce le poate introduce un astfel de parametru.

In lucrările [72], [130], [143], [150] pe baza unor numeroase experiențe se afirmă că există o viteză critică la care vibrăriile autoexcitate ating o valoare maximă după care intensitatea lor scade cu scăderea vitezei dar și cu creșterea ei peste cea critică ajungându-se la valori practic imperceptibile ale amplitudinii autovibrării, una din expresiile analitice care exprimă acest mod de variație fiind dată de relația

$$A = \frac{2}{\sqrt{3c}} \cdot \frac{v}{\omega} \sqrt{a - \frac{b \cdot v}{B}} \quad (4.3)$$

unde

v – viteză de așchiere [m/min]

$\omega = 2\pi f$ – frecvență circulară [Hz]

f – frecvență [Hz]

b – coeficient de rezistență ce crește cu creșterea adâncării de așchiere.

$B = \frac{t}{\sin \alpha}$ – lățimea stratului de metal îndepărtat de cuțit.
(lățimea cuțitului) [mm]

a, c – coeficienți constanti ce caracterizează procesul de așchiere [150]

Din relația (4.3) se observă că pe măsură ce crește viteză de așchiere, amplitudinea vibrăriilor crește la început pînă la o anumită valoare

$$v = \frac{2}{\pi} \cdot \frac{\alpha}{h} \cdot B$$

din care dacă expresia de sub radical a - $\frac{h \cdot v}{B}$ devine egală sau mai mică decât zero - adică $v = \frac{a}{B}$. B - autovibrăriile din proces nu vor mai apărea. Se poate său că vitesa contribue la atenuarea autovibrărilor, iar cu creșterea ei peste anumite valori acestea pot fi chiar eliminate. Trebuie însă analizată măsura în care acest parametru poate fi luate în considerare în C.A pe strunguri. Concluzia privind influența vitezei de aşchieri asupra autovibrărilor este deosebit de importantă dacă ținem seama da faptul că ea constituie o bază teoretică ce oferă condiții de prelucrare fără vibrări la viteză mari, aceasta asigurând stabilitatea procesului de aşchieri precum și o productivitate marită. Disparația fenomenului de autovibrări la viteză ridicate se explică prin aceea că la astfel de viteză dispare principala cauză generatoare de autovibrări - răsínarea în urmă a variației forței de aşchieri față de variația mărimii avansului. Confirmarea celor afirmate

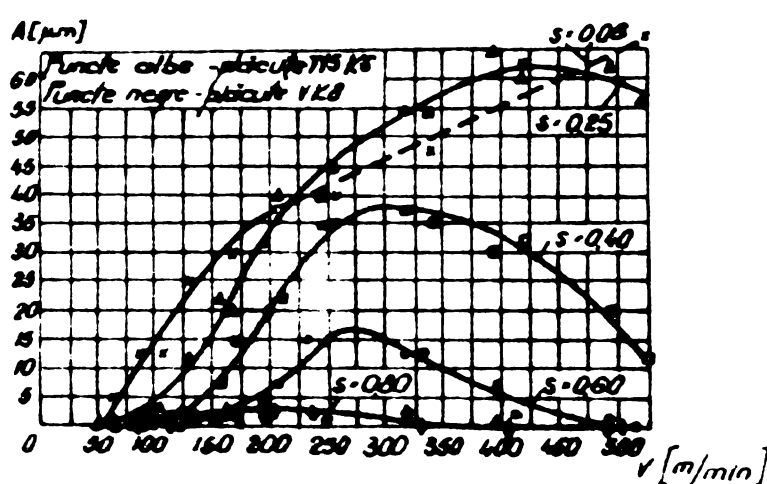


Fig. 4.4

amplitudinii autovibrărilor se deplasează spre valori mai ridicate ale vitezei de aşchieri pe măsură ce valoarea avansului sănătă mici. De asemenea pentru diferite mărimi ale adâncimii de aşchieri în diagrama din fig. 4.5 este reprezentată legea de variație a amplitudinii autovibrărilor A în funcție de viteză de aşchieri, pentru două valori ale avansului. Se observă că pe măsură ce adâncimea de aşchieri scade amplitudinea autovibrărilor se reduce și în același timp maximul curbelor la diferite adâncimi de aşchieri se deplasează spre valori mai mici ale vitezei de aşchieri. Analizând cele două diagrame a și b din fig. 4.5 se remarcă mărimea mult redusă a amplitudinii A pentru aceiași valoare a adâncimii de aşchieri t, dar la

este ilustrată de numeroase încercări experimentale [72], [133] efectuate în condiții foarte variate. În diagrama din fig. 4.4 este reprezentată dependența amplitudinii autovibrărilor de viteză de aşchieri pentru diferite mărimi ale avansului, utilizându-se două tipuri de plăciute - T15K6 și VK8 - Din figură se observă că maximul

este ilustrată de numeroase încercări experimentale [72], [133] efectuate în condiții foarte variate. În diagrama din fig. 4.4 este reprezentată dependența amplitudinii autovibrărilor de viteză de aşchieri pentru diferite mărimi ale avansului, utilizându-se două tipuri de plăciute - T15K6 și VK8 - Din figură se observă că maximul

un avans mai ridicat. Pentru $t = 1 \text{ mm}$ în casul unui avans $s = 0,25 \text{ mm/rot}$ amplitudinea $A = 65 \mu\text{m}$ în jurul vitezei de $v = 500 \text{ m/min}$

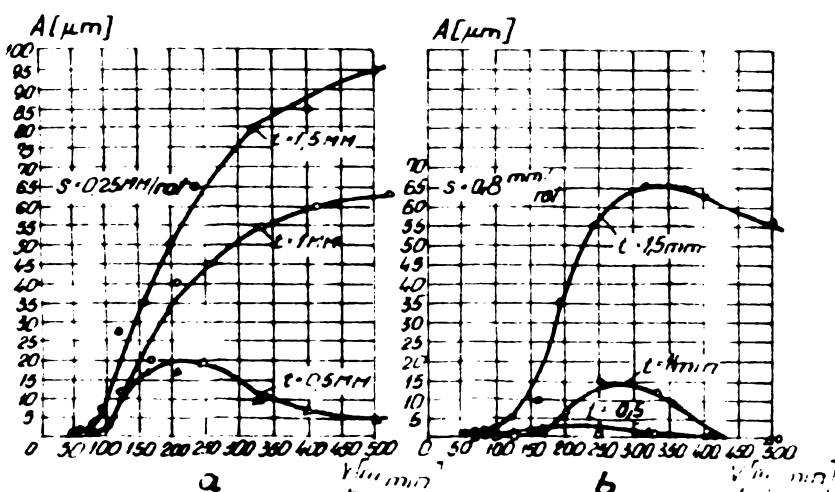


Fig. 4.5

mul amplitudinii se deplasează spre valori mai mici ale vitezei pe măsură ce unghiul de atac crește.

Din cele trei figuri presentate se constată că există o strânsă corespondență între parametrii regimului de aşchierare și amplitudinea autovibrăriilor. Încercările experimentale au confirmat de asemenea și legea de variație a frecvenței autovibrăriilor f cu viteză de aşchierare. În fig. 4.7. se observă că variația frecvenței este proporțională cu variația vitezei, unghiul de degajare și influențind sensibil frecvența. Prin diagrama din fig. 4.8. s-a ilustrat dependența amplitudinii autovibrăriilor de frecvență la diferite viteză de aşchierare, în care se observă că la valori mai mici ale vitezei atât amplitudinea A a autovibrăriilor cât și frecvența acestora se reduc. Diagramele confirmă și faptul că spre vitesele mari

pe cînd la un avans $s = 0.25 \text{ mm/rot}$ amplitudinea $A = 65 \mu\text{m}$ la o viteză $v = 275 \text{ m/min}$. În diagrama din fig. 4.6 este reprezentată influența vitezei asupra amplitudinii autovibrăriilor A pentru diferite mărimi ale unghiului de atac principal și se observă că și în acest caz maxi-

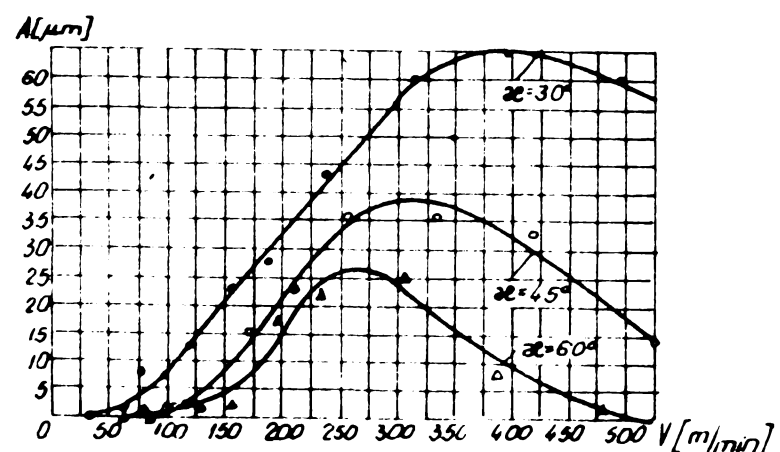


Fig. 4.6

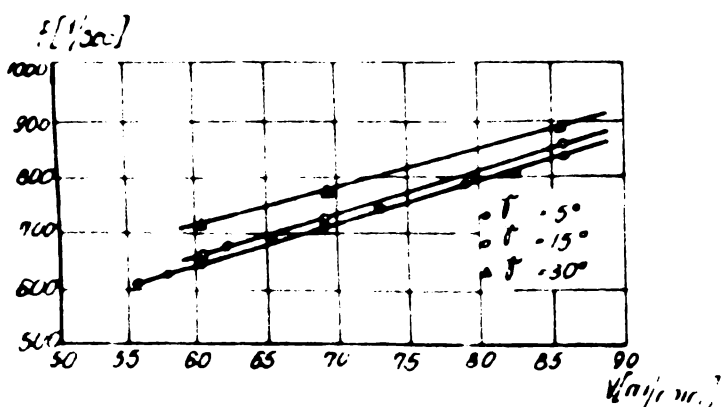


Fig. 4.7

crește frecvența autovibrăriilor dar în același timp scade amplitu-

dinea acestora. Deși amplitudinea autovibrățiilor la aşchieră depinde de un număr apreciabil de factori în lucrare [72] este prezentată relația de calcul a amplitudinii autovibrățiilor A , ce are forma (4.4) se observă că expresiile 4.3 și 4.4 au formele apropiate și de asemenea termenii care le compun sunt identici.

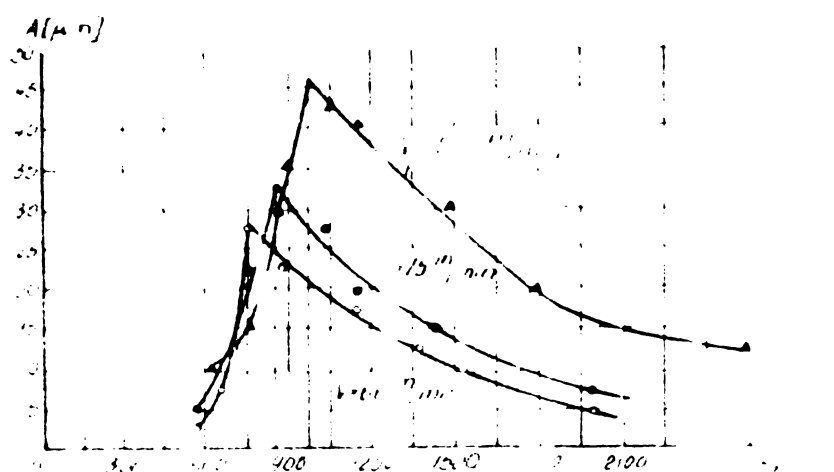


Fig. 4.8

$$A = \frac{2}{\omega} \sqrt{\frac{2(V \cdot u - 1) C \cos \phi + (p \cos \phi - h) e^{u \cdot v}}{3 C u^2 \cos}}$$

$$A = \frac{2}{\omega} \sqrt{\frac{2(V \cdot u - 1) C \cos \phi - h e^{u \cdot v}}{M}}$$
(4.4)

v - viteza de aşchieră [m/min]

C, u - coeficient care depinde de aşchieră, de materialul ce se prelucră, de sculă și de geometria acesteia

h - coeficient de rezistență

ϕ - unghiul dintre normala la suprafața de aşchiat și deplasarea sculei [gr]

Din relația (4.4) se observă că termenul $p \cos \phi - h$ influențează mărimea amplitudinii A , pentru valori negative ale acesteia procesul devine stabil pînă se atinge valoarea V_{lcr} - fig. 4.9.

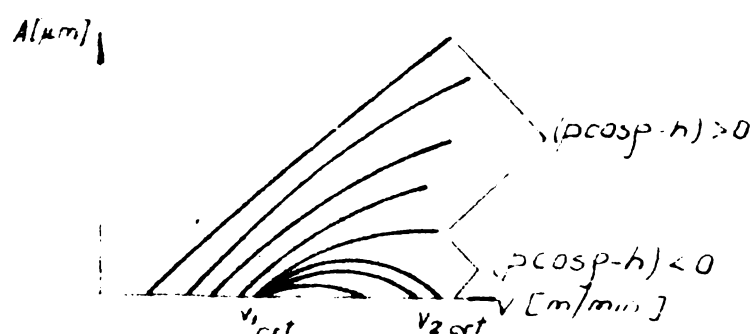


Fig. 4.9

V_{2cr} mărimea acestuia devine neglijabilă. Tinind seama de cele prezentate se apreciază că, prin analiza stabilității la autovibrății a procesului de aşchieră după viteză, există două zone de stabilitate distincte și anume: pe domeniul de viteză cuprins între $0 - V_{lcr}$ - zona vitezelor joase - și pe domeniul $V_{2cr} - \infty$ - zona vitezelor ridicate - între acestea pe domeniul $V_{lcr} - V_{2cr}$ situindu-se zona de

instabilitate a procesului de aşchierare, pe acest interval al vitezelor este mult mai evidentă rămînerea în urmă a forței de aşchierare față de variația grosimii aşchieri, principalul factor care generează fenomenul de autovibratii în proces. În cazul în care procesul de aşchierare se desfășoară cu viteze prea ridicate sau mult reduse - din dorința de a ieși din zona vibrațiilor - problema care se pune este cea a durabilității sculelor. La o aşchierare liniștită durabilitatea sculei este mai mare decât în cazul aşchierării în prezență vibrațiilor, prin urmare reducerea intensității acestora în procesul de aşchierare ar conduce implicit și la o durabilitate mai ridicată a sculei.

In diagrama din fig.4.10 ridicată după R.N.Arnold [56] se prezintă variația unei sculei și influența acesteia asupra vibrațiilor în procesul de aşchierare. Este deci necesar să analizăm modul în care autovibratiile din proces influențează durabilitatea sculei, precum și căile prin care aceasta poate fi

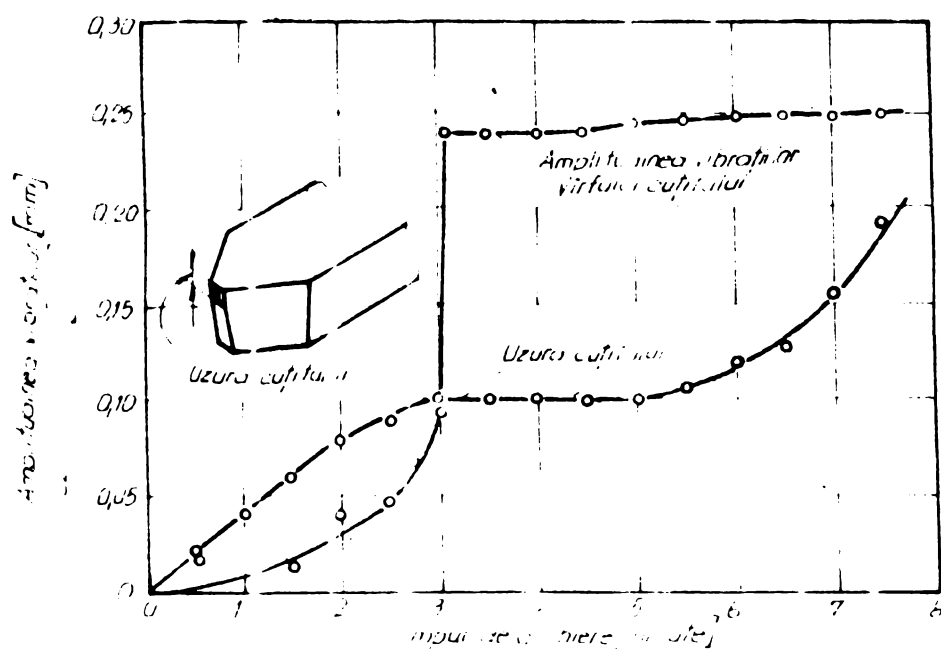


Fig.4.10

mărită. În cazul unei aşchieri liniștite între durabilitatea sculei T_0 și viteză de aşchierare v_0 se cunoaște relația de dependență $1/n$

$$v_0 T_0 = C ; \quad T = \sqrt{\frac{C}{v_0}} \quad (4.5)$$

unde

C, n - constante pentru anumite condiții de funcționare.

Pentru a vedea în ce măsură crește durabilitatea sculei în cazul disparației vibrațiilor, fără a se introduce diferențe prea mari față de condițiile reale de aşchierare, se consideră :

- operația de aşchierare este cea de strunjire transversală (retesare)
- mișcarea relativă în vibrații a sculei are loc în direcția vitezei de aşchierare
- funcția deplasare - timp, a machiei aşchieratoare poate fi aproximată cu o funcție triunghiulară

- nu există efectul de variație al grosimii așchiei
- nu apar sarcini datorită impactului. În aceste condiții T_d durabilitatea sculei se determină cu expresia :

$$\frac{T_d}{T_0} = \frac{2}{\left(1 + \frac{A_0 \omega}{V_0}\right) + \left(1 - \frac{A_0 \omega}{V_0}\right)^n} \quad (4.6)$$

unde

- A_0 - amplitudinea autovibrăriilor [μm].
- ω - pulsăția autovibrăriilor [Hz]

Încercările experimentale efectuate în condițiile precise mai înainte, au arătat că amplitudinea maximă a autovibrăriilor ce poate să apară este dată de

$$A_0 = \frac{V_0}{\omega}$$

Plăcind substituția în expresia (4.6) și luându-l pe $n = 3$ (ordin de mărime determinat prin încercări experimentale obținute)

$$\frac{T_d}{T_0} = \frac{1}{4} \text{ de unde } T_d = \frac{T_0}{4} \quad (4.7)$$

Din relația finală (4.7) se observă că durabilitatea sculei în prezența autovibrăriilor este mai mică cu patru ori față de cazul în care procesul s-ar desfășura liniștit. Experimental [56] s-au determinat valori și mai mari de reducere a durabilității sculelor în prezența autovibrăriilor. Este deci imperios necesar ca în cazul în care procesul de așchiere se desfășoară cu vibrării, să se procede la o creștere sau reducere de viteză care să conducă la atenuarea autovibrăriilor și implicit la un spor de durabilitate.

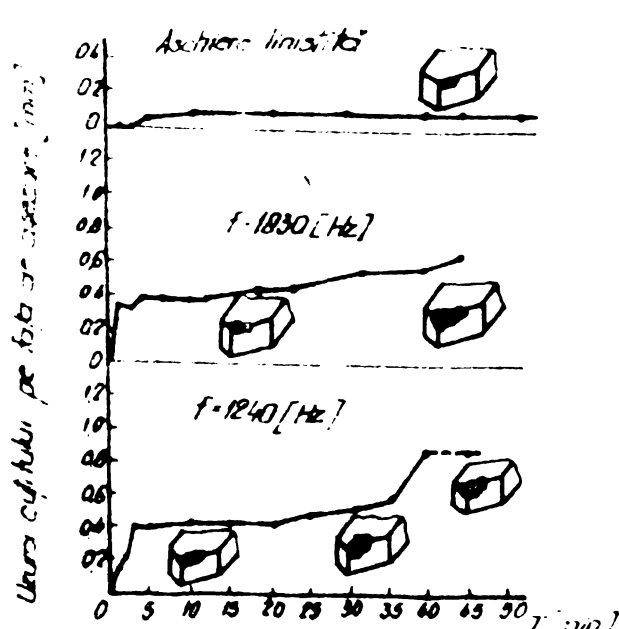


Fig.4.11

plăcută cu aliaj dur. Din cele două diagrame se remarcă gradul scăzut de uzură, atunci cînd proc. de așchiere se desfășoară liniștit, iar în casul

lucrării [56] se apreciază că eliminarea autovibrăriilor conduce la o creștere a durabilității sculei de la 80 pînă la 200 de ori existând în acest sens rezerve prin acționarea asupra exponentului despre care se afirmă că în condiții normale, mărimea sa se situează între limitele 5-10. Pentru edificarea celor afirmate, în diagrama din fig.4.11 este reprezentată viteză de uzură a sculei din otel rapid la strângere iar în fig.4.12 a sculei din

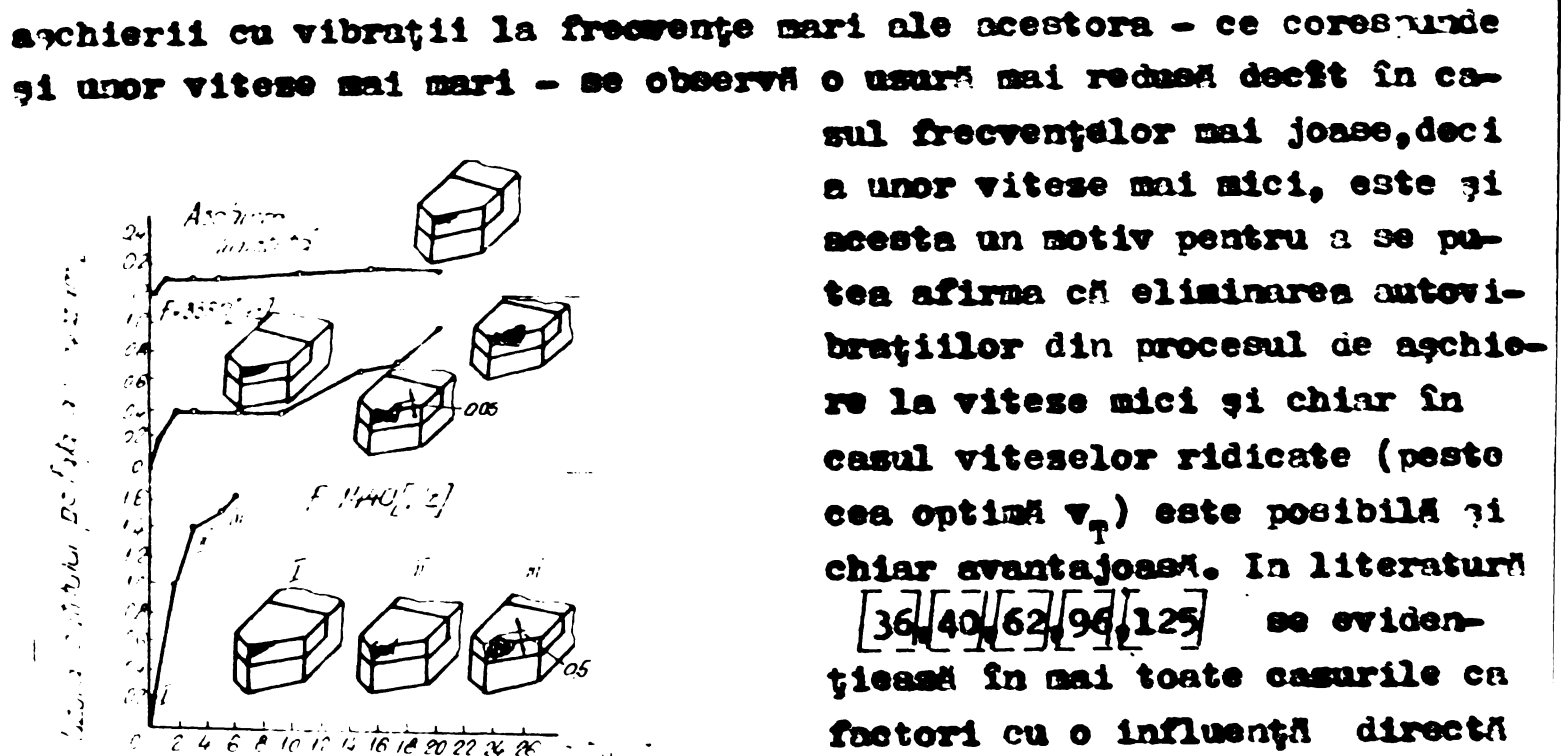


Fig. 4.12

- mărimea suprafeței așchiate $[mm^2]$
- lungimea drumului parcurs de vîrful sculei în metal în timpul așchierii $[mm]$

Pentru acești factori lungimea drumului parcurs de vîrful sculei în metal în timpul așchierii definește în modul cel mai fidel gradul de usură al sculei într-o unitate de timp. În diagrama din fig. 4.13 se

observă că usura sculei crește pe măsură ce drumul parcurs de scula în metal crește și el. În condițiile în care procesul de așchiere se desfășoară cu vibrații pentru o viteză inițială v_0 considerată economică, pentru eliminarea acestora este

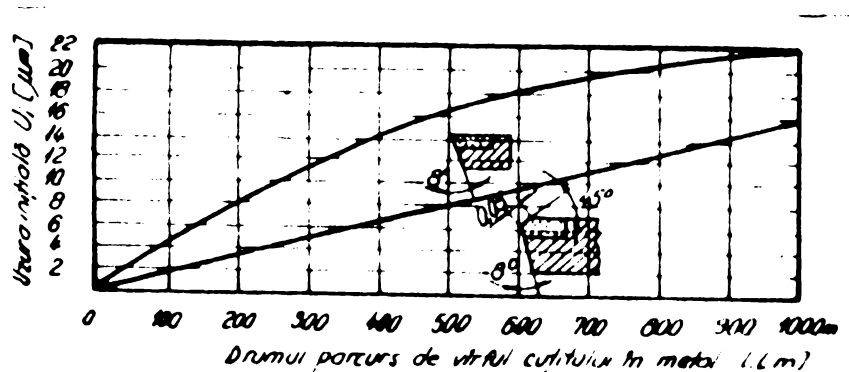


Fig. 4.13

necesar să se modifice viteză, fie în sensul reducerii ei - ceea ce în urmă durabilitatea este mai mult afectată - fie în sensul creșterii sale la o valoare $v_1 > v_0$, cas în care durabilitatea poate fi compromisă. Prințind o analiză a durabilității după drumul parcurs de vîrful sculei în material în condițiile desfășurării linigătoare a procesului și cind acesta se desfășoară cu vibrații se va observa că în ultimul cas drumul parcurs de scula este mult mai mare pentru aceeași unitate de timp și cu aceeași parametri tehnologici. În diagrama din fig. 4.14

este prezentată traiectoria după care se deplasează vîrful sculei

în timpul aşchierii cu vibrații așa numita - elipsă a deplasărilor - acesta fiind un drum suplimentar pe care îl parcurge scula, înafara celui pe care îl execută pentru generarea suprafeței.

Dacă în literatura de specialitate sunt preciseate aspecte ale gradului de usoră a sculei funcție de drumul parcurs în semifabricat o expresie a acesteia care să țină seama și de vibrații,

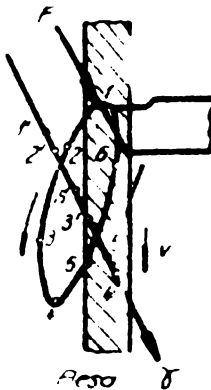


Fig.4.14

lăsând în considerare "elipsa deplasărilor" nu a fost formulată încă.

Dacă într-un proces de aşchiere liniștit, drumul pe care îl parcurge scula de exemplu pentru a strunji o piesă de lungime L , de diametru D și cu un avans s are expresia:

$$l_e = \pi D \cdot \frac{L}{s} \quad [\text{mm}] \quad (4.8)$$

l_e - drumul parcurs la o aşchiere liniștită.

In cazul unei aşchieri cu vibrații acest drum va fi diferit de cel parcurs în regim liniștit și următoare:

$$l_v = l_e + \Delta l \quad [\text{mm}] \quad (4.9)$$

Δl - drumul parcurs de vîrful sculei pe traiectoria eliptică dată de unda de vibrații [mm]

$$\Delta l = n_e \cdot f \cdot \frac{1}{s} \cdot 60 \quad [\text{mm}] \quad (4.10)$$

$$n_e = \pi \left[\frac{3}{2} (a+b) - \sqrt{ab} \right] \quad \text{perimetru elipsei deplasărilor} \quad [\text{mm}]$$

$$f = \frac{\omega}{2\pi} \quad \text{frecvența vibrației sculei} \quad [\text{Hz}]$$

$$n - rotația piesei \quad [\text{rot/min}]$$

$$s - avansul \quad [\text{mm/rot}]$$

$$a, b - axele elipsei, în funcție de rigiditatea STS [mm]$$

făcind substituția în (4.10) obținem expresia drumului suplimentar al vîrfului sculei

$$\Delta l = \frac{L \cdot \omega}{n \cdot s} \cdot 30 \left[\frac{3}{2} (a+b) - \sqrt{ab} \right] \quad [\text{mm}] \quad (4.11)$$

revenind la expresia (4.9) a drumului parcurs de sculă la prelucrarea cu vibrații obținem:

$$l_v = \frac{L}{s} \left\{ \pi D + \frac{\omega}{n} 30 \left[\frac{3}{2} (a+b) - \sqrt{ab} \right] \right\} \quad [\text{mm}] \quad (4.12)$$

Comparind cele două expresii (4.8) și (4.12) pentru drumul parcurs de vîrful sculei în cazul aşchierii liniștite și respectiv

al drumului parcurs de sculă la o aşchiere cu vibrații se observă că $l_v \gg l_e$, este deci evidentă această diferență de drum care conduce la uzuri diferite ale sculei în cele două cazuri de aşchiere. Analisind aspectul ce vizează influența uzurii sculei asupra capacitatei de producție se apreciază că și acest cas comportă o analiză a timpilor de lucru efectivi - t_b - datorită faptului că ciclul dintre două reascutiri se mărește - durabilitatea - evident crește și ea. Utilisarea unor regimuri intense, viteze ridicate și în același timp o durabilitate satisfăcătoare presupune și o alegere corespunzătoare a sculelor de aşchiat [62, 63, 96]. Încercările experimentale efectuate pe diverse materiale de scule au condus la alegerea cîtorva tipuri de plăci mineralo-ceramice. TV-13; TM-332; TM-333 și considerarea lor ca materiale cu calități foarte rezistente la uzură.

In diagrama din fig.4.15 este prezentată durabilitatea optimă pentru plăcuțe tip TM-332,- din care se observă că acest tip de plăcuțe este foarte potrivit pentru viteze de aşchiere ridicate, durabilitatea în acest cas fiind puțin afectată. In tabela 4.1 este prezentată valoarea vitezelor de aşchiere, corespunzătoare unei durabilități de 90 minute pentru cîteva tipuri de plăcuțe mineralo-ceramice la prelucrarea unui oțel OLC45.

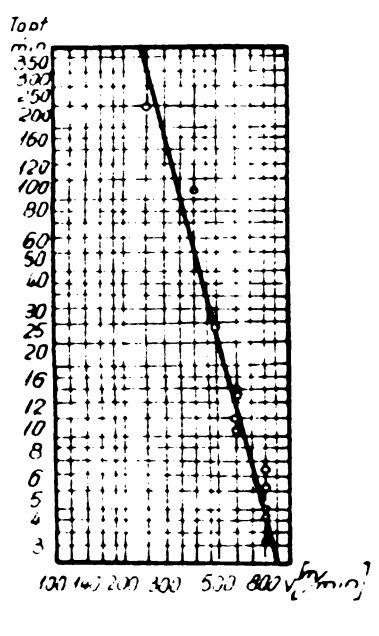


Fig.4.15

Se observă din tabelă că pentru durabilitatea să intită în funcție de tipul plăcuțelor vitezele optime se situează în limitele 230-375 m/min. Din cele prezentate se poate aprecia că prin creșterea sau micșorarea vitezei de aşchiere se pot diminua sau chiar înălțura antovibrățiile din sistem în deosebi la prelucrarea cu viteze ridicate se obțin avantaje

economice suplimentare, trebuie însă avut în vedere în acest cas valoarea acestor viteze ele neputind fi oricît de mari fiind limitate de posibilitățile mașinii și în ultima instanță chiar de durabilitate

Tip plăcă	Motrioul prelucrat	Valoare vitezelor de aşchiere în condiții durabile $T = 90$ min in m/min
TV-12	oțel 45	155-230
TV-13	" 45	210-320
TV-18	" 45	165-255
TM-333	" 45	330-340
TM-333	" 45	360-370
TM-332	" 45	360-375

Tab.4.1

sculei. Această afirmație este legată în primul rînd de consumul de putere care nu trebuie să depășească puterea maximă admisă la arboarele mașinii.

$$P_{ef} \quad P_{max AP}$$

Edificatoare în ceea ce privește influența vitezei de aşchierare asupra intensității autovibrățiilor este și profilograma din fig. 4.16 în care curba 1 corespunde unei aşchieri liniștite, iar curba 2 pentru o aşchieră cu vibrății. Din profilogramă se observă că în domeniul vitezelor joase 100 m/min și cel al vitezelor ridicate 510 m/min amplitudinea undei vibratoare este mult diminuată iar în zona vitezelor 328 m/min aceasta are o valoare apreciabilă.

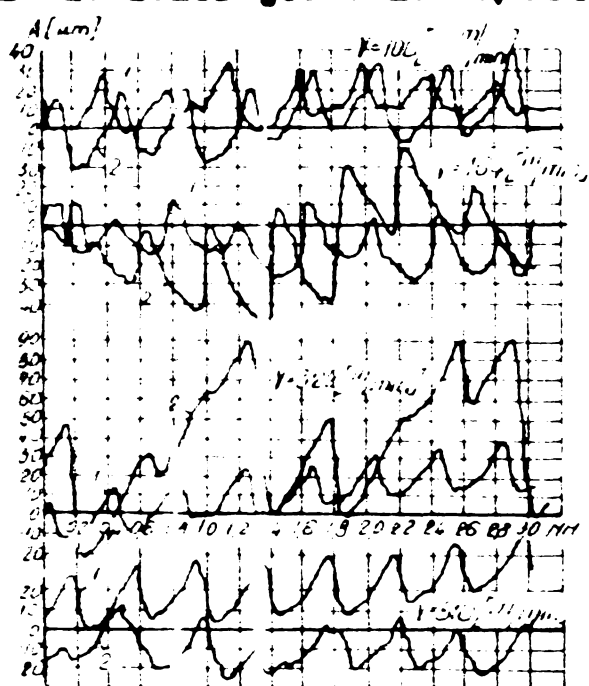


Fig. 4.16

Dacă vom lua în considerare și faptul că, variațiile de viteză în timpul aşchierii nu influențează nici microgeometria suprafeței prelucrate [40] în prea mare măsură fapt ilustrat de diagrama din fig. 4.17 - ne dăm seama că acest parametru viteză, oferă posibilități dintre cele mai bune pentru a putea fi utilizat ca mărime comandată în proces pentru înălțarea autovibrățiilor ce pot apărea la aşchierarea pe strunguri, luindu-se în considerare bineînțele și restricțiile pe care acest parametru le introduce.

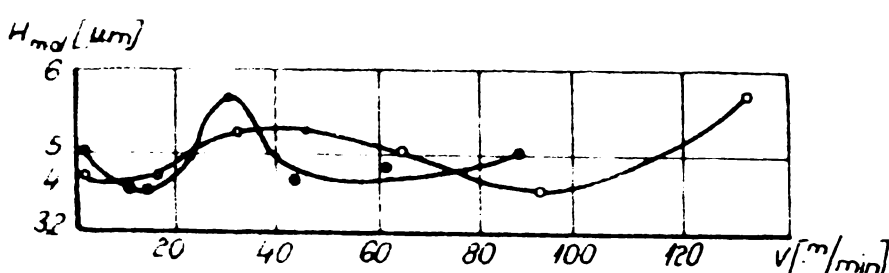


Fig. 4.17

4.1.2 Influența avansului asupra intensității vibrățiilor.

Acest parametru al procesului de aşchierare - avansul - ca și viteză de aşchierare are o influență directă asupra autovibrățiilor precum numeroasele încercări experimentale consemnate în literatura de specialitate [36][56][60][72][83][118][125][139][143][143][146][169] confirmă.

faptul că mărimea avansului la aşchiere pe strunguri are un efect stabilizator asupra procesului de aşchiere. Încercările efectuate pe un oțel aliat [130] : $33MnCr11$ cu menținerea constantă a parametrilor și și modificarea în sens crescător și descrescător a mărimi avansului s-au demonstrat că prin creșterea sa procesul se stabilizează.

In diagrama din fig.4.18 este reprezentată variația amplitudinii autovibrărilor A în funcție de grosime - avans - în care se observă că pe măsură ce această mărime crește, valoarea lui A scade, ajungindu-se ca la avansuri în jur de $0,061 \text{ mm}/\text{rot}$ aceasta să fie de 13^M m .

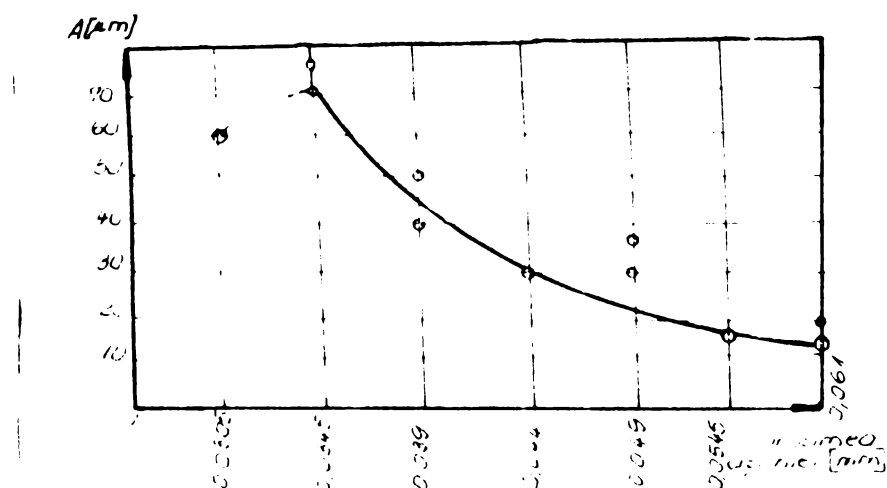


Fig.4.18

In figură se observă că la prelucrarea cu grosimi mici -avansuri mici- instabilitatea procesului este mai accentuată, apar autovibrării cu amplitudine mare -reprezentate în diagramă prin curba punctată - fenomen ce se datorează faptului că, cuțitul nu realizează o tăiere a semifabricatului

ci doar o răsuire, ecruisare, fenomen caracteristic de altfel și în cazul strungirilor cu adâncimi foarte mici. Caracterul descrescător al curbei poate fi explicat satisfăcător folosind expresia (4.3) a amplitudinii în care prin creșterea avansului conținut în termenul $\frac{h \cdot v}{S}$ acesta va crește și prin urmare valoarea întregii expresii a lui A va scădea. În cele ce urmează se va analiza influența avansului asupra amplitudinii lăudându-se în considerare și geometria sculei de aşchiat. În fig. 4.19a este prezentată diagrama de variație a frecvenței și amplitudinii funcție de mărimea avansului pentru diferite unghiuri de aşezare a sculei.

In diagramele din fig.4.20a, 4.21a și 4.22 sunt prezentate

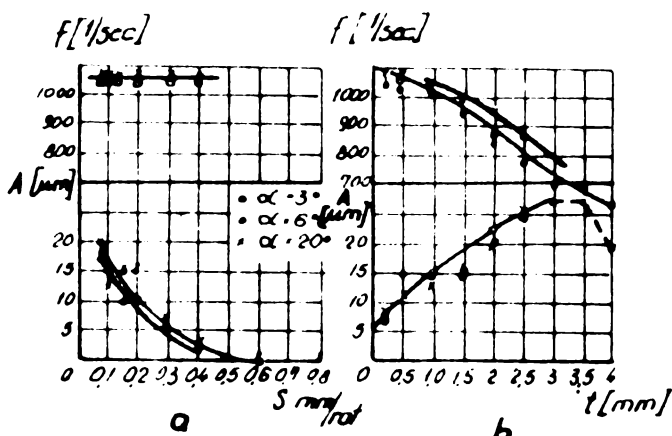


Fig.4.19

curbele de variație ale amplitudinii în funcție de avans pentru unghiul de degajare ϑ , pentru raza virfului sculei r și respectiv pentru

diferite unghinuri de atac principal. Din diagramele prezentate se observă că mărimea avansului de lucru nu influențează frecvența autovibrărilor, în toate cazurile aceasta menținindu-se la valori constante. În schimb mărimea amplitudinii autovibrărilor se reduce simțitor pe măsură ce avansul crește fapt ce se remarcă în toate cazurile indi-

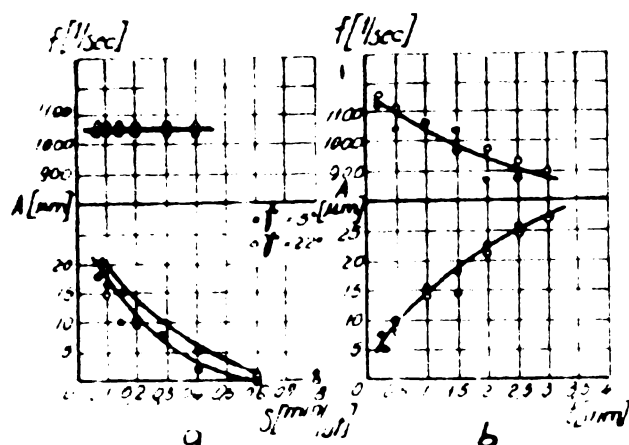


Fig. 4.20

ferent de geometria sculei folosită la așchiere, unde în jurul valorilor de $0,5\text{--}0,7 \text{ mm/rot.}$ vibrăriile dispar cu desăvîrșire. Dintre parametri geometrici raza virfului sculei și unghiul de atac produc modificări ale frecvenței autovibrărilor în deosebi ultimul parametru în domeniul destul de largi. Influența aproximativ neglijabilă a avansului asupra frecvenței autovibrărilor este evidentiată și de diagrama din fig. 4.23 în care se observă că, pe măsură ce avansul crește amplitudinea autovibrărilor scade în același timp maximalul funcției ce descrie variația amplitudinii A în funcție de frecvență f se deplasează sensibil spre valori mai mici ale acesteia pe măsură ce avansul s'crește.

Deci parametrul r prin creșterea sa are un puternic efect stabilizator asupra procesului de așchiere pe strunguri, din punct de vedere al calității prelucrării influența sa este negativă, fapt oglindit în diagrama din fig. 4.24. în care se observă că pe măsură ce avansul crește

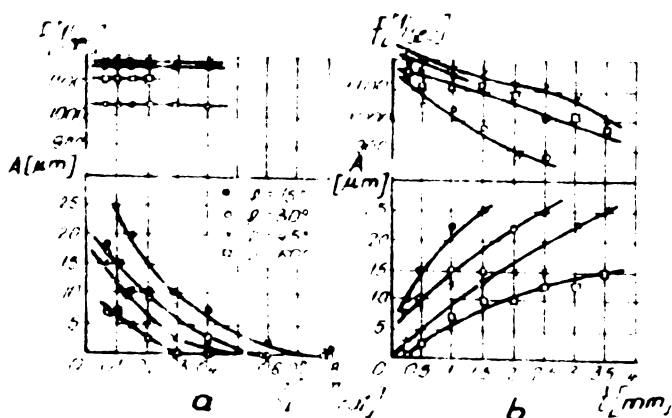


Fig. 4.22

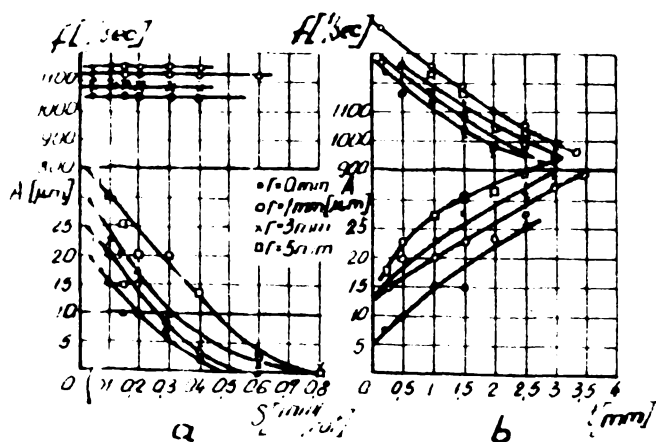


Fig. 4.21

cresc și microneregularitățile de pe suprafața prelucrată și în ace-

lași timp apar erori de formă și dimensiune datorită variației forței de așchierare. Ca și în profilograma vitesei, profilograma din fig.4.25 ce indică amplitudinea autovibrățiilor la diferite avansuri-curba 2 - în comparație cu curba 1 a microneregularităților în cazul unei așchieri liniștite

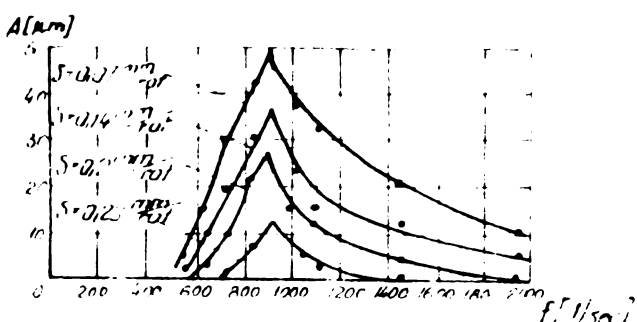


Fig. 4.23

se remarcă o puternică atenuare a undelor vibratoare A pe măsură ce avansul crește.

In urma analizei modului în care avansul influențează amplitudinea autovibrățiilor la așchierare, prin modificarea mărimei sale în sens crescător se poate aprecia că acest parametru are un efect stabilizator asupra procesului și prin urmare din punct de vedere al dinamicii

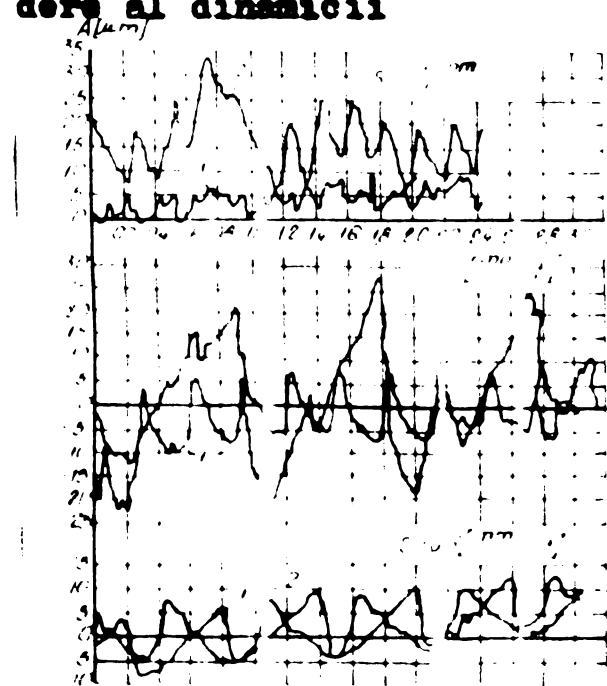


Fig. 4.25

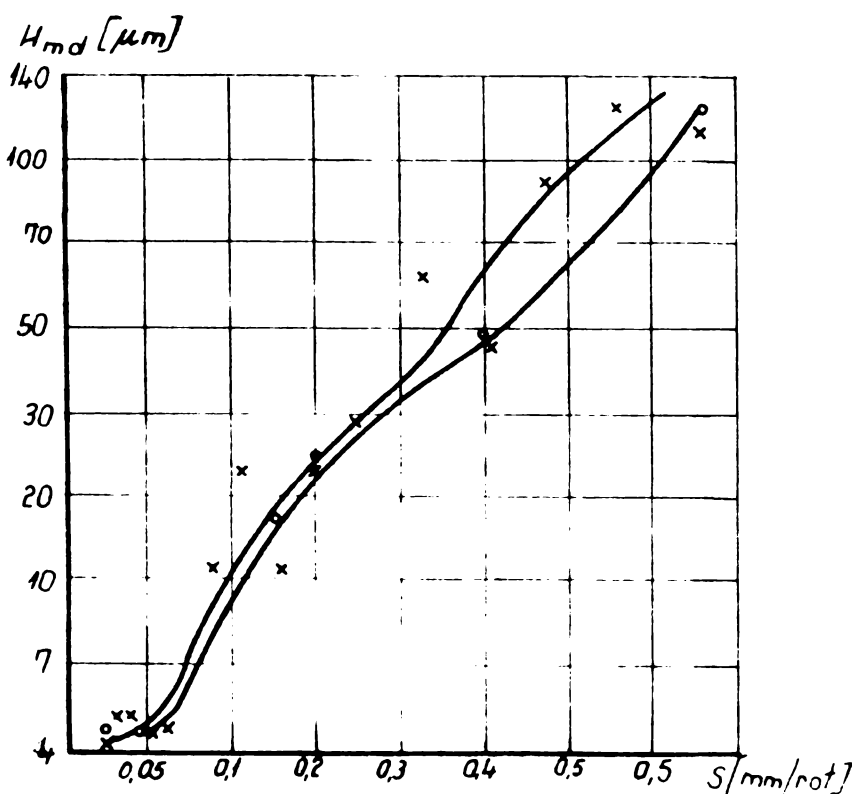


Fig. 4.24

procesului creșterea sa este avantajoasă.

Sub aspect tehnologic însă îndeosebi la aparițiile finale nu este recomandabilă mărirea avansului.

4.1.3. Studiul influenței variației simultane a parametrilor v și a asupra intensității autovibrățiilor

Din analiza gradului de influență asupra autovibrățiilor a celor doi parametrii ai regimului de aşchieri v și s-a constatat că aceștia pot modifica esențial regimul de aşchiere cu autovibrății. În acest scop în cele ce urmează se va analiza interacțiunea directă a vitezei și avansului asupra procesului de lucru.

Din punct de vedere tehnologic [36]/[62] creșterea capacitatei de producție a mașinilor-unelte se poate realiza acționând asupra parametrilor v, s și t. Din relația timpului de bază la strunjire:

$$t_{bm} = \frac{\pi \cdot d \cdot l \cdot A \cdot n}{1000 C_{VT} t^{1-x_v} s^{1-y_v}} \quad [\text{min}] \quad (4.13)$$

unde l - lungimea suprafeței ce se prelucrează [mm]

n - turăția [rot/min]

s - avansul sculei [mm/rot]

t - $\frac{A}{f}$ numărul de treceri

A - adâusul de prelucrare [mm]

t - adîncimea de aşchiere [mm]

Se observă că pentru micșorarea sa, respectiv creșterea capacitatei de producție, se pot mări adîncimea de aşchiere t sau avansul s .

Conform celor prezentate în lucrarea [36] în cazul măririi adîncimii de aşchiere de "a" ori, din raportul celor doi tempi de mașină obținuți la prelucrarea cu adîncimea t și cu adîncimea at conform relației (4.14) se observă că timpul de bază devine mai mic de a^{1-x_v} ori și unde $0 < 1-x_v < 1$

$$\frac{t_{bm}(at)}{t_{bm}} = \frac{1}{a^{1-x_v}} \quad (4.14)$$

Din punct de vedere tehnologic creșterea adîncimii de aşchieră este avantajoasă, dar acest parametru nu poate fi utilizat ca mărimă comandată în C.A după cum se va vedea din studiul influenței acestuia asupra intensității autovibrățiilor.

In casul cînd avansul se mărește de același număr "a" de ori, luindu-se în considerare relațiile de mai înainte se ajunge la concluzia că timpul de bază se micșorează de asemenea de a^{1-y_v} ori unde $0 < 1-y_v < 1$. Dat fiind faptul că $x_v < y_v$ rezultă că $1-x_v > 1-y_v$ și deci la prelucrarea cu adîncimi mari se obține o capacitate de producție mai mare decât în cazul prelucrării cu avansuri mari și adîncimi mici.

Prin mărirea vitezei cu aceiași valoare "a" și micșorarea avansului de la s la s_a folosind relația (4.13) vom obține:

$$T_{bm}^{(a.v)} = \frac{\pi d \cdot l \cdot A}{1000 a \cdot v \cdot t \cdot s_a} \quad [\text{min}] \quad (4.15)$$

iar vitesa de aşchiere va fi:

$$a.v = \frac{C_{VT}}{t^x s_a^{y_v}} \quad [\text{m/min}] \quad (4.16)$$

Făcind raportul timpului de mașină inițial și cel după creșterea vitezei de "a" ori, se obține relația

$$\frac{T_{bm}^{(a.v)}}{T_{bm}} = \left(\frac{s}{a \cdot s_a} \right)^{1-x_v} \quad (4.17)$$

aceasta arată că timpul de mașină crește la o creștere a vitezei pe seama micșorării avansului. Cu alte cuvinte se poate spune că prin creșterea vitezei și micșorarea avansului nu se favorizează timpul de mașină. Aceiași situație este și în cazul măririi vitezei pe seama reducerii adâncimii de aşchiere de la t la t_a , creșterea timpului de bază de mașină în acest caz fiind dată de raportul $(\frac{t}{t_a})^{1-x_v}$

Analizând sub aspect tehnologic casurile presentate, se desprind următoarele concluzii:

- pentru micșorarea timpului de bază, respectiv creșterea capacitatei de producție este recomandabil să se lucreze cu secțiuni mari de aşchie și în acest caz preponderența uneia dintre factorii regimului de aşchiere $t \text{ sau } s$ trebuie judecată de la caz la caz.

- după criteriul capacitatei de producție în general apare prioritatea adâncimii de aşchiere asupra avansului, însă din punct de vedere al consumului de energie, prioritatea avansului față de adâncimea de aşchiere este mai evidentă.

- Preponderența avansului față de vitesa de aşchiere se confirmă în toate casurile atât din punct de vedere al consumului de energie cât și al capacitatei de producție.

Păță de cele prezентate dacă vom lăsa în considerare și modul de acționare al C.A asupra parametrilor v și s se apreciază că acestea pot fi utilizate ca mărimi comandate în proces prin CA în scopul ieșirii din instabilitate.

In cele ce urmează vom analiza posibilitățile ce le oferă cei doi parametri v și s prin utilizarea lor ca mărimi comandate în CA a strungurilor. S-a arătat că odată cu creșterea avansului se

realizează o creștere a capacitatei de producție iar ceea ce este mai important - se stabilizează procesul de aşchierare. Este necesar însă să se țină seama de faptul că o modificare a avansului de lucru nu poate avea loc în orice condiție, aceasta trebuie dictată de condițiile concrete de lucru și evident ținându-se cont de algoritm comenzi adaptive. În cazul cînd procesul de aşchierare se desfășoară liniștit cu un avans s_1 , pe suprafața piesei rămîn urme ale virfului sculei a căror pas $p_1 = s_1$, este chiar avansul. La apariția autovibrățiilor în proces, prin acționarea asupra avansului - în scopul stabilizării - prin creșterea sa la o mărime $s_2 > s_1$ procesul se stabilizează din nou, perioada în care are loc avansul

transitoriu pe o lungime în care pasul microneregularităților este variabil - fig. 4.26, anume:

$$s_1 = p_1 < p_2 < \dots < p_n = s_2$$

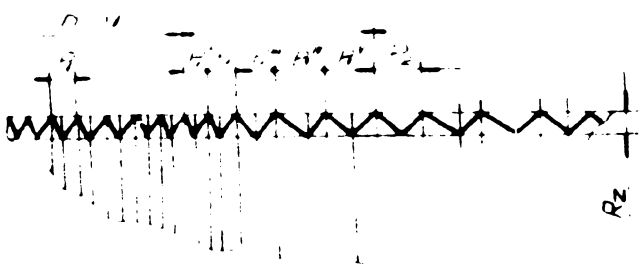
cas fiind că calitatea suprafeței prelucrată este discutabilă. Din figură se observă că lungimile n.s₁ și n.s₂ (n este turăția piesei) ale

Fig.4.26

suprafeței prelucrate depind de stabilitatea procesului, pe cînd lungimea $L = f(\omega)$ este o funcție de durată transitorie. Se observă deci în acest cas că avansul să nu este optim să fie utilizat ca unică mărime comandată în CA a strungului. Acesta nu satisface în toate condițiile de lucru, creșterea lui fiind limitată de avansul tehnologic maxim admis de mașină. La analiza vitezei de aşchierare, în subcapitolul 4.1.1 s-a afirmat că acest parametru poate fi luat în considerare ca mărime comandată prin CA dar cu unele restricții de care trebuie să se țină seama:

- pentru ieșirea din vibrații este necesară reglarea în domeniul a vitezei - bineînțeles nu în toate cazurile -
- creșterea vitezei este limitată de puterea mașinii și de condiția de durabilitate ca și micșorarea exagerată a acesteia de altfel.

In fig.4.27 este reprezentată legea generală de variație a amplitudinii autovibrățiilor în funcție de viteză, în care se observă că domeniul de instabilitate situat sub curbă este cuprins între vitezele v_1 și v_2 în afara acestora procesul se desfășoară liniștit.



Dealtfel în tabelul 4.2 este foarte bine ilustrat modul în care apar vibrațiile de intensitate maximă sau minimă la diferite viteze de aşchiere pentru anumite valori ale avansului s , adâncimii de aşchiere t și a lungimii în consolă l .

Din analiza celor doi parametri v și s privind influența lor asupra intensității autovibrațiilor se pot trage următoarele concluzii:

- la aparițiile de degroșare în casul apariției autovibrațiilor se acționează asupra avansului în sensul creșterii sale, această creștere fiind însă limitată de avansul tehnologic maxim admis de sistemul tehnologic elastic STE.

- În cazul cărăterii avansului pînă la limita admisă de sistem fără ca autovibrațiile să dispare, se va acționa asupra vitezei de aşchiere în sensul reducerii sale sub valoarea v_0 .

Influența parametrului lungimii în consolă l	M_{vib} sau dimensiunea înălțimii	viteză de așchiere v $A_{\text{max}} [m/min]$	viteză de așchiere v $A_{\text{min}} [m/min]$	vibrație viteză $A_{\text{min}} [m/min]$
$A = f(s)$	$s = 0,6$	275	100	520
	$s = 0,8$	200	100	350
	$s = 0,5$	225	75	510
	$s = 0,25$	—	—	—
$A = f(t)$	$t = 0,5$	200	75	375
	$t = 0,8$	—	—	—
	$t = 1$	275	125	425
	$t = 4,5$	325	100	> 500
$A = f(v)$	$v = 60$	275	75	500
	$v = 45$	—	—	—

Tab. 4.2

- Creșterea avansului la degroșare conduce la o creștere a capacitatii de producție și binefîndeles la diminuarea intensității autovibrațiilor.

- În scopul înăsturării autovibrațiilor se poate acționa simultan asupra avansului în sensul creșterii sale și asupra vitezei în sensul reducerii sale, aceasta conducînd și la o creștere a capacitatii de producție - sau cel puțin la menținerea în limite acceptabile a acesteia.

Variatia celor doi parametri v și s este prezentată în diagrama din fig. 4.28.

- La operațiile de finisare acționarea asupra avansului nu este recomandabilă din punct de vedere tehnologic, aceasta ar conduce la

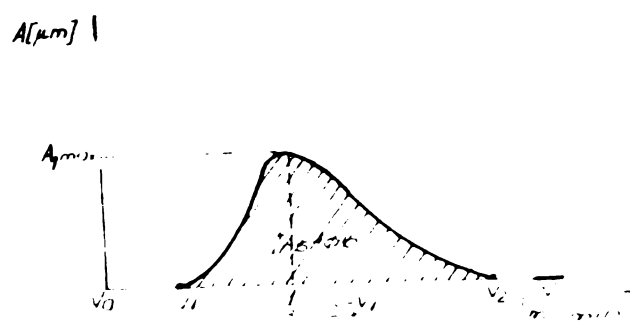


Fig. 4.27

o calitate necorespunzătoare a suprafeței.



Fig. 4.28

Din analiza celor doi parametri v și s se poate spune că, utilizarea ca mărime comandată în CA a strugului a umia sau a celuilalt este funcție de condițiile concrete de lucru, mai mult, atunci cind în CA încărcarea mașinii se realizează prin parametru s - așa cum este cazul strugului de experimentat - modelul SP-630-NC unicul parametru comandat va fi viteză. În acest sens va fi necesar să se stabilească legile operațiilor în comanda mașinii - deci algoritmul sistemului.

4.1.4. Influența adincimii de aşchiere asupra intensității autovibrării.

Amenințarea vitezei și avansului, la aşchierea pe struguri, adincimă de aşchiere influențează intensitatea autovibrării [6][45], [56][60][72][80][118][129][129][146]. Numeroasele încercări experimentale efectuate în acest sens consemnată modificări esențiale ale mărimii amplitudinii și a autovibrării la variații ale adincimii de aşchiere. În încercările experimentale a numeroși cercetători s-a constatat, că la o creștere a adincimii de aşchiere cu o ratie $t = 0,5$ mm, pînă la $t = 4$ mm frecvența autovibrării nu se modifică esențial (la $t = 2$ mm s-a obținut o frecvență $f = 306$ Hz, iar la $t = 4$ mm, s-a obținut $f = 334$ Hz).

Spre deosebire de frecvență însă, amplitudinea autovibrării crește rapid, pe măsură ce crește și adincimă de aşchiere. În încercările efectuate de Sokolovski [30] s-a arătat că dacă la o adincimă de aşchiere $t = 2$ mm amplitudinea autovibrării atinge valoarea de $\lambda = 84 \mu\text{m}$, la o creștere a acesteia cu 2 mm, amplitudinea ajunge la o valoare $\lambda = 334 \mu\text{m}$. Se observă că la o creștere prea mare a adincimii de aşchiere, amplitudinea autovibrăriilor

- Parametrul unic asupra căruia se poate actiona va fi viteză de aşchiere fiind cunoscut că aceasta nu influențează precizia de prelucrare prin modificarea mărimii sale, obținindu-se la valori ale vitezei peste limita de stabilitate

- v_2 - o stabilizare a procesului de aşchiere.

poate atinge creșteri apreciabile.

Se poate spune că mărirea adâncimii de aşchiere influențează în mod negativ stabilitatea procesului. Faptul este în contradicție cu principiile tehnologice care indică untru creșterea capacitatei de producție adâncime de aşchiere cît mai mare din acest punct de vedere autovibrățiile sunt limitative.

Cele constatate sunt confirmate și analitic prin expresia (4.3) în care se observă că prin creșterea adâncimii de aşchiere – notată cu B – termenul $\frac{h \cdot v}{B}$ scade și prin urmare c este valoarea amplitudinii A , de asemenea aceasta se amplifică și prin creșterea lățimii de aşchiat.

In diagramele din fig.4.19b; 4.20b; 4.21b; și 4.22b sunt indicate modurile de variație ale amplitudinii și frecvenței autovibrățiilor în funcție de adâncimea de aşchiere pentru diferiți parametri geometrici ai sculei de aşchiat. Din toate diagramele se observă că frecvența autovibrățiilor scade pe măsură ce adâncimea de aşchiere crește, cel mai puțin depinzând de variația unghiului de atac α .

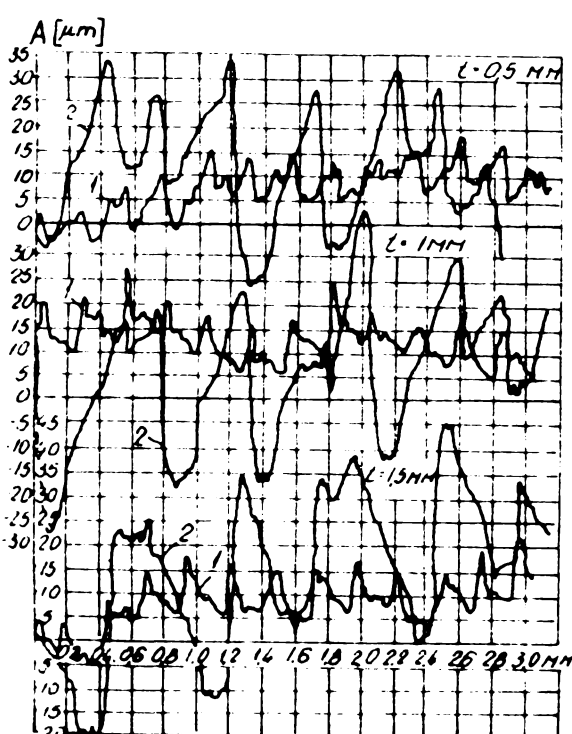


Fig.4.29

aşchiere joacă un rol important în stabilizarea procesului, fapt ce presupune alegerea unor valori ale acestui parametru care să permită traceri cît mai puține dar în același timp să nu crească instabilitatea în proces. În practică, pentru fiecare tip de mașină se cunoaște așa numita adâncime limită – mărime când la care se asigură stabilitatea procesului – această adâncime nu este admisă să fie nici foarte mică în care procesul de aşchiere ar fi compromis, strunjirea

Analiza prezentată, privind influența adâncimii de aşchiere asupra intensității autovibrățiilor este foarte bine ilustrată de profilograma din fig.4.29 din care se desprinde aceeași concluzie privind influența adâncimii asupra amplitudinii. Dacă la cele prezentate vom mai adăuga și faptul că, variația adâncimii de aşchiere provoacă variații ale calității suprafeței, rezultă dezavantajele suplimentare ale adâncimii de aşchiere.

Tinind seama de cele prezentate se poate spune că adâncimea de

limitindu-se la răsuirea sau ecruisarea suprafeței prelucrate, fapt ce ar conduce la o amplificare a instabilității în proces.

In practica tehnologică, adâncimea de aşchiere t se alege în limitele $t_{\min} < t < t_{\max}$ după care se stabilește numărul de treceri.

La strunjire (în deosebi la prelucrarea pieselor lungi de tipul arborilor) adâncimea de aşchiere se alege maximă, din considerații tehnologice, fapt ce presupune că modificarea parametrului t în C.A. nu poate avea loc deficit în sensul micșorării sale. Dacă înseamnă la o trecere carecare "i" ce are loc cu adâncimea t procesul se desfășoară linistit pînă în momentul apariției autovibrățiilor, cînd prin SCA s-ar comanda reducerea adâncinii de aşchiere cu un t.

$$t_i = t - \Delta t$$

continuindu-se procesul cu această nouă adâncime t_i are loc și o deschidere a mașinii. Dacă pe parcursul acelaiași treceri i apar năsturi de fenomene, adâncimea finală de aşchiere t_i va fi în acest caz

$$t_i = t - (\Delta t + \Delta t_1 + \Delta t_2 + \dots + \Delta t_{n-1}) \quad (4.18)$$

La următoarea trecere i+1 care va avea loc în mod normal cu aceeași adâncime t se vor sosia celelalte t mărimi de la trecerea anterioară, astfel că, noua adâncime de aşchiere va fi

$$t_{i+1} = t + \sum_{1}^{n-1} \Delta t_i \quad (4.19)$$

Din relația (4.19) se observă că la un moment dat $t_{i+1} > t_{\max}$ de unde decurg două inconveniente:

- apariția unei forțe (și deci puteri) mult mai mari decît cea admisă de mașină, lucru ce conduce la o suprasolicitare a mașinii;

- compromiterea dinamicii procesului prin creșterea lui $t \gg t_{\max}$ și înțint fiind că stabilizarea procesului prin acționarea asupra adâncinii de aşchiere se realizează prin reducerea mărimii acestora.

In casul cînd trecerea i+1 se va face cu o adâncime $t' < t$ în scopul evitării instabilității procesului, se ajunge să nu se mai respecte cele i treceri inițial stabilite, deci din punct de vedere tehnologic soluția nu satisfacă. Din cele prezentate se desprind concluziile:

- adâncimea de aşchiere deși are un efect stabilizator

asupra autovibrățiilor prin micșorarea mărimi sale, ea introduce complicații tehnologice prin modificarea sa în timpul procesului:

- calitatea suprafetei se înrăutățește prin modificarea mărimi sale în timpul procesului.

4.1.5. Influența geometriei sculei asupra intensității autovibrățiilor.

La analiza parametrilor tehnologice privind influența lor asupra autovibrățiilor s-a arătat că aceștia au o influență puternică asupra stabilității procesului. Încercările experimentale au arătat că și geometria sculei are o influență apreciabilă asupra intensității autovibrățiilor [56, 60, 72, 129, 130, 169]. Spre deosebire însă de parametrii v , s și t geometria sculei este mai dificil de modificat în timpul procesului de așchiere din acest motiv, în scopul stabilizării procesului este bine să se țină seama și de valorile parametrilor ce caracterizează geometria precum și materialele părții active a sculei. În acest sens recomandările din literatură stabilesc

- valori cît mai mari ale unghiului de atac principal λ , acestea reduc componenta P_y a forței de așchiere, precum și a unghiului de atac secundar λ_1 ,

- cît privește influența unghiurilor de degajare λ și așezare λ_1 , ele se recomandă a fi cît mai mari, dar în limitele acceptate de condițiile tehnologice impuse;

- rasa la vîrful sculei se recomandă a fi cît mai mică pentru atenuarea autovibrățiilor;

- s-a constatat că dintre materialele utilizate pentru partea activă a sculei cea mai mică influență asupra intensității autovibrățiilor o are oțelul rapid, iar cea mai mare, o su plăcuțele mineralo-ceramice.

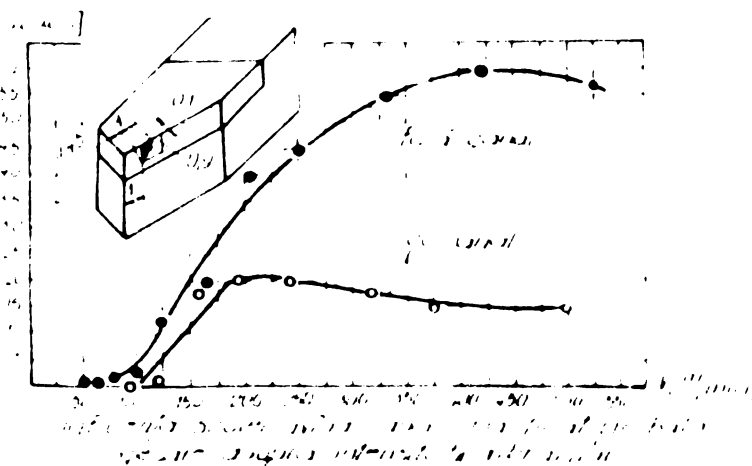


Fig. 4.30.

Se obținuiesc ca în noilejă scop în practică să se practice pe suprafața de așezare canale ca în fig. 4.30 care au o influență apreciabilă asupra intensității undelor vibratoare.

4.1.6. Concluzii privind influența parametrilor regimului de aşchieri v, s și t asupra vibrațiilor autoexcitate la stranjire

Din analiza parametrilor v, s și t privind modul în care acești influențează intensitatea autovibrațiilor la aşchiere pe stranjuri se pot trage următoarele concluzii:

- viteza de aşchieri influențează amplitudinea vibrațiilor autoexcitate zwînd desenii în care stabilisează procesul de aşchieri. Desenile de vitezi în care procesul se desfășoară liniștit sau cu vibrații diferă de la mașină la mașină, acestea fiind determinate în principal de caracteristicile mecanice ale fiecărei mașini;

- modificarea mărimi vitezei în timpul procesului nu influențează precizia și calitatea prelucrării;

- viteza de aşchieri este un parametru care poate fi modificat prin CA, dar prezintă inconvenientul că este necesar să se modifice în limite largi pentru o posibilă stabilisare a procesului;

- limitări din punct de vedere constructiv; prin aceia că acțiunile principale nu au reglare continuă a vitezei;

- evansul de lucru are un efect stabilizator asupra procesului de aşchieri prin creșterea sa aceasta însă nu poate fi oricât de mare, ca este limita de intervalul disponibil pe stranji;

- comanda evansului se poate efectua relativ ușor, el poate fi reglat în mod continuu;

- modificarea evansului în timpul lucrului influențează calitatea și precizia prelucrării;

- pentru operațiile finale nu este recomandabilă modificarea evansului;

- suplarea evansului cu viteza de aşchieri ca mărimi ce pot fi comandate prin CA este posibilă și chiar avantajoasă - inconvenientele se le introduce un parametru fiind suplinită de avantajele ce le oferă celalalt parametru;

- cu creșterea evansului maximul amplitudinei se deplasează spre valori mai mari ale vitezei;

- adâncimea de aşchieri stabilisează procesul de aşchieri pe măsură ce aceasta se micorează.

- nu se recomandă folosirea adincimii de aşchiere ca parametru comandat prin C.A. acesta introduce dificultăți de ordin tehnologic.

Din cele prezentate se apreciază că mărimele V și s pot fi luate în considerare ca mărimi comandate prin CA, fiind necesar în acest sens stabilirea ecuațiilor logice care vor conduce procesul.

Cap.5. STABILITATEA PROCESULUI DE ASCHIERE
LA STRUNJIRE

5.1. Introducere

In prezent este foarte cunoscută noțiunea de stabilitate la vibrații a mașinilor-unelte. In studiul dinamicii mașinilor-unelte este de acasări cunoscut termenul de factor excitator al antevibrărilor, prin acesta înțelegindu-se dependența forței de așchiere sau componentelor sale, de parametrii regimului de așchiere și geometria scălei ($v, t, s, \lambda, \delta, \chi$). In realitate însă acest termen nu reprezintă altceva decât legătura inversă între sistemul elastic echivalent (SE) și procesul de așchiere într-un sistem dinamic închis al mașinii-unelte.

Varietatea formelor de legătură într-un sistem se poate manifesta prin: instabilitatea proprie a sistemului elastic (SE), instabilitatea proprie a procesului de așchiere, legăturile multiple ale SE-ului în prezență unui număr mai mare de grade de libertate. Totodată este de mare importanță caracterul prelucrării: prelucrare fără urme de la trecerea anterioară - prelucrare tipică pentru acest cas fiind operația de filetare - sau prelucrarea după urme de la trecerea anterioară cas foarte frecvent întâlnit la prelucrarea pe mașini unelte, și în special la majoritatea prelucrărilor pe strung.

De acasă se va trata condiția de stabilitate a procesului de așchiere, considerind anumite valori ale amplitudinii antevibrărilor, ca mărimi de referință. Evident, condiția de stabilitate va fi satisfăcută doar dacă valori ale amplitudinii antevibrărilor sunt și decât mărimile de referință.

5.2. Stabilirea mărimii de referință a amplitudinii.

Prezența antevibrărilor în procesul de așchiere este, în principiu permanentă. Când se deosebesc anumite valori ele pot fi sesizate prin anumite caracteristice în cazul prelucrărilor cu viteze mari - și deci frecvențe ridicate - precum și prin urmăle

lăsată pe suprafață prelucrată în cazul operațiilor de degroșare cind amplitudinea autovibrării este mare, iar frecvența redusă. Mai întâi este foarte important de știut care este mărimea amplitudinii și frecvenței autovibrării, cunoscut fiind faptul că amplitudinea este parametrul care influențează direct calitatea și precizia suprafețelor prelucrate. Este necesară și limitarea mărimii amplitudinii autovibrării în procesul de așchiere, important fiind în acest cas de știut care poate fi mărimea amplitudinii A, admisă de precizia și calitatea prelucrării.

5.2.1. Determinarea teoretică a mărimii de referință

Potibilitățile mari ce le oferă prelucrarea pe strunguri a pieselor de diferite forme și dimensiuni presupune satisfacerea unor condiții privind precizia de formă și dimensiune, - prin urmare alătura claselor de precizie corespunzătoare - la executarea acestora pe mașini-unelte și deci și pe strunguri. În acest cas este necesar să se sublinieze pentru operațiile cele mai frecvente și anume: de degroșare, semifinișare și finisare, clasele de precizie în care acestea se execută - conform prescripțiilor STAS 6859-68- precum și rugositatea ce trebuie să se obțină la operațiile respective. În literatură [36][165] se indică pentru operațiile de strunjire rugositățile ce trebuie să se obțină, valorile lor fiind prezentate în

tabela 5.1. Prin zona hășurată în ambele sensuri s-a indicat valoarea rugosităților ce se obțin mai frecvent la prelucrarea pe strunguri. Conform indicațiilor STAS,

calitatea suprafeței prelucrate

Denumirea procedeului	Rugositatea suprafeței R_a (μm)
strunjire	202 192 182 172 162 152 142 132 122 112 102
frezare	100
polirare	100

Tab.5.1

se apreciază după: abaterea medie aritmetică a profilului, R_a , sau după, înălțimea neregularităților, R_g . În tabela 5.2 sunt indicate valorile preferențiale ale parametrilor R_a și R_g și a lungimii de baza - l - înîndose se știe și de preciziile [36][106] prezentate în tabela 5.3 referitor la rugositate și la clasele de precizie. Pentru operațiile ce caracterizează cel mai bine prelucrarea pe strung - degroșarea și finisarea - în ideia celor prezentate mai înainte, se pot stabili valorile lui R_g , care în același timp reprezintă și dublul axiplitudinii 2A - a autovibrăiei - limită prescrisă pentru fiecare mărime corespondătoare operațiilor respective

considerind-o a fi mărime de referință pentru acea operație.

R_a [μm]	R_z [μm]	Lungimea de baza [mm]
0,012	0,053	0,08
0,025	0,125	
0,05	0,25	
0,1	0,5	0,25
0,2	1,0	
0,4	2,0	
0,8	4,0	
1,6	8,0	0,8
3,2	12,5	
6,3	25	
12,5	50	2,5
25	100	
50	200	
100	400	8

Tab.5.2.

Este posibilă, respectând valorile presentate în tab.5.4. În cazul cînd la prelucrarea pe mașini-unelte se pune această problemă, a limitării nivelului autovibrățiilor, din condițiile amintite pe mașini se pot instala elemente de automatizare care să satisfacă o diversitate mai mare de clase de precizie decît cele prezentate în tab.5.3.

Nr crt.	Felul prelucrării	Clasa de precizie	Rugozitatea R_a conform STAS 5730-68	Rugozitatea R_e conform STAS 5730-68
1	Prelucrarea de degresare cu cujîte	4-7	12,5-100	50-400
2	Prelucrarea de semifinisare cu cujîte	3-4	3,2-12,5	12,5-50
3	Prelucrarea de finisare cu cujîte	2-3	0,8-1,6	4,0-8,0

Tab.5.3.

Nr crt.	Operatia	R_z [μm]	R_a [μm]	$2A$ [μm]
1	degrosare	50	12,5	50
2	semifinisare	12,5	3,2	12,5
3	finisare	4	0,4	4

Tab.5.4

Dintre cei doi parametri R_a și R_z ce caracterizează calitatea suprafeței prelucrate la operațiile de strunjire, parametrul R_z se apropie cel mai mult și reprezintă cel mai fidel amplitudinea undei vibratoare la așchiere. În acest caz, vom lua în considerare pentru prelucrarea pe strung, ca mărimi de referință la operațiile de degresare, semifinisare și finisare valorile prezентate în tabela 5.4. Din cele prezентate, se poate aprecia că la prelucrarea pe strungi respectarea condițiilor de precizie și calitate prin limitarea amplitudinii autovibrățiilor este posibilă, respectând valorile presentate în tab.5.4. În casul cînd la prelucrarea pe mașini-unelte se pune această problemă, a limitării nivelului autovibrățiilor, din condițiile amintite pe mașini se pot instala elemente de automatizare care să satisfacă o diversitate mai mare de clase de precizie decît cele prezентate în tab.5.3.

Așa cum se arătat rugozitatea suprafeței prelucrate R_z este dublul amplitudinii $2A$ și prin urmare ea poate fi considerată ca mărime de referință în SCA, după autovibrății. În acest caz se poate concluziona că, CA

a procesului de așchiere se realizează într-un sistem cu buclă închisă, folosind valorile lui R_x pentru cele mai frecvente operații de strunjire ca mărimi de referință, acestea servind drept mărini de comparație față de cele reale din proces.

5.3. Stabilisarea procesului de așchiere

Procesul de așchiere, datorită condițiilor foarte variate de lucru poate trece din starea de așchiere liniștită în stare de instabilitate și invers, stabilisarea fiind dictată de proprietățile de amortisare ale sistemului, fie de utilizarea unor metode și dispozitive de stabilisare.

De obicei în practică la apariția fenomenului de instabilitate se precedeză la modificarea unor parametri ai regimului de așchiere, de cele mai multe ori a evansului sau a vitezei de așchiere. Aceste modificări ale evansului sau vitezei influențează evident capacitatea de producție a mașinii-unelte, mai ales cind acestea se fac întâmplător, doar din dorința de a se stabiliza procesul. Deși în literatură nu s-a făcut aprecieri privind cota de influență a unui sau altuia dintre parametri și v asupra stabilizării procesului de așchiere, se apreciază totuși că evansul și urm creșterea sa are o puternică influență asupra stabilității în așchie. În condițiile utilizării C.A pe stranguri pentru care se consideră ca mărime de referință forța de așchiere P_x sau momentul de torsion M_x - ale căror mărini se modifică prin acționarea asupra parametrului s - pentru care există o legătura de variație bine definită în funcție de rigiditatea STE, forța de așchiere efectivă din proces P_{se} fiind tot timpul egală sau proporțională cu forța de referință P_{sr} , mărimea evansului nu mai poate fi modificată decât după legea variației a forței de referință, prin urmare în aceste condiții parametrul s nu poate fi luat în considerare, ca mărime de prim ordin, în stabilisarea procesului.

Lucrarea de față își propune să echipeze strungurile având C.A, cu un astfel de sistem de stabilisare a autovibrățiilor. În spatele este vorba de modelul SP-630-MC-CA pentru care s-a realizat SCA [156] având ca mărime de referință forța de așchiere P_{sr} . În diagramele din fig.5.1 și fig.5.2 sunt prezentate curbele de variație ale forței de referință de-a lungul axei longitudinale a strungului pentru casul prinderii combinate a piesei în fig.5.1 și prinderea între

vîrfuri fig.5.2. În casul menținerii constante a deformării STE pe lungimea de prelucrare. Pentru păstrarea considerărilor mai înainte amintite, s-a procedat la modificarea avansului de lucru, în condițiile menținerii unei adâncimi de aşchieri constante. Relația (5.3) exprimă legea de variație existentă între avansul de aşchieri și forța de referință dealungul piesei

$$s = \sqrt{\frac{0.75 F}{233 t}} \quad (5.1)$$

Fig.5.1.

această expresie fiind reprezentată grafic în diagrame din fig.5.3. Din cele presentate se observă că dealungul unei vîrfurilor, în scopul menținerii constante a unei parametru, forța de aşchieri F_s trebuie să respecte o lege de variație bine definită și implicit avansul este dependent de această lege, fapt ce presupune dela început

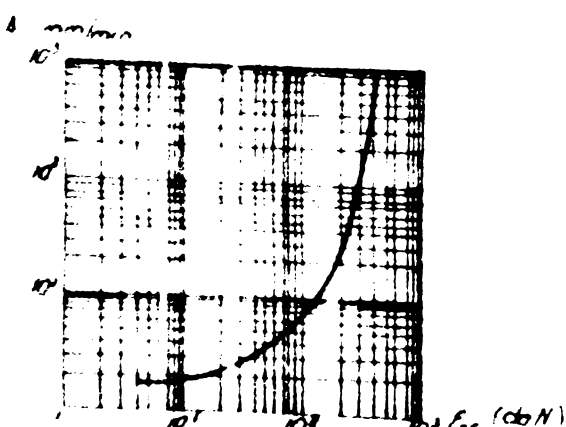


Fig.5.3

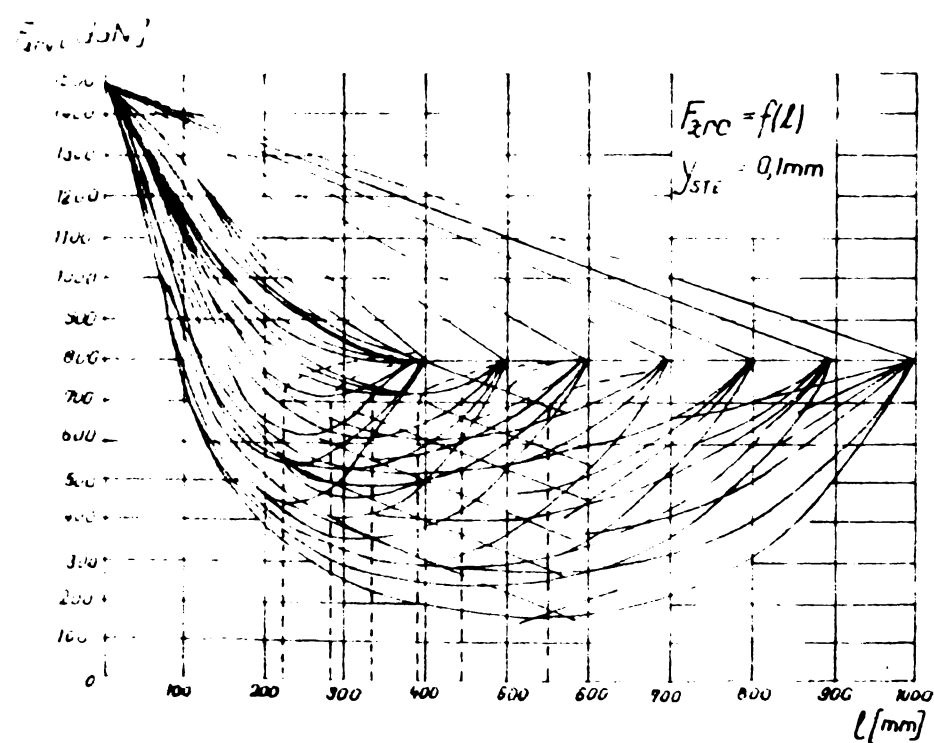


Fig.5.2

remunțarea la posibilitățile ce le oferă acest parametru în ce privește stabilizarea procesului de aşchieri, pentru unele cazuri.

Așa cum s-a analizat în cap.4, viteza luată în considerare la stabilizarea procesului de aşchieri, care deși nu are un efect stabilizator atât de promunțat ca avansul, este totuși recomandat de cîteva avantaje nete și amme:

- modificarea să nu influențeze calitatea suprafetei prelucrate;

- este parametrul care prin modificarea sa influentează cel mai puțin capacitatea de producție a mașinii;

- modificarea vitezei în sensul micșorării ei nu va ridica probleme în ce privește puterea mașinii, dinpotrivă aceasta asigurând o oarecare rezervă;

- acest parametru se pretează pentru toate regimurile de lucru, fără nici un fel de complicație tehnologică;

- asigură o uzură redusă a sculelor în exploatare.

Acestea sunt avantajele esențiale pe care le oferă acționarea asupra vitezei de aşchieriere în C.A.

Vom analiza deci modul în care viteză de aşchieriere conduce la atenuarea autovibrățiilor în procesul de aşchieriere în condițiile menținerii amplitudinii acestora sub valorile mărimilor de referință stabilite.

5.3.1. Calculul la stabilitate după viteză la aşchieriere

5.3.1.1. Stabilitatea sistemelor cu un grad de libertate.

La apariția vibrățiilor în procesul de aşchieriere, influența acestora asupra semifabricatului ce se prelucrează este diferită în funcție de deplasările ce apar datorate acestui fenomen. Cea mai mare influență asupra suprafetei ce se prelucră, o au vibrățiile ce se propagă pe direcția normală la suprafața piesei, acestea lăsând urme cu influență nefastă asupra preciziei și calității prelucrării. Deplasările datorate vibrățiilor după o direcție tangențială la suprafața de prelucrat influențează în mai mică măsură calitatea prelucrării. Așa cum se apreciază [4],[36],[55],[72],[125],[129],[130],[140],[143],[146],[154] componenta normală de aşchieriere P_y , are influență cea mai mare asupra preciziei și calității prelucrării, variația ei provocând în principal autovibrățiile la aşchieriere. O relație aproximativă a componentei normale a forței de aşchieriere este dată de Sokolovski [129],[130] și ea este de forma:

$$P_y = P - r_y + aB \frac{Y}{\sqrt{2}} + bB \frac{Y^2}{\sqrt{2}} + cB \frac{Y^3}{\sqrt{3}} \quad (5.2)$$

unde: $P = C_r B \cdot s^q$ - componenta normală a forței de aşchieriere [daN]

C_r - coeficient ce ține seama de materialul de prelucrat și geometria sculei

$B = \frac{t}{\sin \alpha}$ lățimea aşchieriei [mm]

t - adâncimea de aşchiere [mm]

χ - unghiul principal de atac al sculei °

s - avansul de lucru [mm/rot]

$q = 0,75$ exponent stabilit experimental

$r = q \frac{F}{g} = C \frac{B}{s \sin \chi^{0,25}}$ coeficient ce ține seama de forță de aşchiere

y - deplasarea sculei pe direcția normală la suprafața de prelucrat [mm]

\dot{y} - viteza de deplasare a sculei pe direcția y mm/sec

a, b, c - coeficienți ai regimului de aşchiere stabiliți experimental.

Înăind seama de expresia (5.2) ecuația diferențială a mișcării este de forma

$$my'' = P_y - P - k_y y - hy' \quad (5.3)$$

m - masa raportată la suportul portsculă [Kg]

k - coeficientul de elasticitate al suportului [mm/daN]

h - coeficient ce ține seama de regimul de aşchiere.

Valoarea mărimi lui r din ecuația (5.2) este dată de expresia

$$r = q \cdot \frac{F}{g} = C \frac{B}{s^{0,25}} \quad (5.4)$$

$C = 0,75 C_r$

C_r - mărime ce depinde de materialul de prelucrat și forma sculei.

Integrala ecuației (5.3) după cîteva transformări devine de forma

$$y = A \sin \omega t e^{\frac{ht}{m}}$$

A - amplitudinea autovibrăției [μ m]

iar pulsăția circulară în acest caz va fi

$$\omega = \sqrt{\frac{k + r}{m}}$$

k - rigiditatea dinamică a modelului experimentat [daN/mm]

m - masa redusă a sculei în consolă daN cm^{-1}s^2

Apariția mărimi r în expresia frecvenței se explică prin aceia că termenul ry din ecuația (5.4) are aceeași influență ca și termenul care exprimă forța de elasticitate.

In analiza sistemelor autovibratorii care execută vibrății staționare se disting : sursa de energie cu sens constant, factorii care trebuie să intensifice și să excite mișcarea vibratorie precum și factorii care limitează creșterea vibrățiilor. În analiza de față vom accepta ca ipoteze simplificatoare faptul că procesul de aşchiere este liber, caz în care vom examina autovibrățiile ce se

propagă pe direcție normală, la suprafața ce se prelucrează. Atât din ipotezele mai înainte acceptate cît și dintr-o serie de studii [4], [12.9], [14.3] s-a stabilit că influența asupra componentei P_y a forței de aschieri nu se datorează doar vitezei y' ci și valorii ei raportate la viteză de aschieri, aceasta depinzând deci de raportul $\frac{y'}{v}$. Pentru simplificare s-a admis pentru forță de excitație valoarea $a \cdot B \frac{y'}{v}$, unde se observă că pentru acest caz forță de aschieri este o funcție liniară de viteză y' .

Luiind în discuție factorul care limitează intensitatea autovibrărilor trebuie spus că pentru ca aschiera să fie posibilă este necesar ca sensul de deplasare al tăigului sculei să fie de așa natură încât să se păstreze o valoare oarecare, chiar și cea minimă a unghiului de aşesare. Forță care limitează vibrările poate fi prezentată sub forma $-cB\left(\frac{y'}{v}\right)^3$ semnul minus (-) indică, că direcția de acțiune a forței este inversă sensului vitezei y' . Cele două mărimi, ale forței de excitație și a forței ce limitează vibrările (amortizarea) le găsim în expresia forței de aschieri, relația (5.2).

Termenul $b \cdot B\left(\frac{y'}{v}\right)^2$ face ca la angajarea și la retragerea cutitului, valoarea absolută a mărimii ΔP_y să fie diferită, astfel că relația poate fi mai bine interpretată analizând curbele determinate pe cale experimentală.

Valoarea variației forței de aschieri în acest caz este dată de (5.5)

$$\Delta P_y = a \cdot B \frac{y'}{v} + b \cdot B \left(\frac{y'}{v}\right)^2 + c \cdot B \left(\frac{y'}{v}\right)^3 \quad (5.5)$$

iar expresia (5.2) a componentei P_y a forței de aschieri, ținând seama de (5.5) se mai poate scrie

$$P_y = P - r_y + \Delta P_y \quad (5.6)$$

astfel că ecuația finală în acest caz va fi dată de (5.7)

$$y'' + \alpha y' - \beta y - \gamma y^2 - \delta y^3 = 0 \quad (5.7)$$

Este de subliniat pentru acest caz faptul că formula (5.2) și respectiv (5.3) exprimă în mod aproximativ fenomenul real, trebuie însă avut în vedere că pentru metoda bilanțului energetic folosită în casul de față, unde esențial este doar faptul că, lucrul mecanic într-un ciclu al forței de aschieri reale trebuie să fie egal cu lucrul mecanic al forței considerate în calcul, acest mod de analiză satisfacă, bineînțeles alegind cît mai exact coeficienții din relațiile presentate. Coeficienții termenilor din ecuația (5.7) au forma:

$$\alpha = \frac{a \cdot B - h \cdot v}{v \cdot m} \quad \beta = \frac{k + r}{m} \quad (5.8)$$

(5.8)

$$\xi = \frac{c \cdot B}{m \cdot v}$$

$$\eta = \frac{b \cdot B}{m \cdot v^2}$$

La procesul vibrator participă în afară de forță de agchieră și forțele de rezistență. Din analiza unui mare număr de publicații [4][37][72][75][129][143][150] se constată că aceste forțe depind în general de viteza mișcării vibratoarei și de forțele care acționează asupra sistemului (în primul rând forță de agchieră).

Forțele rezistente se exprimă prin termenul $-ry'$ având în vedere faptul că valoarea coeficientului h crește pe măsură ce crește forță de agchieră.

In continuare vom analiza stabilitatea la autovibrății a sistemelor cu un grad de libertate în casul cînd prelucrarea se desfășoară pe suprafață fără urme și în casul prelucrării pe suprafață cu urme de la trecerea anterioară.

5.3.1.1.1. Stabilitatea la prelucrarea fără urme.

In casul analizei sistemelor cu un grad de libertate (ipoteza simplificatoare) se vor lua în considerare doar vibrațiile unui element din sistemul elastic (SE) al mașinii unele, fie ale piesei ce se prelucrează fig.5.4a, fie ale sculei fig.5.4b și aceasta presupunând că celelalte elemente adică suportul (respectiv piesa de prelucrat) sunt perfect rigide și deci nu vibrează. Analiza uneia sau a altuia din cele două cazuri ar conduce la

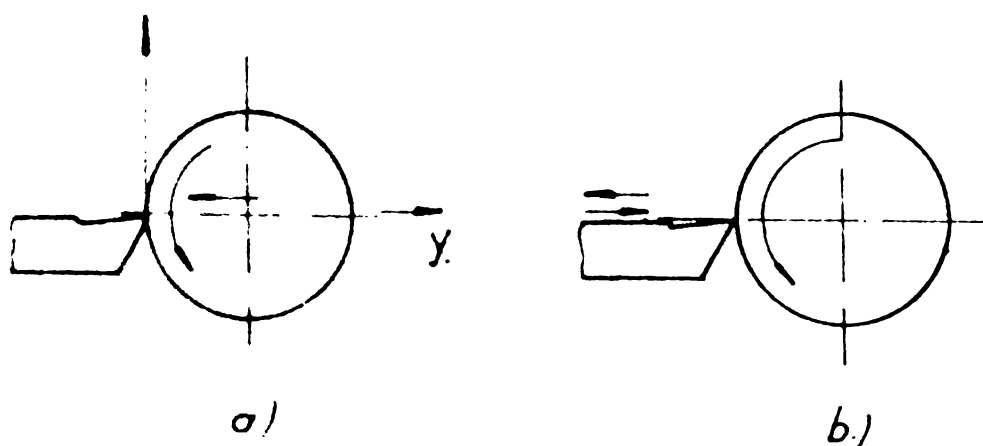


Fig.5.4

concluzii similare. Casul real însă este cel al sistemelor cu două grade de libertate sau al analizei deplasărilor simultane ale piesei și suportului sculei.

Din ecuația bilanțului energetic [129] după o serie de integrări și transformări se ajunge la expresia finală (5.9) din care se determină valoarea amplitudinii undei vibratoare în funcție de viteză de agchieră. Adică:

$$-\beta + \frac{3}{4} \xi^2 \Delta W^2 = 0 \quad (5.9)$$

A - amplitudinea autovibrăriilor. [μm]

ω - pulsăția autovibrăriilor [Hz].

Efectuind substituțiile (5.8) în ecuația (5.9) se determină expresia amplitudinii autovibrăriilor în forma

$$A = \frac{2}{3c} \cdot \frac{v \cdot r_0}{\omega} \sqrt{a - \frac{v \cdot h}{B}} \quad (5.10)$$

Inlocuind $a = k \cdot r_0$ ce ține seama de materialul de prelucrat și geometria sculei obținem :

$$A = \frac{2}{3c} \cdot \frac{v \cdot r_0^2}{\omega} \sqrt{k - \frac{v \cdot h}{B \cdot r_0}} \quad (5.11)$$

Efectuind operațiile în (5.11) se determină ecuația de stabilitate a procesului de aschierare pentru sistemele cu un grad de libertate după viteza de aschierare.

$$4r_0^2h \cdot v^3 - 4kr_0^2Bv^2 + 3c\omega^2BA^2 = 0 \quad (5.12)$$

$k = 0,714$ coeficient de excitare stabilit experimental după [150]

$$r_0 = C_p \cdot C_r \cdot \lambda \quad (5.13)$$

$C_p = 0,75$ coeficient ce ține seama de material (cifra s-a ales pentru oțeluri)

$C_r = 128$ coeficient care ține de geometria sculei de aschiat ($\delta \geq 45^\circ; \alpha, \gamma > 0$) ales după [36], [129], [130]

$$-\frac{P}{P_s} = \frac{C_{P_y}}{C_{P_s}} \cdot t^{\frac{x - x_{P_z}}{y_{P_y} - y_{P_z}}} \quad (5.14)$$

notăm C_{P_y}

$$\frac{C_{P_y}}{C_{P_s}} = Q; \quad x_{P_y} - x_{P_s} = \delta; \quad y_{P_y} - y_{P_z} = \psi$$

Revenind la r_0

$$r_0 = C_p \cdot C_r \cdot Q \cdot t^{\frac{\delta}{\psi}} \quad (5.15)$$

se observă că mărimea acesteia se schimbă cu: modificarea parametrului t sau s , fapt ce conduce la o descriere mai reală a fenomenului autovibrator din proces, spre deosebire de [36], [71], [130], [143] expresii cunoscute în care λ era considerat un apărut constant. În aceiași ecuație (5.12)

h - coeficient ce ține seama de apăsarea de aschierare având expresia:

$$h = H \cdot B^{\frac{xQ}{\psi}} \cdot S^{\frac{yQ}{\psi}} \quad (5.16)$$

$$H = H_1 C; \quad S = s \sin \delta; \quad B = \frac{t}{\sin \psi}$$

$\beta = 45^\circ$ unghiul de atac principal.

Valoarea de 45° a unghiiului de atac principal s-a ales din condiția limită de stabilitate a procesului de aşchieriaceasta fiind valoarea de la care influența unghiiului de atac asupra intensității autovibrățiilor scade semnificativ.

Din analiza ecuației (5.10) se poate observa că apar două cazuri distincte și anume:

- un caz visează însăși condiția de stabilitate, adică amplitudinea autovibrăției care trebuie să fie nulă. Din ecuația (5.10) se observă că pentru satisfacerea acestei condiții cantitatea de sub radical trebuie să fie nulă, de unde

$$v = r_0 \frac{B_0 k}{h} \quad (5.17)$$

$$v = \frac{k \omega}{\frac{R_1 C \omega (\sin \chi)}{C_p C_r Q t^{1+\delta}} - x_q - y_q} \quad (5.18)$$

In diagrama din fig.5.5 după cele trei coordinate, s, t și v

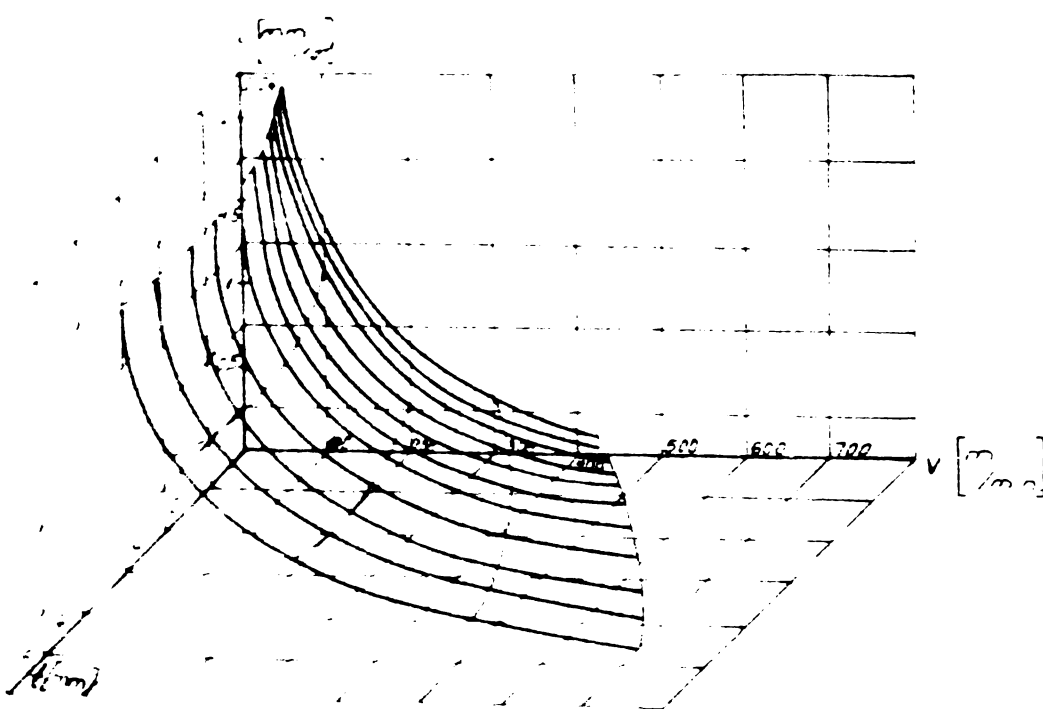


Fig.5.5

léri mai mici. În cazul regimurilor intense ce folosesc valori ale avansului între 0,56-0,8 mm/rot și adâncimi de aşchieriace între 3-5 mm, mărimele vitezelor se situează în jurul valorilor de 300-350 m/min deci în jurul uneor valori relativ ridicate, limitative pentru durabilitatea sculelor în cazul regimurilor de degroșare, dar care pot fi luate în discuție pentru operațiile de finisare lucru ce se va elucida la stabilirea algoritmului.

sint prezentate curbele de variație ale vitezei de aşchieri din condiția de stabilitate a procesului de aşchieri. Se observă că pe măsură ce adâncimea de aşchieri t scade și avansul s crește, mărimele vitezelor pentru A = 0 se deplasează spre valori mai mici.

Cel de al doilea aspect, ușor de sesizat din ecuația (5.10) este legat de cazul desfășurării procesului de aşchiere cu amplitudine maximă.

Valorile vitezelor de aşchiere pentru acest caz se determină din (5.11) punând condiția ca prima derivată să se anuleze, adică:

$$\frac{da}{dv} = 0.$$

rezultând ecuația vitezei pentru cazul cînd amplitudinea autovibrării A este maximă, respectiv:

$$v = \frac{2}{3} r_0 \frac{B \cdot k}{h} \quad (5.19)$$

sau

$$v = \frac{0,66 k \omega}{H_1 C \omega (\sin \varphi)} \frac{1-xq+yq}{c_p c_q t^{1+\delta} - xq_y - yq_x} \quad (5.20)$$

In diagrama din fig.5.6 sint prezentate curbele de variație ale vitezei, atunci cînd amplitudinea A este maximă. Se observă că pentru adâncimi de aşchiere mici, maximul curbelor se deplasează spre valori mai mici ale vitezelor, iar pentru valori mai mici ale avansului, valoare vitezei

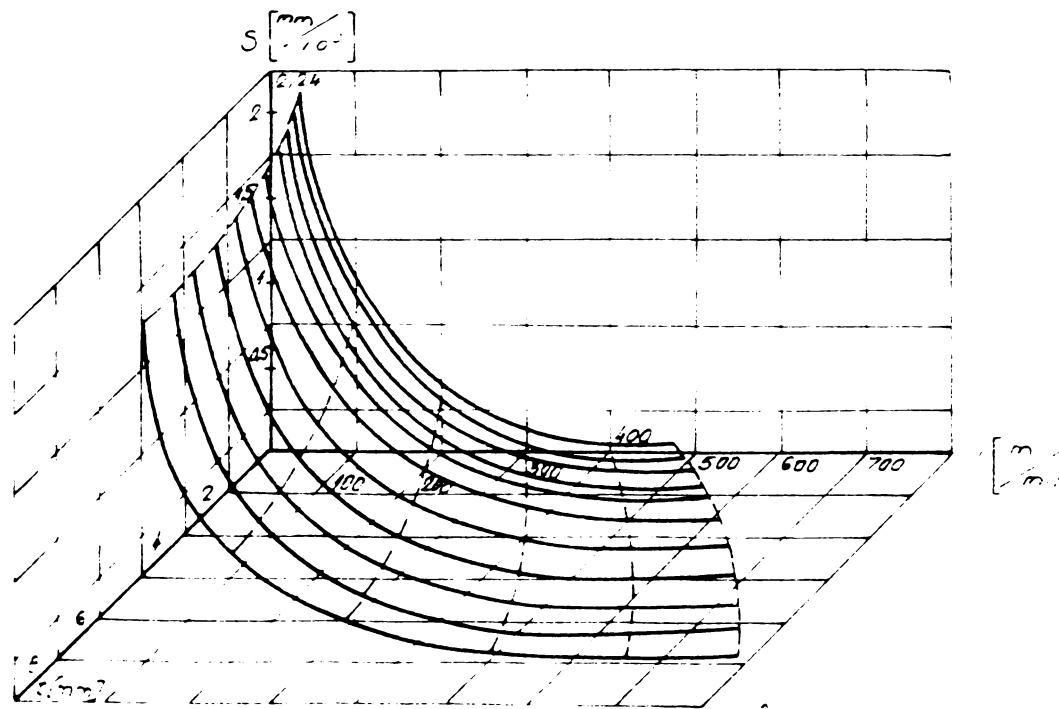


Fig.5.6

pentru care amplitudinea este maximă se plasează în domeniul unor mărimi mai ridicate de viteză. Cunoașterea exactă a mărimilor vitezei pentru care amplitudinea este maximă permite plasarea regimurilor de aşchiere reale în domeniul de stabilitate al procesului fără a afecta capacitatea productivă a mașinii.

Deși analiza sistemelor cu un grad de libertate nu reflectă în mod real comportarea sistemului dinamic al mașinii-unelte, curbele de variație ale vitezei de aşchiere determinate analitic exprimă în mod

descrierile teorice și experimentale ale fenomenelor de instabilitate și de instabilitate.

general comportarea SE și ele pot constitui un indiciu prețios în analizele ulterioare.

Un alt aspect care împiedecă o analiză reală a comportării SE este și faptul că prelucrarea pe suprafețe fără urme este un cas de excepție în prelucrare pe strunguri. (doar operația de filatere).

5.3.1.1.2. Stabilitatea prelucrarea după urme

La strunjirea după urme de la trecerea anterioară [4,36,129] apar unele fenomene noi în ceea ce privește apariția autovibrărilor, fapt ce conduce la reconsiderarea unor principii acceptate ca valabile pentru primul cas.

In fig.5.7 sunt prezentate două oscilograme unde curba 1 reproduce profilul rămas pe suprafața prelucrată de la trecerea precedență iar curba 2 prezintă urma lăsată de scula la trecerea curentă - ce se studiază - astfel că suprafața hășurată din figură reprezintă stratul de metal ce se îndepărtează suplimentar la cea de a doua trecere.

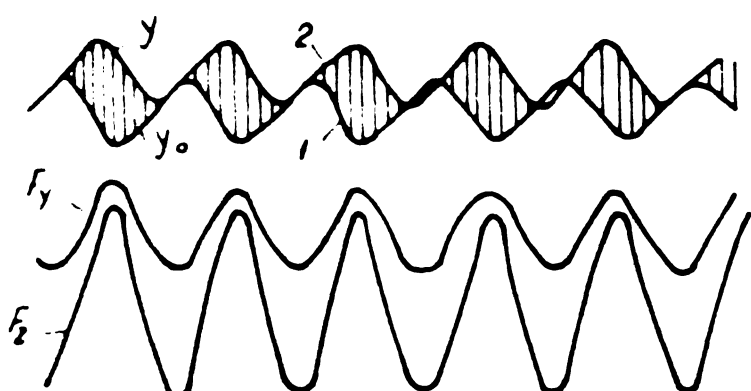


Fig.5.7

Semnificația celor două mărini din figură este următoarea

y - deplasarea cuțitului în metal în timpul trecerii ce se studiază mm

y_0 - deplasarea cuțitului în metal la trecerea precedentă mm
iar grosimea instantaneă Δy a așchiei în acest caz este dată de diferență

$$\Delta y = y - y_0$$

In figura 5.8 a și b sunt indicate, diagramele de variație ale componentei P_y a forței de așchieri în funcție de deplasarea y și respectiv în funcție de grosimea stratului așchiat A. La strunjirea după urme, grosimea A a așchiei nu este egală cu deplasarea y a piesei de prelucrat în raport cu scula de la cazul strunjirii fără urme, din acest motiv relațiile dintre P_y, A și y sunt diferite.

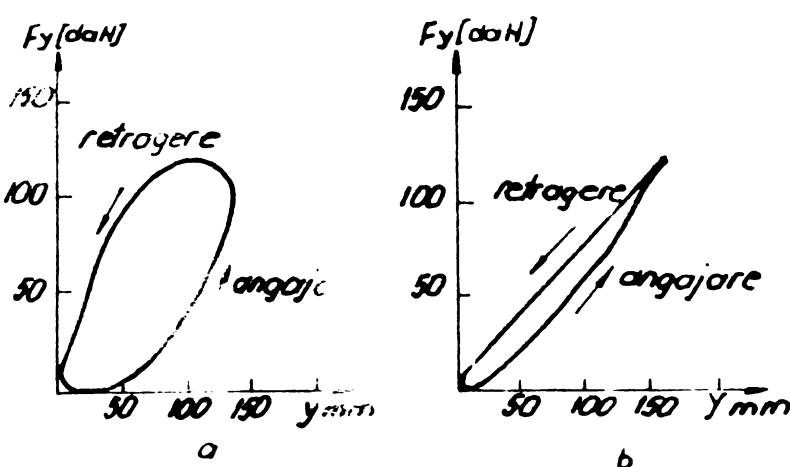


Fig.5.8

In fig.5.8 a suprafața diagramei reprezintă lucrul mecanic total de excitărie, iar suprafața diagramei din fig. 5.8b reprezintă numai o parte din acesta.

Diferența dintre valorile forțelor la retragerea și la angajarea cutiștilui se datoră direct modificării

grosimii așchiei la strunjirea urmelor de pe suprafața ce se prelucră. Se apreciază [4] după Anesov că 85% din lucru mecanic consumat pentru întreținerea vibrațiilor este condiționat de acțiunea forței periodice la strunjirea suprafețelor cu urme - excitărie secundară - și numai 15% se datoră influenței factorilor fizici - excitărie primară - această parte a lucrului este reprezentată în diagrama din fig.5.8b.

Forța care apare la așchierea undelor datorate vibrațiilor pe suprafața ce se prelucră și care determină așa numita excitărie secundară se exprimă sub forma

$$-r(y - y_0) \quad (5.21)$$

unde: $r = C \frac{B}{(s \cdot \sin \alpha)^{0.25}}$

Ecuția mișcării în acest caz va fi apropiată de forma ecuației (5.7) având doar în membrul drept pentru forță de excitărie, termenul rezultat din (5.21) - ry_0 , astfel că ea va fi de forma

$$\ddot{y} + \alpha \dot{y} - \beta \ddot{y} - \gamma \dot{y}^2 + \delta y^3 = f^2 y_0 \quad (5.22)$$

Folosind ca și în cazul precedent metoda bilanțului energetic, înmulțind cu dy ecuația (5.22) și integrând între limitele unei perioade, după o serie de transformări se ajunge la ecuația (5.23) din care se poate exprima amplitudinea undei vibratoare:

$$-\beta \omega + \frac{3}{4} \delta \omega^3 A^2 - f^2 = 0 \quad (5.23)$$

unde

$$\beta^2 = \frac{r}{\omega}$$

Inlocuind valorile lui β^2 ; β și δ cunoscute se obține expresia

$$A = \frac{2}{\sqrt{3}} \sqrt{\frac{v}{a + \frac{r_0 v}{B} - \frac{h v}{B}}} \quad (5.24)$$

In expresia de sub radical primul termen reprezintă excităcia primară, cel de al doilea excităcia secundară iar cel de al treilea

rezistențele din sistem. Neglijind primul respectiv al doilea termen de sub radical se obțin amplitudinile în cazul existenței, numai a excitației primare respectiv secundare. Si în acest caz considerindu-se pulsăția vibrațiilor egala cu pulsăția sistemului conservativ

$$\ddot{y} + y = 0$$

de unde

$$\omega = \sqrt{\frac{k+r}{m}} \quad (5.25)$$

Efectuind operațiile în (5.24) vom determina ecuația de stabilitate pentru cazul sistemelor cu un grad de libertate, la prelucrarea după urme de la trecerea precedentă și ea este de forma:

$$4(r_0 B - \omega h)v^3 + 4kr_0 \omega B v^2 - 3e\omega^3 B A^2 = 0 \quad (5.26)$$

Din analiza celor două ecuații (5.12) și (5.26) se definesc stabilitatea sistemelor cu un grad de libertate pentru prelucrare fără urme și respectiv după urme se observă că forma lor este asemănătoare, cu singura deosebire că termenul în v^3 conține și factorul excitator datorat variației grosimii stratului așchiat prin urmele de la trecerea anterioară.

Ca și în cazul precedent, analizând ecuația (5.24) se observă că condiția de stabilitate este satisfăcută pentru $A = 0$, adică atunci cind cantitatea de sub radical este nulă. Din această condiție se determină expresia lui v

$$v = r_0 \frac{k \omega_B}{h \omega - r_0 B} \quad (5.27)$$

în care făcind substituțiile cunoscute, ajungem la expresia finală a vitezei :

$$v = \frac{k \omega}{\frac{h C \omega (\sin \chi)}{1 - xq + yq} - \frac{C_p C_q Q}{1 + \delta - xq_s^2} - 1} \quad (5.28)$$

- Curbele obținute după această ecuație sunt prezentate în fig.5.9 și ele reprezintă legea de variație a vitezei de așchiere din condiția de stabilitate pentru diferite combinații ale parametrilor ω și t ai regimului de așchiere. Deși curbele sunt mai plante decât în cazul așchierii fără urme, ele respectă aceeași lege de variație din care se observă că pe măsură ce valoarea avansului scade este necesar să se mărească valoarea vitezei pentru menținerea procesului de așchiere în domeniul de stabilitate, în același scop, pe măsură ce adâncimea de așchiere scade și vitezele de așchiere se redau. Din aceeași ecuație (5.27) se determină și expresia vitezele

de așchiere pentru amplitudinea maximă. Pentru acest caz maximul

curbelor se obține în punctele în care se anulează derivata $\frac{dA}{dv} = 0$, pentru această condiție se obține expresia (5.29) a vitezei

$$v = \frac{2}{3} \cdot \frac{k \cdot B}{h \omega_r \cdot r_B} \quad (5.29)$$

Păcind aceleasi substituiri vom obține expresia

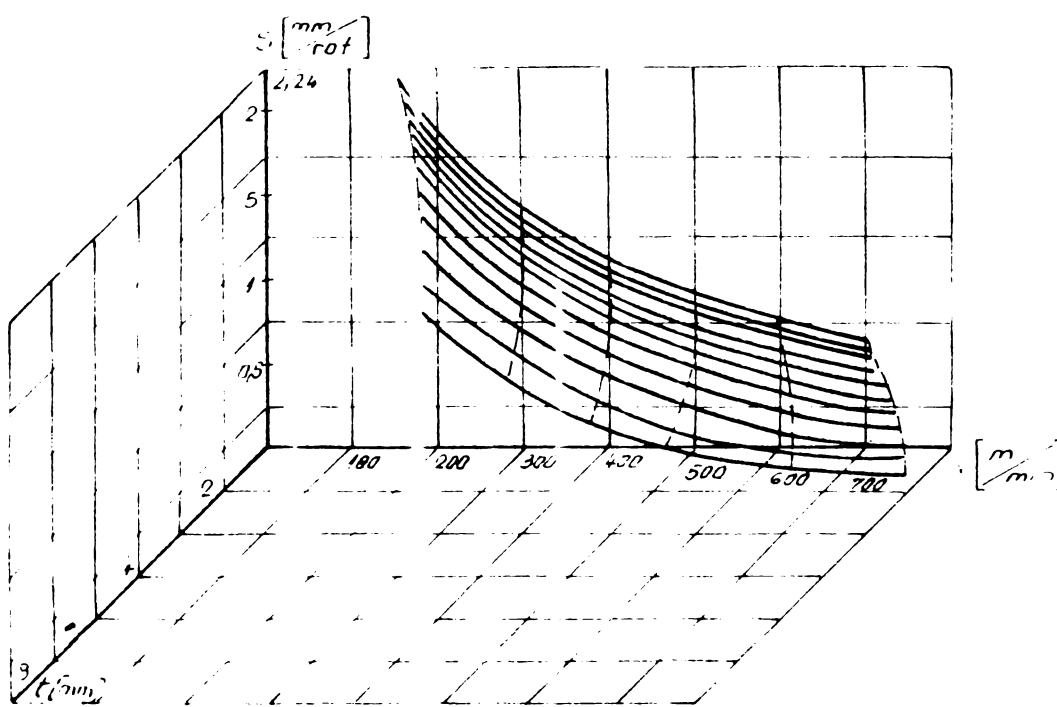


Fig. 5.9

vitezei de așchiere pentru amplitudinea maximă a vibrării

$$v = \frac{0.66 k \omega}{\frac{N_c C \omega (\sin \chi)}{C_p C_r Q t^{1+\delta - \alpha q_s^{\psi} - yq}}} \quad (5.30)$$

Curbele de variație a vitezei de așchiere în acest caz sunt prezentate în diagrama spațială din fig. 5.10. Si în acest caz legea de variație a vitezei se păstrează

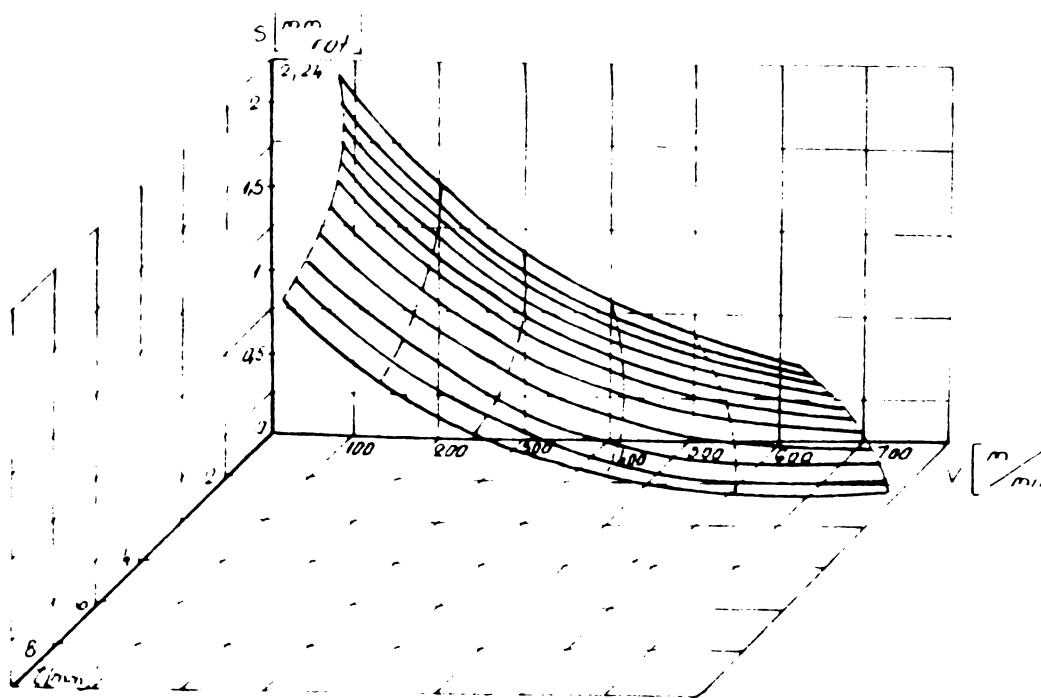


Fig. 5.10

Din compararea ecuațiilor (5.18), (5.20), (5.28), (5.30) precum și a diagramelor corespunzătoare rezultă că în cazul unei strunjiri după urme în scopul stabilisirii procesului de așchiere vitezele din proces sunt mai reduse decât în cazul prelucrării pe suprafețe fără urme

Ecuatiile presentate nu satisfac in toate cazurile si in deosebi atunci cind masinile unele sunt dereglate, avand jocuri mari in lagarele arborelui principal, in ghidaje si pinola, noi insa tratam casul masinilor unele apte de a fi utilizate pentru precizii medii de prelucrare. Se apreciasi de asemenea ca rigiditatea sistemului este un element important si ca aceasta poate asigura lucru fara vibratii. Acest element al sistemului elastic - rigiditatea - are o insemanata mult mai generala, el influentand nu numai vibratiile de natura autoexcitatii ci si cele ce se datoreaza altor factori. Prevenirea vibratiei de asemenea depinde de rigiditatea sistemului. Aceasta creste pe măsură ce se mărește rigiditatea. Amplitudinea de asemenea depinde in mare măsură de rigiditatea sistemului. Din expresia (5.25) se observă ca pe măsură ce rigiditatea k din (5.26) crește, crește și frecvența și prin urmare scade amplitudinea A a autovibratiei.

Din analiza celor două procedee de prelucrare pentru sistemele cu un grad de libertate - prelucrare fara urme si după urme de la trecerea precedenta - se desprinde o concluzie importantă si anume aceia ca : stabilisarea procesului de aşchiere după viteză nu se pretează pentru toate operațiile de prelucrare posibile de pe strunguri, in același domeniu de variație a vitezelor. Este deci necesară o delimitare a domeniilor de viteză pentru diferitele operații (în general cele clasice: finisare și degroșare), această analiză se va face la stabilirea algoritmului.

Un alt considerent ce trebuie menționat în continuare este cel legat de faptul că în general la prelucrarea pe strunguri prima trecere nu este și ultima, prin urmare cazurile de prelucrare cu ponderea cea mai mare (exceptând filetarea), sunt cele după urme de la o trecere precedenta acest cas apropiindu-se mai mult de realitate. O notă generală privind comportarea la autovibratii a strungurilor, evidentiată în 4.1.1 și ilustrată în fig.4.4 și 4.5, o regăsim în cele două cazuri studiate, de prelucrare fară urme și după urme de la trecerea precedenta.

Din diagramele presentate în fig.5.6 și 5.10 ce caracterizează prelucrarea cu amplitudini maxime, se observă că valorile vitezelor sunt deplasate spre stanga (în zona ce caracterizează prelucrarea cu amplitudini maxime), față de diagramele presentate în fig. 5.5 și 5.9 ce descriu comportarea procesului de aşchiere în zona de stabilitate. Aceste fenomene însă sunt conturate mai clar în analiza sistemelor cu două grade de libertate.

5.3.1.2. Stabilitatea sistemelor cu două grade de libertate

5.3.1.2.1. Casul deplasării după o direcție

In literatură [129], [130] astfel de sisteme sunt considerate cu două grade de libertate deși direcția de deplasare este unică, diferind doar numărul elementelor ce se deplasează (în cazul nostru două piese și scula de prelucrat).

Analiza acestora are drept scop studiul vibrațiilor sistemului suport, arbore - limitindu-ne la cazul vibrațiilor apropiate de cele armonice - în cazul prelucrării pieselor cu grad mare de suflare $\frac{L}{d}$ - (fără a fi necesară utilizarea unor dispozitive suplimentare), pentru a se stabili domeniile de viteze în care procesul este stabil. Acest caz, pentru tipul de piese menționat este mai apropiat de situația reală ce poate avea loc la prelucrarea pe strung și el reclamă o astfel de analiză. Se va considera că forțele de rezistență și cele de excitație nu sunt mari ca în cazul vibrațiilor vor fi apropiate de cele armonice. Se mai face presupunerea că vibrațiile celor două mase (arbore și suport) coincid ca sens sau sunt defasate cu π .

Pentru determinarea mărimei amplitudinii A se pleacă de la ecuația bilanțului energetic, egalind cu zero suma lucrului mecanic al tuturor forțelor care acționează asupra sistemului în decursul unei perioade complete. Forța de excitație depinde de viteză relativă $y'_1 - y'_2$ și are expresia

$$\pm \left[\frac{a \cdot B}{v} (y'_1 - y'_2) + \frac{b \cdot B}{v^2} (y'_1 - y'_2)^2 - \frac{c \cdot B}{v^3} (y'_1 - y'_2)^3 \right] \quad (5.31)$$

y_1 - deplasarea elementului suport din sistem [mm]

y_2 - deplasarea arborelui din sistem [mm]

La studiu acțiunii forței asupra suportului se consideră semnul (+) din expresia (5.31), iar pentru studiu acțiunii forței asupra arborelui se ia în considerare semnul (-) din aceeași expresie.

Pornind de la expresia ecuației bilanțului energetic

$$E = L_{exc} - L_{rez} = 0 \quad (5.32)$$

unde lucrul mecanic al forțelor excitatoare pentru o perioadă este

$$\begin{aligned} L_{exc} &= \int_0^T \left[\frac{a \cdot B}{v} (y'_1 - y'_2) + \frac{b \cdot B}{v^2} (y'_1 - y'_2)^2 - \frac{c \cdot B}{v^3} (y'_1 - y'_2)^3 \right] dt (y_1 - y_2) = \\ &= \bar{F} \cdot h_v^2 \omega \frac{B}{v} \left(a - \frac{3}{4} c \frac{\omega^2}{v^2} h_v^2 \right) \end{aligned} \quad (5.33)$$

iar lucrul mecanic al forțelor rezistente

$$L_{\text{res}} = \int_0^T h_1 \dot{y}_1 dy_1 + \int_0^T h_2 \dot{y}_2 dy_2 = \bar{\pi} w (h_1 h_{v_1}^2 + h_2 h_{v_2}^2) \quad (5.34)$$

h_1, h_2 - au același sens ca și coeficientul h din relațiile stabilite mai înainte.

Revenind la ecuația bilanțului energetic (5.32)

$$E = \bar{\pi} w A^2 \left\{ \frac{B}{V} \left(a - \frac{3}{4} + \frac{w^2}{V^2} A^2 \right) - h \left[\xi \left(\frac{h_{v_1}}{h_v} \right)^2 + \psi \left(\frac{h_{v_2}}{h_v} \right)^2 \right] \right\} \quad (5.35)$$

din această ecuație rezultă expresia amplitudinii undei vibratoare

$$A = \frac{2}{\sqrt{3c}} \cdot \frac{V}{w} \sqrt{a - h \frac{V}{B} \left[\xi \left(\frac{h_{v_1}}{h_v} \right)^2 + \psi \left(\frac{h_{v_2}}{h_v} \right)^2 \right]} \quad (5.36)$$

Ca structura ecuația (5.36) se observă că se asemănă cu ecuațiile (5.10) și (5.24), aceasta fiind mai complexă datorită faptului că în acest caz se exprimă dependența amplitudinii de rezistențele piesei și suportului precum și de caracteristicile sistemului elastic. Si în acest caz respectarea condiției de stabilitate în sistem presupune respectarea inegalității

$$\frac{dE}{dA} < 0$$

Nerespectarea acestei inegalități conduce la apariția unui desechilibru energetic în sistem care în final săn conduce la o amplificare a stării de instabilitate.

Păcind notațiile de mai jos expresia amplitudinii (5.36) va deveni mai simplă

$$u = \frac{h_{v_1}}{h_{v_2}} \quad h_v = h_{v_1} - h_{v_2}$$

de unde

$$\frac{h_{v_1}}{h_v} = \frac{u}{u-1} ; \quad \frac{h_{v_2}}{h_v} = \frac{1}{u-1} ; \quad \xi + \psi = 2$$

notând

$$P(u, \xi) = \frac{\xi(u^2 - 1) + 2}{(u - 1)^2}$$

$$A = \frac{2}{\sqrt{3c}} \cdot \frac{V}{w} \sqrt{a - h \frac{V}{B} P(u, \xi)} \quad (5.37)$$

iar condiția de stabilitate în acest caz va fi

$$\frac{a \cdot B}{V} > h \cdot P(u, \xi) \quad (5.38)$$

de unde

$$V = \frac{a \cdot B}{h \cdot P(u, \xi)} \quad (5.39)$$

Din ecuația (5.39) trebuie determinate valorile funcției $P(u, \xi)$ celelalte mărimi fiind cunoscute.

Pentru a determina valorile funcției $P(u, \xi)$ ce caracterizează rezistența la vibrații a sistemului se pleacă de la ecuația ce descrie legea de mișcare a sistemului reprezentat schematic în fig. 5.11 și care are forma (5.40).

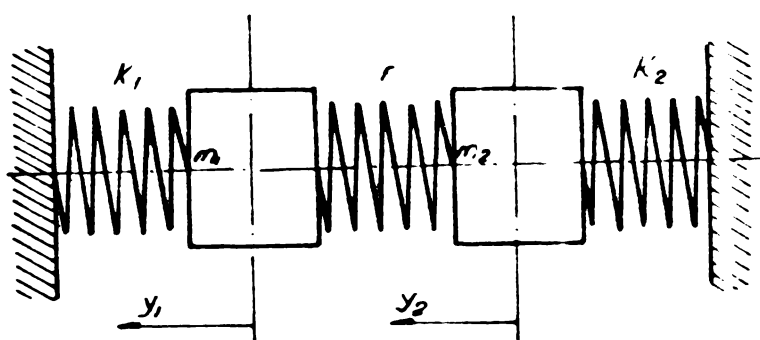


Fig. 5.11

$$\begin{aligned} m_1 \ddot{y}_1 + k_1 y_1 + r(y_1 - y_2) &= 0 \\ m_2 \ddot{y}_2 + k_2 y_2 - r(y_1 - y_2) &= 0 \end{aligned} \quad (5.40)$$

făcând notările

$$\omega_1 = \frac{k_1 + r}{m_1}; \quad \omega_2 = \frac{k_2 + r}{m_2}$$

$$\beta_1^2 = \frac{r}{m_1}; \quad \beta_2^2 = \frac{r}{m_2}$$

sistemul (5.40) devine

$$\ddot{y}_1 + \omega_1^2 y_1 - \beta_1^2 y_2 = 0 \quad (5.41)$$

$$\ddot{y}_2 + \omega_2^2 y_2 - \beta_2^2 y_1 = 0$$

rădăcinile sistemului în acest cas vor fi de forma

$$y_1 = h_{v_1} \sin(\omega_1 t + \varphi_1) + h_{v_1}' \sin(\omega_2 t + \varphi_2) \quad (5.41')$$

$$y_2 = h_{v_2} \sin(\omega_1 t + \varphi_1) + h_{v_2}' \sin(\omega_2 t + \varphi_2)$$

înlocuind în (5.41) vom obține valoarea raportului amplitudinilor celor două moduri de vibrații

$$u = \frac{h_{v_1}}{h_{v_2}} = \frac{\beta_1^2}{\omega_1^2 - \omega^2} = \frac{\omega_2^2 - \omega^2}{\beta_2^2}$$

unde: ω_1, ω_2 - pulsările proprii ale sistemului; h_{v_1}, h_{v_2} - coeficienți de distribuție ai amplitudinilor.

$$\beta_1^2 = \frac{r}{m_1}$$

$$\omega_1^2 = \frac{k_1 + r}{m_1}$$

$$\omega = \omega_0 \cdot B = \frac{C_p C_q t^{(s+1)/s}}{\sin \delta}$$

k_1, m_1 - rigiditatea și respectiv masa elementului analizat (arbore sau suport). funcție de elementul cu frecvența cea mai mare.

Din determinările [168] pe modelul SP 630-MC, s-a stabilit că frecvența arborelui principal $\omega_{AP} = 208,8 \text{ Hz}$, iar frecvența uniei transversale $\omega_{SP} = 70,6 \text{ Hz}$. Prin urmare

$$K_1 = R_d = \frac{1}{E_d} = 300 \quad [\text{N/mm}]$$

$E_d = 0,333 [\mu\text{m}/\text{daN}]$ elasticitatea dinamică.

Masa redusă a sistemului este dată de expresia (5.42)

$$m_1 = \frac{Q_1}{E_d^4} \cdot 10^7 \quad (5.42)$$

unde $Q_1 = \frac{\Gamma}{\Delta\omega} = 25,46$ factorul dinamic de amplificare.

Inlocuind în (5.44) obținem:

$$m_1 = 448,69 \quad [\text{daN}]$$

Aceleași mărimi pentru suport s-au stabilit în aceleși condiții.

$$Q_1 = 14,71$$

$$m_1 = 294 \quad [\text{daN}]$$

Tinând seama de cele prezentate s-au stabilit, pentru simplificare numai pentru $t = 3 \text{ mm}$ și $s = 1 \text{ mm/rot}$ - valori frecvent utilizate în practică - mărimile $f_1^2 = 0,49$; $f_2^2 = 0,7$; $\zeta_1 = 7,03$; $\zeta_2 = 108$ iar vibrațiile corespunzătoare primului și respectiv celui de al doilea mod de vibrații sunt exprimate prin ω_1^2 , și ω_2^2 în expresiile (5.43)

$$\omega_1^2 = \frac{\omega_a^2 + \omega_b^2}{2} - \frac{1}{2} \sqrt{(\omega_a^2 - \omega_b^2)^2 + 4f_1^2 \cdot f_2^2} \quad (5.43)$$

$$\omega_2^2 = \frac{\omega_a^2 + \omega_b^2}{2} + \frac{1}{2} \sqrt{(\omega_a^2 - \omega_b^2)^2 + 4f_1^2 \cdot f_2^2}$$

Așa cum s-a analizat, utilizând legăturile de tipul ry ambele mase m_1 și m_2 (a arborelui și suportului) vor vibra cu aceeași pulsării ω_1 sau ω_2 ca în cazul în care

$$\omega_2 \geq \omega_a \geq \omega_b \geq \omega_1$$

adică pulsăriile vibrațiilor sistemului $1, 2$ se vor găsi în afara pulsăriilor vibrațiilor elementelor sale, (tinând bineînțeles seama de prezența legăturilor dintre elementele sistemului) revenind la raportul amplitudinilor funcției de pulsării

$$u = \frac{\omega_1}{\omega_2} = -84,81$$

Cunoșind această valoare [129] tabelar se indică mărimile funcției P (u, ζ). Pentru cazul nostru $\zeta = 2,18$ și pentru valori ale lui $u \approx -100$ valoarea funcției P (u, ζ) = 1,96 pentru suportul sculei. Revenind la expresia vitezei (5.39) și efectuind substituțiile cunoscute obținem:

$$v = \frac{0,51 k \omega}{\frac{H_1 C \omega (\sin \chi)^{1-xq+yq}}{C_p C_Q t^{1+\delta-xq} s^{\psi-yq}}} \quad (5.44)$$

Pentru această expresie a vitezei s-au ridicat

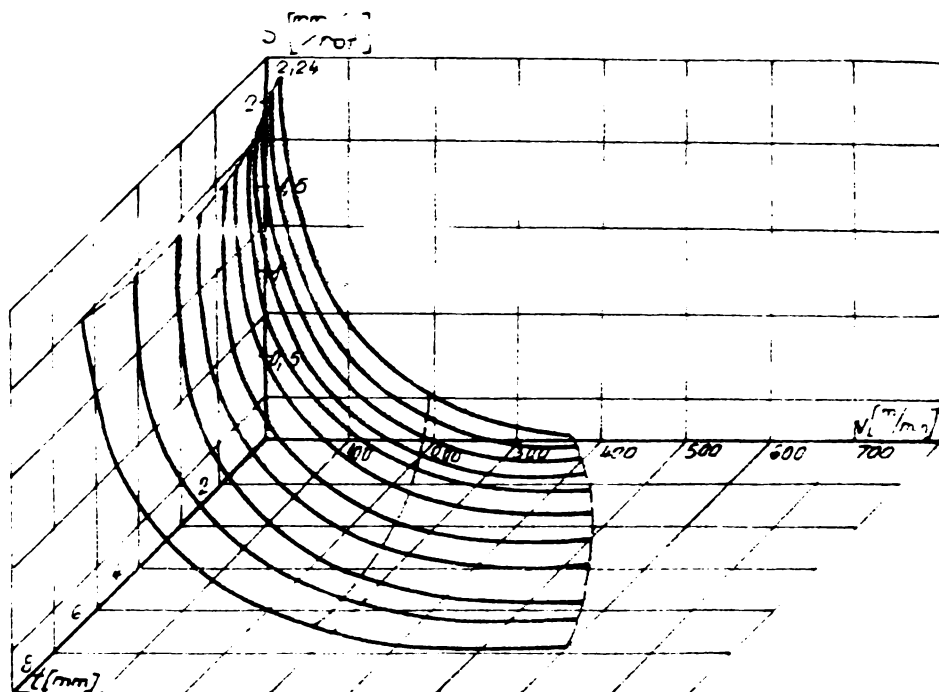


Fig.5.12

sului de aşchierare. Viteza de aşchierare oferă posibilitatea stabilizării procesului prin reducerea amplitudinii autovibrăriilor, acest lucru însă în condițiile cînd acestea nu sunt influențate de vibrăriile forțate. În cele prezентate de altfel nu s-a ținut seama de influența vibrăriilor forțate considerindu-se că mașina unealtă are toate organele în mișcare echilibrate și că ele nu pot genera astfel de vibrării. În toate cazurile prezентate s-au ridicat curbele de stabilitate pentru lucrul cu viteză mare, dar același fenomen apare și în cazul lucrului pe stranguri cu viteză mică, acest aspect fiind tratat în subcapitolul 5.3.1.2.2.

5.3.1.2.2. Casul deplasării după două direcții

Vibrăriile sistemelor cu două grade de libertate se propun cel mai mult de situația reală din procesul de aşchierare. La aceste sisteme analiza deplasării virfului sculei se face nu numai pe direcția y, normală la suprafața de aşchierare și după direcția z, tangentă la aceeași suprafață, deplasarea virfului sculei așa cum s-a mai arătat având loc după o elipsă - elipsa deplasărilor -

Așa cum decurge procesul de aşchierare, în scop de plasticitate

curbele de stabilitate din fig.5.12 în care se remarcă alura asemănătoare a acestora cu cea a curbelor ridicate în cazurile analizate mai înainte.

Din toate cazurile prezентate s-a văzut că viteză de aşchierare joacă un rol de prima importanță în desfășurarea fără perturbații a proce-

la acestuia, se observă că ecuația ce descrie acest fenomen va fi nelinieardă. Cum s-a arătat vibrațiile virfului sculei, sint de forma nelinieardă și pentru sistemele cu două grade de libertate ecuația mișcării este exprimată prin sistemul (5.45), iar în fig.5.13 este prezentată schema sistemului cu două grade de libertate deplasarea sculei având loc după direcțiile y și z . De menționat că și în acest caz rationamentul are la origine aceeași expresie (5.4) a componentei P_y de așchiere.

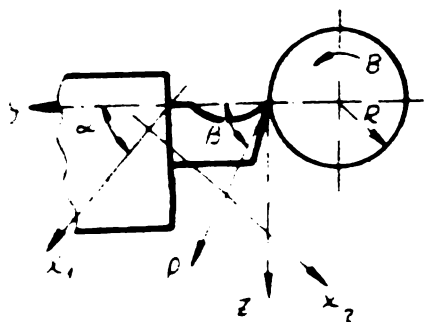


Fig.5.13

$$\begin{aligned} \ddot{y} + (k_y + r \cos \beta) y + k_{yz} z &= [\mathcal{E}_f(y, \dot{y}) \cos \beta - c_y \dot{y}] \\ \ddot{z} + (k_{yz} + r \sin \beta) y + k_z z &= [\mathcal{E}_f(y, \dot{y}) \sin \beta - c_z \dot{z}] \end{aligned} \quad (5.45)$$

unde m - masa suportului mașinii [Kg]

β - unghiul ce îl face forța resultantă P_y cu direcția y [$^{\circ}$].

$$k_y = k_1 \cos^2 \angle + k_2 \sin^2 \angle; \quad k_{yz} = k_1 \sin^2 \angle + k_2 \cos^2 \angle$$

$$k_{yz} = \frac{k_1 - k_2}{2} \sin^2 \angle$$

k_1, k_2 - coeficienți de rigiditate reduse la axele x_1 și x_2

c_y, c_z - coeficienți de fricare viscoză după direcția y și z
 $f(y, \dot{y})$ - partea nelinieardă a forței de așchiere.

Rezolvarea sistemului (5.45) fără membrul drept ($\mathcal{E} = 0$) conduce la soluțiile (5.41), iar soluțiile particulare [150] pot fi de forma:

$$\begin{aligned} y &= A_1 e^{h\tau} e^{i(\omega\tau + \theta)} \\ z &= A_2 e^{h\tau} e^{i(\omega\tau + \theta + \ell)} = \mathcal{H} A_1 e^{h\tau} e^{i(\omega\tau + \theta + \ell)} \end{aligned} \quad (5.46)$$

A_1, A_2 - amplitudinile constante ale vibrațiilor după cele două direcții y și z

$h = \frac{1}{2\omega_a \cdot n}$ decrementul logaritmic sau amortisarea vibrației

ℓ - factorul de amortizare

$\omega_a \approx \omega$ pentru valori mici ale lui h

n - masa

$h = 0.02-0.1$ la mașinile-unelte după [161]/[162]

$\mathcal{H} = \frac{A_1}{A_2}$ raportul celor două amplitudini

ℓ - unghiul de fază al vibrațiilor

θ - unghiul de început de fază

Soluțiile (5.46) mai pot fi scrise și sub forma

$$y = A(\varepsilon) e^{i(\omega \varepsilon + \varphi)} , z = A(\varepsilon) e^{i(\omega \varepsilon + \varphi + \ell)} \quad (5.47)$$

iar amplitudinea care este o funcție de timp se poate exprima cu relația:

$$\frac{dA(\varepsilon)}{dt} = h \cdot A(\varepsilon) \quad (5.48)$$

Inlocuind soluțiile aflate în sistemul (5.45) se va obține

$$A \left[m(h^2 - \omega^2 + 2h\omega_1) + k_y + r \cos \beta \right] + de^{i\ell} k_y = 0 \\ A \left(k_y + r \sin \beta \right) + de^{i\ell} \left[m(h^2 - \omega^2 + 2h\omega_1) + k_y \right] = 0 \quad (5.49)$$

Răsolvarea sistemului de ecuații (5.45) luând în considerare și membrul drept conduce la soluții de forma

$$y = A e^{i(p\varepsilon + \varphi)} = A e^{i\psi} ; z = \lambda A e^{i(p\varepsilon + \varphi + \ell)} = \lambda e^{i(\psi + \ell)} \quad (5.50)$$

unde amplitudinea A și faza ψ satisfac ecuațiile în primă aproximare

$$\frac{dA}{dt} = h \cdot A + \mathcal{E}_{A_1}(h) ; \frac{d\psi}{dt} = \omega - p + \mathcal{E}_{B_1}(h) \quad (5.51)$$

unde h, ω, λ, ℓ – parametri constanti ce se determină prin rezolvarea ecuației omogene

p – partea necunoscută a mișcării vibratorii perturbatoare

După N.V. Vasilescu [150] luând în considerare ecuația (5.49) în primă aproximare se va obține

$$\frac{dA}{dt} = h \cdot A + \sum C_n A^n ; \frac{d\psi}{dt} = \omega - p + \sum D_n A^{n-1} \quad (5.52)$$

În scopul stabilisirii procesului de așchiere pentru ecuațiile (5.49) punem condiția ca $\frac{dA}{dt} = \frac{d\psi}{dt} = 0$ de unde pentru determinarea amplitudinii vom obține

$$h + \sum C_n A^n = 0 ; p = \omega + \sum D_n A^{n-1} \quad (5.53)$$

Din prima ecuație (5.49) vom determina valoarea amplitudinii auto-vibrăriilor în funcție de viteza de așchiere

$$A = \frac{2}{\sqrt{3} \sqrt{1044 Q}} \cdot \frac{V}{\omega} \sqrt{0,835 + \frac{(C_y + \lambda^2 C_s) V}{B}} \cdot \frac{2h m (1 + \lambda^2) V}{B} \quad (5.54)$$

unde

$$Q = \cos \beta + \lambda \sin \beta \cos \ell$$

$$B = \frac{t}{\sin \lambda}$$

și în acest cas, în scopul stabilisirii procesului de așchiere în tot timpul desfășurării acestuia este necesar să se întrezeze restricția ca amplitudinea să fie un $\mathcal{E} < A_1$. Din această condiție expresia (5.54) după cîteva transformări se mai poate exprima și sub forma:

$$v^2 \left\{ v \left[\chi^2(c_x + 2hm) + c_y + 2hm \right] + 3,34 Q \cdot S \right\} - 3E^2 \omega^2 B \sqrt{1,044Q} = 0 \quad (5.55)$$

Punind condiția ca $A=0$, aceasta asigurând stabilitatea procesului vom determina valoarea vitezei de așchiere care să satisfacă această condiție

$$0,835Q - \frac{(c_y + \chi^2 c_x)v}{B} + \frac{2hm(1 + \chi^2)v}{B} = 0 \quad (5.56)$$

din unde

$$v = \frac{0,835 Q +}{2hm - c_y + (2hm - c_x) \chi^2 \sin \chi} \quad (5.57)$$

Pentru ecuația (5.55) s-a realizat programul de calculator a cărei schemă logică este prezentată în fig.5.14. Programarea s-a efectuat - în acest casă pe calculatorul PELIC-C-256 în limbaj FORTRAN și COBOL.

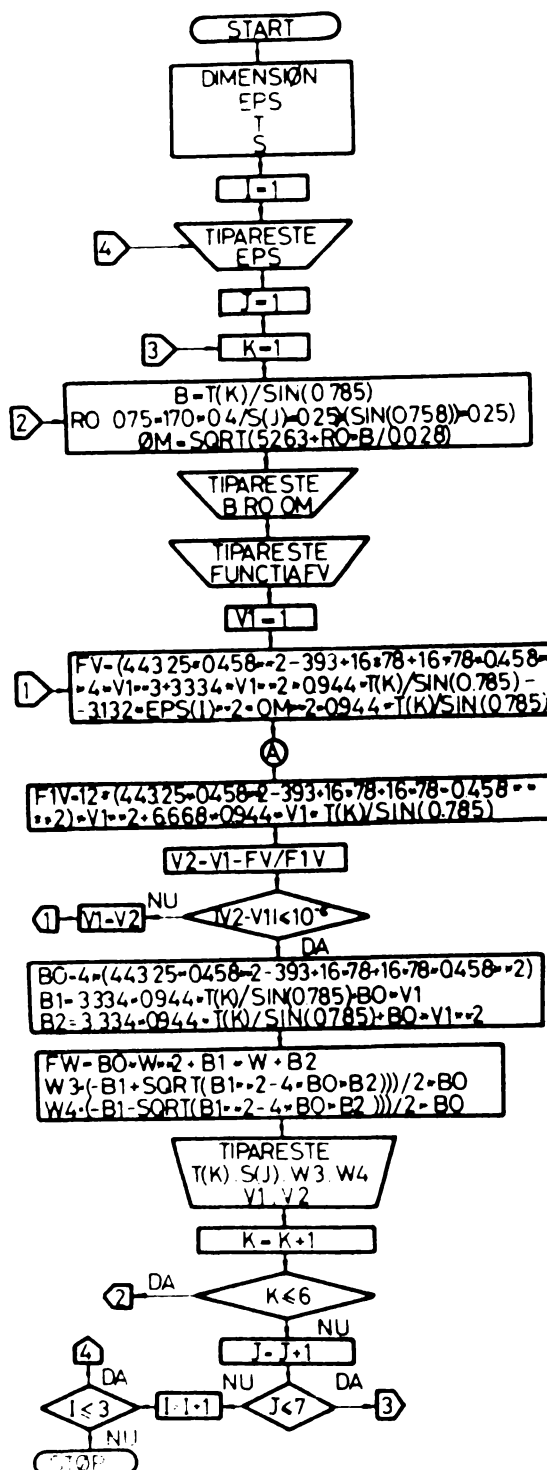


Fig.5.14

Ecuția (5.54) se observă că are structură asemănătoare cu ecuațiile (5.10); (5.24) obținute de Sokolovski.

In fig.5.15 sunt reprezentate curbele de variație ale vitezei de așchiere din condiția de stabilitate pentru operațiile de degroșare. In funcție de parametri s și t ai regimului de așchiere.

Curbele sunt determinate pentru avansuri cuprinse în domeniul $s=0,1-2$ mm/rot la adâncimi de așchiere $t=1-8$ mm, curbele fiind ridicate pentru valori ale lui $E = Q01$ mm

Din diagrame spațiale se observă că la valori mai mici ale avansului vitezele sint deplasate spre valori mai mici, ele crescînd pe măsură ce crește și avansul. In cazul operațiilor de degroșare pentru sondărirea

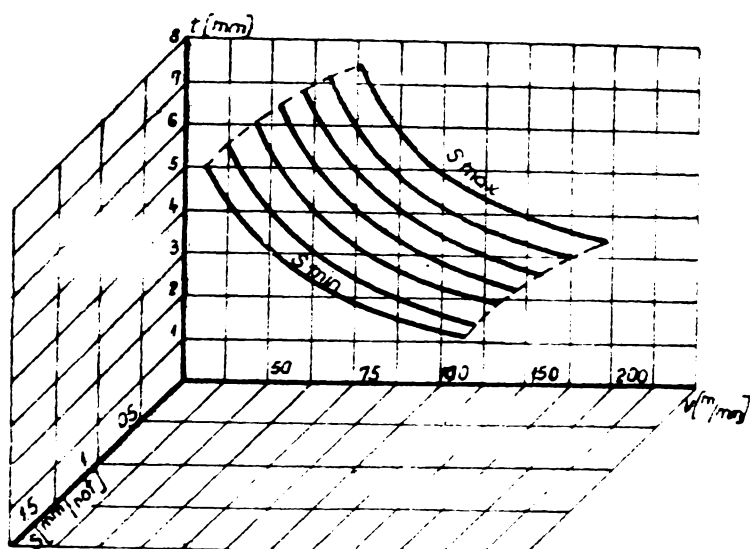


Fig. 5.15

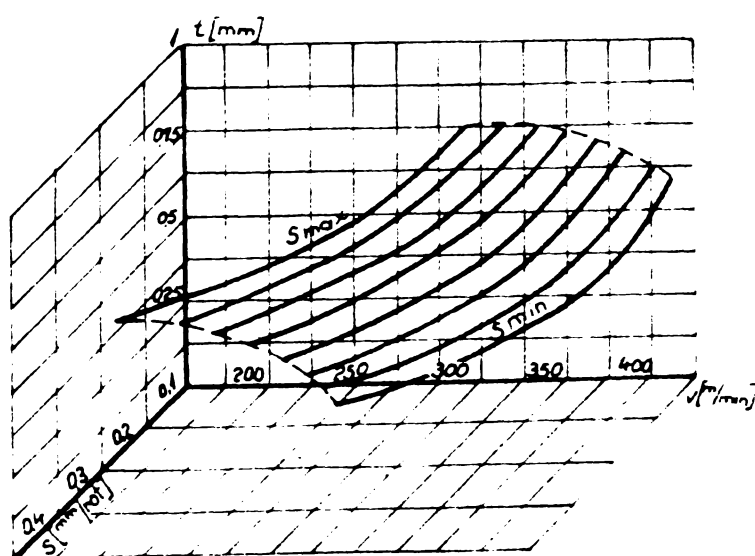


Fig. 5.16

ză prin creșterea sau reducerea vitezelor de așchiere, existând un domeniu de mijloc în care procesul este instabil în jurul valorilor de 150-250 mm/min

- pentru valori mai mici ale avansului curbele de stabilitate se deplasează spre mărimi mai mici ale vitezelor în cazul operațiilor de degroșare - avansul introduce perturbații prin reducerea sa - iar în cazul operațiilor de finisare, pentru aceiași variație a avansului curbele se deplasează spre mărimi mai mari ale vitezelor.

stabilității procesului la variații ale lui și sau t , vitezele trebuie să fie reduse, instabilitatea apărând la valori mai ridicate ale vitezelor. Din aceiași diagramă se observă că, pentru valori mai mici ale adâncimii de așchiere t procesul se menține stabil și la viteze mai mari.

In casul operațiilor de finisare, stabilitatea se realizează prin creșterea vitezei de așchiere. In diagrama din fig.5.16 sunt prezentate curbele de stabilitate pentru valori ale lui $\varepsilon = 0,0032 \text{ mm}$. Din diagrame se observă că pentru valori mai mici ale avansului curbele sunt deplasate spre valori mai mari ale vitezelor de așchiere. Curbele au fost ridicate pentru valori ale avansului cuprinse între $s = 0,1-0,35 \text{ mm/rot}$ și pentru adâncimi de așchiere $t = 0,25 - 1 \text{ mm}$

Din cele prezentate se desprind cîteva concluzii importante:

- în toate cazurile procesul de așchiere se stabilise-

- prin creșterea sau reducerea vitezelor de așchiere, existând un domeniu de mijloc în care procesul este instabil în jurul valorilor de 150-250 mm/min

- pentru valori mai mici ale avansului curbele de stabilitate se deplasează spre mărimi mai mici ale vitezelor în cazul operațiilor de degroșare - avansul introduce perturbații prin reducerea sa - iar în cazul operațiilor de finisare, pentru aceiași variație a avansului curbele se deplasează spre mărimi mai mari ale vitezelor.

- din diagramele presentate se observă că se păstrează legea de variație a curbelor de stabilitate în toate casurile, ele fiind mai plate în cazul prelucrărilor după urme și în cazul general ceea ce exprimă apropierea de curbele reale de variație determinate experimental.

5.3.2. Stabilitatea procesului de aşchieri după avans

Așa cum se observă din expresiile analitice presentate, avansul prin creșterea sa are un efect stabilizator, caracteristică de care trebuie să se țină seama la stabilizarea procesului de aşchieri. Pornind de la condiția că procesul de aşchieri trebuie să se mențină în domeniul optimului vom lua în considerare expresia vitezei economice în cazul ei cel mai general, relația (5.58)

$$V_{e_e} = \frac{C_v K_v}{T^m t^x v^y s^z} \quad (5.58)$$

C_v - constantă în funcție de condițiile aşchierii ce se alege din tabele

K_v - coeficient de corecție a vitezei, funcție de condițiile concrete de aşchieri

T - durabilitatea [min]

t - adâncimea de aşchieri [mm]

s - avansul de aşchieri [mm/rot].

m, x, y - coeficienți ce se indică tabelar și de asemenea, expresia vitezei de aşchieri din condiția de stabilitate a procesului, relația (5.42).

Pentru ca ambele aspecte ale aşchieriei, economicitate și stabilitate să fie satisfăcute este necesar ca:

$$V_{e_e} = V \quad (5.59)$$

adică

$$\frac{C_v K_v}{T^m t^x v^y s^z} = \frac{a \cdot B}{h \cdot F(u, \xi)}$$

de unde

$$J = \frac{y_v C_v \cdot k_v \cdot h F(u, \xi)}{T^m a t^{(1+x_v)}} \sin \quad (5.60)$$

In cazul prelucrării oțelurilor pentru $y_v=0,45$; $k_v=0,15$; $T=60$; $m=0,2$; $C_v=221$; $k_v=0,94$ expresia avansului din condițiile impuse, devine de forma

$$s = \sqrt{0,45 \cdot 90,1 \cdot \frac{P(u, \xi) \sin \alpha}{a \cdot t}} \quad (5.61)$$

expresia s-a stabilit pentru cazul sistemelor cu două grade de libertate la prelucrarea fără urme. După același raționament s-a determinat expresia avansului din condiția de economicitate și stabilitate a procesului de aşchiere pentru deplasarea după două direcții ce are forma:

$$s = \sqrt{\frac{0,835 t^{2,15} \sin \alpha}{C_v k_v [2h_m - C_y + (2h_m - C_z) \chi^2]}} \quad (5.62)$$

Pentru cazul prelucrării oțelului expresia (5.61) devine de forma

$$s = \sqrt{0,45 \cdot 0,091 \cdot \frac{t^{2,15} \sin \alpha}{[(2h_m - C_y) + (2h_m - C_z) \chi^2]}} \quad (5.63)$$

Cele două ecuații (5.61) și (5.62) ale avansului determinate din condiția de stabilitate exprimă de fapt aceeași lege de variație, pentru sistemele cu două grade de libertate analizate.

Un astfel de mod de exprimare a avansului, din condiția de stabilitate și economicitate, nu este consensat în literatura tehnică, dar aceste relații pot constitui baza unor algoritmi în automatizarea conducerii procesului de aşchiere, atunci cind se oferă o astfel de posibilitate.

5.3.2.1. Stabilitatea dinamică a mecanismului de avans

Echiparea strugurilor cu S.C.A în care se utilizează ca mărimi de referință forța de aşchiere F_R - așa cum este conceput sistemul din lucrarea [156] - presupune o analiză a vitezelor de avans în scopul evitării apariției unei instabilități pe direcția de deplasare a sănii port sculă (dealungul piesei).

S.C.A conceput [156] are ca principal scop păstrarea unei craci constante pe întreaga lungime a piesei ce se prelucrează, fapt ce presupune evident în STE o variație riguroasă controlată a forței de aşchiere, această lege de variație fiind prezentată în diagrama din fig.5.3 și descrisă de expresia (5.3). Phenomenul luate în discuție poate avea efecte ne dorite în deosebi la prelucrarea pieselor de tipul arborilor la care raportul $\frac{l}{d}$ este relativ mare, caz în care pentru menținerea unei deformații constante presupune o reducere apreciabilă a vitezei de avans. Din punct de vedere dinamic se apreciază

că avansul nu poate fi oricăr de mic, acesta va introduce condiții restrictive ce se vor răsfringe bineînțeles și asupra forțelor de așchieră efectivă și de referință.

In casul cînd viteza de avans coboară sub o anumită limită apare așa numita mișcare de stick-slip (a-lunecare sacadată) procesul devenind în acest cas instabil. In fig.5.17 este reprezentat schematic mecanismul de avans și legăturile sale elastice, iar expresia (5.66) reprezintă ecuația ce descrie mișcarea acestui sistem.

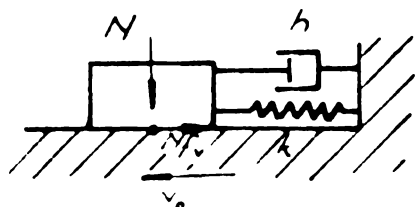


Fig.5.17

$$m \ddot{x} + h\dot{x} + kx - Nf_v = 0 \quad (5.64)$$

m - masa inertială a sistemului $[daN \cdot cm^{-1} s^2]$

h - coeficientul de amortizare

k - constantă de elasticitate pe direcția componentei $P_x [daN/mm]$

N - forță normală pe suprafața ghidajelor $[daN]$

f_v - coeficientul de frecare

Se observă că ecuația (5.64) care descrie mișcarea de avans este neliiniară datorită termenului Nf_v . Coeficientul de frecare f_v depinde de cîțiva factori $[88, 59, 95, 123]$ iar expresia matematică a acesteia este dată de (5.65)

$$f_v = f\left(\frac{\lambda}{\lambda_{cr}}\right) \quad (5.65)$$

$\lambda = \frac{\mu \cdot v}{p}$ caracteristica regimului de lucru

μ - coeficient dinamic de viscozitate $[cp]$

p - presiunea specifică $[daN/cm^2]$

v - viteza de deplasare a sănii (viteza de avans) în $[m/min]$

λ_{cr} - caracteristica regimului de lucru la care apare frecarea lichidă

$\frac{\lambda}{\lambda_{cr}}$ - reprezintă caracteristica relativă a regimului de lucru

In general instabilitatea vitezei de avans apare în zona frecărilor mixte, existînd o viteză critică peste care mișcarea este liniștită. In diagrama din fig.5.18 este prezentată legea de variație a coeficientului de frecare $f=f(v)$, în care se observă prezența a două domenii ; cel al frecărilor mixte situat în zona vitezelor joase și domeniul frecărilor lichide situat în zona vitezelor ridicate.

Revenind la ecuația mișcării (5.64) aceasta mai poate fi scrisă sub forma (5.66)

$$mx + hx + kx - \left(\frac{v}{cr} \right)^2 = 0 \quad (5.66)$$

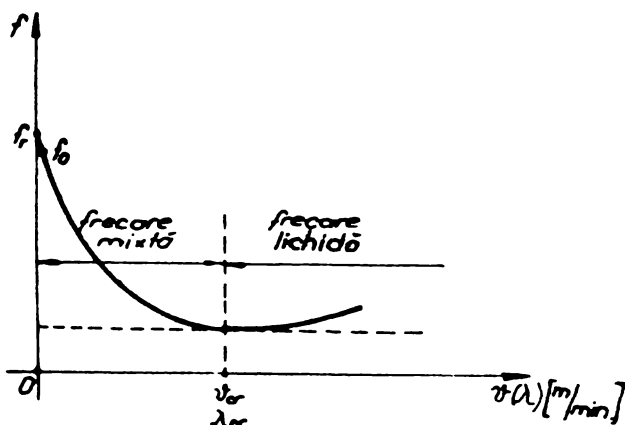


Fig. 5.18

Păcind o analiză a sistemului vibrator cu ajutorul teoriei similitudinii [95] în care se admit ca mărime de bază m-masa; k-rigiditatea; v-viteza de deplasare, obținem funcțiile și ce definesc procesul, și gradul său de stabilitate. Ecuatiile funcțiilor S sunt prezentate

(5.67)

$$S_1 = m \cdot k^{\beta} \cdot v^{\alpha} \cdot \frac{N}{cr} = \left[\frac{P \cdot T^2}{L} \right]^{\beta} \left[\frac{P}{L} \right]^{\alpha} \left[\frac{L}{T} \right]^{\gamma}$$

$$S_2 = m \cdot k^{\beta} \cdot v^{\alpha} \cdot N = \left[\frac{P \cdot T^2}{L} \right]^{\beta} \cdot \left[\frac{P}{L} \right]^{\alpha} \cdot \left[\frac{L}{T} \right]^{\gamma} \left[\frac{P}{L} \right] \quad (5.67)$$

$$S_3 = m \cdot k^{\beta} \cdot v^{\alpha} \cdot N = \left[\frac{P \cdot T^2}{L} \right]^{\beta} \cdot \left[\frac{P}{L} \right]^{\alpha} \cdot \left[\frac{L}{T} \right]^{\gamma} \left[\frac{P \cdot T}{L} \right]$$

în care

P - forță; T - timpul; L - spațiu

Din aceste ecuații (5.67) se vor determina expresiile 3 în care S_1 - este criteriul ce caracterizează similitudinea de dirijare a frecării și are expresia

$$S_1 = \frac{\lambda}{cr}, \quad (5.68)$$

S_2 - criteriul ce caracterizează similitudinea încărcării

$$S_2 = \frac{N}{\sqrt[4]{k \cdot m}} \quad (5.69)$$

S_3 - criteriul ce caracterizează similitudinea amortisării în sistem

$$S_3 = \frac{h}{\sqrt{k \cdot m}} \quad (5.70)$$

Se apreciază că sistemul parametric adimensional (5.67) satisfac condițiile ce se impun la analiza gradului de stabilitate al deplasării saniei suportului.

Pentru analiza stabilității mecanismului de avans se pleacă de la determinarea criteriului S_1 , acesta indică în ce măsură regimul de lucru se apropie de regimul frecării lichide.

Această etapă a calculului permite evaluarea cîtinii frecării în dirijarea și alegerea parametrilor optimi care să conducă la apropierea de regimul frecării lichide. Cu aceasta se determină caracteristica regimului de lucru.

$$\lambda = \frac{\mu \cdot v}{p} \quad (5.71)$$

această caracteristică se determină pentru regimurile de lucru cele mai grele, încărcare și viteză. Caracteristica critică λ_{cr} a regimului de lucru corespunzătoare frecării lichide se determină cu relația

$$c_{cr} = 1176 \cdot 10^2 \cdot \frac{2 \left[\left(1 + \left(\frac{1}{l \cdot b} \right)^2 \right) \right]}{1 \cdot c_k} \cdot h_{cr}^2 \quad (5.72)$$

unde

h_{cr} - grosimea minimă a peliculei de ulei suficientă pentru menținerea condiției de frecare lichidă [mm]

i - numărul de reazime pe ghidaj ($i=k+l$)

k - numărul canalelor de ungere pe ghidaj

l - lungimea ansamblului mobil (sanieci) [mm]

b - lățimea ghidajului [mm]

c_k - coeficient ce se indică în tabela 5.5

K	0	1	2	3	4	5	7	9	11	13	15
c_k	0,165	0,198	0,210	0,216	0,220	0,225	0,234	0,243	0,249	0,257	0,263

Tab.5.5

Pentru h_{cr} s-au făcut determinări experimentale, valorile acestuia fiind prezentate în tabela 5.6.

Materialul (la frecare pe F_c)	h_{cr} [mm]
fier	0,005
OL C 45	0,006
bronz	0,005
placi de zinc	0,004
material antifrictiune	0,004
texțoli	0,006

Tab.5.6

cării lichide de cea mixtă, acest punct corespunzând de fapt condițiilor concrete din proces pentru un anumit p , v și λ_{cr} . Din relația (5.71) se poate scrie

$$v_{cr} = \lambda_{cr} \frac{p}{\mu}$$

La stabilirea valorilor pentru criteriul S_1 apar 3 cazuri distincte de atențiere.

Din diagrama prezentată fig.5.18 se observă că punctul de minim al curbei reprezintă viteză critică, cunoscerea acestui punct conduce la stabilirea zonei de separație a fre-

- a) $S_1 \geq 1$ între sănie și batău are loc o frecare lichidă și deci procesul se desfășoară linăștit.
- b) $S_1 = 0,7 - 0,95$ condițiile de lucru se apropie de cele normale, adică deplasarea se realizează undeva la limitele superioare spre o frecare lichidă.
- c) dacă valorile lui S_1 sunt situate sub minima de la punctul b apare posibilitatea ca mișcarea să aibă loc în salturi, apărându-se instabilitatea în proces.

Mărimele concrete stabilite pentru S_2 și S_3 caracterizează condiția de încărcare și amortizare a mecanismului de acționare al mecani, în funcție de aceste valori pe diagrama din fig.

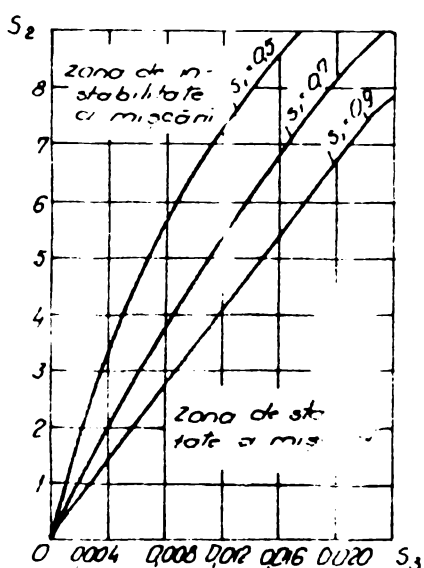


Fig.5.19

În coordonatele S_2 și S_3 se stabilește zona de lucru concretă, care poate fi stabilă sau instabilă.

Atunci cind s-a determinat analitic și grafic zona de stabilitate, din criteriul S_2 se determină valoarea vitezei care trebuie să situeze mișcarea la limita zonei de stabilitate.

$$v_{cr} = \frac{N}{S_2 \sqrt{k \cdot m}} \quad (5.73)$$

În concret pe mașina ușoară valoarea vitezei critice va fi de forma

$$v_{cr} = s_{lim} \cdot n \quad (5.74)$$

s_{lim} – avansul limită al săniei [mm/rot]

n – turăția barei de tracțiune [rad/min]

Cum pentru menținerea limitei de stabilitate expresiile (5.73) și (5.74) trebuie să fie satisfăcute

$$\frac{N}{S_2 \sqrt{k \cdot m}} = s_{lim} \cdot n \quad \text{de unde} \quad (5.75)$$

$$s_{lim} = \frac{N}{n S_2 \sqrt{k \cdot m}}$$

Expresia (5.75) indică valoarea limită a avansului pentru pătrarea mișcării de avans în zona de stabilitate.

S-a văzut însă că în SCA există o legătură de variație a avansului bine definită (5.1) în acest caz este necesară acționarea asupra parametrului n din (5.74).

$$n \geq \frac{v_{cr}}{s_{CA}} \quad (5.76)$$

s_{CA} - avansul stabilit în funcție de mărimea de referință prin
SCA [mm/ret]

Se știe că expresia avansului în CA este de forma

$$s_{CA} = \sqrt{\frac{P_{S.R}}{233 \cdot t}}$$

Inducând în (5.73) vom obține

$$n \geq \frac{v_{cr}}{s_{CA}} = \frac{v_{cr}}{0,75 \sqrt{\frac{P_{S.R}}{233 \cdot t}}} \quad (5.77)$$

Expresiile (5.75) și (5.77) deduse în cadrul prezentei lucrări exprimă gradul în care este posibilă încărcarea mașinilor-unelte, în concret a strugurilor pentru a se asigura o deplasare linigată a mecanismului de avans.

Mărimea avansului limită s_{lim} din (5.75) exprimă condiția de limitare a încărcării mașinilor-unelte pentru a se menține o viteză de deplasare corespunzătoare, aici însă trebuie să se ia seama în același timp și de inegalitatea (5.78)

$$s_{lim} \leq s_{max \text{ tehn.}} \quad (5.79)$$

Se mai poate acționa și asupra parametrului n (5.74) mai ales atunci cind mecanismul de avans este independent - casul S.C.A.

Din cele prezentate se poate trage concluzia că acționarea de avans prezintă unele deficiențe legate de dinamica procesului, cu referire directă la mărimele mici ale vitezei de avans, cind este posibilă instabilisarea procesului, motiv pentru care este bine să se ia seama de posibilitățile ce le poate oferi mașina-unaltă în exploatare.

5.4. Concluzii

Analiza stabilității procesului de așchiere la prelucrarea pe mașini-unelte comportă considerații de natură tehnologică și și dinamică privind comportarea S.T.E al acestora.

Din cele prezentate se pot stabili cîteva concluzii privind modul în care procesul de așchiere se stabilizează prin modificarea regimului de așchiere.

- S-a văzut că, dintre parametrii procesului de aşchierare, viteza și avansul su influența cea mai mare asupra stabilității procesului ;

- viteza de aşchierare cum s-a observat din analiza sistemelor cu unul și două grade de libertate stabilizează procesul de aşchierare diminuind simțitor amplitudinea autovibrăriilor - această logică este valabilă pentru operațiile de finisare ;

- prin reducerea mărimei sale, viteza de aşchierare diminuează simțitor amplitudinea autovibrăriilor, lucru confirmat în analizele efectuate, acest aspect al comportării în aşchierare a sistemului putind fi compatibil cu operațiile de degroșare ;

- avansul are de asemenea influență stabilizatoare asupra procesului de aşchierare, prin creșterea valorii sale ;

- privind stabilitatea mecanismului de avans în procesul de aşchierare, s-a observat că reducerea sau anumite limite a vitezei de avans în deosebi la sarcini mari conduce la apariția mișcării cu precare negativă "stick-slip" aceasta având influență defavorabilă asupra procesului de aşchierare ;

- expresiile matematice stabilite au tocmai acest scop să limiteze valoarea vitezei de avans, pentru a se evita intrarea în instabilitate.

Cap.6. STABILIREA ALGORITMULUI SI A LEGILOR CE

GUVERNEAZA S.C.A. CU LUAREA IN CONSIDERARE

A AUTOVIBRATIILOR

6.1. Introducere

In capitolele anterioare - 4 și 5 - s-au analizat și stabilit posibilitățile reale ce le oferă parametrii regimului de acțiune pentru găsirea de soluții eficiente în scopul desfășurării liniștite a procesului de acțiune pe strunguri. Din cele analizate s-a putut observa că, deși mai mulți factori pot contribui la atenuarea autovibrățiilor nu toți aceștia pot fi folosiți în mod eficient în acest scop. În final s-a constatat că avansul și viteza de acțiune au o pondere însemnată în stabilizarea procesului cu o pondere însemnată în stabilizarea procesului de acțiune, fiecare din acestea însă având și neajunsuri fie de natură constructivă fie tehnologică.

Dacă vom mai muta în considerare și faptul că realizarea în S.C.A. a unei limitări a autovibrățiilor pe lungă CA propriu zisă, deja realizată 156 pentru modelul SF630 NC+CA care are ca mărime de referință componenta F_{zr} și prin urmare avansul să nu mai poate fi luat în considerare pentru acest caz, singurul parametru rămânind viteza de acțiune.

Deci la stabilirea algoritmului se va juca seama în primul rînd de legile de variație ale vitezei de acțiune din condiția de menținere a stabilității procesului, avansul lăsându-l în considerare doar pentru cazurile de excepție - cind SCA nu folosește ca mărime de referință forța sau momentul, sau cind nu se utilizează CA pe strung.

Pentru acest caz, cind se ia în considerare viteza de acțiune ca parametru de stabilizare al procesului, este necesar să se analizeze modul cum variază puterea la arborele principal în funcție de legea de variație a vitezei din condițiile de stabilitate a procesului de acțiune, în cele ce urmează abordindu-se acest aspect.

6.2. Variatia vitezei si avansului in conditiile mantinerii forjelor maxime

Eliminarea autovibratiilor la aghierea pe strunguri, presupune modificarea mărimi vitezei sau avansului în timpul procesului de lucru. Schimbarea acestor parametri nu poate fi făcută pe domenii oricât de largi, acest lucru fiind limitat de mai mulți factori cum ar fi:

- puterea la arborele principal al mașinii,
- forța maximă admisă în STE,
- domeniul de turatie la arborele principal,
- posibilitatea schimbării din mers și sub sarcină a turatiei arborelui principal, n_{AP} ,
- precizia și calitatea prelucrării.

Se observă deci că modificarea lui v și s este condiționată de factorii mai sus menționați, iar nerespectarea acestor condiții poate conduce la inconveniente de ordin constructiv și tehnologic.

Pentru exemplificare se efectuează o analiză concretă pentru modelul SP-630-NC a cărui putere efectivă la motorul acționării principale este $N=22 \text{ Kw}$. Considerând randamentul cutiei de viteze

$\eta = 0,8$ vom determina puterea efectivă la arborele principal

$$N_{AP} = v \cdot \eta_T = 15,75 \text{ [kw]}$$

$$\eta_T = \eta_{cv} \eta_m = 0,71$$

$\eta_{cv} = 0,8$ randamentul cutiei de viteze

$\eta_m = 0,891$ randamentul motorului electric tip ASI-2003.

Condiția ce se cere a fi respectată în acest caz este ca puterea efectivă la arborele principal N_{ef} să fie mai mică decât puterea dezvoltată de mașină la arborele principal N_{AP} , adică

$$N_{ef} = \frac{P \cdot v}{6120} \leq N_{AP} \quad (6.1)$$

Este de asemenea necesar că se țină seama de momentul maxim ce poate fi dezvoltat la arborele principal, acesta fiind dat de relația (6.2)

$$M_{max} = \frac{F_{max} d_{max}}{2} = 9,74 \cdot 10^4 \frac{\text{N} \cdot \text{m}}{\text{rad}} \quad (6.2)$$

unde

F_{max} - forța de aghiere maximă după direcția z [daN].

d_{\max} = diametrul maxim al piesei de prelucrat mm

n_{ci} = turăția de calcul inferioară a arborelui principal rot/min

Din cartea mașinii pentru modelul SP-630-XC, diametrul maxim de prelucrat pește sanie portuțit $d_{\max} = 340$ mm iar turăția minimă $n_{min} = 31,5$ rot/min, cu aceste valori vom compara și stabili forța maximă admisă în lagărul mașinii

$$P_{\max} = 5,411 \cdot 10^3 \frac{N_{AP}}{n} \quad (6.3)$$

de unde rezultă că $P_{\max} = 2950$ daă această valoare însă este mai mare decit forță admisă în lagărul principal $P_{adm.lag} = 2310$ daă ea fiind impusă de constructorul modelului exemplificat.

Inegalitatea (6.4) nefiind satisfăcută este necesară o reevaluare a momentelor și puterilor luând în considerare forță minimă,

$$P_{\max} > P_{adm. lag} \quad (6.4)$$

în casul nostru cea suportată de lagărul arborelui principal

$$\lambda = \frac{P_{adm.lag} \cdot d}{2}$$

iar puterea la arborele principal

$$N_{AP} = \frac{\lambda \cdot n}{9,74 \cdot 10^4} = \frac{P_{adm.lag} \cdot d}{19,48 \cdot 10^4} [kw] \quad (6.5)$$

Prin substituirea valorilor cunoscute vom determina puterea la arborele principal din condiția de rezistență a lagărului, ea va fi de 12,7 kw

Revenind la inegalitatea (6.1), se observă că este necesar ca parametrii v și s ai regimului de aşchieri să fie astfel stabiliți încit această inegalitate să fie în permanență satisfăcută. Tînind seama de expresia forței de aşchieri

$$F_s = C_{P_s} \cdot t^{x_{P_s}} s^{y_{P_s}}$$

și substituind-o în (6.1) vom avea valoarea maximă a mărimi avansului din condiția de rezistență a lagărului mașinii:

$$s = \sqrt[3]{6,12 \cdot 10^3 \frac{N_{ef}}{C_{P_s} t^{x_{P_s}} v}} \quad (6.6)$$

de unde se observă că pentru o anumită adincime de aşchieri t inițial stabilită unicul parametru care influențează valoarea avansului este vitesa de aşchieri, acestă din urmă putindu-se exprima și

valoarea lui $v = f(s)$. Relația (6.6) indică de fapt valoarea maximă a avansului suportată de lăgăruirea arborelui principal; această mare mărime însă este limitată și din alte considerente.

Este cunoscut că avansul maxim tehnologic admisibil $s_{\text{max teh.adm}}$ depinde de un mare număr de factori :

- rigiditatea STE
- scula folosită la prelucrare
- mecanismul de avans
- calitatea suprafetei prelucrate
- geometria sculei

Dăsi pentru operațiile de degroșare nu se ia în considerare la alegerea parametrilor regimului de așchiere ca primă condiție respectarea calității suprafetei prelucrate, vom stabili totuși atât pentru operația de finisare, cât și pentru cea de degroșare, mărimea maximă admisă a avansului și din condiția de calitate a suprafetei.

In acest caz mărimea avansului se exprimă cu relația (6.7)

$$s = \frac{c_s \cdot R_z^y \cdot r^u}{t^x (\lambda \lambda_1)^z} \quad [\text{mm/rot}] \quad (6.7)$$

$c_s \approx 0,008$ coeficient constant 83

$\lambda = \frac{\pi}{4}$ unghiul de atac principal - cazul cel mai defavorabil [rad]

$\lambda_1 = \frac{\pi}{12}$ unghiul de atac secundar [rad]

t - adâncimea de așchiere [mm]

R_z - rugozitatea suprafetei [m]

r - raza vîrfului sculei [mm]

y, u, x, z - coeficienți specificați în literatură [lo6]

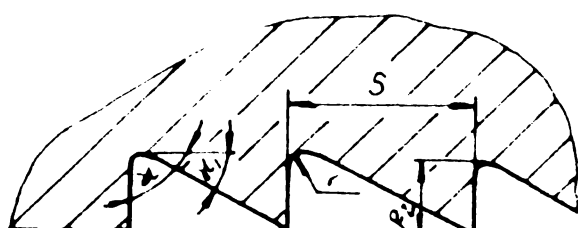


Fig.6.1

Vom determina prin urmare mărimea avansului ținând seama de calitatea suprafetei în cazul operațiilor de finisare și de degroșare, luând în considerare fig.6.1 și ținând seama de valoarea mărimilor prezentate în tabela 6.1.

Revenind la relația (6.7) vom stabili valoarea maximă a avansului la finisare și degroșare ținând seama de valoarea factorilor și exponentilor expresiei.

$$c_v = 0,006 ; r = 0,5 \text{ mm} ; y = 1,4 ;$$

$$u = 0,7 ; x = 0,3 ; z = 0,35$$

și corespunzător operației considerate conform tab.6.1. s-a ales R_z și t . În același tabel 6.1 este indicată valoarea maximă admisă pentru avans în cazul rugozităților maxime admise de prelucrare.

Operatie	\hat{r} [mm]	x_0	x_1	t [mm]	$R_{z\max}$ [μm]	β [mm/ μm]
finisare	0,5	30°	30°	0,5	12,5	0,324
aergravare				5	400	2,94

Tab.6.1

Este cunoscut însă că valoarea maximă a avansului se verifică și din condiția de rezistență a mecanismului de avans, prin urmare este necesar, să fie respectată inegalitatea

$$P_x \leq P_a \quad (6.8)$$

P_a - forță maximă admisă de mecanismul de avans [daN]

P_x - componenta axială a forței de așchiere [daN]

In literatura de specialitate [1] forța axială maximă P_a ce o poate suporta sistemul de avans se poate determina, în cazul cînd mișcarea de avans se realizează prin mecanismul, șurub piuliță, făcind fie calculul șurubului la flambaj, fie calculul piuliței la presiune specifică.

Pentru sistemele de avans, cu șurub și piuliță ce trebuie să realizeze o deplasare precisă [1][30] cînd șurubul este din oțel iar piulița din bronz, presiunea specifică pe filet $p_a = 144$ daN/cm². In cazul strugului SR-630-NC mecanismul ce realizează mișcarea de avans este un șurub cu bile, deci contactul este oțel pe oțel, ceea ce ar fi un avantaj în plus, dar întrucît acest contact teoretic se consideră punctiformă vom păstra în calcule valoarea presiunii specifice prezentate mai înainte.

Componenta axială maximă pe care mecanismul de avans o poate transmite este dată de relația (6.9)

$$P_x = \frac{p_a \cdot \bar{r} \cdot \lambda \cdot d_{med}^2 t_2 \cdot z}{100 \cdot s} \quad (6.9)$$

unde

$\lambda = \frac{1}{d_{med}}$ ≈ 4 raportul dintre lungimea piuliței și diametrul mediu al filetului

$d_{med} = 37$ - diametrul mediu al șurubului, conform STAS 7529-66 [mm]

$t_2 = 5,5$ - înălțimea de lucru a spirei filetului [mm]

$z = 1$ - numărul de începuturi a filetului

$S = 10$ - pasul filetului surubului [mm]

Inlocuind valorile stabilite in expresia (6.8) vom obtine valoarea forței axiale ca fiind $P_a = 1365$ daN .

Acceptind că, componenta axială a forței de așchiere P_x după [20]/[39]/[125] are forma

$$P_x = C_{P_x} \cdot t^{x_{P_x}} s^{y_{P_x}} \quad (6.10)$$

pentru un avans maxim $s = 2,24$ și $t = 8$; $C_{P_x} = 60$ la prelucrarea cu scule având plăcuțe de aliaj dur și exponenții $x_{P_x} = 1,2$; $y_{P_x} = 0,65$ se va obtine valoarea componentei forței de așchiere $P_x = 1189$ daN , se observă că în acest caz inegalitatea este satisfăcută

$$P_x = 1189 < P_a = 1365$$

Revenind la valoarea componentei P_z a forței de așchiere, pentru modelul SP-630-NC luând în considerare valoarea forței rezultante $P_{zy} = 2640$, precum și raportul $\frac{P_y}{P_z} = 0,55$ vom scrie că

$$\begin{cases} P_y = 0,55 P_z \\ \sqrt{P_z^2 + P_y^2} = 2640 \end{cases} \quad (6.11)$$

rezolvînd sistemul de ecuații se obtine valoarea componentei $P_z = 2310$ daN .

Revenind la inegalitatea (6.8) se observă că componenta axială maximă a forței de așchiere P_x este mai mică decît forța axială ce poate fi transmisă de mecanismul de avans.

In acest caz se poate spune că alegerea avansului de degroagere din condiția de rezistență a mecanismului de avans este acoperitoare. Este evident că valoarea avansului se poate mări și reduce în același timp adâncimea t pentru menținerea constantă a forței, dar prin aceasta se diminuează capacitatea de producție a mașinii.

6.3. Stabilirea logicii și a parametrilor regimului de așchiere la prelucrare cu CA după autovibrății.

6.3.1. Schema logică la operațiile de finisare cu CA pe strunguri

La operațiile de finisare principalii parametri care se cer a fi respectați sunt precizia și calitatea piesei prelucrate, ultimul fiind în mod direct influențat de parametrii regimului de așchiere

prin rugositatea R_a a suprafeței prelucrate. La finisare nu se poate problema încărcării mașinii la puterea nominală și nici a modificării avansului să sau a adîncimii și în timpul procesului, singurul parametru al regimului de aşchieri care poate fi modificat în scopul stabilizării procesului și care nu influențează calitatea suprafeței este viteza v . Prin urmare la apariția autovibrățiilor în timpul procesului de aşchieri se va acționa asupra vitezei în sensul creșterii ei, caz în care este necesar să se stabilească valoarea optimă a acestor viteză și în ce limite trebuie să varieze acestea pentru a se menține un regim optim de aşchieri.

Datorită adîncimilor și avansurilor mici de aşchieri la operațiile de finisare nu se consumă pe seama acestora întreaga putere la arborele principal, trebuie însă de văzut în ce măsură va influența această mărime, creșterea de viteză, deci cît trebuie să crească viteza de aşchieri. Așa cum se știe avansul de lucru la finisare se

alege din condiția de calitate și precizie, adîncimea de aşchieri în funcție de avansul de prelucrare, viteza de aşchieri în schimb trebuie să satisfacă atât condiția de economicitate cît și cea de stabilitate a procesului. În schema logică din fig.6.2 se observă că procesul de aşchieri la finisare prezintă două aspecte distincte.

- primul legat de cazul cînd procesul de aşchieri are loc cu vibrării sub mărimea de referin-

tă $A < A_p$ și în această situație se urmărește ce către SCA doar menținerea unui avans care să satisfacă condițiile de calitate impuse, prin sistemul de bază.

- cel de al doilea caz este legat de fenomenul apariției autovibrățiilor $A > A_p$, cînd se acționează asupra vitezei în sensul creșterii ei pînă la valoarea de stabilizare a procesului dar în același timp comparindu-se în permanentă puterea efectivă N_{ef} ce se modifică odată cu modificarea vitezei cu puterea la arborele principal N_{AP} respectînd inegalitatea

$$N_{ef} < N_{AP}$$

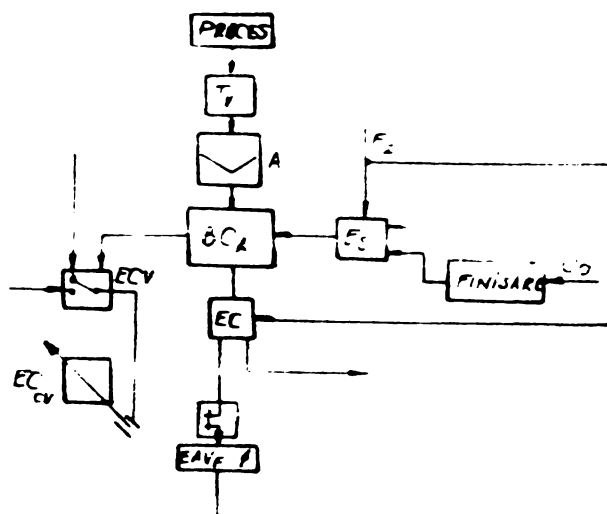


Fig.6.2

Din schema logică se observă că traductorul T_v captează sub formă de mărime mecanică variațiile din sistem – amplitudinea auto-vibrăriilor – și o transmite sub formă de semnal electric la amplificatorul A de acolo la blocul de comparare K_A care compară mărimea măsurată cu valoarea mărimii de referință A_x prescrisă pentru operația de finisare. Atunci cind există inegalitatea $A > A_r$ semnalul trece prin elementul de comutare EC și ajunge la elementul de acordaj $K_{A_{vp}}$ pentru finisare care comandă în elementul de execuție – controla de viteză – creșterea vitezei pînă ce procesul se stabilisează.

In continuare este necesar să stabilim valorile economice ale viteselor la finisare.

6.3.1.1. Alegerea vitezelor economice pentru operația de finisare cu C.A.

Așa cum s-a arătat mai înainte în scopul menținerii regimului de așchieri în domeniul optimului este necesar să stabilim pentru parametrii tehnologici frecvent folosiți la operațiile de finisare valoarea vitezelor optime de așchieri. În acest sens vom lua în considerare pentru avansul s valoarea indicată în tabela 6.1. pentru operațiile de finisare iar pentru adâncimea de așchieri [23] [83] [174] alegem $t = 0,1 \pm 1$ mm valori frecvent folosite, viteză economică determinind-o cu expresia (6.12) după [26]

$$v = \frac{C_v \cdot k_v}{T^m t^x v^y} \quad (6.12)$$

Pentru prelucrarea unui arbore din oțel OLC45 cu $G_y = 62 \text{ daN/mm}^2$ s-au ales valorile de mai jos ale coeficientilor din relația (6.12)

$C_v = 273$ pentru avansul $s < 0,3$ mm/rot

$T = 60$ durabilitatea sculei min

$m = 0,2$

$x_v = 0,15$

$y_v = 0,2$

iar coeficientul de corecție al vitezei are forma

$$k_v = K_T \cdot k_m \cdot k_x \cdot k_{x_1} \cdot k_y \cdot k_o \cdot k_r \cdot k_{mo}$$

unde

$K_T = 1$ coeficient ce depinde de durabilitatea sculei – pentru $T = 60$ min

$k_x = 0,81$ coeficient ce ține seama de unghiul de atac principal – pentru $\alpha = 90^\circ$

$k_{x_1} = 0,91$ coeficient ce ține seama de unghiul de atac secundar – pentru $\alpha_1 = 30^\circ$

$K_h = 1$ coeficient ce ține seama de usura sculei - pentru $b=0-1$ [mm]

$K_r = 0,94$ coeficient ce ține seama de raza la vîrf a sculei
- pentru $r = 0,5$ [mm]

$K_m = 1$ coeficient ce ține seama de materialul sculei de prelucrat - pentru oțăcută T15K6

$K_o = 1$ coeficient ce ține seama de felul strunjirii - pentru strunjire longitudinală.

$K_n = 2,33$ coeficient ce ține seama de materialul de prelucrat și se determină cu relația de mai jos

$$K_n = C_m \left(\frac{73,5}{\tilde{C}_r} \right)^n$$

$$n = 1,75; \quad \tilde{C}_r = 62 \text{ daN/mm}^2; \quad C_m = 0,8$$

Revenind la relația coeficientului de corecție a vitesei, aceasta va avea valoarea $K_v = 1,83$.

Calculul vitesei de așchiere s-a efectuat pentru avansuri $s = 0,1; 0,2; 0,3; 0,324$ mm/rot. Cunoscând parametrii regimului de așchiere, v , și t s-a determinat [39] componenta principală a forței de așchiere P_s folosind relația (6.13).

$$P_s = 9,8 C_{p_s} \cdot t \cdot \frac{x_p}{s} \cdot \frac{y_p}{s} \cdot \frac{n_p}{s} \cdot v_a \cdot K_{p_s} \quad (6.13)$$

unde

K_{p_s} este coeficient global de corecție și este de forma:

$$K_{p_s} = K_{\lambda_p} \cdot K_{x_s} \cdot K_{\lambda_s} \cdot K_{r_s} = 0,72$$

$K_{m_s} = 0,881$ coeficient ce ține seama de materialul de prelucrat - pentru OLC45

$K_{x_s} = 0,89$ coeficient ce ține seama de unghiul de atac principal - pentru $x = 90^\circ$

$K_{\lambda_s} = 1$ coeficient ce ține seama de unghiul de înclinare al tăișului principal

$K_{r_s} = 0,87$ coeficient ce ține seama de raza de rotunjire a vîrfului sculei - pentru $r = 0,5$

iar ceilalți coeficienți din (6.13) au valorile $x_p = 1; y_p = 0,75;$

$n_p = -0,15$. Cunoscând vitezele și forțele de așchiere se poate determina puterea ce se consumă în proces folosind relația (6.1). În tabela 6.2 sunt indicate vitezei economice v_p a componentei principale a forței de așchiere P_s și a puterii N în casul finisării pentru diferite valori ale avansului de așchiere.

Din tabelă se observă că puterea maximă $N=10,85 \text{ kw}$ la regimul cel mai intens de finisare, $s=0,324 \frac{\text{mm}}{\text{rot}}$ și $t=0,5 \text{ mm}$ corespunde viteza economică $v_r=306 \text{ m/min}$; de altfel aceste valori sunt apropriate de valorile vitezelor ce asigură stabilitatea procesului, prezentate în diagramele de stabilitate din cap.5. În această idee, de menținere a vitezelor economici dar și de păstrare a stabilității procesului de aşchierare, modelul exemplificat SP-630-NC dispune de un număr de 12 trepte de turări distințe.

In tabela 6.3 sunt prezentate mărurile turărilor, vitezelor reale și funcție de acestea ale puterilor efective la arborele principal al mașinii - pentru gama de diametri mai reprezentativi ce se pot prelucra pe strung peste sania portcuțit.

In diagrama din fig.6.3. S-a reprezentat in coordonate logaritmice legea de variație a vitezei economice in funcție de adâncimea de aşchierare, pentru diferite mărimi ale avansului, pentru o durabilitate $T=60 \text{ min}$ iar in diagrama din fig.6.4 este prezentată legea de variație a vitezei de aşchierare in funcție de componenta principală a forței de aşchierare P_z la diferite valori ale avansului.

Din ambele figuri 6.3 și 6.4 se observă că pe măsură ce avansul se scade vitezelor economice cresc, acest lucru fiind evidentiat și de curbele de stabilitate ale procesului de aşchierare.

Tinându-se seama de faptul că la prelucrarea pe strunguri viteza este dependență directă de diametrul piesei și de turăria acesteia. In diagrama din fig. 6.5 s-a reprezentat legea de variație

χ	Avansul crf $s \text{ mm/rot}$	Diametru de aşchierare $d \text{ (mm)}$	Viteză eco- nomică $v \text{ [m/min]}$	Forță de aşchierare $F_z \text{ [kgf]}$	Putere consumată $N \text{ [kw]}$
1	0,1	005	533	746	0,65
		01	493	14,9	1,2
		025	426	34,0	2,64
		05	345	77,5	4,87
2	0,2	005	465	12,6	0,98
		01	423	15,7	1,08
		025	373	64,8	3,94
		05	310	131	9,20
3	0,3	005	426	17,5	1,2
		01	392	34,9	2,23
		025	343	81,6	4,97
		05	309	181	10,02
4	0,324	005	416	10,7	1,27
		01	389	37	2,35
		025	340	91,6	3,82
		05	306	195,5	10,85

Tab.6.2

cesului de aşchierare, modelul exemplificat SP-630-NC dispune de un număr de 12 trepte de turări distințe.

χ	Diametru de aşchierare $d \text{ (mm)}$	Avansul crf $s \text{ (mm/rot)}$	Viteză economică $v \text{ [m/min]}$	Forță de aşchierare $F_z \text{ [kgf]}$	Putere consumată $N \text{ [kw]}$
1	50	1400	223	76	0,77
				82	0,84
				88	0,96
				94	1,05
				107	1,09
				113	1,15
				121	1,20
				126	1,25
				136	1,35
				149	1,41
				166	1,56
				186	1,71
2	100	1400	460	116	0,58
				126	0,62
				136	0,67
				147	0,72
3	150	1000	316	113	0,59
				121	0,64
				129	0,69
				137	0,74
4	200	1000	223	145	0,78
				151	0,83
				161	0,93
				171	1,03
5	250	1000	171	149	0,89
				159	0,99
				169	1,09
				179	1,19
6	300	500	135	147	1,26
				157	1,36
				167	1,46
				177	1,56
7	350	500	102	154	1,63
				164	1,73
				174	1,83
				184	1,93
8	400	500	79	162	2,10
				172	2,20
				182	2,30
				192	2,40
9	450	500	59	170	2,67
				180	2,77
				190	2,87
				200	2,97
10	500	500	47	178	3,34
				188	3,44
				198	3,54
				208	3,64
11	550	500	35	186	3,91
				196	4,01
				206	4,11
				216	4,21
12	600	500	27	194	4,48
				204	4,58
				214	4,68
				224	4,78

Tab.6.3

a vitezei pentru diferite diametre ce pot fi prelucrate pe modelul

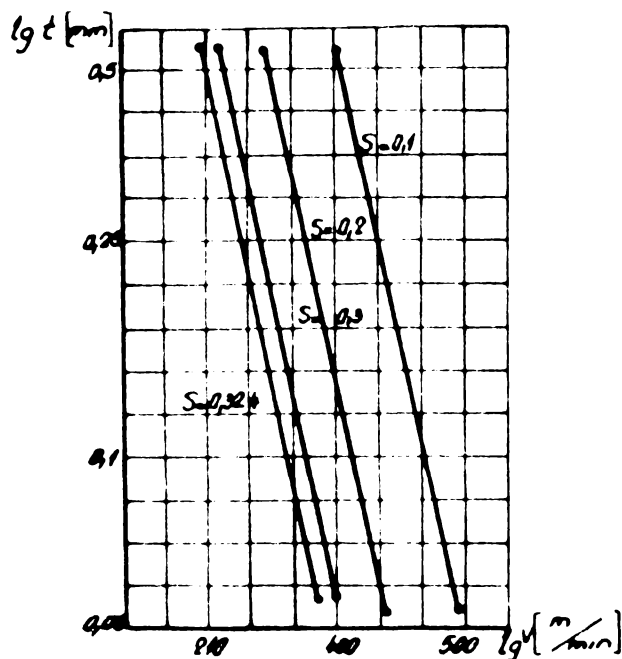


Fig.6.3

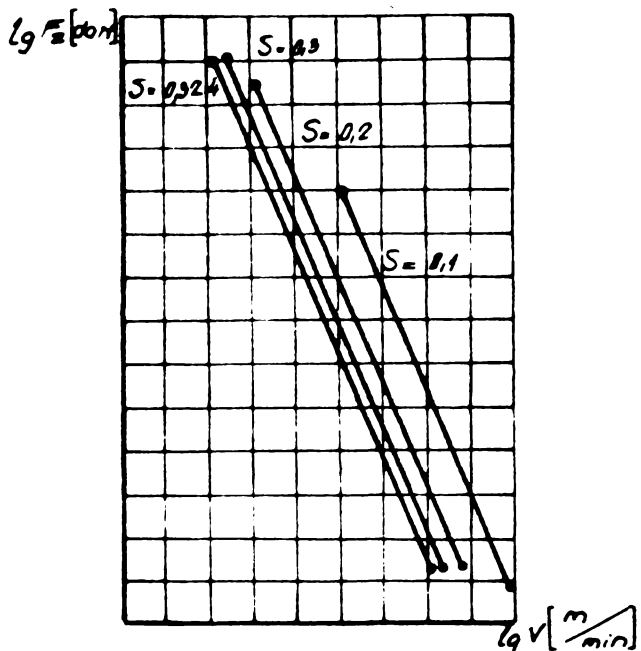


Fig.6.4

SP-630-NC ținindu-se seama de turătările existente pe acest tip de mașină. Pentru menținerea unui regim economic de aşchiere la prelucrarea pieselor de diametrii indicați în diagrama din fig.6.5,

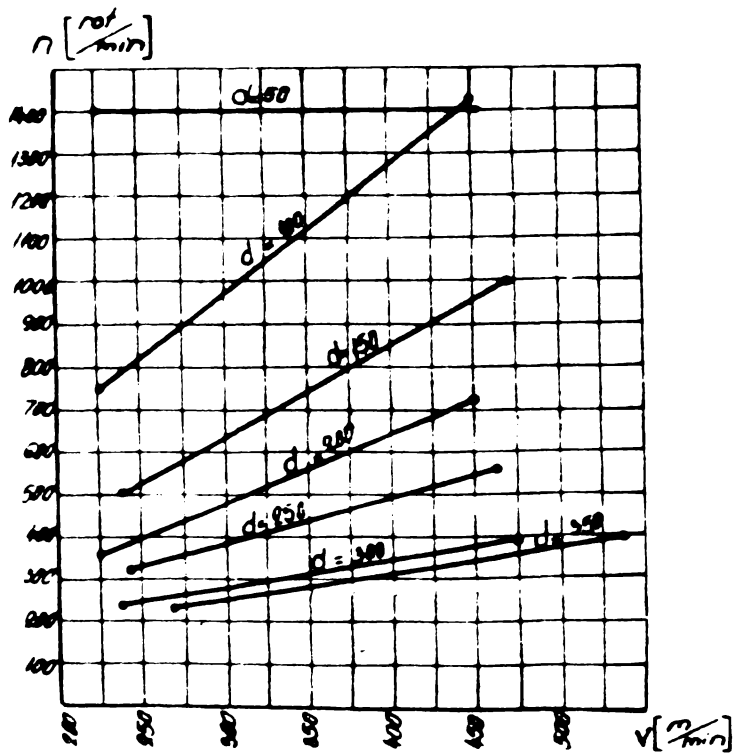


Fig.6.5.

La operațiile de finisare deși vitezele de aşchiere au valori mai ridicate ele nu pot depăși anumite limite. În tabela 6.4 sunt indicate valorile limită ce pot fi folosite, chiar și peste valoarea vitezei economice determinate prin calcul – folosind plăcuțe mineralo-ceramice. În aceeași tabelă sunt prezentate și puterile efective din procesul de aşchiere. Se observă că la valori mici ale avansului deși vitezele de aşchiere sunt ridicate, puterile sint

este necesar să se aleagă valori ale turătărilor n ale arborelui principal situate sub dreapta ce reprezintă diametrul ce se prelucrează. Diagrama presentată poate fi utilizată pentru operațiile de finisare pe toate tipurile de strunguri, cu condiția ca parametrii să și t să fie aleși sub limita superioară celor inscriși în diagrama din fig.6.3.

foarte mici, datorită componentei P_z a forței de aşchieri care

scade pe măsură ce viteza de aşchieri crește, fapt atestat și de diagrama din fig.6.4. Din cele analizate pentru cazul prelucrării de finisare pe strunguri folosind S.C.A. în care parametrul comandat în scopul menținerii mărimii de referință în proces este viteza de aşchieri, se apreciază că odată atinsă limita de stabilitate valoarea vitezei va deveni un parametru limitativ, aceasta pentru a nu depăși puterea efectivă ce poate fi dezvoltată de mașina unealtă.

In acest sens în S.C.A. este necesar introducă un element de comparare și

	P_{z0}	μ_{z0}	T_{z0}	P_{p0}	T_{p0}	R_{p0}	F_{p0}	F_{z0}	F_{p0}/F_{z0}	Observ.
1	80	0.0015	100	213	400	223	1000	1055	0.95	
	60	0.0015	100	145	400	161	1000	149	1.12	
	60	0.0015	145	145	400	140	1000	173	3.4	
2	100	0.0015	100	145	400	160	1000	26	0.9	
	90	0.0015	145	145	400	140	1000	31	0.82	
	90	0.0015	145	145	400	160	1000	37	1.34	
	90	0.0015	145	145	400	160	1000	43.5	4.6	
	60	0.0015	145	145	70	140	1000	49	1.61	
	60	0.0015	145	145	70	160	1000	73	0.85	
3	150	0.0015	100	145	70	140	1000	13	10	
	90	0.0015	145	145	70	140	1000	173	1.19	
	90	0.0015	145	145	70	160	1000	197	0.65	
	60	0.0015	145	145	70	140	1000	216	1.33	
	60	0.0015	145	145	70	160	1000	226	1.69	
4	200	0.0015	100	145	70	140	1000	41	3.35	
	90	0.0015	145	145	70	140	1000	57	1.98	
	90	0.0015	145	145	70	160	1000	78	2.17	
	60	0.0015	145	145	70	140	1000	108	2.6	
	60	0.0015	145	145	70	160	1000	128	3.47	
5	250	0.0015	100	145	70	140	1000	73	3.96	
	90	0.0015	145	145	70	140	1000	126	1.49	
	90	0.0015	145	145	70	160	1000	131	1.95	
	60	0.0015	145	145	70	140	1000	147	2.17	
	60	0.0015	145	145	70	160	1000	179	2.6	
	60	0.0015	145	145	70	160	1000	189	2.89	
6	300	0.0015	100	145	70	140	1000	73	3.45	
	90	0.0015	145	145	70	140	1000	122	1.0	
	90	0.0015	145	145	70	160	1000	147	1.25	
	60	0.0015	145	145	70	140	1000	174	2.65	
	60	0.0015	145	145	70	160	1000	194	3.25	
	60	0.0015	145	145	70	160	1000	214	3.66	
7	350	0.0015	100	145	70	140	1000	73	3.76	
	90	0.0015	145	145	70	140	1000	121	1.1	
	90	0.0015	145	145	70	160	1000	146	1.4	
	60	0.0015	145	145	70	140	1000	176	2.31	
	60	0.0015	145	145	70	160	1000	195	2.5	

Tab. 6.4

evidenț limitare a puterii după temperatura de lucru a motorului electric din acționarea principală.

6.3.2. Schema logică la operațiile de degroșare cu C.A. pe strunguri.

Desfășurarea cu vibrații a procesului de aşchieri cere din partea SCA luarea de decizii care să conducă la înlăturarea stării de instabilitate, acționându-se asupra unuia din cei doi parametri ai regimului de aşchieri, s sau v. Acționarea asupra acestor parametri prin SCA al strungului nu se poate face însă la întâmplare. Se cunoaște că avansul de aşchieri prin creșterea sa are un efect stabilizator asupra autovibrațiilor din proces, în plus această creștere, conduce implicit și la un spor de capacitate de producție fapt ce reprezintă un avantaj evident. Păstrarea însă a unei precizii ridicate de formă și dimensiune, presupune angajarea mai multor parametri în acest scop și în deosebi aceia care prin modificarea lor conduc la variația deformațiilor în STE al strungului - este vorba în principal de forțe și momente.

Dat fiind faptul că deformația STE de-a lungul piesei, din sprijn păpușă mobilă înspre cea fixă variază ca în fig.6.6. deformatie ce este dată de expresia (6.14) -

$$\Delta y = y_{pm} - y_{pf}$$

(6.14)

- y_{pm} - deformăția la vîrful păpușii mobile [μm]

- y_{pf} - deformăția la vîrful păpușii fixe [μm] se înțelege că aceasta influențează asupra formei și dimensiunii piesei. Menținerea constantă a acestei deformății între cele două vîrfuri ar elmina neajunsul menționat. Acest desiderat poate fi realizat prin modificarea mărimiilor forței ce provoacă această deformăție, de-a lungul axei AB. Este cunoscut că această deformăție este dată de rezultanta

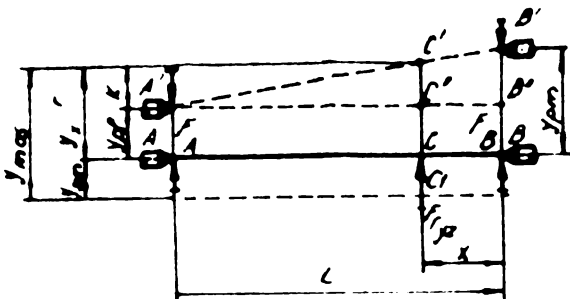


Fig.6.6

celor două componente ale forței de așchiere P_z și P_y :

$$P_{R_{sy}} = \sqrt{P_z^2 + P_y^2}$$

iar modificarea acesteia în scopul menținerii preciziei dorite trebuie să se facă funcție de această deformăție

$$P_R = f(y) \quad (6.15)$$

In casul menținerii constante a forței rezultante [7][156] deformăția este dată de expresia (6.16)

$$\Delta y = P_{R_{sy}} (W_{\max, \text{sist.}} - W_{\min, \text{sist.}}) \quad (6.16)$$

$W_{\max, \text{sist}}$ $W_{\min, \text{sist}}$ - cedarea maximă și minimă a sistemului [μm]
In casul unei piese carecare de prelucrat unde W_{\max} și W_{\min} sunt constante, din relația (6.16) se observă că pentru menținerea constantă a deformăției Δy , este necesară modificarea mărimiilor forței rezultante $P_{R_{sy}}$, prin urmare modificarea avansului, aceasta însă cu valori bine stabilite. Téate acestea sunt analizate pe larg în lucrarea [156] care tratează despre încărcarea automată pe strunguri.

In condițiile mai sus arătate, modificarea mărimi avansului în sensul creșterii sale cu scopul atenuării autovibrățiilor, cind într-un SCA se folosește ca mărime de referință forța de așchiere, nu este posibilă. In celealte cazuri cind avansul nu are și alte funcții în sistem el poate fi folosit ca parametru comandat într-un SCA pentru stabilizarea procesului de așchiere, exceptând bineînțeleas casul operațiilor finale. In fig.6.7 este prezentată schema logică pentru C.A. la operațiile de degroșare în care se observă atât timp cât procesul de așchiere este linștit, parametri regimului de așchiere se păstrează, modificarea acestora apare cind în proces amplitudinea autovibrățiilor A_x devine

mai mare decât mărimea de referință inițială stabilită pentru operația respectivă și se menține pînă ce se restabilește echilibrul inițial adică pînă ce $A < A_r$.

Ca și în cazul finisării autovibrățiile din proces sunt sesizate de traductorul de vibrații T_v , semnalul acestuia este amplificat în A și trimis în blocul de comparare BC_A unde se compară semnalul primit corespunzător amplitudinii autovibrăției A cu mărimea de referință A_r . Atunci cînd procesul este stabil și $A < A_r$ în CA a strungului nu lucrează decît sistemul de încărcare. În cazul cînd așchierea are loc cu vibrații și $A > A_r$ semnalul din blocul de comparare BC_A se transmite elementului EA_{VD} care comandă reducerea vitezei de așchiere, astfel ca $A < A_r$.

In schema din figură se observă că s-a inclus și un circuit pentru comanda avansului s , aceasta însă numai în condițiile mai sus analizate.

In cazul nostru concret pentru stabilizarea procesului se va actiona doar asupra vitezei în sensul reducerii acesteia. Mai înainte s-a arătat că atunci cînd SCA este legat de parametrul: forță de așchiere, pentru ieșirea din vibrații singura mărime ce poate fi comandată fără a introduce complicații în sistem, este viteză de așchiere în sensul micșorării sale. Dezavantajul în acest caz este de ordin tehnologic, întrucît prin micșorarea momentană a vitezei apare și o micșorare a capacitatei de producție. Dacă se ține însă seama de faptul că din cei trei parametri t , s și v ultimul are cea mai mică influență asupra capacitatei de producție, se poate aprecia că acest dezavantaj nu este esențial, mai important fiind faptul că se ieșe din vibrații.

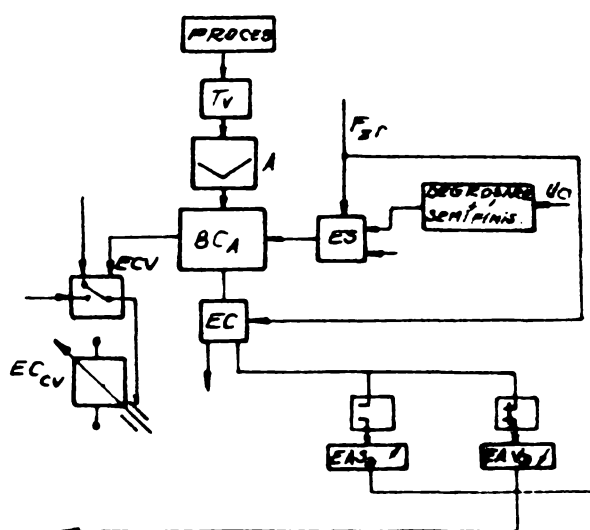


Fig.6.7

mandată fără a introduce complicații în sistem, este viteză de așchiere în sensul micșorării sale. Dezavantajul în acest caz este de ordin tehnologic, întrucît prin micșorarea momentană a vitezei apare și o micșorare a capacitatei de producție. Dacă se ține însă seama de faptul că din cei trei parametri t , s și v ultimul are cea mai mică influență asupra capacitatei de producție, se poate aprecia că acest dezavantaj nu este esențial, mai important fiind faptul că se ieșe din vibrații.

6.3.2.1. Alegerea regimurilor optime pentru operațiile de degroșare

Ca și în cazul operațiilor de finisare, este necesar să stabilim și pentru operațiile de degroșare forțele maxime și vitesele optime posibile de folosit în procesul de așchiere pe strung, în

scopul utilizării unor regimuri economice și a unor încărcări appropriate de cele nominale ale mașinii.

In acest sens revenind la exemplul considerat, s-a pornit de la inegalitatea (6.8) din care se cunoaște că mecanismul de avans suportă o sarcină $F_a = 1365 \text{ daN}$ mai mare decât valoarea maximă a componentei axiale F_x calculată pentru regimul cel mai intens suportat de mașină; $S=2,24 \text{ mm/rot}$ și $t=8 \text{ mm}$. Aceasta este întrudevăr regimul cel mai greu - și care practic poate să nici nu fie atins - întrucât în literatură [20] [36] [39] [46] [74] [106] [125] pentru operațiile de degroșare, avansurile maxime prescrise nu depășesc limitele de $1,1-1,2 \text{ mm/rot}$. Din analiza regimurilor optime pentru operațiile de finisare s-a observat că pentru stabilisarea

procesului de aşchieri, plasarea vitezelor pe partea negativă a curbei - panta coboritoare - nu afectează puterea la arborele principal al strungului, inegalitatea (6.1) menținându-se în orice condiție. În schimb plasarea vitezei pe panta pozitivă a curbei ridică probleme legate atât de puterea mașinii cît și de durabilitatea sculelor aşchietoare.

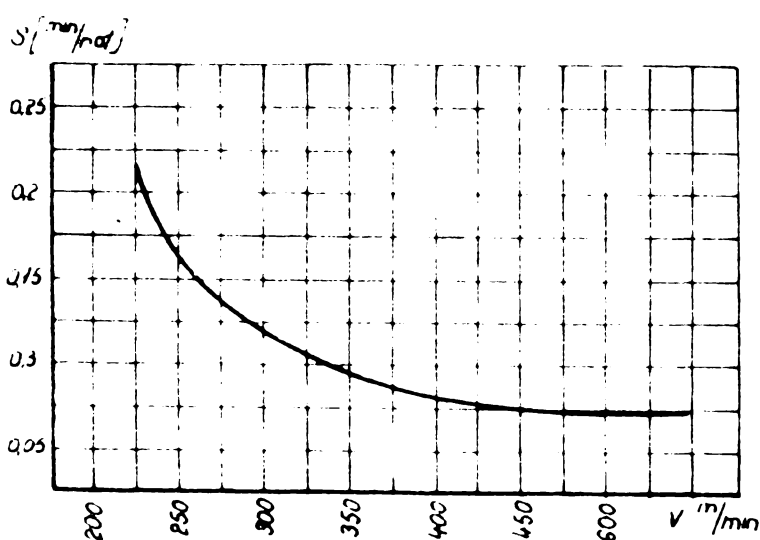


Fig.6.8.

rabilitatea sculelor aşchietoare. Cum se observă din diagrama din fig.6.8 care reprezintă curba de variație a vitezei de aşchieri funcție de avans pentru $t = 3 \text{ mm}$, pentru cazul unei aşchieri liniștite, pe măsură ce se reduce avansul valoarea vitezei trebuie să crească. Pentru valori mai ridicate ale avansului $2,24-0,6 \text{ mm/rot}$ procesul de aşchieri se stabilizează la variații ale vitezei în domeniu mai restrins decât în cazul avansurilor $0,6-0,3 \text{ mm/rot}$. Frecvent folosite la degroșare, cind pentru stabilizarea procesului este necesară o reglare a vitezei în domenii mult mai mari $v=700-1600 \text{ r/min}$ fapt ce comportă un consum sporit de putere în aşchie.

Pornind de la componenta principală a forței de aşchieri F_z , pentru regimul cel mai intens $s=2,24 \text{ mm/rot}$ și $t=8 \text{ mm}$, cu relația (6.17) s-a determinat valoarea acesteia, $F_z = 2310 \text{ (daN)}$.

$$F_z = C_{F_z} \cdot t^z \cdot s^z \cdot K_{F_z} \quad (6.17)$$

$C_p = 214$ - constanta de așchierare, așchierare pentru oțeluri carbon și aliate necalite

$$x_p = 1; y_p = 0,75; K_p = 0,782; K_p = K_a \cdot K_v \cdot K_x \cdot K_f$$

$K_a = 1$ pentru oțeluri cu $r = 70$ daN/cm²

$K_v = 0,94$ pentru avansuri $s = 1$ mm/rot

$K_x = 1,1$ pentru $\delta = 12^\circ$

$K_f = 1$ pentru $\chi = 45^\circ$

$K_f = 0,85$ pentru $r = 1$

Tinind seama de condițiile ce trebuie să fie îndeplinite de strung prin echipare cu CA.

- o încărcare maximă a mașinii admisă de STE
- stabilizarea procesului de așchierare prin reducerea amplitudinii autovibrăriilor

și în decembri pentru cea de a doua condiție la care parametrul ce se modifică pentru stabilizarea procesului este vitesa de așchierare

cele două caracteristici ale procesului de așchierare 36 min se vor mai respecta intrucât la un sistem de încărcare automat, începând din start se va lucra cu a_{max} admis de mașină iar vitesa se va modifica numai cu scopul de a se păstra un proces stabil. Din relațiile (6.2) și (6.3) se observă că regimul de așchierare este limitat de posibilitățile ce le oferă mașina la 12,7 kw,

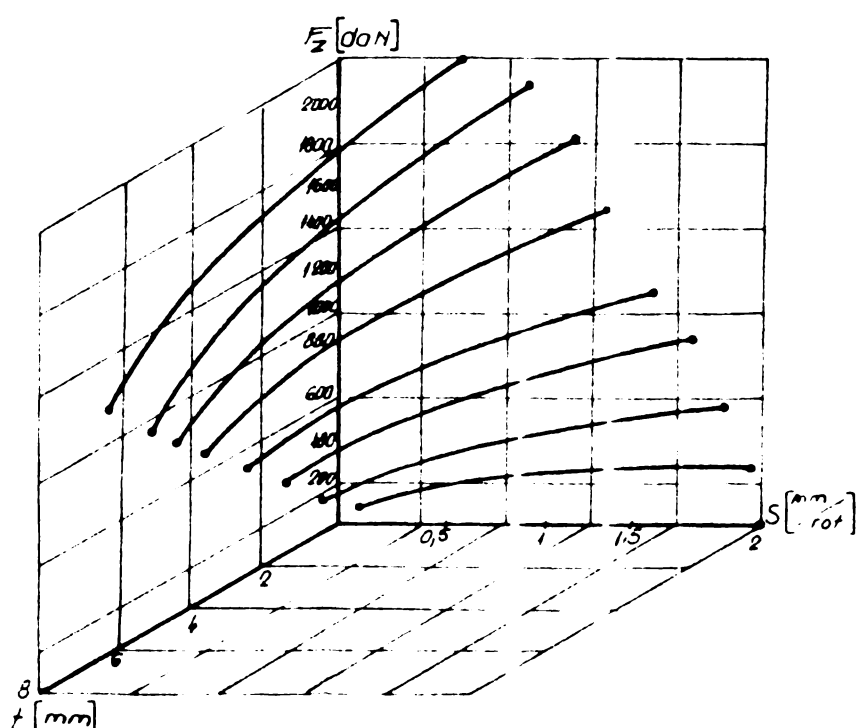


Fig. 6.9

prin urmare mărimele v, s și t trebuie astfel stabilite însă îngrijorându-se (6.2) să fie păstrată în permanență. Tinind seama de cele emisate, în diagrama din fig.6.9 se prezintă variația forței F_z în funcție de parametrii s și t , ținându-se seama de forță maximă capabilă să o suportă lagărul arborelui principal al strungului. Pentru păstrarea același condiții exprimate în (6.2) dar menținând valoarea vitezelor în domeniul optimului cu relația (6.16) s-a determinat mărimea acestea, curbele de variație fiind prezentate în diagramele din fig.6.10.

$$v_T = \frac{C_v \cdot K_v}{T^m t^y s^n} \quad (6.18)$$

C_v - constantă pentru așchierarea oțelurilor cu $\tilde{\nu}_r = 73,5$

$x_v = 0,15$; $y_v = 0,45$; $n = 0,2$

$T = 60$ min durabilitatea sculei la așchierare

$$K_v = K_T \cdot K_m \cdot K_{\chi_1} \cdot K_{\chi} \cdot K_o \cdot K_y \cdot K_n = 0,94$$

Din analiza celor două diagrame din fig.6.9 și fig.6.10 s-a ridicat curba de variație a forței $F_s = f(v)$ prezentată în fig. 6.11.

Pentru pătrarea inegalității (6.1) este necesar ca atât valoriile forțe F_s cît și cele ale viteze-

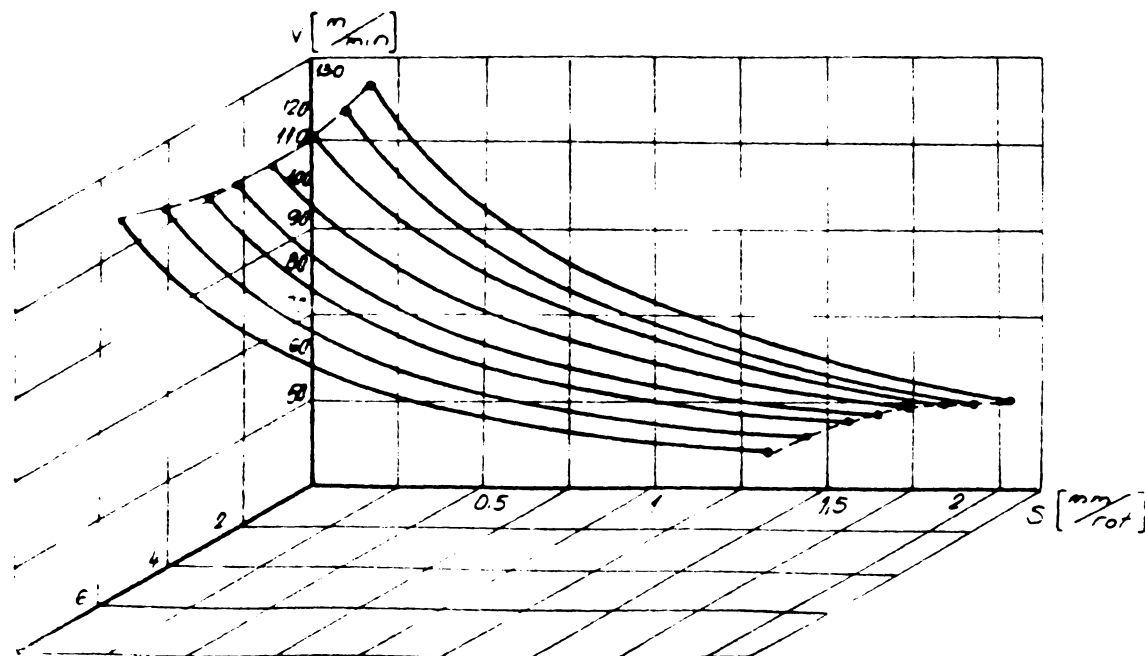


Fig.6.10

lor de așchierare v să fie situate sub curbe din figura. Toate aceste valori s-au determinat pentru oțeluri carbon cu $\tilde{\nu}_r = 65-75 \frac{\text{daN}}{\text{cm}^2}$ frecvență utilizată în industria construcțioare de mașini, valori determinate situându-se în apropierea celor consimilate în literatura de specialitate [36] [46][128] pentru scule cu plăcuțe dure 75K10

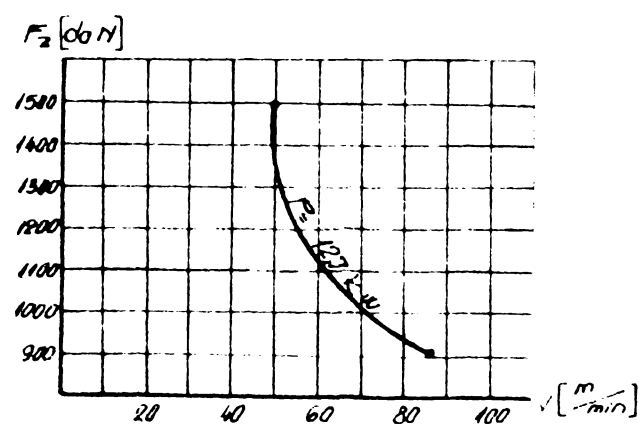


Fig.6.11

6.3.3. Stabilirea algoritmului general.

In condițiile preluorării cu vibrații pe struguri, așa cum s-a mai precisat, eliminările acestora și deci stabilirea procesului se realizează pe seama modificării mărimi vitezoi de așchierare în toate cazurile, cît și prin modificarea mărimi avansului stuncii

cind nu este necesară modificarea avansului din alte considerente (încărcare automată prin CA) [156] sau în cazul ultimei treceri la operațiile de finisare.

Modificarea vitezei de aşchiere nu poate fi făcută la întâmpinare ci doar atunci cind în proces apare un desechilibru dinamic. Modificarea vitezei de aşchiere atât în sensul creșterii pentru operațiile de finisare cît și în sensul descreșterii pentru operațiile de degresare se va face luându-se în considerare cîteva aspecte și anume:

- la creșterea cît și la reducerea vitezei se va acționa asupra acesteia pînă ce valoarea amplitudinii autovibrăției s-a redus sub cea a mărimi de referință

- reducerea vitezei nu poate avea loc sub o anumită limită întrucît procesul de aşchiere ar fi compromis. (sub 25-30 m/min).

- creșterea vitezei nu poate fi oricît de mare, ea este limitată de puterea mașinii.

Funcția limitativă a sistemului propus se realizează prin stabilirea algoritmului care să dirijeze în SCA după autovibrății, modificarea vitezei de aşchiere ori de cîte ori este nevoie, dar în limitele admise de restricțiile introduse.

La stabilirea algoritmului, pentru prelucrarea pe strunguri se pornește de la mărimea de referință stabilită în 5.1, față de care se compară parametrul din procesul de aşchiere; în cazul de față amplitudinea undei vibratoare A - în tot timpul procesului. Mărimea de referință cum s-a mai precisat conține valori ale rugozității R_s pentru diferite operații caracteristice, exprimată în mărimi electrice - tensiuni - valori care la nevoie pot fi ajustate. Tinind seama de cele prezентate, la stabilirea algoritmului se pornește de la inegalitatea (6.19)

$$A < A_r \quad (6.19)$$

A - amplitudinea undei vibratoare măsurată în μm .

A_r - mărimea de referință a autovibrăției μm

In concordanță cu indicațiile STAS 5730-67 36 valorile mărimilor de referință pentru casul operațiilor obținute care se folosesc la prelucrarea pe strunguri sunt prezентate în tab. 6.5. Respectarea condiției 6.19 în CA după autovibrății presupune implicit respectarea condiției de calitate a suprafeței întrucît $2A = R_s$.

Pornind de la relația (6.7), adică

$$s = \frac{C_s R_s^y r^u}{t^x (\kappa \kappa_1)^z}$$

prin care se exprimă dependența avansului de strunjire la calitatea suprafeței R_z , adâncimea de aşchieri și geometria sculei χ , χ_1 , r își ținând seama de faptul că $2A \approx R_z$, prin explicitarea lui R_z se obține relația finală a amplitudinii

$$A = 0,5 \sqrt{\frac{y \cdot s \cdot t^x (\chi \chi_1)^z}{C_S \cdot r^u}} \quad (6.20)$$

iar în cazul cînd mărimea de referință se exprimă în funcție de R_a - considerind că $R_z \approx 4,5 R_a$ - expresia 6.20 va deveni

$$A = 0,11 \sqrt{\frac{y \cdot s \cdot t^x (1)^z}{C_S \cdot r^u}} \quad (6.21)$$

Expresiile (6.20) și (6.21) reprezintă baza stabilirii algoritmului de prelucrare cu CA după autovibratii pe strunguri. În

diagramele din fig. 6.12 este reprezentată legea de variație a mărimi de referință $2A = R_z$ pentru diferite avansuri și adâncimi de aşchieri, considerindu-se ca elemente geometricice ale sculei $\chi = 45^\circ$; $\chi_1 = 15^\circ$; $r = 1$. Din figură se observă că avansul este mărimea care influențează în gradul cel mai înalt calitatea suprafeței, adâncimea t avind o influență minoră în comparație cu acesta.

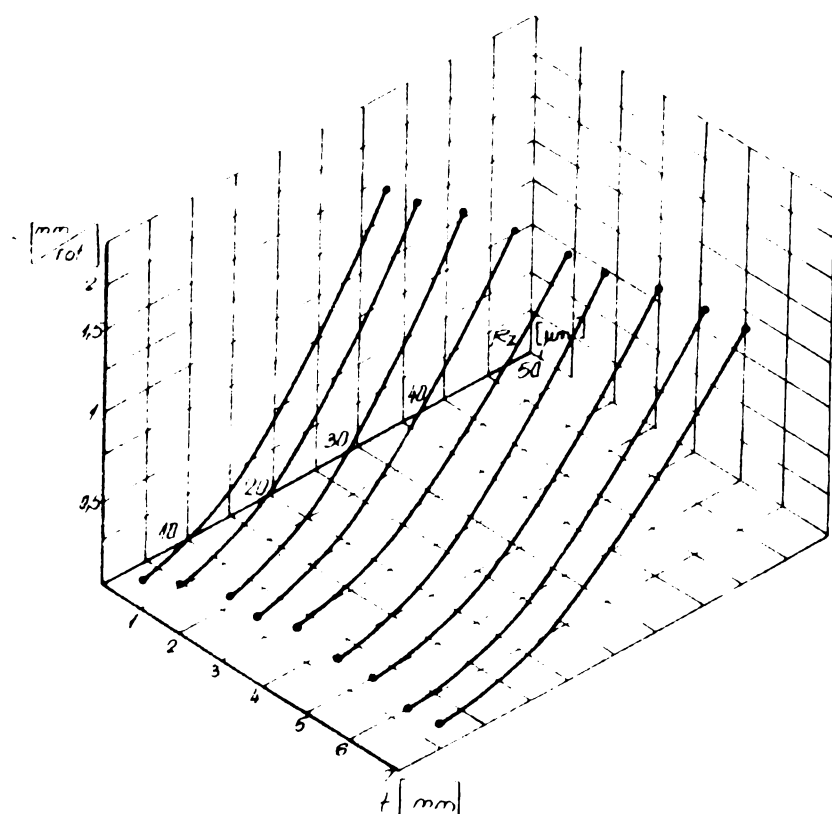


Fig.6.12

Autovibratiile din procesul de aşchieri sunt captate de transdutorul de vibrație T_v care transformă mărimea mecanică de-

plasare, viteză sau acceleratie în mărime electrică - tensiunea cel mai frecvent - amplificând mărimea semnalului în amplificatorul A. Valoarea semnalului amplificat ce reprezintă mărimea amplitudinii undei vibratoare intră în blocul de comparare BC_A în care valoarea acesteia se compară cu mărimea de referință A_r din blocul mărimilor de referință BMR în funcție de operația care are loc. Din BC_A pornesc două circuite distincte, care de fapt definesc modul de lucru în SCA.

In cazul cînd valoarea amplitudinii autovibrățiilor din procesul de aschiere, A < A_r este mai mică decît valoarea mărimii de

referință, conducerea procesului este conectată doar la sistemul de bază [156] cu încărcare automată pe alte componente [156] decît vibrăriile.

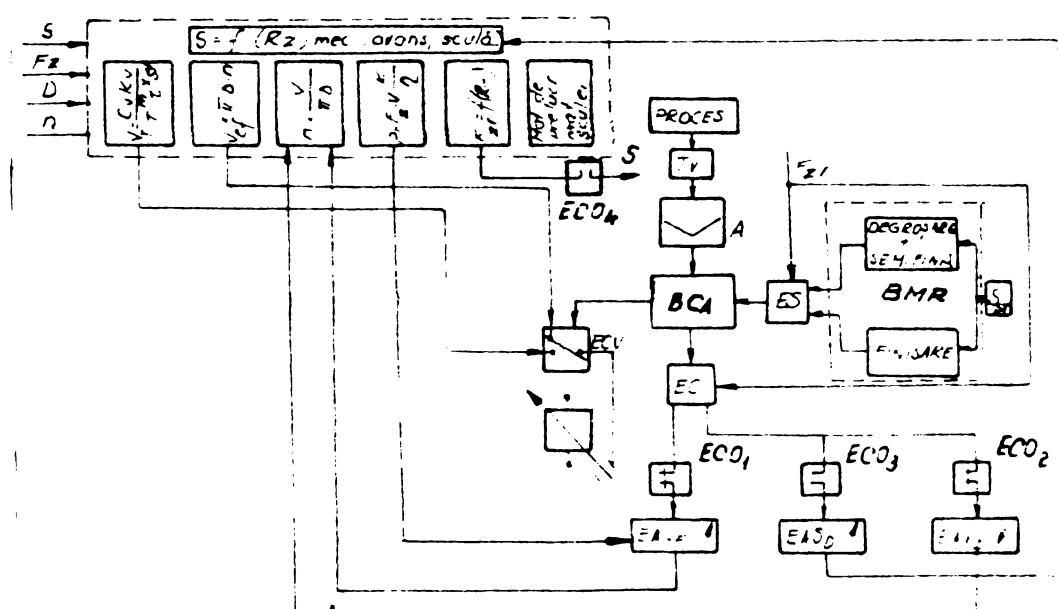


Fig.6.13

Pentru cel de al doilea aspect, cînd A > A_r la sistemul de bază al CA se cuplează și SCA după autovibrății. Din figură se remarcă faptul că din BMR semnalul trece prin elementul de selectare ES. Aceasta are rolul de a selecta mărimea de referință pentru a o trimite spre comparare în BC_A. Selectarea mărimii de referință este funcție de semnalul de la forță de referință P_{sr}.

In sistemul de încărcare, forța de referință fiind stabilită în funcție de deformăția y a STE, atinge un minim; pentru cele trei moduri de prindere a piesei combinat, între virfurile și în universal, acest minim fiind diferit. Pentru valori ale lui P_{sr} sub aceste minime se realizează selectarea mărimii de referință pentru degroșare cînd P_{sr} > P_{sr_min} și pentru finisare P_{sr} < P_{sr_min}.

In aceiași idee a comutării semnalului din BMR pe degroșare sau finisare, care să se compare în BC_A cu semnalul transmis de la T_v poate fi utilizat ca parametru de comutare și viteză critică

v_{cr} (pentru care A este maximă). Acest lucru este posibil și că $v_{cr} = \frac{1}{3}(v_2 - v_1)$

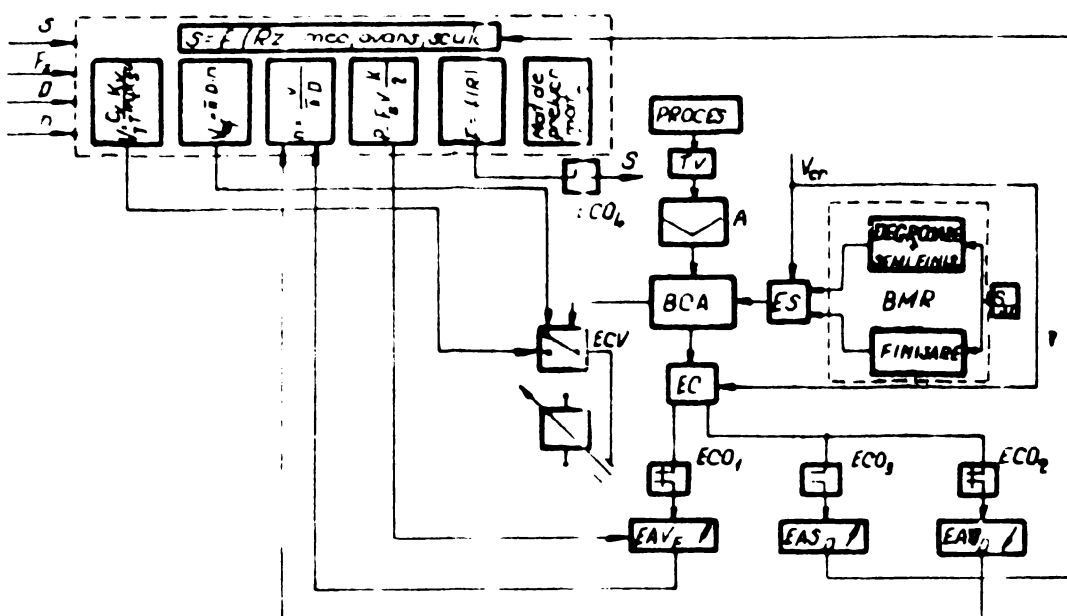


Fig.6.14.

Din BCA, semnalul este trimis în elementul de comutare EC, care are rolul de a comuta pe unul sau celălalt din circuitele de acordaj EAV_p ; EAV_D . Comutarea pe unul sau celălalt din circuite se realizează cu semnalul primit de la P_{sr} , astfel că atunci cind mărimea A se compară cu mărimea de referință pentru operațiile de degroșare și semifinisare, elementul EC este comutat pe circuitul de acordaj EAV_D - iar în cazul comparării lui A cu mărimea de referință pentru operațiile de finisare EC este comutat pe circuitul EAV_p . Corespunzător logicii stabilite la degroșare și semifinisare pentru stabilizarea procesului se scade viteza, rol ce nu îndeplinește în acest caz elementul EAV_D , iar la finisare același rol de stabilizare al procesului nu realizează EAV_p . Semnalele din cele două elemente de acordaj sunt transmise sistemului de bază de unde se comandă modificarea mărimi viteză de așchie, prin schimbarea turăției.

In EAV_p intră și semnalul de putere care limitează creșterea de viteză în funcție de puterea consumată în așchie, încit în permanență să se păstreze inegalitatea $P_a \geq P_{asc}$. În cazurile cind pe strung nu se folosește sistemul de încărcare automată, sau cind acesta nu există, exceptând operațiile finale, (finisare) pentru stabilizarea procesului se poate actiona și asupra avansului în sensul creșterii mărimi sale. Pentru conectarea elementului de acordaj după avans EAS_D prin elementele de conectare ECO se deconectează ECO_1 , ECO_2 și un element ECO_4 ce conduce semnalul lui P_{zR} la elementul de execuție - cutie de avansuri - și se conectează

fig.4.27 valurile sale variind în limitele aproximative de 150-250 m/min. În acest caz în schema bloc din fig.6.13 P_{sr} va fi înlocuit cu v_{cr} iar schema bloc va fi conform fig.6.14.

doar ECO₃. În acest fel întreg sistemul este decuplat și procesul de așchierare este condus doar de SCA după antovibratii prin comanda parametrului s , evident că și aceasta este limitat de scula, mecanism de avans etc.

Parametrul P_{sp} , prin valoarea mărimei sale realizează atât selectarea mărimei de referință care să intre în SC_A cît și comutarea mărimei de ieșire pe EAV_p sau pe EAV_d. Atât comutarea cît și selectarea mărimerilor are loc pentru anumite valori ale forței de referință P_{sp} . Cum s-a stabilit [156] în SCA la încărcarea automată a stranțurilor, forța de așchierare depinde de un număr mare de factori, iar forța de referință trebuie să cuprindă în expresia sa pe toți acești, astfel că ea va deveni o funcție de formă (6.22)

$$P_{sp} = f(l, d, x, n \dots) \quad (6.22)$$

l - lungimea piesei de prelucrat [mm]

d - diametrul piesei de prelucrat [mm]

x - cota curentă de prelucrare [mm]

n - forță admisibilă în așchie [daN]

În expresia forței de referință pe lângă parametri acințită în mod deocamdată se ține seama de deformarea sistemului tehnic elastic X_{sp} , iar forma acesteia depinde și de nodul de prindere al piesei [23].

Datorită faptului că în casul prelucrărilor de degroșare și semifinisare prin logica sistemului s-a stabilit reducerea vitezei de așchierare în scopul stabilisirii procesului, precum și faptului că nu există nici în literatură și nici în practică o delimitare a forțelor de așchierare ventru aceste operații, următorul primit de la P_{sp} (V_{sp}) se va realiza comutarea automată a mărimei de referință și a circuitului de acordaj numai între finisare și degroșare împreună cu semifinisare (în funcție de necesități urmând să se stabilească inițial mărimea de referință după care va lucra sistemul, printr-un reglaj efectuat prealabil).

Dacă se ia în considerare relația (6.26) din [156] care exprimă legea de variație a avansului funcție de forță de referință P_{sp} și relațiile (5.20)(5.31) și (5.41) care exprimă

$$s = \sqrt{\frac{P_{sp}}{233 \cdot t}} \quad (6.26)$$

legea de variație a vitezei de așchierare în funcție de parametri regimului de așchierare din condiția de păstrare a unui proces stabil, se stabilește expresia vitezei de așchierare în funcție de forță de

referință pentru cazul desfășurării linioitice a procesului de apăchiere. Relațiile (6.27) și (6.28) exprimă tomai această condiție pentru sistemele cu unu și respectiv cu două grade de libertate

$$v = 6,02 \frac{C_p t^{1,33} k}{P_{xy}^{0,33} h \sin \alpha} \quad (6.27)$$

$$v = 3,07 \frac{C_p t^{0,33} k}{P_{xy}^{0,33} h \sin \alpha} \quad (6.28)$$

Din cele două expresii se poate observa faptul că pe măsură ce forța de apăchiere crește valoarea vitezei de apăchiere se reduse, aspect care se înscrise de fapt în legile care găvernează procesul de apăchiere.

Valoarea forței (de referință P_{xy}) care să realizeze comutare mărimilor de referință și a circuitelor de acordaj poate fi stabilită și din condiția de calitate a suprafeței exprimând forța de referință ca o funcție de, calitatea suprafeței R_g ; unghinurile de atac principal α și secundar α_1 ; raza la vîrf a coulei r , avansul de lucru s , cum este prezentată în (6.29).

$$P_{xy} = f(R_g, \alpha, \alpha_1, r, s) \quad (6.29)$$

Pornind de la expresia (6.7) în care este exprimată mărimea avansului $s = f(R_g, r, \alpha, \alpha_1, t)$ și ținând seama de expresia forței de apăchiere (6.30),

$$P_s = C_{P_s} \cdot t^{x_{P_s}} s^{y_{P_s}} k_{P_s} \quad (6.30)$$

exprimată pe t din (6.30) prin înlocuirea sa în

$$t^{x_{P_s}} = \frac{P_s}{C_{P_s} \cdot s \cdot k_p} \quad (6.31)$$

(6.7) se va obține pentru $x_{P_s} = 1$; $y_{P_s} = 0,75$; $k_p = 1$ expresia (6.30)

$$P_s = 300 C_s \frac{s^{1,4} r^{0,7} t^{0,25}}{(\alpha \alpha_1)^{0,35}} \quad (6.32)$$

unde valorile și exponenții termenilor C_s , R_g , r , α_1 se păstrează din cap. 6.2.

In diagramele din fig. 6.15 sunt prezentate curbele de variație ale forței P_s funcție de avansul s . Curbele sunt ridicate pentru diferite valori ale parametrilor α , α_1 și r . In fig. 6.15

sunt reprezentate curbele de variație ale forței pentru $R_s = 6,3 \mu m$
iar în fig. 6.16 pentru

$$R_s = 3,2 \mu m$$

Tinând seama de valoarea minima ale forței F_s din diagramele $F_s - f(1)$ cît și de valorile maxime ale forței F_s exprimate în (6.32) vom stabili ca mărimi de comutare pentru $F_{sr} = F_{sr\min}$ prin care se

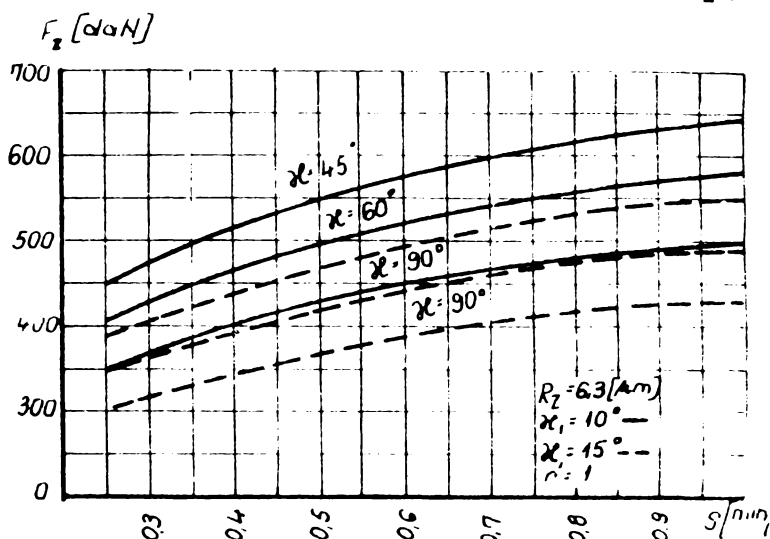


Fig. 6.15

realizând trecerea de la mărimea de referință de degresare și semifinișare la cea de finisare, precum și comutarea de pe circuitul de recordaj de degresare pe cel de finisare.

Declanșarea seinalului de comandă la elementul de execuție, din momentul când amplitudinea autovibrățiilor din proces atinge mărimea stabilită, ca fiind de referință, în scopul stabilizării procesului ar conduce neîndeelnit la depășirea pragului de stabilitate determinat duratei transiterii din momentul declanșării seinalului pînă la stabilirea procesului. Pentru evitarea acestui fenomen, valoarea mărimi seinalului A ce se compară cu mărimea de referință, transpusă în tensiuni este necesar să fie diminuită astfel încît în EC_A la comparația celor două să existe inegalitatea (6.33)

$$U_R \cdot K \leq U_r \quad (6.33)$$

$$U = U_R \cdot K \quad (6.34)$$

$$U \leq U_r$$

U – seinalul captat la traductor și amplificat [v]

U_r – valoarea mărimi de referință [v]

K – constantă de siguranță

Se observă că, din (6.34) constanta K are rol de siguranță în sistem. K se stabilește pentru fiecare casă de prelucrare separat.

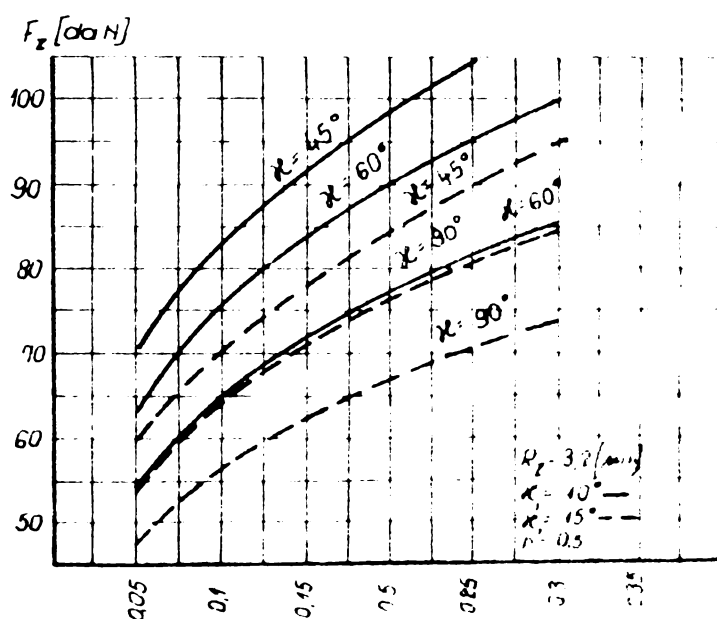


Fig. 6.16

$$k_{\text{fin}} = \frac{2A_{\text{min}}}{R_{\text{fin}}}, \quad k_{\text{degr}} = \frac{2A_{\text{min}}}{R_{\text{degr}}}.$$

$2A_{\text{min}}$, $2A_{\text{min}}$ - amplitudinile minime de prelucrările de finisare, respectiv degreșare [μm]

R_{fin} , R_{degr} - rugositățile corespunzătoare prelucrările de finisare, respectiv degreșare [μm]

Lăsând în considerare mărimele cele mai frecvente ale amplitudinii autovibrărilor, stabilite experimental - pentru finisare $A_{\text{min}} = 2,74\text{ m}$ iar la degreșare, $A_{\text{min}} = 14,5\text{ m}$, vom stabili în funcție de aceste valori, valoarea constantei K din (6.34).

Astfel se va stabili la finisare $K = 0,843$ iar la degreșare $K = 0,862$, din cele două mărimi vom alege pe cea mai mică, astfel că valoarea semnalului din (6.34) va fi de forma $U = 0,843 \cdot U_p$. Atât timp cît în sistem se păstrează inegalitatea (6.33) se apreciază că procesul este stabil și el se deosebește fără perturbații și modificări ale parametrilor regimului de apăiere, casă în care lucrează doar sistemul de bază [156]. Cînd inegalitatea (6.33) nu se mai păstrează în EC, prin compararea celor două mărimi A cu A_p , semnalul rezultat este transmis elementelor de acordaj EAV sau BAV. În cazul cînd SCA încearcă după viteză în funcție de mărimea de referință care lucrează în sistem, se comută prin elementul EC semnalul rezultat în EC, pe circuitul de acordare corespondator EAV, pentru prelucrarea de finisare sau EAV_D pentru prelucrarea de degreșare.

Prin elementul EAV_p se comandă creșterea de viteză în mod progresiv cu razia geometrică a cutiei de viteze, astfel că în cazul unei prelucrări cu o viteză V_1 , comutarea elementelor de execuție (cuplaje electromagnetice) se va face progresiv după cum urmează:

$$\begin{aligned} &\text{de la } V_1 \rightarrow V_{1+1} = V_1 \ell \\ &\text{de la } V_{1+1} \rightarrow V_{1+2} = V_1 \ell^2 \\ &\vdots \quad \vdots \quad \vdots \\ &\text{de la } V_{i+n-1} \rightarrow V_{i+n} = V_1 \ell^{n-1} \end{aligned} \tag{6.35}$$

Această logică este valabilă pentru prelucrările de finisare pe strunguri.

In cazul operațiilor de degreșare prin elementul EAV_D se comandă reducerea progresivă de viteză astfel că în cazul același

viteze V_i , reducerea de viteză se va face astfel

$$\begin{aligned} \text{de la } V_i &\rightarrow V_{i-1} = V_i \ell^{-1} \\ \text{de la } V_{i-1} &\rightarrow V_{i-2} = V_i \ell^{-2} \\ \vdots &\quad \vdots \quad \vdots \\ \text{de la } V_{i-n-1} &\rightarrow V_1 = V_i \ell^{-(n-1)} \end{aligned} \quad (6.36)$$

In ambele cazuri creșterea respectiv reducerea de viteză are loc doar pe durata stabilizării procesului după ce se restabilește inegalitatea (6.33) procesul se consideră stabilizat și el se va desfășura cu vitesa la care să-a ajunc.

Pentru edificarea asupra celor prezentate în fig.6.17 este prezentată diagrama de variație a vitezei (deci a turăilor) prin rețile ℓ la finisare și degrogare, precum și modul de redificare a amplitudinii A a autovibrățiilor ajungindu-se în final ca mărimea amplitudinii să se situeze sub mărimea de referință A_{RF} la finisare sau A_{RD} la degrogare, în acestă zonă procesul fiind considerat stabil.

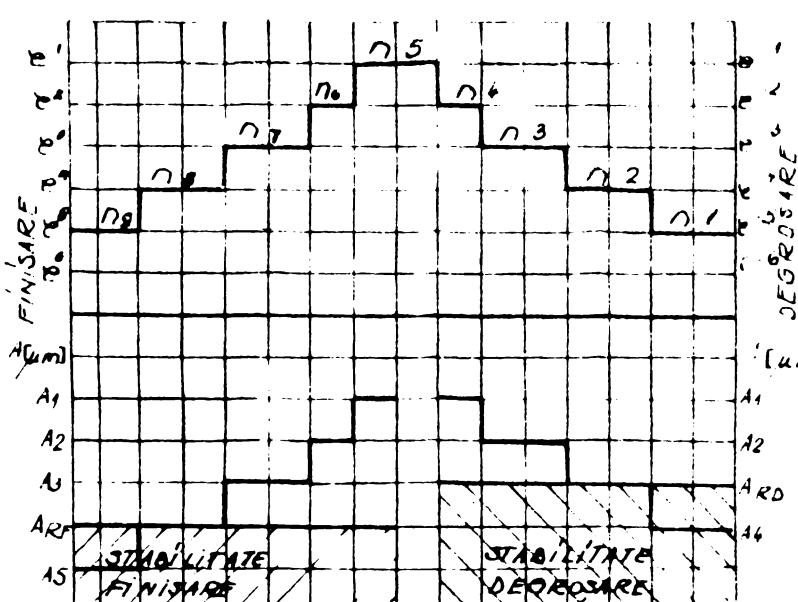


Fig.6.17

In sistemul de bază puterea efectivă în acțiune se compară în permanență cu puterea disponibilă la motor, astfel că elementul EAV_p, ce comandă creșterea de viteză se transmite semnalul din blocul de comparare a puterilor care limitează creșterea de viteză dictată de condiția de stabilizare a procesului, din condiția de menținere în permanență a inegalității $P_{ef} < P_{act}$.

In sistemul de bază puterea efectivă în acțiune

se compară în permanență cu puterea disponibilă la motor, astfel că elementul EAV_p, ce comandă creșterea de viteză se transmite semnalul din blocul de comparare a puterilor care limitează creșterea de viteză dictată de condiția de stabilizare a procesului, din condiția de menținere în permanență a inegalității $P_{ef} < P_{act}$.

In casul cînd nu se lucrează cu sistemul automat de încărcare (sistemul de bază) adică cînd avansul nu se modifică datorită unei condiții impuse, se poate lucra cu SCA, folosind ca aranžament comandat avansul s. Din același fig.6.13 se observă că elementul de acordaj pentru avans SAS_D este dispus pe circuitul de degrogare.

Atunci cînd se lucrează cu CA după avans pentru stabilizarea procesului se comandă creșterea acestuia pînă la stabilizarea procesului, creștere care este și ea limitată de una din condițiiile cunoscute, scule, mecanism de avans, etc.

Revenind la (6.35) și (6.36) expresii ce definesc legea de variația a vitesei de așchiere la finisare și degreșare și analizând cinemateca acțiunilor principale se poate spune că schimbarea din mers și sub sarcină a turăției este posibilă. În ce privește comanda schimbării în ordine progresivă, crescătoare sau descreșcătoare a turăților aceasta se realizează prin intermediul unui bloc de comandă [103]

Elementele ce compun schema bloc pentru comanda după antovibratii sunt în majoritate elemente normalizate, fapt ce nu crește dificultățile în materializarea unei astfel de scheme. Astfel că blocurile EC; BC; ES, sunt circuite integrate - CI - și diode de fabricație internă. În BMR - mărimile de referință pentru degreșare și finisare se realizează cu potențiometru liniare, iar pentru comenziile pe diverse circuite se utilizează relee intermedii. Prin urmare se poate aprecia că realizarea unei astfel de scheme bloc care mai include o serie de rezistențe ce nu ridică nici un fel de dificultate constructivă sau de utilizare a unor elemente greu de obținut, ea fiind în acest sens perfect realisabilă, folosind elemente electronice de fabricație internă.

Conclusii

Din cele prezentate se deservind cîteva concluzii ce pot fi considerate drept baza de plecare în comanda adaptivă după antovibratii a procesului de așchiere.

- La prelucrarea de degreșare stabilisarea procesului se realizează prin reducerea consecutivă a vitezei prin schimbarea de turății astfel ca $V_1 > V_{1+1} > V_{1+2} > \dots > V_{1+n}$

- Reducerea vitezei se limitează la valori de 20-30 m/min valori la care de fapt procesul s-a stabilit în toate casările.

- La prelucrarea de finisare stabilisarea procesului se realizează prin creșterea consecutivă a vitezei prin schimbarea treptelor de turății astfel ca $V_1 < V_{1+1} < V_{1+2} < \dots < V_{1+n}$

- Creșterea de viteză în acest caz este limitată de puterea efectivă, în toate cazurile finit s-a constatat că frecvent la valori obișnuite procesul se stabilizează fără a fi necesară intervenția elementului de limitare a puterii

- În BMR se pot introduce și alte valori decât cele prezentate în lucrare atunci cînd se necesită realizarea unor măsurări pretențioase de precisiune dimensională și calitate, operație ce nu conține nici o dificultate din punct de vedere tehnic.

**Cap.7. INCERCARI EXPERIMENTALE SI INTERPRETAREA
REZULTATELOR OBTINUTE PENTRU COMANDA ADI-
PTIVA DUPA AUTOVIBRATII PE STRUNGURI**

7.1. Mărimea de referință și dependența ei de R_z

In cap.5 s-a stabilit, că mărimea de referință care să conducă procesul de achiziție în sistemele cu C.A după autovibratii, este valoarea mărimii rugozității, valoare care este indicată în STAS pentru diverse procedee și operații de prelucrare. Incercările experimentale efectuate în acest sens și-au propus ca prim scop verificarea dependenței dintre rugozitate și dublul amplitudinii autovibrățiilor iar pe de altă parte investigarea posibilităților ce le oferă pentru exemplificare, modelul SP-630-NC- privind precizia dimensională și de formă a suprafețelor prelucrate.

7.1.1. Determinarea experimentală a mărimii rugozității R_a

In cap.5.2.1. din prezenta lucrare s-au stabilit valorile teoretice ale rugozității ce trebuie să servească drept mărimi de referință în sistemul C.A după autovibratii. Comparativ cu aceste valori impuse de normele STAS privind calitatea suprafețelor prelucrate, în diferite clase de precizie și cu diferite procedee tehnologice s-a determinat și experimental valoarea rugozității în scopul testării capacitatii mașinii de a realiza astfel de calitate. La stabilirea teoretică a rugozității R_a s-a folosit expresia (7.1)

$$R_a = 2 \frac{A}{4,5} [\mu\text{m}] \quad (7.1)$$

$2A = R_z$ - amplitudinea undei vibratoare $[\mu\text{m}]$

Valorile stabilite s-au comparat cu cele experimentale obținute pe modelul SP-630-NC. Măsurările în casul modelului menit s-au efectuat după direcția x - ce coincide cu axa de rotație a pielei și după direcția y, normală la suprafața de prelucrat [168]. În diagrama din fig.7.1, drept concluzii la cele spuse mai înainte se observă că în ambele direcții x și y legea de variație - cu mici excepții se păstrează - valorile amplitudinilor diferind însă și anume ele au valori mai mari după direcția y, de propagare a undei vibratoare.

Pe același model SP-630-NC s-au efectuat măsurări ale

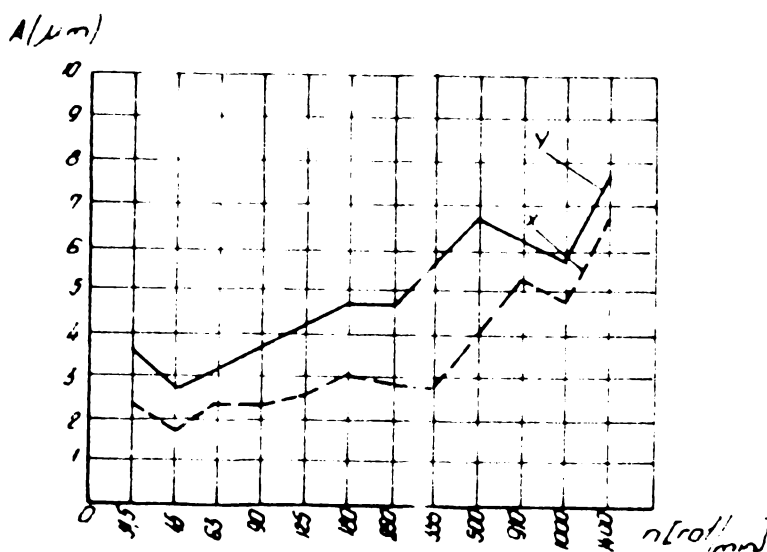


Fig.7.1

$s = 0,07 \text{ mm/rot}$ și adâncimea $t = 0,8 \text{ mm}$ pentru o

turație maximă $n = 1400 \text{ rot/min}$. Măsurările s-au efectuat pe aparatul Talyrend Talysurf pentru determinarea rugozității R_a .

Valorile din tabel precum și diagramele presentate reprezintă rezultatul influenței globale a perturbațiilor asupra procesului de aschierare. Din cele

două diagrame presentate se observă că doar turațile cu care s-au

Tab.7.1.

Ro - rugozitatea în μm Ac - abaterea de circularitate în μm n - turație s - avans L - distanța de optiere						
Grupe	n [rot/min]	s/mm/rot	t /mm)	Ro	Ac μm	
II	124	0,07	0,8	0,55	2,5	
	175	0,07	0,8	0,55	3,5	
	250	0,07	0,8	0,6	2,4	
	355	0,07	0,8	0,55	2,8	
	500	0,07	0,8	0,65	2,65	
	710	0,07	0,8	0,6	6,5	
I	1400	0,035	0,05	1	3,3	

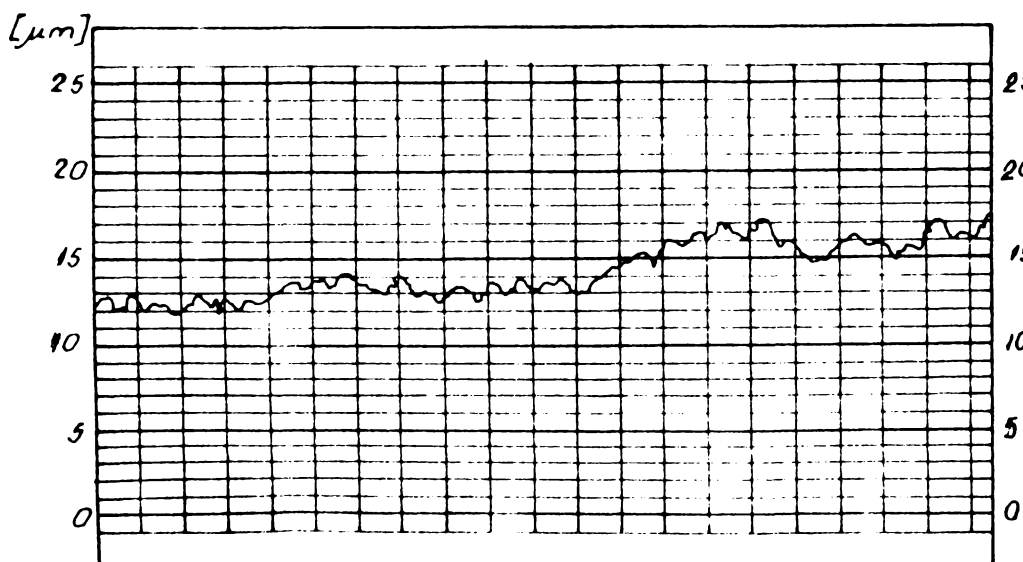


Fig.7.2

Acest fapt mai conduce și la concluzia că mașina are o rigiditate și capacitate de amortizare bună.

rugozității R_a pentru fiecare din turațile mașinii și de asemenea pentru abaterile de la circularitate. Încercările s-au efectuat pe epruve din alumini iar măsurările s-au efectuat pe aparate de măsură Talyrend și Talysurf rezultatele experimentale fiind cuprinse în tab.7.1.

In fig. 7.2 și 7.3 se rezolvă [168] două din măsurările efectuate cu avansul

Tab.7.1.

efectuant încercările cu valori extreme, între abaterile de circularitate ca și între cele de rugozitate R_a diferențele sunt mici fapt ce a condus la concluzia că acest tip de mașină are capacitate de a asigura o calitate bună a suprafețelor.

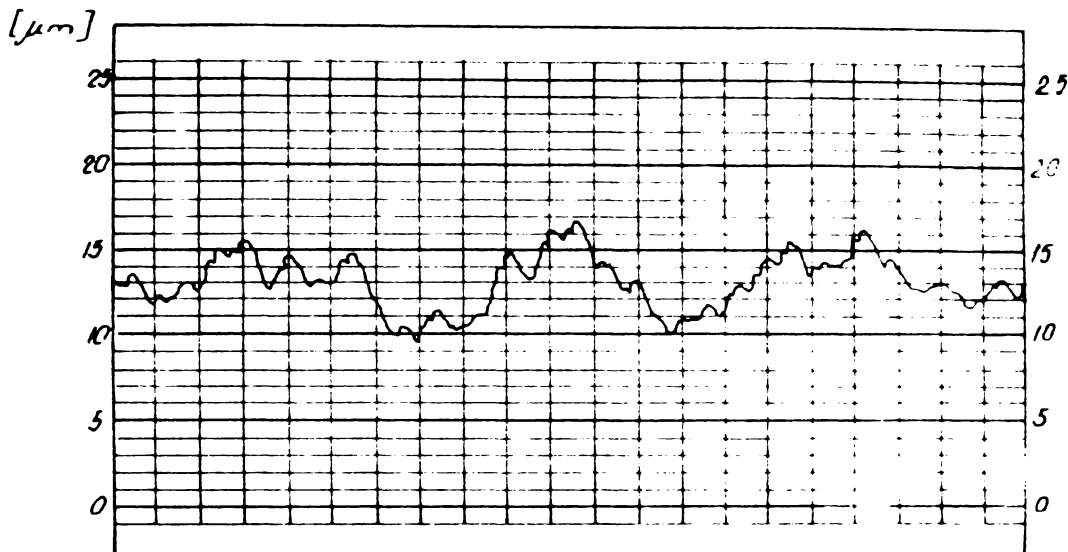


Fig.7.3

7.1.2. Determinarea experimentală a legăturii dintre R_z și 2λ

Dată fiind importanța determinării valorii mărimeilor de referință, pentru C.A. după autovibrății la așchierea pe strunguri, pe liniile valorile cunoscute și consenzate în literatura tehnică [2] [83] [97] [129] s-a procedat și la determinarea experimentală a legăturii ce există între mărimea rugosității suprafețelor prelucrate și cea a amplitudinii autovibrățiilor ce apar în desfășurarea procesului de așchiere. Încercările experimentale s-au efectuat pe două tipuri de strunguri, deci pe mașini cu caracteristici diferite.

Încercările experimentale s-au efectuat pe un strung normal model SN 500 și pe un altul tip S₃, folosind pentru determinarea rigidității în așchiere metoda obiectului excentric la prelucrarea între vîrfuri. Determinările rigidității s-au efectuat în laboratorul catedrei de T.C.N. a I.P.T.V. Timișoara folosind un dispozitiv

special pentru acest proces. A cărui construcție este prezentată în fig.7.4. Pentru eliminarea influenței rigidității piesei dispozitivul este construit rigid.

- Datorită excentricității inelilor în timpul unei rotații adâncimdea de așchiere variază de la

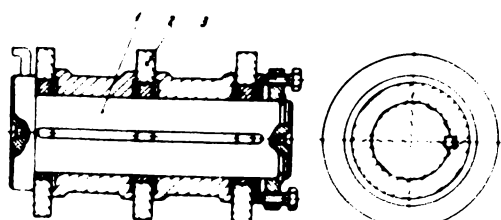


Fig.7.4.

t_{\min} la t_{\max} și prin urmare variază și forța de așchiere, fenomen ce conduce la variația deformărilor - deci a rigidității - sistemului tehnicologic elastic. La prelucrarea pe cele două strunguri s-a

nornit de la o valoare $t_{\min} = 0,2 \text{ mm}$. și s-a ajuns la $t_{\max} = 4 \text{ mm}$. Avansul care s-a folosit în timpul aşchierii $S = 0,24 \text{ mm/rot}$ iar viteză $v = 50 \text{ m/min}$, cuțitul cu plăcuță de carbură metalică T15K6 a avut geometria $\gamma = 0^\circ$; $\angle = 15^\circ$; $\lambda = 0$; $H = 45$; $H_c = 10^\circ$ iar raza la vîrful sculei $r = 1 \text{ mm}$. După strunjirea, cu un comparator s-au măsurat deformatiile pe circumferința piesei prelucrata din 30°

în 30° pentru o rotație completă 2 în scopul reprezentării variației rigidității la încărcarea mașinii de la t_{\min} la t_{\max} – precum și la deșărcarea mașinii – de la t_{\max} la t_{\min} . Deformatiile maxime y_{\max} și minime y_{\min} știind că în general deformarea este dată de expresia $y = \frac{L}{R_{\text{mag}}}$ sint date de relațiile [28]

$$y_{\max} = \lambda C_p \cdot S^{0,75} \cdot t_{\max} \cdot \frac{1}{R_{\text{mag}}} \quad (7.1)$$

$$y_{\min} = \lambda C_p \cdot S^{0,75} \cdot t_{\min} \cdot \frac{1}{R_{\text{mag}}} \quad (7.2)$$

iar diferența celor două deformări, respectiv excentricitatea piesei este funcție de diferența adincimilor de aşchiere aceasta exprimându-se cu relația:

$$y_{\max} - y_{\min} = \lambda C_p \cdot S^{0,75} (t_{\max} - t_{\min}) \frac{1}{R_{\text{mag}}} \quad (7.3)$$

Notindu-se

$$y_{\max} - y_{\min} = \Delta_p \text{ și } t_{\max} - t_{\min} = \Delta_0$$

raportul celor două mărimi $\frac{\Delta_0}{\Delta_p} = c$ este corecția și aceasta intră în expresia rigidității

$$\lambda = \frac{R_{\text{mag}}}{y} = \lambda C_p \cdot S^{0,75} \cdot c$$

λ – raportul forțelor de aşchiere

C_p – coeficient constant de aşchiere

Pentru încercările efectuate pe cele două tipuri de mașini-unelte s-a ridicat curbele de rigiditate ale acestora.

In fig.7.5 se reprezintă rigiditatea în aşchiere pentru

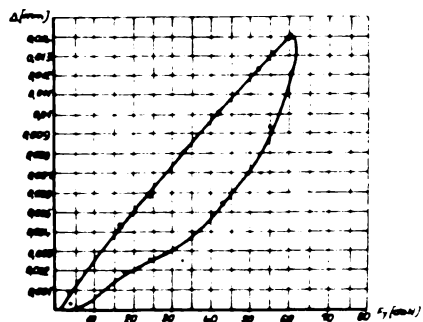


Fig.7.5

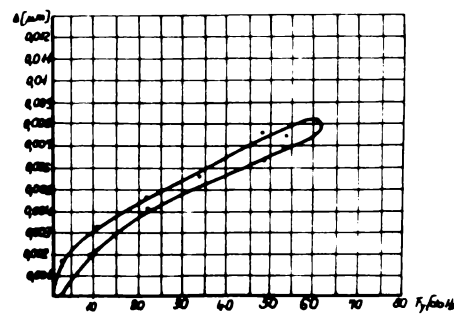


Fig. 7.6

strungul model S₃, iar în fig. 7.6 aceiași caracteristică pentru strungul model SN 500.

Din cele două curbe de rigiditate se observă că modelul SN 500 este mai rigid decât strungul S₃, fapt evidentiat clar și de curbele de rigiditate statică din fig. 7.7a și fig. 7.7b pentru modelul S₃, ridicate prin măsurători statice. Caracteristicile și în așchiere a

celor două tipuri de strunguri influențează în mod direct precizia și calitatea prelucrării. Acest lucru a fost scos în evidență prin încercările experimentale efectuate pe cele două mașini pe care

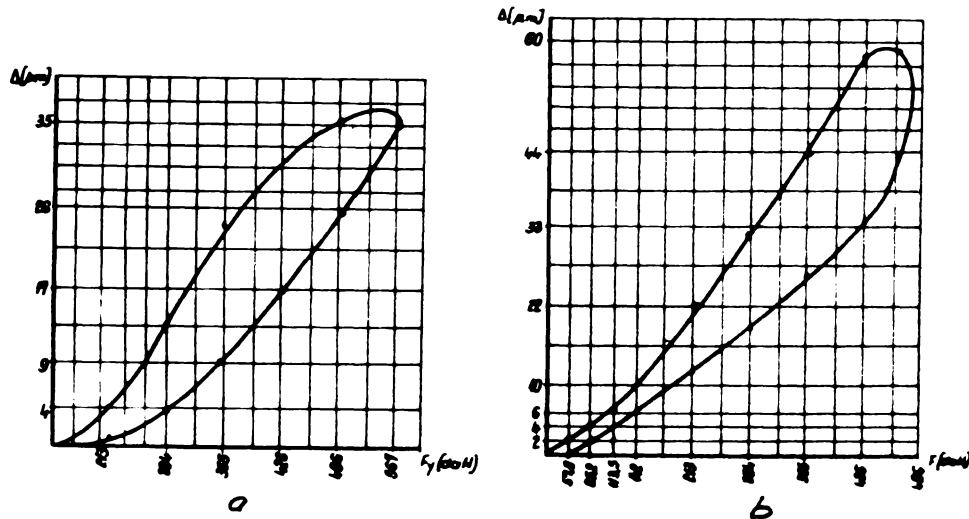


Fig. 7.7.

s-au efectuat măsurători de vibrații precum și de rugozitate a suprafețelor prelucrate.

La experiențele efectuate pentru măsurarea autovibrațiilor s-a folosit instalația prezentată schematic în fig. 7.8.

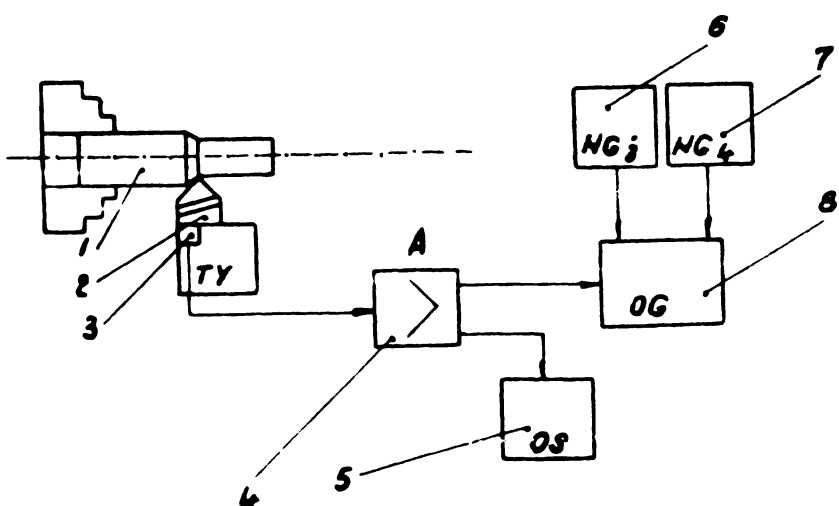


Fig. 7.8

E 0101 s-a folosit pentru control, înregistrările efectuindu-se pe oscilograful - înregistrator - tip 12LS-1. În schema de principiu mai sunt prezentate și două alimentatoare NG3 și NG4 posibile 6 și 7

In scopul stabilirii unei legături precise între dublul amplitudinii autovibrațiilor 2A și rugozitatea suprafeței prelucrate R₃, s-au efectuat măsurători ale rugozității R₃ pe aceleași piese și pentru aceleași regimuri de așchiere - pentru care s-au făcut măsurările

Pentru măsurare s-a folosit un cupor accelerometric tip KD 35a 04MD care s-a fixat pe portușit împreună cu scula de așchiat semnalul de la traductorul 3 a fost amplificat în amplificatorul 4 tip RPT-11025 de unde s-a transmis la un osciloscop 5 și un oscilograf 3. Osciloscopul

de vibrații - și pe aceeași stranguri. Schema pentru măsurările de rugozitate este prezentată în fig. 7.9. și ea cuprinde piesa de incercat 1, palpatorul rugosimetrului 2, rugosimetrul Brüel Kjaer 3, amplificator RFT 11025, 4, oscilograf înregistrator tip 1215-1, 5 și alimentatoarele MG 3 și MG 4 posibile 6 și 7.

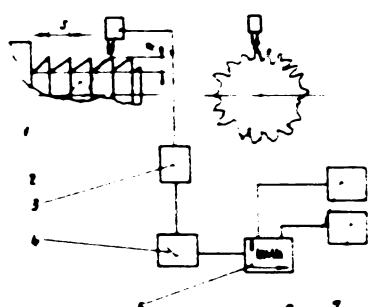


Fig. 7.9.

metria $\alpha = 90^\circ$, $\alpha_1 = 15^\circ$; $\angle = 8^\circ$; $\lambda = 0$; $r = 1$. Pentru stabilirea cît mai precisă a determinărilor s-a lucrat cu o lungime în consolă a cuțitului de 1-40 mm. Încercările experimentale s-au efectuat pentru viteze de 130; 105; 83 m/min, cu avansuri de 0,056; 0,1; 0,16; 0,2; 0,28; 0,56; 1; 1,25; 1,3 mm/rot la adâncimi de 0,2; 0,4; 1 mm.

Măsurarea rugozității R_a s-a efectuat după fiecare măsurare a autovibrățiilor. Aceste măsurători s-au efectuat pe urmele de prelucrare după o elice nu pe generatoarea piesei și prin urmare rugozitatea R_a nu a fost influențată de mărimea avansului. Măsurările

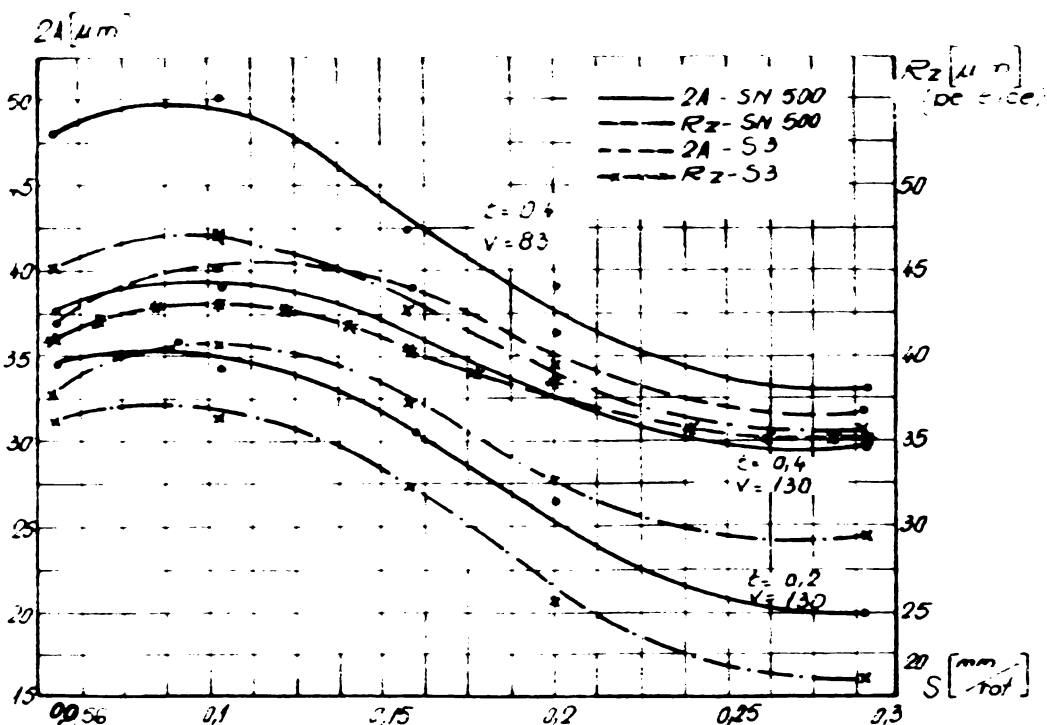


Fig.7.10

Pentru rugozitate s-au efectuat cu avansul cuplat de la măsurarea vibrățiilor iar pentru așezarea virfului palpatorului pe virful spirei - fig. 7.9. s-a deplasat căruciorul cu $\frac{S}{2}$ după ce în prealabil s-a fixat poziția virfului palpatorului pe virful cuțitului.

Resultatele măsurătorilor de vibrații și de rugozitate pe cele două tipuri de stranguri SN500 și S₃ sunt prezentate în diagramele din fig. 7.10 și 7.11. Trecerea de la mărimea măsurată R_a a rugozității la R_z inscriși în diagrame s-a făcut folosindu-se

relația (7.1). Din cele două diagrame se observă că pentru strungul

cu rigiditatea mai redusă valoarea amplitudinii vibrației este mai mare, iar cît privește diferența dintre dublul amplitudinii autovibrăriilor

$2A$ și înălțimea microasperităților R_z , aceasta se datorează erorilor de măsurare, dar important este faptul că

înălțimea celor două curbe

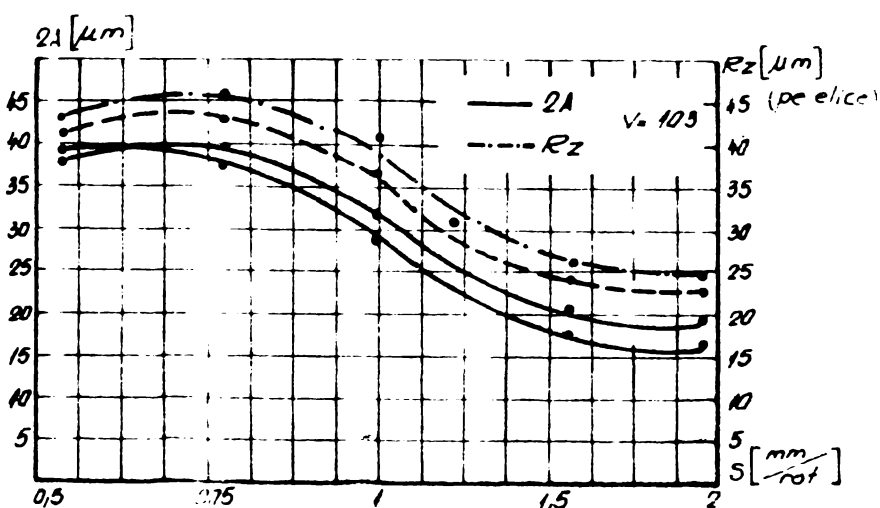


Fig.7.11

de variație a amplitudinii și a rugozității este aceeași. Se poate deci aprecia că mărimea rugozității poate fi folosită ca mărime de referință în C.A după autovibrări.

7.1.3. Concluzii

Deși se cunoaște că dublul amplitudinii autovibrăriilor $2A$ este egal cu rugozitatea suprafeței R_z măsurată pe elicea urmei lăsată de sculă pe suprafața prelucrată, încercările efectuate nu au făcut decât să confirme odată în plus acest lucru. Dată fiind importanța pe care o are rugozitatea R_z în acest caz - ea fiind mărime de referință pentru C.A. - s-a considerat necesară efectuarea unor astfel de încercări în scopul evaluării acestor două mărimi cît și a analizării comportării diferitelor tipuri de strunguri în regim dinamic.

Concluzia esențială - confirmată și în acest caz - este că rugozitatea suprafeței poate servi drept mărime de referință în sistemul de C.A. după autovibrări. Acest lucru este valabil în toate cazurile datorită faptului că mărimea amplitudinii autovibrăriilor $2A$, este egală cu rugozitatea suprafeței R_z .

7.2. Determinarea experimentală a dependenței amplitudinii autovibrăriilor de parametrii v și s ai regimului de așchiere

In cap.4 s-au prezentat pe larg parametrii regimului de așchiere care influențează în cel mai înalt grad autovibrăriile la așchiere în general și în mod special pe strunguri. Dintre aceștia vitesa de

așchiere și avansul, (cu anumite restricții) s-a arătat că pot servi ca mărini comandate pe strung pentru plassarea în permanentă a procesului de așchiere în limitele unor domenii de stabilitate. Lucrarea nu și-a propus să studieze și legile de variație ale domeniilor de stabilitate în funcție de caracteristicile dinamice ale mașinilor unelte - deși acesta este un domeniu puțin explorat la ora actuală - dar ea a urmărit să analizeze teoretic și experimental influența regimului de așchiere asupra autovibrățiilor și a stabilității de asemenea teoretic și experimental posibilitățile ce le oferă acești parametri - în deosebi v și s - de a fi utilizări într-o comandă adaptivă ca mărini comandate în funcție; fie de deformațiile STE $P_g = f(v)$, [156] de precizia dimensională sau geometrică a piesei ce se prelucrează, de modul de încărcare a MU, fie de mărimea autovibrățiilor din procesul de așchiere $v=f(A)$ aspect pe care îl analizează prezentă lucră-

S-a arătat că viteza de așchiere este parametru care poate fi folosit cel mai bine ca mărime comandată într-un sistem de comandă adaptivă după autovibrății, influența sa asupra calității și preciziei de prelucrare fiind minimă. Spre deosebire de viteză, avansul prin folosirea sa ca mărime comandată introduce unele restricții de natură tehnologică și de comandă.

7.2.1. Dependența amplitudinii autovibrățiilor de viteza de așchiere la strunjire

Parametrul regimului de așchiere, care poate fi folosit cu mult succes ca mărime comandată în sistemul cu comandă adaptivă după autovibrățiile din procesul de așchiere, este vitesa și aceasta datorită posibilităților ce le oferă această mărime, acestea fiind prezentate în concluziile de la cap.4. Încercările experimentale efectuate pe un strung, model S₃, au avut drept principal scop stabilirea dependenței dintre amplitudinea autovibrățiilor Δ și vitesa de așchiere v pentru diferite valori ale avansului s și adâncimii de așchiere t . Instalația folosită este cea prezentată în fig.7.8, materialul folosit la încercările efectuate a fost OLC45, iar scula folosită pentru așchiere a fost cuțită drept cu plăcuță de carbură metalică T15K6 având unghiul de atac principal $\alpha = 90^\circ$; unghiul de atac secundar $\alpha_1 = 15^\circ$; unghiul de degajare $\gamma = 0^\circ$; unghiul de așezare $\varphi = 6^\circ$, raza la vîrful sculei $r = 0,5$ mm. În fig.7.12 este prezentată instalația folosită la încercările efectuate pe strungul S₃ în care 1 este cuțitul, 2 traductorul de vibrății tip KD 35a 0411

3, oscilograf înregistrator, 4 și 5 surse de alimentare 73 4 și 73 5.

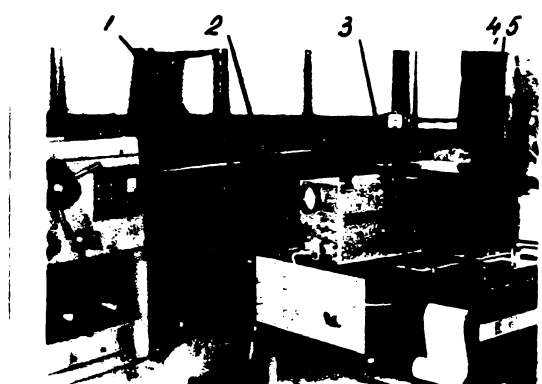


Fig.7.12

La etalonarea efectuată pentru traductorul KD 35a 0411 s-a folosit un dispozitiv de etalonare construit la I. P.T.V. Timișoara Catedra de Mecanica Teoretică având o amplitudine de etalonare constantă $A = 2,63$ mm.

Incerările efectuate s-au desfășurat atât pentru operațiile de degroșare cît și pentru cele de finisare.

In fig. 7.13. este reprezentat portcūțitul și modul de prindere a traductorului de vibrații în care s-a notat 1 portcūțitul, 2 cūțitul, 3 traductorul de vibrații și 4 piesa de prelucrat.

Tinând seama de algoritmul stabilit în 6.3.1 și respectiv 6.3.2. pentru casul prelucrărilor de finisare și degroșare, în care s-a stabilit creșterea vitezei de aşchiere. În prelucrarea de finisare pentru stabilisarea procesului de aşchiere și reducerea vitezei de aşchiere la prelucrările de degroșare pentru stabilisarea procesului, experimentările efectuate au avut drept scop verificarea algoritmului stabilit în procesul efectiv de aşchiere.

Din numărul mare de măsurători efectuate – de peste 500 – folosindu-se diferite combinații de regimuri de aşchiere s-au ridicat diagrame de variație a amplitudinii autovibrăriilor funcție de viteză de aşchiere.

7.2.1.1. Determinări pentru prelucrarea de degroșare

Din algoritmul stabilit 6.3.2, în casul trecerilor de degroșare pentru stabilisarea procesului de aşchiere vitesa reală se va reduce față de cea economică astfel încât amplitudinea autovibrăriilor să se situeze sub mărimea de referință stabilită pentru acest tip de operărie. Folosind instalația prezentată în fig.7.12 pentru măsurătorile efectuate, s-au ridicat curbelor de variație a amplitudinii autovibrăriilor în funcție de diferite valori ale vitezelor de aşchiere. Pentru adâncime de aşchiere de 2 mm. și avansuri de 0,35 : 0,4 : 0,56, folosind un cūțit de strung cu geometria lui fininte

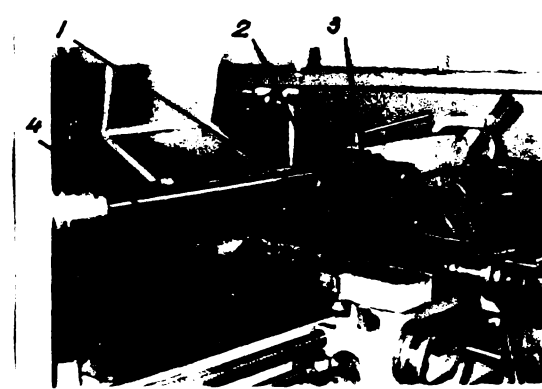


Fig.7.13

presentată s-au ridicat curbele din fig.7.14. Din figura se observă că pe măsură ce viteza de aşchierare scade valoarea amplitudinii autovibrăriilor se reduce, redarea fiind mai pronunțată pentru avansuri de aşchierare cu valori mai ridicate. Acest lucru este evidențiat și în diagrama din fig.7.15 în care curbele sunt ridicate pentru aceiași parametri decât mărimele avansului fiind diferite: 0,16; 0,2; 0,28; 0,315. Comparând aceste curbe stabilită experimental cu cele prezentate în cap.5.3.1.2 se observă că ele au aceeași liniaritate fapt ce confirmă valabilitatea teoretică a rezultatelor experimentale obținute.

In fig.7.16 se reprezintă înregistrarea amplitudinii autovibrării pentru cazul prelucrării unui oțel OLC45 având parametri regimului de aşchierare $t = 2 \text{ mm}$; $S = 0,28 \text{ mm/rot}$ la vitezele de aşchierare 149,3 m/min pentru domeniul a; 118,5 m/min pentru domeniul b; 94,8 m/min pentru domeniul c; 74,6 m/min pentru domeniul d și 47,4 m/min pentru domeniul e. In fig.7.17 este prezentată înregistrarea amplitudinii autovibrăriilor pentru

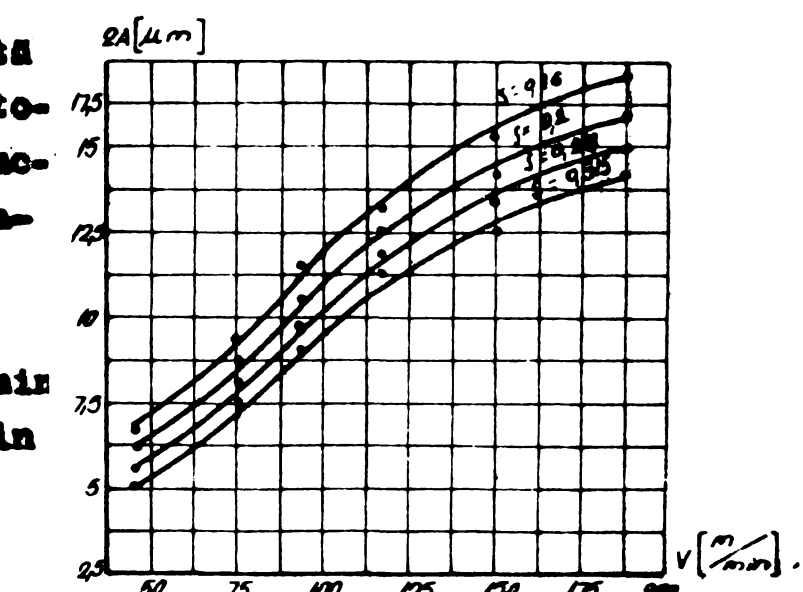


Fig.7.15

casul prelucrării același tip de material cu aceeași adâncime de aşchierare dar cu avansul $S = 0,35 \text{ mm/rot}$ la viteze de 188 m/min pe domeniul b și 117,7 m/min pe domeniul e.

Din diagramele prezentate cît și din înregistrările amplitudinii autovibrăriilor se observă că pe măsură reducerei vitezei de aşchierare, amplitudinile scad, deci că procesul se stabilizează. De remarcat că înregistrările efectuate în fig. 7.16 s-au efectuat la prelucrarea după urme ale unui avans $s = 0,315 \frac{\text{mm}}{\text{rot}}$,

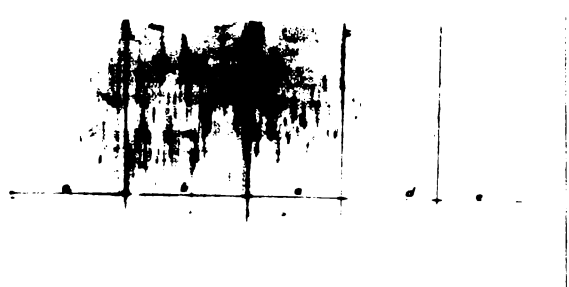


Fig.7.16

rii vitezei de aşchierare, amplitudinile scad, deci că procesul se stabilizează. De remarcat că înregistrările efectuate în fig. 7.16 s-au efectuat la prelucrarea după urme ale unui avans $s = 0,315 \frac{\text{mm}}{\text{rot}}$,

iar înregistrările din fig.7.17 s-au efectuat pentru o prelucrare după urme ale unui avans $s=0,4 \text{ mm/rot}$.

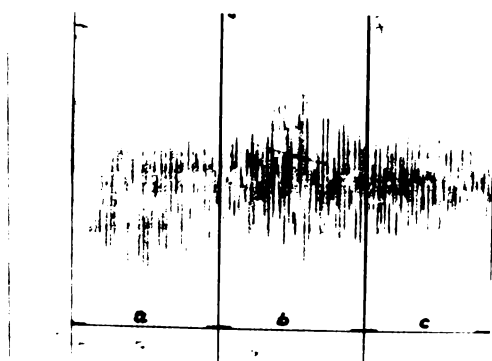


Fig.7.17

efectuat în 3(trei) zone distincte ale piesei; I, lîngă păpușă mobilă; II la mijlocul piesei și III lîngă păpușă fixă.

In diagramma din fig.7.18

sunt reprezentate curbele de variație ale amplitudinii autovibrățiilor în cele trei zone.

Măsurările s-au efectuat pentru prelucrarea cu $t=2\text{mm}$ la viteze de $150,7$; $132,5$ și $100,4 \text{ m/min.}$ pentru avansuri de $0,28$; $0,315$ și $0,4 \text{ mm/rot.}$ Din diagramă se observă că procesul se stabilisează cu micșorarea vitezei, mai mult, în zona III la avansul $s=0,4 \text{ mm/rot}$ amplitudinea este minimă chiar și la viteze mari. In fig.7.19 este reprezentată înregistrarea pentru avansul

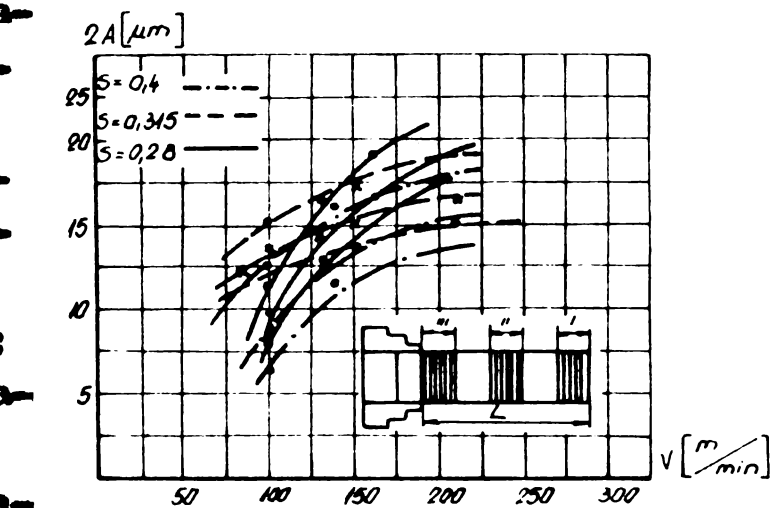


Fig.7.18

de $0,315 \text{ mm/rot}$ în care se observă valorile mai reduse ale amplitudinii autovibrățiilor în zonele I și III, lucru de altfel normal dacă se ține seama de faptul că în aceste zone rigiditatea este mai mare decât la mijlocul piesei.

Din cele analizate se poate spune că într-adevăr concluziile teoretice din cap.5 sunt confirmate de încercările experimentale, prin aceea că procesul de aşchiere la degroşare se stabilisează prin reducerea vitezei de aşchiere. În acest sens utilizarea vitezei pentru operațiile de degroşare ca parametru ce stabilisează procesul este pe deplin justificată.

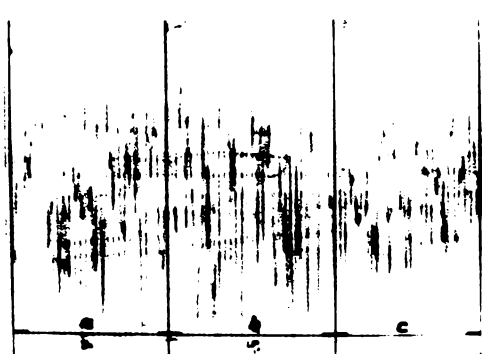


Fig.7.19

din cap.5 sunt confirmate de încercările experimentale, prin aceea că procesul de aşchiere la degroşare se stabilisează prin reducerea vitezei de aşchiere. În acest sens utilizarea vitezei pentru operațiile de degroşare ca parametru ce stabilisează procesul este pe deplin justificată.

7.2.1.2. Determinări pentru prelucrarea de finisare

In 6.3.1 la stabilirea algoritmului pentru casul operațiilor de finisare s-a luat în considerare același parametru viteză, pentru care s-a stabilit drept cale principală în stabilizarea procesului de aşchiere, creșterea vitezei de aşchiere. Înțind sensul de algoritm stabilit, încercările experimentale s-au efectuat în acest sens. S-a folosit ca material OLC45 având $\phi = 80$ mm și $l=750$ mm cujulul pentru strunjit a avut geometria $\alpha = 90^\circ$; $\beta = 10^\circ$; $\gamma = 8^\circ$; $t = 0$; $r = 0,5$.

In diagrama din fig. 7.20 s-a reprezentat variația amplitudinii cu viteză la prlucrarea cu o adâncime $t=0,5$ mm pentru valori ale evansului de $0,112; 0,14; 0,2; 0,28$ mm/rot la viteze de aşchiere de $200; 251$ și $401,9$ m/min. Se observă că la vitezele de aşchiere mari amplitudinea autovibrării este mult diminuată față de viteză inițială. Același lucru se remarcă și din diagrama din fig. 7.21, în care s-au reprezentat curbele de variație a amplitudinii funcție de viteză pentru adâncimea de aşchiere $t=1$ mm

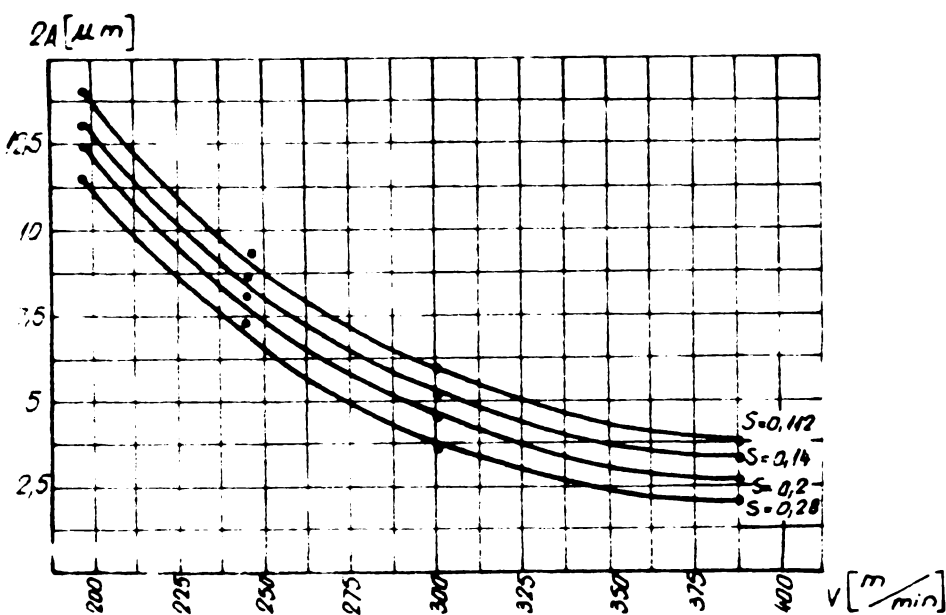


Fig.7.20

la evansuri de $0,112; 0,2; 0,28$ mm/rot și pentru aceleși viteză de aşchiere. In comparație cu fig.7.20 la această diagramă pentru aceleși valori ale evansului și ale vitezei de aşchiere amplitudinea autovibrării este mai mare, fapt ce confirmă afirmațiile legate

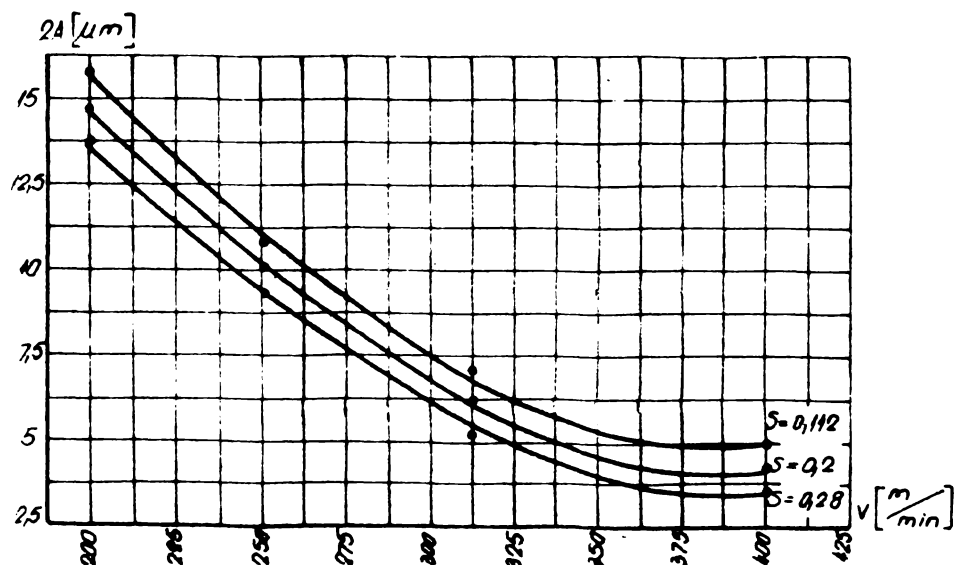


Fig.7.21

de influență adâncimii de așchiere asupra autovibrățiilor amană că acestea se reduc pe măsură ce adâncimea de așchiere scade.

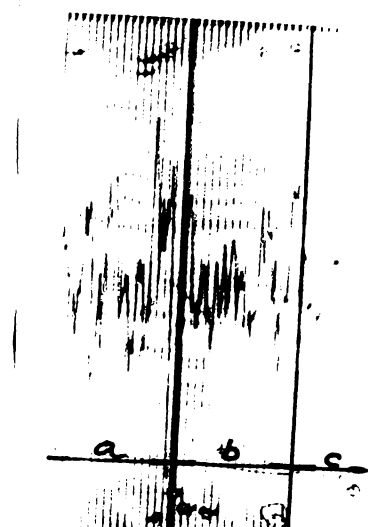


Fig. 7.22

Inregistrările prezентate în fig. 7.22 și 7.23 întăresc afirmațiile de mai înainte llegate de influența vitezei de așchiere asupra autovibrățiilor. În fig. 7.22 s-a înregistrat amplitudinea autovibrățiilor pentru cazul prelucrării cu o adâncime de așchiere $t=1$ mm, cu avans = 0,28 mm/rot la viteze de 200,9 m/min pentru domeniul a; 251 m/min pentru domeniul b și 401,9 m/min pentru domeniul c. Se observă că pentru $v=401,9$ m/min valoarea amplitudi-

nilor este mult diminuată față de cele-lalte cazuri. Același lucru se remarcă și din înregistrarea din fig. 7.23, care s-a efectuat pentru aceleasi regimuri de așchiere doar că valoarea avansului a fost mai mică; 0,2 mm/rot.

Cele prezентate ne conduc la aceeași idee enunțată în 6.3.1 că la prelucrarea pe strunguri, stabilisarea procesului de așchiere, în scopul obținerii unor precizii ridicate este posibilă prin creșterea vitezelor de așchiere, chiar și un timp mai îndelungat, peste valoarea celor economice.

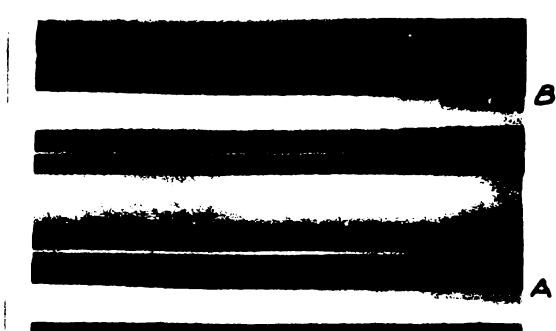


Fig. 7.24

Prin urmare, cele două probe prezентate în fig. 7.24 sunt un argument în plus la ideea acceptată în algoritm de a stabiliza procesul prin modificarea valorii vitezelor de așchiere. Prin reducerea vitezelor se observă că microneregularitățile s-au redus semnificativ pentru ultima valoare a vitezelor următoare de pe piesă fiind foarte fine. Prelucrarea acestor probe s-a efectuat cu $t = 1,5$ mm; $s = 0,56$ și la viteze de 198,4; 156,2; 124; 99,2 și 78,1 m/min piesa A iar piesa B s-a prelucrat cu aceleasi viteze dar cu $t = 2$ mm și $s = 0,4$ mm/rot. Se poate afirma că și în acest caz vîteza poate servi la stabilisarea procesului, prin creșterea ei evident în limitele admise de puterea echivalentă la arborole

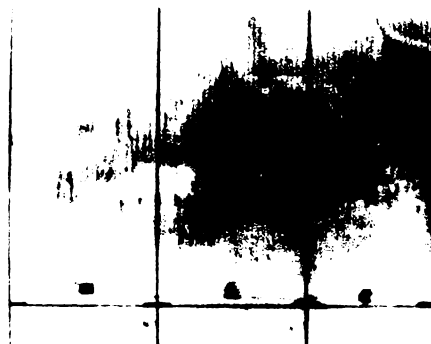


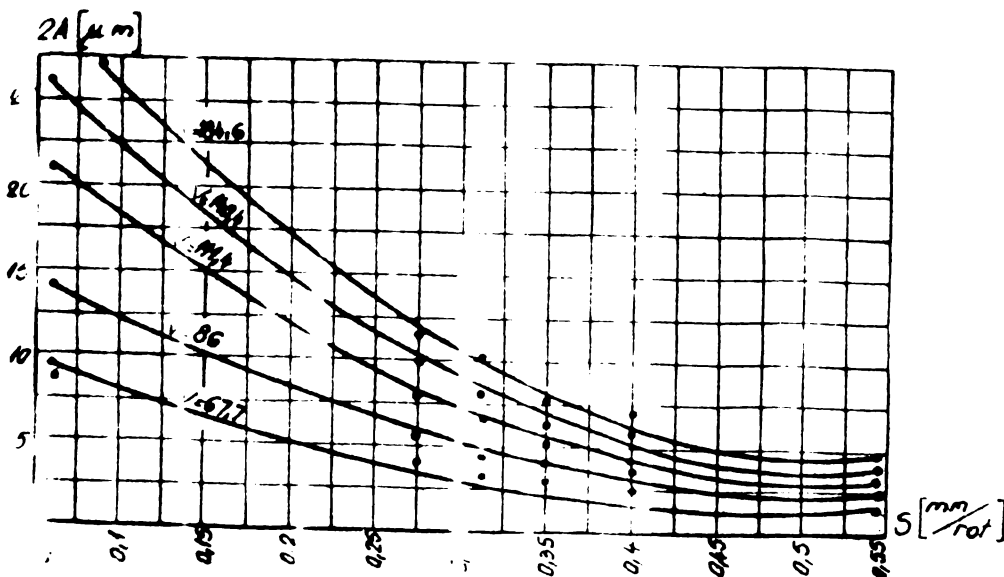
Fig. 7.23

Cele două probe prezентate în fig. 7.24 sunt un argument în plus la ideea acceptată în algoritm de a stabiliza procesul prin modificarea valorii vitezelor de așchiere. Prin reducerea vitezelor se observă că microneregularitățile s-au redus semnificativ pentru ultima valoare a vitezelor următoare de pe piesă fiind foarte fine. Prelucrarea acestor probe s-a efectuat cu $t = 1,5$ mm; $s = 0,56$ și la viteze de 198,4; 156,2; 124; 99,2 și 78,1 m/min piesa A iar piesa B s-a prelucrat cu aceleasi viteze dar cu $t = 2$ mm și $s = 0,4$ mm/rot. Se poate afirma că și în acest caz vîteza poate servi la stabilisarea procesului, prin creșterea ei evident în limitele admise de puterea echivalentă la arborole

principal al strungului, această limitare fiind inclusă în schema bloc și logica stabilită.

7.2.2. Dependența amplitudinii de avans.

Din studiul stabilității procesului de aşchierare cap.5 se poate remarcă că toți cei trei parametri ai procesului de aşchierare v, s și t au o anumită cotă de influență asupra acestuia. În condițiile în care în CA a unei mașini - în spatele a strungurilor - reglarea automată a încărcării se face prin reglarea mărimei avansului - acest parametru nu poate fi luat în considerare ca mărime comandată în scopul stabilisirii procesului după autovibratii. În CA a strungului SP-630-MC la care reglarea automată a încărcării [156], în scopul păstrării constante a deformatiilor la prelucrare se face prin reglarea mărimei avansului, acest parametru nu poate fi utilizat ca mărime comandată în CA după autovibratii pe același strung. În caz general însă cînd se utilizează în SCA după autovibratii pe strung avansul este un parametru care stabilizează procesul de aşchierare prin creșterea sa și se recomandă utilizarea acestuia în deosebi la prelucrările de degreșare. Pentru motivul mai înainte expus, nu s-a efectuat un număr mare de încercări experimentale, dar din cele efectuate rezultatele sunt concluzante. Utilizând instalația prezentată în fig.7.12 încercările experimentale s-au efectuat pe un strung SNA500, utilizîndu-se același material, OLC45 cu aceeași geometrie a sculei, doar că în acest caz s-a păstrat vîteza constantă și s-a modificat mărimea avansului. Încercările de acest gen s-au efectuat numai pentru operații de degreșare, pentru finisare un astfel de sistem nu satisfac. În diagramele din fig.7.25 și 7.26 sunt prezentate curbele



Pig.7.25

de variație ale amplitudinii autovibrărilor. Încercările s-au efectuat cu adâncimi de prelucrare $t=1,5$ mm la vîteze de aşchierare 184,6; 140,4; 111,4; 86 și 67,7 m/min și avansuri de aşchierare 0,056; 0,1;

$0,2; 0,28; 0,315; 0,35; 0,4; 0,56$ mm/rot pentru curbele ridicate în diagrama din fig.7.25, iar pentru cele din fig.7.26 s-au păstrat aceleași valori ale avansului, modificindu-se doar $t = 2$ mm iar pentru viteză s-au ales valorile: $163,2; 128,5; 102; 81,6; 64,2$ m/min.

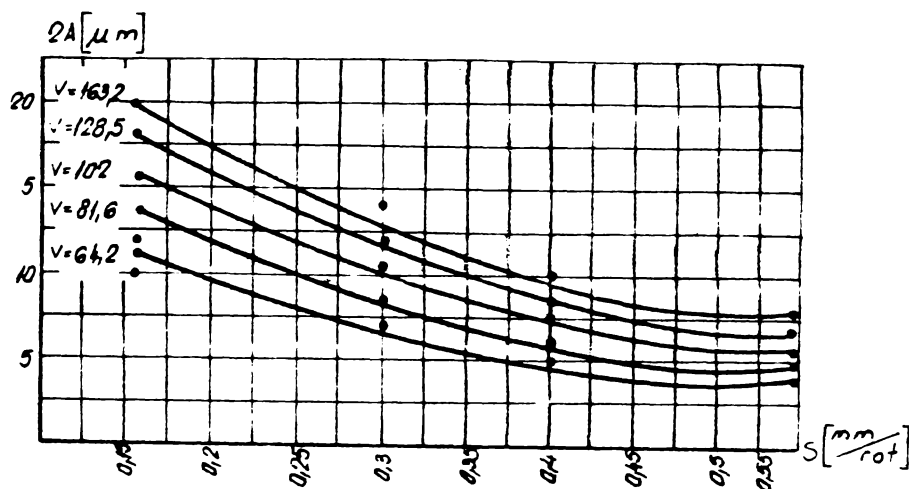


Fig.7.26

vent folosite la degroșare - de peste $0,5$ mm/rot, aceasta că fie sub $10 \mu\text{m}$.- adică sub mărimea de referință pentru aceste operații. Din aceleași diagrame se mai observă și faptul că, pe măsură ce viteza de aşchiere scade, se reduce și amplitudinea autovibrățiilor. Comparând curbele din cele două diagrame se observă că cele din fig.7.25 pentru care $t=1,5$ mm stabilisează mai repede procesul decât curbele din fig.7.26 unde $t = 2$ mm, fenomenul se datorează variației adâncimii de aşchiere, cunoscut fiind, că reducerea adâncimii stabilizează procesul de aşchiere.

Inregistrarea pentru casul prelucrării cu adâncime de aşchiere $t = 2$ mm la o viteză $v = 102$ m/min pentru valori ale avansului de $0,56$ - zona d; $0,4$ zona c, $0,28$ zona b și $0,16$ zona a este prezentată în fig.7.27 din care se observă efectul puternic stabilizator la

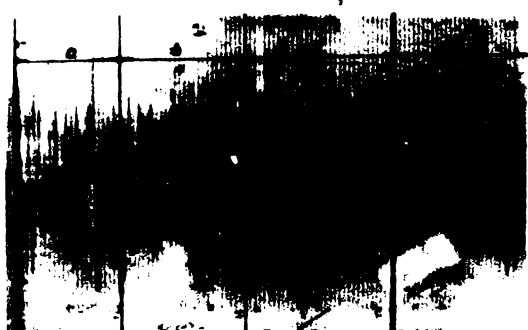


Fig.7.27

niul de stabilitate, cu vibrații mult diminuate, prin mărirea avansului. Din fig.7.28 se observă înlocuirea motorului electric de mers rapid de pe cutia căruciorului, cu un hidromotor orbital tip OMP 50

Din cele două diagrame se poate observa că avansul stabilisează puternic procesul de aşchiere.

Pe măsură ce valoarea avansului crește amplitudinea autovibrățiilor se reduce ajungind ca la valori ale avansului - frec-

ări de aşchiere. O altă serie de încercări s-au efectuat pe strungul SMA 500 dar folosind instalația prezentată în fig.7.28. Încercarea a avut drept principal scop urmărirea perioadei transitorii - a procesului de aşchiere - trecerea din domeniul de instabilitate caracterisat prin vibrații puternice, în dome-

în acest fel avansul devine independent, el fiind asigurat de un sistem hidrostatic, care conține următoarele elemente: P filtru de ulei, P pompa hidrostatică, SD supapa de descărcare, M momentul pentru controlul presiunii în circuitul hidraulic, HMR hidromotorul rotativ, a cărui turată este măsurată de tahogeneratorul TG printr-un angraj de multiplicare (7:1).

La ieșirea din HMR este dispus servoregulatorul de viteză RV, o supapă automată de aerisire SAA și supapa de contrapresiune SCP. Pompa P debitează în sistem la presiunea maximă reglată prin supapa de descărcare SD.

Debitul refulat la hidromotorul rotativ HMR care pune în miș-

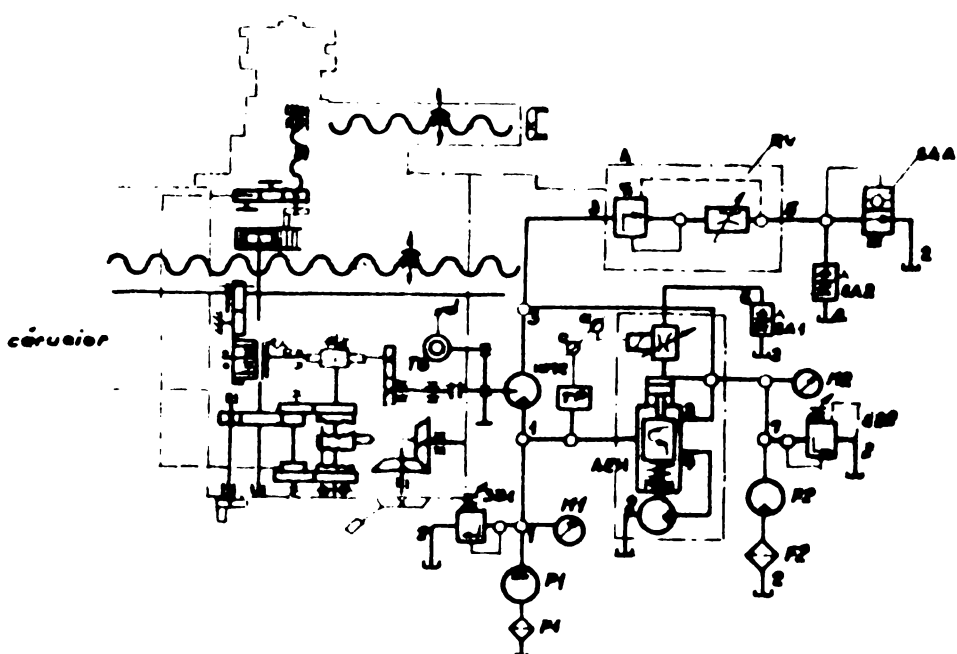
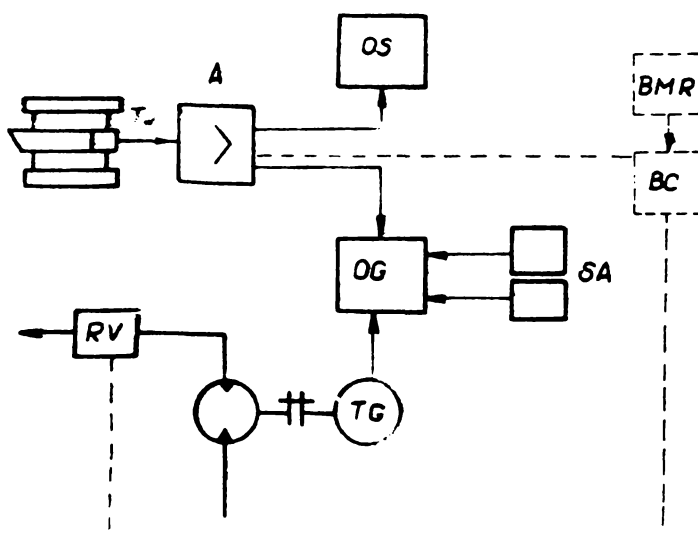


Fig.7.28

care sistemul de avans prin lanțul cinematic al acestuia. Servoregulatorul RV dispus la ieșirea din HMR reglează valoarea vitezei de avans. Încercările experimentale s-au efectuat pe strungul SNA 500 folosindu-se montajul din

fig.7.28 iar măsurările de vibrații s-au executat după schema din fig.7.29 în care: T_v este un traductor accelerometric de vibrații, A amplificator de tensiune, OS osciloscop, OG oscilograf, SA surse de alimentare pentru oscilograf. Se observă că în oscilograf intră semnale de la traductorul T_v



și de la tahogeneratorul TG care măsoară turata hidromotorului HMR. În fig.7.29 cu linie întreruptă s-a reprezentat BC blocul de comparare și HMR, blocul mărimilor de referință care nu s-au utilizat pentru aceste incercări, reglarea avansului efectuindu-se manual la

Fig.7.29

servoregulatorul SR în funcție de valorile citite pe oscilograful OS. În cazul folosirii însă, ca mărime comandată a avansului în CA după autovibrății, la instalația prezentată adăugarea celor două

elemente EMR și BC întregesc schema prin care în condiții efective de producție se poate realiza CA a strungului.

In fig.7.30 este prezentată vederea generală a instalației folosite, în care 1 portcușitul cu traductor, 2 servoregulator de viteză, 3 oscilograf, 4 osciloscop, 5 surse de alimentare.

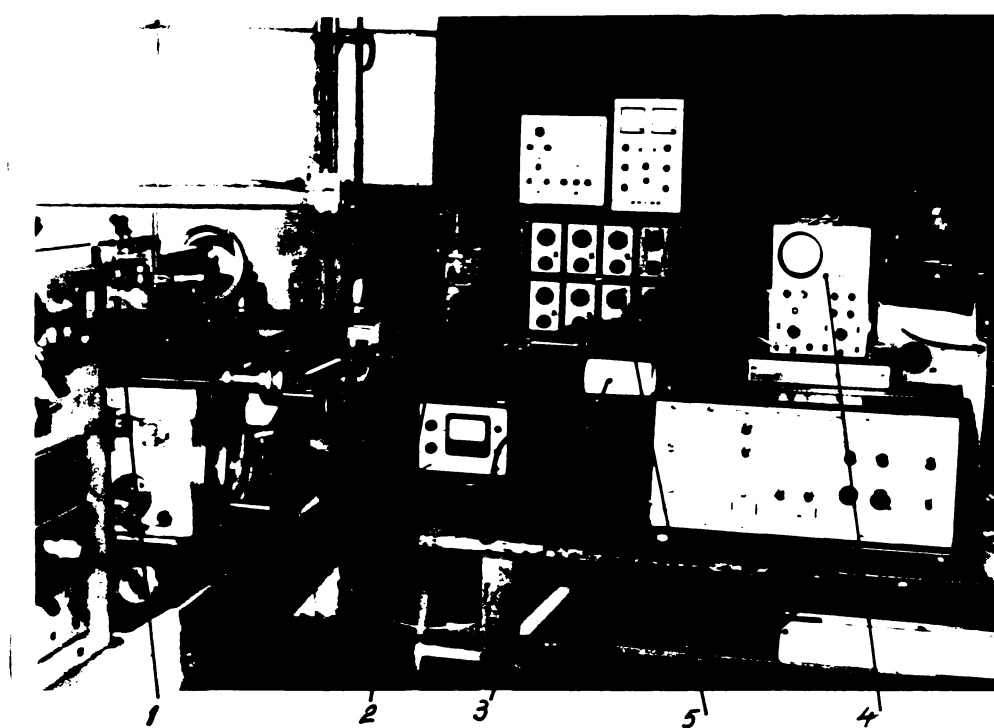


Fig. 7.30

In instalația folosită după cum s-a arătat intră și ansamblul hidromotor cu tahogenerator. Montajul acestor elemente este prezentat în fig.7.31 în care s-a notat 1 tahogenerator, 2 hidromotor Dantoss tip IMP 50, 3 placă intermediară de adaptare, 4 angrenaj (7:1) 5 căruciorul strungului. Se observă că tahogeneratorul este fixat printr-o flanșă de hidromotor fiind angrenat cu arborele acestuia prin roțile dințate 4, prin care se realizează semnalul folosit la înregistrarea mărimi avansului. In montajul folosit rămâne utilizabil și avansul mecanic al strungului. Hidromotorul folosit 176 pentru funcționarea în regim continuu are următorii parametri: $n = 800$ rot/min la 40 l/min, $M = 4,5$ daN m la $p = 70$ daN/cm². Caracteristica, moment constant la turăție variabilă, recomandă utilizarea acestui motor în sistem cu reglare continuă a turăției, iar din punct de vedere energetic se caracterizează printr-un randament satisfăcător $\eta = 0,80$. Calitățile hidromotorului au fost testate la mers în gol - pe stand - cît și montat pe cărucior. In montajul de cărucior s-au

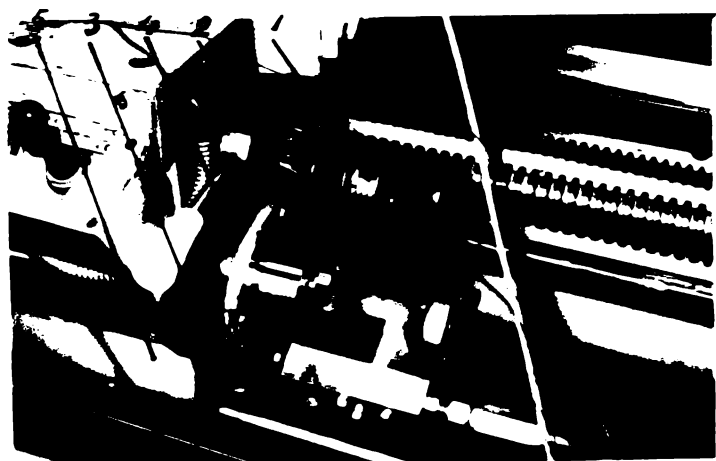


Fig.7.31

Efectuat măsurători fig.7.32 prin care s-a urmărit stabilitatea

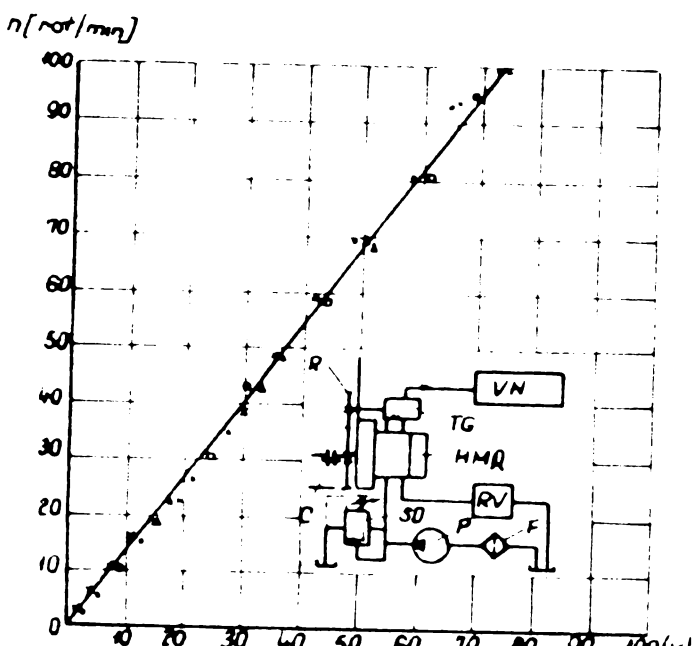


Fig.7.32

culese la voltmetrul numeric VN. la care s-a urmărit turatia hidromotorului. Măsurările s-au făcut pe un lot de piese (material OLC45 cu ϕ 70 mm, sculă cu plăcuță HS10) pentru adâncimi de aşchiere cuprinse între 0,5-3 mm la un avans constant. Montajul din fig.7.32 a servit și la stabilirea funcției $TG = f(n_{HMR})$ reprezentată în aceeași figură. S-au efectuat și încercări în regim de durată pentru a se studia influența temperaturii și vîscozității asupra caracteristicilor motorului, în care concluziile au fost favorabile fapt ce a condus la utilizarea acestui montaj.

Regulatorul de viteza RV cu două căi al firmei Vichers cu caracteristicile $Q=80 \text{ l/min}$ la $p_{max} = 150 \text{ daN/cm}^2$ este reprezentat în fig.7.33. Regulatorul 1 este fixat pe postamentul 2 din regulator pornesc furtunele 3 de intrare și ieșire.

In fig.7.34 este reprezentată curba caracteristică $Q = f(\theta)$ (debit funcție de unghiul de rotație θ al rozetei sertarului), în aceeași figură fiind reprezentată și schema de montaj ce a servit la efectuarea măsurătorilor pentru stabilirea dependenței $Q=f(\theta)$. Pe abscisă s-au mai indicat și cele două domenii A și B (din cele 5 existente A...E) iar pe ordinată

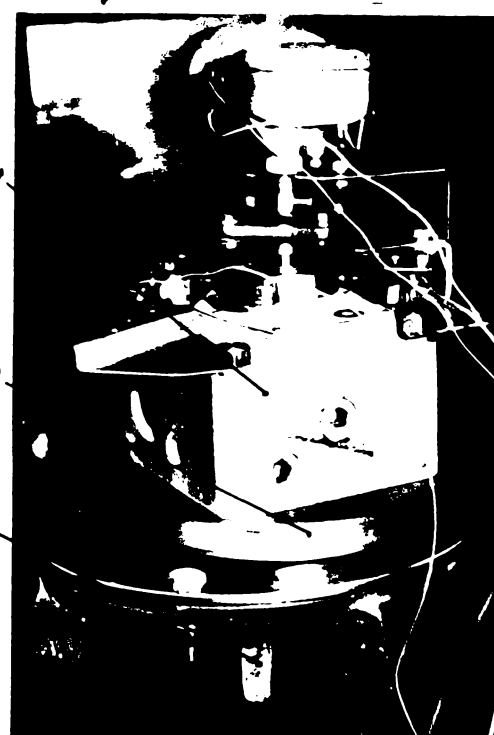


Fig.7.33

s-a trecut și echivalenta avansului longitudinal mm/min. Se constată

că pentru debitul existent în sistem, variația sa la modificarea unghiului de rotire al rozetei este lineară în intervalul

$$\theta = \frac{3\pi}{2} \div \frac{5\pi}{2}$$

Extremele curbei paralel cu abscisa pe prima parte datorită insensibilității regulatorului la debite foarte mici, iar pe ultima parte datorită plafonării debitului de

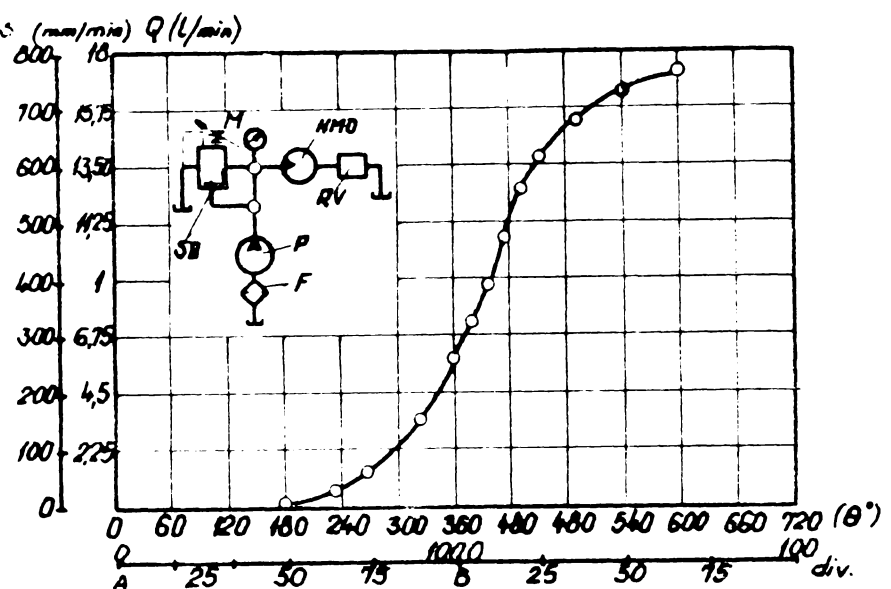


Fig.7.34

lucru sub capacitatea disponibilă a regulatorului. La achizierea probelor pentru aceste experimentări s-a folosit un portcuțit 1 cu rigiditate redusă fig.7.35 în care s-a fixat scula 2 de prelucrat cu plăcuță din carburi metalice T15K6, pe acesta fixau-se traeducto- rul de vibrații 3 tip 35 a 04110, acesta fiind protejat de așchile rezultate în urma procesului de achiziere.

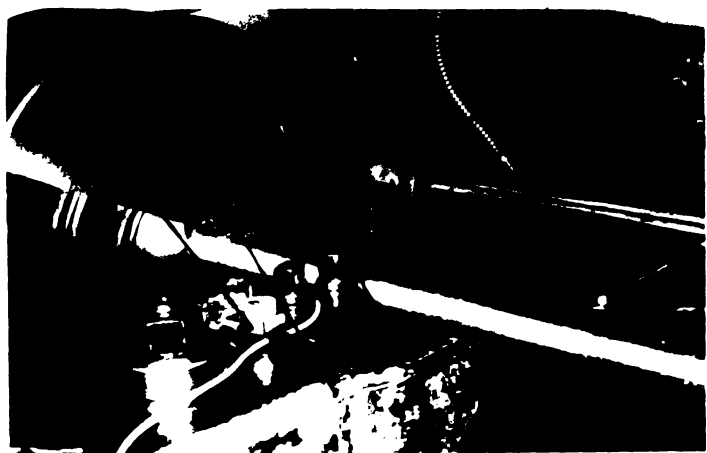


Fig.7.35

In fază inițială (pentru avansul prezentat) amplitudinea autovibră- ţilor avea valoarea $46,3\mu\text{m}$. prin modificarea avansului de la $0,128\text{ mm/rot}$ la $0,56\text{ mm/rot}$. amplitudinea autovibră- ţilor a scăzut ceea ce se observă din fig.7.36 la $9,3\mu\text{m}$. Înregistrarea prezentată în fig. 7.37 s-a efectuat pe un oțel OLC45 cu $t = 1\text{ mm}$ $\omega = 300\text{ rot/min}$; $\delta = 0,09\text{ mm/rot}$. și din această figură se observă o atenuare a amplitudinii autovibră- ţilor de la $64\mu\text{m}$ la $7\mu\text{m}$. prin creșterea a- vansului de la $0,09\text{ mm/rot}$. la $0,55\text{ mm/rot}$.

In cele ce urmează se vor reprezenta cîteva înregistrări efectuate pe instalația prezentată. In figura 5.36 este reprezentată înregistrarea centru prelucrarea unui oțel OLC45 cu regimul de achiziere $t=1,5\text{ mm}$; $n=500\text{ rot/min}$; $\delta=0,128\text{ mm/rot}$. Înregistrarea prezintă amplitudinea auto- vibră- ţilor, iar b avansul.

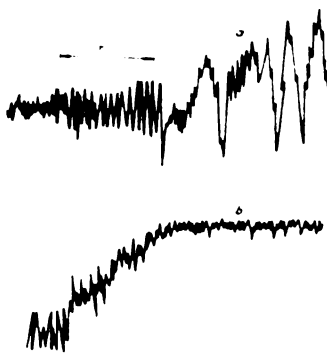


Fig. 7.36

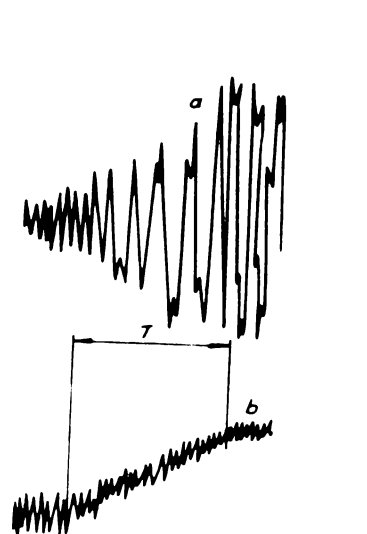


Fig. 7.37

Din analiza celor două înregistrări cît și din diagramele prezentate în fig. 7.35, 7.36 se remarcă tendința de stabilizare a procesului de aşchierie cu creșterea avansului la aşchierarea pe strunguri, fapt evidentiat clar în fig. 7.36 și 7.37 unde s-a realizat înregistrarea simultană a variației avansului, înregistrarea a și a amplitudinii autovibrățiilor, înregistrarea b.

7.2.3. Concluzii

Vîzavis de considerațiile teoretice expuse în cap. 4, încercările experimentale efectuate pe strungul SNA 500 cu o mare diversitate de regimuri, deci de condiții de aşchierie, au avut darul de a întări aceste considerații și de a evidenția rolul pe care filii ai cei doi parametri v își au regimului de aşchierie în stabilisarea procesului de aşchierie pe strunguri

- rigiditatea mașinilor unelte și respectiv a STE joacă un rol important în desfășurarea linășită a aşchieriei, stabilitatea unui proces depinzând în mare măsură de aceasta.

- la viteze de aşchierie ridicate și joase procesul se stabilizează, fapt confirmat de înregistrările presentate la cap. 7.2., chiar dacă acestea nu se mențin tot timpul în limitele viteselor economice, știut fiind că durabilitatea crește substanțial cu reducerea autovibrățiilor [56]

- avansul este parametrul ce stabilizează puternic procesul de aşchierie dar folosirea sa în acest scop este limitată. În cazul strungului SP-630-NC încărcarea automată se realizează pe seama variației avansului fapt ce înălță posibilitatea folosirii sale în stabilisarea procesului (cind se lucrează cu SI) și de asemenea

la operațiile finale unde se necesită o calitate a suprafeței cel puțin constantă dacă nu și ridicată. Exclusind aceste două aspecte se poate fi folosit cu bune rezultate în stabilisarea procesului de așchieră, evident însă că aceasta presupune trecerea la un avans independent.

7.3. Elemente specifice SCA după autovibratii, construcția și încercarea lor.

7.3.1. Blocul electronic pentru comanda adaptivă după autovibratii (CAVB)

Cum s-a prezentat în cap.6 schema bloc, conținând logica (SCAVB) fig.6.13 a fost concepută și realizată într-o structură originală, compactă și simplă, în construcția ei utilizându-se componente electronice de fabricație internă. În schema bloc fig.6.13 traductorul de vibratii T_v și amplificatorul A sunt componente ce nu sunt analizate în cadrul construcției considerate. Decizia pe care trebuie să o ia SCAVB este funcție de semnalul U_v ce se transmite de la traductorul T_v prin amplificatorul A la blocul de compara-

rare BC_A , acesta fiind materializat prin schema electronică prezentată în fig.7.38. Revenind la fig. 6.13 se observă că semnalul U_v ce intră în BC_A se compară în permanență cu mărimele de referință din blocul mărimilor de referință MMR. Acest bloc în schema de principiu din

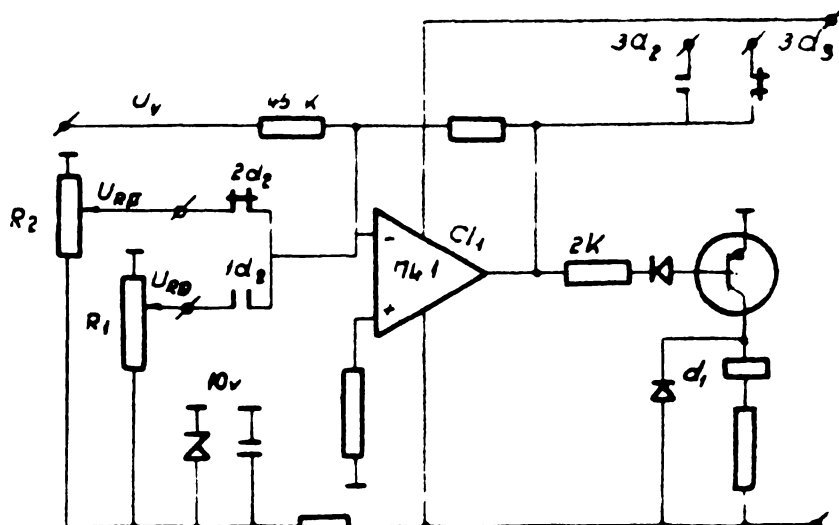


Fig.7.38

fig.7.38 este reprezentat prin potențiometrele R_1 și R_2 prin care se stabilesc mărimele de referință U_{RD} și U_{RP} pentru operațiile de degresare și semifinisare, respectiv pentru operațiile de finisare. În funcție de logica stabilită, unul din aceste semnale U_{RD} sau U_{RP} se compară în permanență cu semnalul cules de traductorul T_v din procesul de așchieră. Elementul care realizează în mod concret compararea mărimilor amintite este circuitul integrat CI_1 . Revenind la schema bloc din fig.6.13 corespunzător logicii stabilite în SCAVB apar două aspecte distincte și anume.

a)- casul cind amplitudinea undei vibratoare A transpusă în semnal electric U_v , captată de traductorul T_v , este mai mică decit mărimea de referință cu care se compară în blocul mărimilor de referință (semnalele U_{RD} sau U_{RF}); $U_v < U_R$ în această situație se apreciază că procesul se desfășoară linigtit iar valoarea vitezei este dictată de sistemul de bază fig.6.13 din condiția de economicitate, semnalul (-) fiind transmis la elementul ECV, prin care comanda la elementul de execuție CV se realizează din blocul de comandă al sistemului de bază [156] prin elementul V_t ce stabilește viteză economică. Acesta de fapt este cazul care trebuie să se păstreze în permanență în sistem și SCAVB are totuși acest scop.

b)- casul cind amplitudinea undei vibratoare prin semnalul U_v este mai mare decit mărimea de referință stabilită prin potențiometrele R_1 sau R_2 ; $U_v > U_R$. În această situație se apreciază că procesul de așchiere este instabil și conform același logici din cap. 6 semnalul rezultat din compararea în CI_1 este transmis prin contactele 3 d_2 sau 3 d_3 , ale releeelor d_2 și d_3 la elementul de execuție (acesta fiind o cutie de viteză pentru acționarea principală). Revenind la schema bloc din fig. 6.13, semnalul rezultat (+) nu mai este transmis la ECV ci la elementul de comutare EC. În acest caz în elementul ECV se realizează comutarea de pe blocul de calcul al vitezei economice V_t pe elementul V_{ef} care va comanda elementul de execuție CV după logica stabilită în SCAVB.

Din schema bloc fig.6.13 se observă că semnalul captat din proces se compară în EC respectiv în fig.7.38 în CI_1 , cu mărurile de referință din EMR care în schema din figura sunt potențiometrele R_1 pentru operațiile de degroșare cu mărimea U_{RD} și R_2 pentru operațiile de finisare cu mărimea U_{RF} . Comutarea semnalului din EMR pe circuitul de degroșare sau finisare se realizează prin elementul de selecție ES, iar pentru transmiterea semnalului la elementele de execuție se utilizează elementul de comutare EC, a cărui funcție este de a transmite semnal la elementul de acordaj pentru finisare EAV_P sau degroșare EAV_D și EAS_D. Comutarea celor două elemente ES și EC se realizează automat în funcție de valoarea forței de referință F_{sr} prin semnalul $U_{P_{sr}}$ [156] sau a vitezei V ; ce se vor compara cu $P_{sr_{min}}$ respectiv V_{cr} .

Schema de principiu a acestui element de comparare este prezentată în fig.7.39. Prin potențiometrul reglabil din figura valoile lui $P_{sr_{min}}$ ($U_{P_{sr_{min}}}$) sau $V_{cr}(U_{v_{cr}})$ care au următorul sens:

- Componenta P_{sr} reprezintă minimul forței de referință stabilită pentru cele trei cazuri de prindere a piesei: combinat, între virfuri și în universal [156]

și luată în considerare în cap.6. pentru prelucrările de degroșare. Sub acest minim $F_{sr} < P_{sr\min}$ au loc prelucrările de finisare la strunjire.

- În cazul vitezei, valoarea critică v_{cr} se consideră a fi valoarea vite-

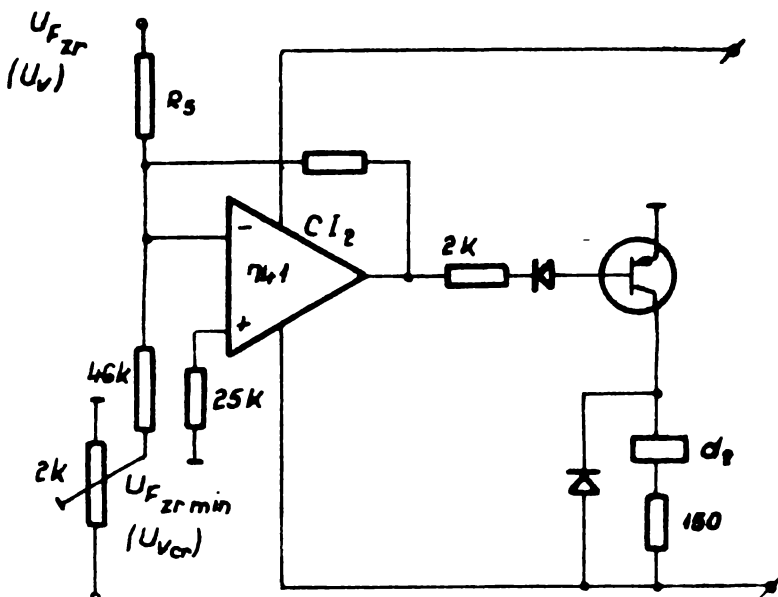


Fig.7.39

sei pentru care amplitudinea A este maximă ($v_{cr} \approx 180 \pm 250$ m/min). Conform celor stabilite în cap.4 pentru $v < v_{cr}$ procesul devine stabil și este cazul prelucrărilor de degroșare iar pentru $v > v_{cr}$ procesul devine de asemenea stabil, pentru prelucrările de finisare.

In cazul cînd procesul de așchierare este instabil, adică $U_v > U_R$ în ambele cazuri pentru degroșare sau finisare, comutarea mărimilor de referință U_{RD} sau U_{RP} pentru compararea cu U_v se realizează de către P_{sr} (v) acesta fiind parametrul care sesizează prin mărimea sa felul operației ce are loc (degrădere și semifinisare sau finisare). Casul cînd $P_{sr} > P_{sr\min}$ ($v < v_{cr}$) corespunde prelucrărilor de degroșare și în această situație (menținînd condiția de instabilitate înainte precizată; $U_v > U_R$) prin compararea celor două mărimi în CI_2 se transmite semnal la releul d_2 care conectează contactul 1 d_2 -fig.7.38 pentru compararea mărimii U_{RD} cu U_v și simultan cu acesta contactul $3d_2$ pentru a se transmită semnal spre elementul de execuție.

Cazul cînd $P_{sr} < P_{sr\min}$ ($v > v_{cr}$) corespunde prelucrărilor de finisare și în acest cas $U_{P_{sr}} < U_{P_{sr\min}}$ ($U_v < U_{v_{cr}}$) iar releul d_2 nemaifiind alimentat contactele normal deschise $1d_2$ și $3d_2$ revin la poziția inițială compararea în acest cas efectuindu-se pentru U_{RP} prin contactul normal închis $2d_2$ iar transmiterea semnalului la elementul de execuție se efectuează prin contactul normal închis $3d_3$. Din analiza schemei din fig.7.39 se observă că circuitul dintre CI_2 și d_2 materializează de fapt cele două elemente din schema bloc fig. 6.13 EC și ES.

Datorită faptului că vîteza de așchierare are o pondere însemnată

în evaluarea puterii la prelucrarea pe MU, pe circuitul de comandă pentru finisare acest parametru puterea, s-a introdus ca mărime limitativă, întrucât pe acest circuit stabilisarea procesului are loc

prin creșterea de viteză. În schema bloc din fig.6.13 se observă că în elementul RAV_p se introduce semnalul de la putere U_p care limitează creșterea de viteză dictată de SCAVB. Această limitare este materializată în blocul CAVB prin schema de principiu din fig.7.40. Puterea maximă admisă la arborele principal $U_{P_{max}}$ se stabilește prin potențiometrul R_3 iar puterea

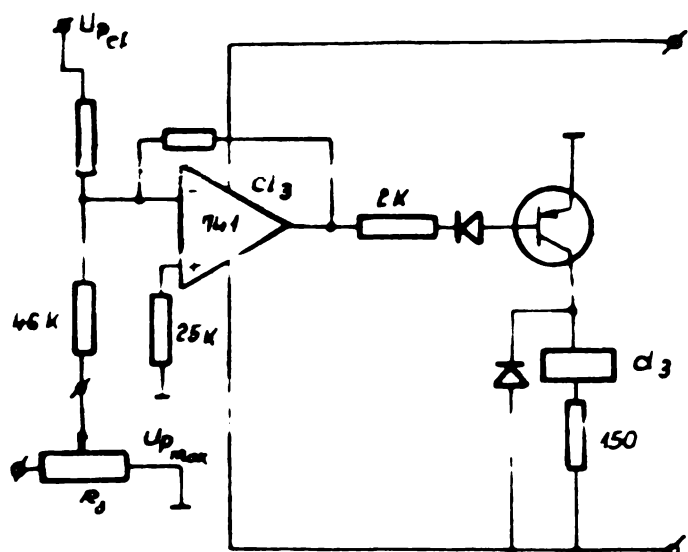


Fig.7.40

efectivă $U_{P_{ref}}$ transmisă de un element termic fixat în infășurarea statorică a motorului electric ^{pentru} actionarea principală se compară în permanentă cu $U_{P_{max}}$. În toate cazurile cind $U_{P_{ref}} > U_{P_{max}}$, SCAVB va acționa în sensul stabilizării procesului prin creșterea vitezei. Dacă însă prin creșterea vitezei v se depășește puterea maximă admisă la arborele principal, exprimată prin $U_{P_{max}}$ adică $U_{P_{ref}} > U_{P_{max}}$, prin elementul de comparare CI₃ se transmite semnal releului d₃, care comută contactul 3d₃ de pe poziția normal închis întrerupând semnalul ce se transmite din comparatorul CI₁ spre elementul de execuție. Prin compunerea celor trei blocuri de comparare s-a realizat schema

generală de principiu ce reprezintă logica SCA după su-tovibrății. În fig.3.41 este prezentată schema electronică a întregului bloc cu circuitele ce-l caracterizează.

Semnalul transmis de traductorul de vibrații (reprezentat în schema bloc din fig. 6.13) după ce în prealabil

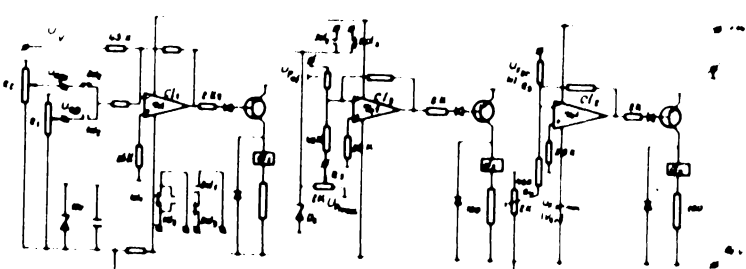


Fig.7.41

a fost amplificat intră în circuitul CI₁ utilizat ca bloc de comparare BC_A. Semnalul se compară cu mărimele de referință date de potențiometrele R₁ și R₂ corespunzătoare prelucrării de degresare sau de finisare. Comutarea circuitelor din blocul de comparare, pe finisare sau degresare se realizează cu releul d₂ prin cele două

kontakte, $2d_2$ normal închis pentru operațiile de finisare și $1d_1$ normal deschis pentru operațiile de degroșare și semifinisare. Comanda releului d_2 se realizează de la forță de referință cu CI_2 prin semnalul U_{Fzr} (v) ce se compară cu valorile inițial prescrise U_{Fzrmin} (v_{cr}). Contactul $1d_2$ normal deschis transmite semnal elementului de execuție atunci cînd $U_v > U_{RD}$ pentru $U_{Fzr} > U_{Fzrmin}$ ($v < v_{cr}$) acest caz corespunzînd fazelor de degroșare din proces. Cînd $U_{Fzr} < U_{Fzrmin}$ ($v > v_{cr}$) se produce comutarea de pe $1d_2$ pe $2d_2$ acesta corespunzînd fazelor de finisare. Logica se păstrează și în acest caz, adică pentru $U_v > U_{RP}$ din compararea celor două mărimi semnalul rezultat se transmite prin $3d_3$ la elementul de execuție; în ambele cazuri acesta fiind cuplajele electromagnetice ale actionării principale pentru schimbarea turăției, evident, combinația de comenzi a cuplajelor păstrînd logica stabilită.

În cazurile cînd este cuplat contactul $2d_2$ (deci pentru fazele de finisare) în sistem se compară și semnalul transmis de putere U_{Pef} , prin CI_3 . Sub acest aspect problema se pune în sensul comparării în permanentă a puterii echivalente prin semnalul U_{Pef} cu puterea maximă U_{Pmax} suportată de actionarea principală a strungului. Cînd inegalitatea $U_{Pef} < U_{Pmax}$ nu mai este respectată prin releul d_3 se deschide contactul $3d_3$ și prin urmare comanda la elementul de execuție este întreruptă.

Cele prezentate sunt legate de cazurile cînd semnalul $U_v > U_R$ (adică procesul este instabil), în majoritatea cazurilor însă $U_v < U_R$ adică, aceasta presupune că așchierea este liniștită și prin urmare comanda vitezei de așchiere se face prin sistemul de bază 156 din condiția de economicitate și deci contactele $1d_1$; $2d_1$; $1d_3$ și $2d_3$ realizează comutarea circuitelor de comandă pe sistemul de bază. În toate cazurile cînd procesul se desfășoară liniștit viteza de așchiere este cea economică V_T și ea este stabilită prin blocul de calcul din sistemul de bază [156].

Așa cum s-a stabilit, pentru cazurile cînd CA pentru SI nu funcționează stabilizarea procesului se poate realiza și prin reglarea avansului (sau a vitezei cînd mărimea de comutare este v_{cr}) în sensul cresterii sale. Această logică este valabilă pentru operațiile de degroșare, comanda realizându-se prin releul d_2 la $1d_2$ și $3d_2$ de unde printr-un element de comutare legat în circuitul SIA se transmite semnal la elementul de execuție pentru mecanismul de avans. În fig.7.42 este prezentat blocul pentru CA după autovibrării conținând circuitele integrate 1, releele 2, placa cu circuite integrate 3, rezistențele 4 și diodele 5.

Incercările efectuate pe simulator au confirmat logica stabilită ele realizând cu precizie comutările circuitelor de comandă pentru fazele stabilite. În fig. 7.43 se prezintă schema blocului de comandă pentru simulare în care se observă că pe ieșirile spre elementele de execuție au fost dispuse lămpile L și potențiometrele cu reglare manuală R_1 , R_2 , R_5 , R_6 și R_7 dispuse pe o placă separată.

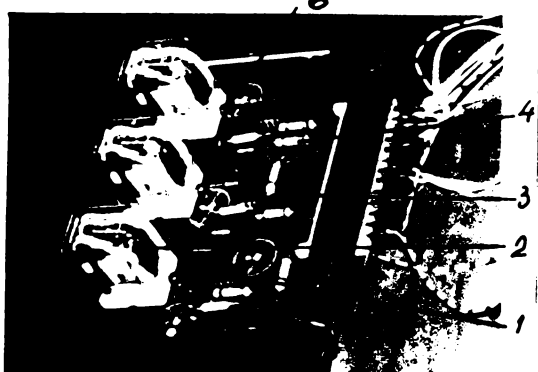


Fig. 7.42

Prin stabilirea și reglarea potențiometrelor pentru diferite valori U_R ale mărimilor de referință, $U_{P_{max}}$ pentru putere și $U_{P_{zr}}^{min}$ (v_{cr}) pentru forța de referință respectiv, viteza critică s-a realizat compararea în BC_A a semnalului U_V simulație pe un potențiometru P_7 , funcție de mărimea acestuia semnalele au fost transmise lămpilor L. În fig. 7.44 este prezentată o vedere generală a simulatorului

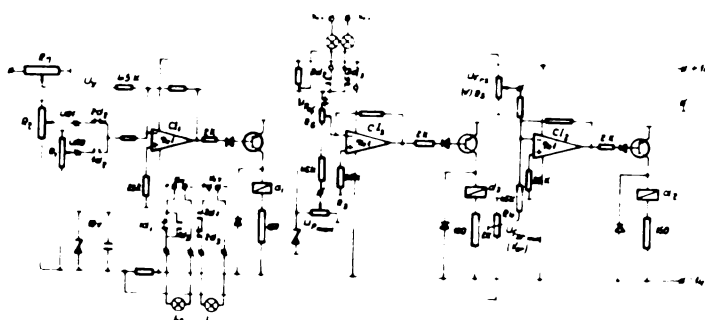


Fig. 7.43

pe care s-au efectuat încercările, unde se distinge blocul electronic de comandă 1 ce conține componente electronice menționate cu lămpile L și placă cu potențiometrele R_7 pentru semnalul de intrare U_V ; R_1 pentru mărimea de referință la degroșare U_{RD} ; R_2 pentru mărimea de referință la finisare U_{RF} ; R_5 pentru forța de referință $U_{P_{zr}}$ și R_6 pentru puterea efectivă $U_{P_{ef}}$. Se observă că, construcția acestui bloc este simplă ușor de realizat și adaptat pe orice strung ce oferă posibilități de reglare adecvate pentru acționarea de avans sau a mișcării principale.

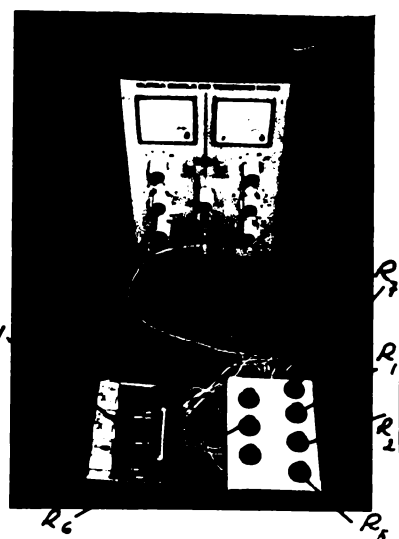


Fig. 7.44

BUPT

7.3.2. Cuplaj inductiv de comandă

Utilizarea acestui element a fost necesară pentru a se putea realiza comanda reglării avansului, care așa cum s-a mai specificat, este independent. Atunci cind ΣA după autovibrății lucrează fără SI (în care avansul era considerat parametru reglat) semnalul din BC_A se transmite acestui cuplaj inductiv CI care comandă variația mărimei avansului conform loziciei stabilite. Pentru prelucrarea de degresare în cazurile cind $U_V > U_{RD}$ semnalul rezultat din compararea în blocul BC_A - fig.6.13- având drept scop scoaterea procesului din domeniul de instabilitate.

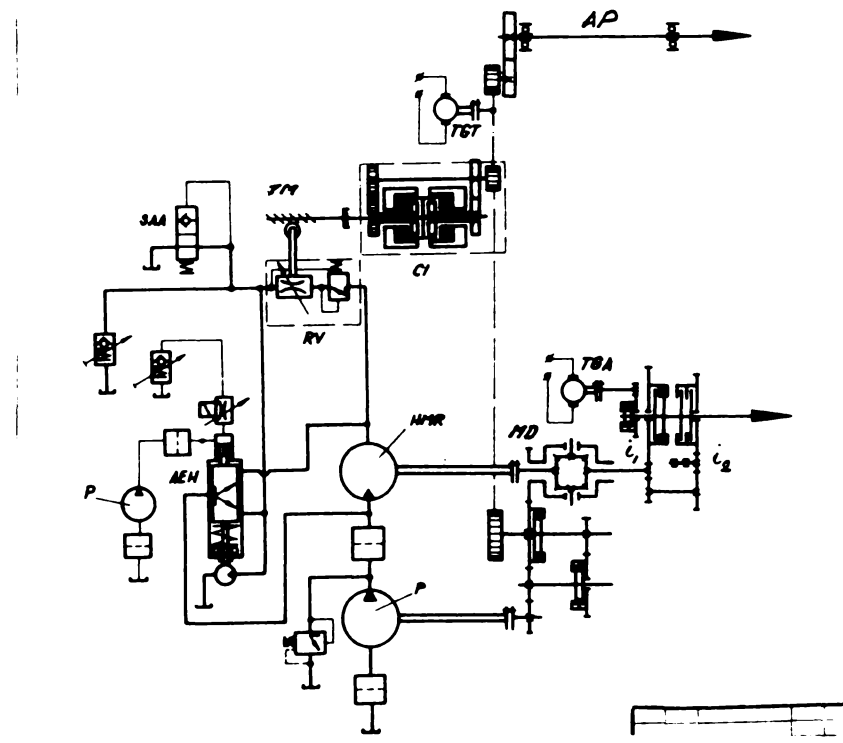


Fig.7.45

In fig.7.45 este prezentată schema de principiu după care se realizează acest reglaj. Semnalul din blocul de comparație BC_A se transmite la cuplajul CI a cărui mărime de ieșire (turație) prin intermediul unei transmisii mecanice TM realizează reglarea regulatorului de viteză RV din circuitul hidraulic al mecanismului de avans.

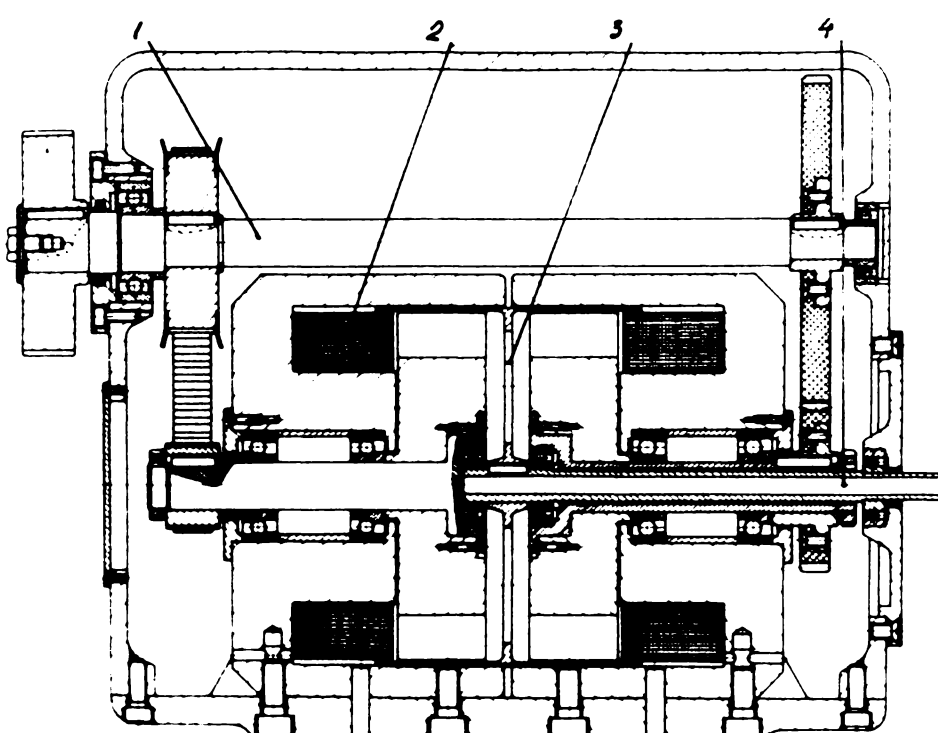


Fig.7.46.

Din figură se observă că reglarea continuă a avansului pe domenii, se realizează în mecanismul diferențial ND prin încumarea mișcării primită de la arborele principal AP și a mișcării introduse de hidromotorul rotativ HMR a cărui turăție se reglează cu regulatorul de viteză RV. Mișcarea rezultată din compunerea celor două mișcări se transmite elementelor de execuție (sanie longitudinală sau transversală) prin transmisia dințată cu raportul 1, destinată avansurilor mari. Schema prezentată este concepută și realizată prin contract de cercetare cu IS Arad și ICPMUA București la colectivul de NJ a facultății de Mecanică de la I.P.T.V. Timișoara și ca funcționată în condiții normale. Condiția principală pe care CI trebuie să o satisfacă este ca $M_r > M_{rez}$, unde:

M_r – momentul de rotație la arborele de ieșire din CI N.m

M_{rez} – momentul rezistent la arborele de ieșire din CI N.m

Acest element a fost proiectat la Facultatea de Mecanică a I.P.T.V. Timișoara și realizat la ICPMUA Filiala Arad 69 139. În fig. 7.46 este prezentată o vedere generală a CI în care sunt prezentate elementele constructive ale acestuia: 1 arbore de intrare, 2 bobine electromagnetice, 3 rotorul și 4 arborele din ieșire. Principalele caracteristici ce s-au urmărit prin construcția CI sunt momentul M funcție de tensiunea de alimentare U . $M=f(U)$ la diferite turății de intrare și turăția de ieșire n , funcție de tensiunea de alimentare U , $n = f(U)$. În acest sens s-a efectuat încercările CI în urma cărora s-a stabilit caracteristica de moment prezentată în fig.

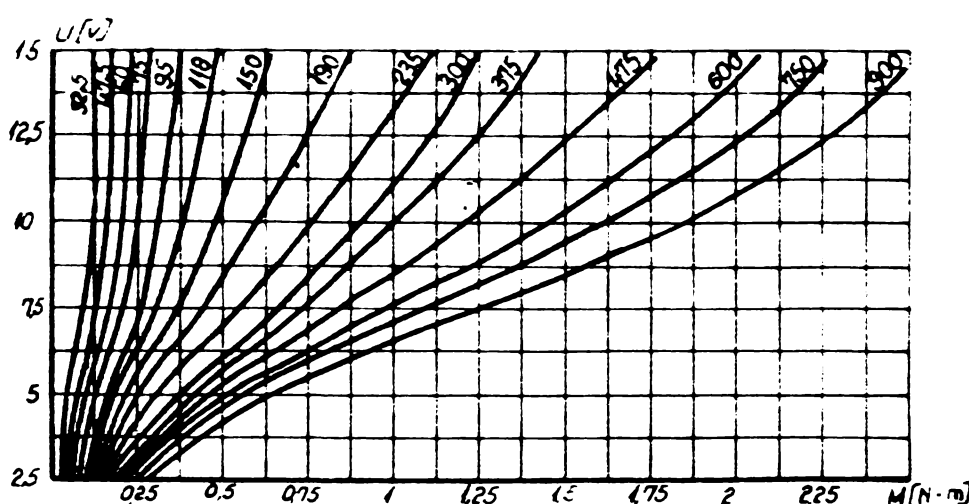


Fig.7.47.

In fig.7.48. se prezintă caracteristica de turăție din care se desprinde concluzia că la tensiuni de comandă mici alunecările sunt mari acestea reducindu-se pe măsură ce crește semnalul de comandă. Acest lucru este foarte bine ilustrat în înregistrarea prezentată în fig.7.49 în care se indică durata transitorii pentru

în urma căreia s-a stabilit caracteristica de moment prezentată în fig. 7.47 din care se observă că la tensiuni de comandă ridicate și turății de intrare mari este aproximativ liniară.

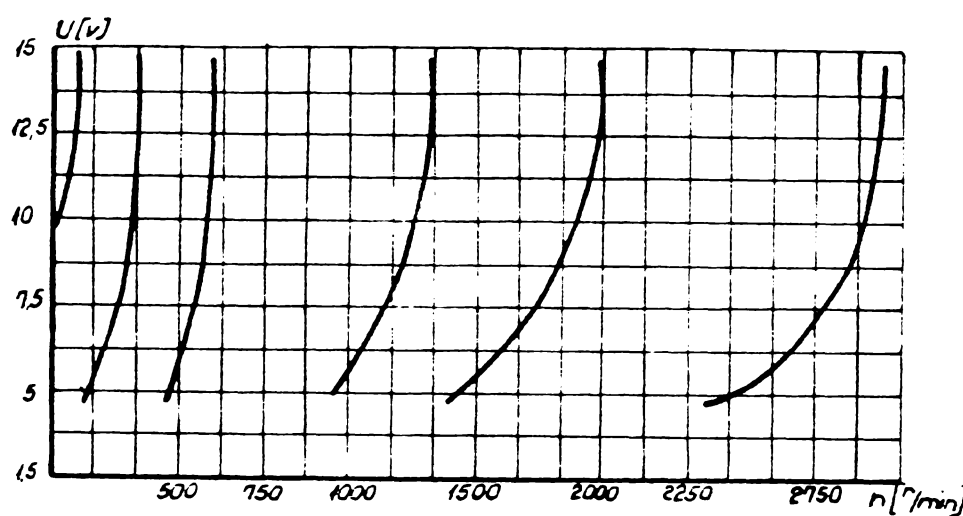


Fig.7.48

cări săt legate în primul rînd de aspecte ale automatizării și din acest punct de vedere CI corespunde cerințelor impuse, cel de al doilea aspect fiind legat de condițiile mecanice considerate satisfăcătoare și constructive pentru care acesta este considerat relativ complex. În fig.7.50 cu 1 s-a notat CI din care se observă modul de amplasare al acestuia precum și legătura sa cu regulatorul de viteză 2, dispus pe placă hidraulică. În figură este prezentată parte din spate a strugului model SP-630-NC - AC pe care s-a notat cu 4 parte de acționare a mecanismului de avans a căruia cinematecă este redată în fig.7.51

trei turări consecutivе ale arborelui principal, cu duratele transitorii corespunzătoare. Astfel pentru turărea de 63 r/min $T_1=0,341$ s pentru turărea de 90 r/min $T_2=0,305$ s iar pentru turărea de 125 r/min $T_3=0,27$ s. Concluziile desprinse în urma acestor încercări



Fig.7.49

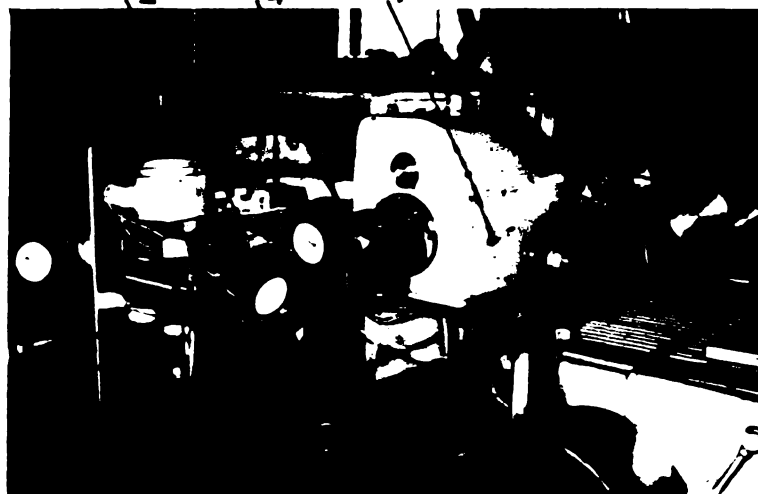


Fig.7.50

7.3.3. Considerații finale.

Cum s-a mai precisat SCA pentru a satisface condițiile impuse presupune operarea unor modificări structurale de esență în construcția strugurilor. În această ideie mecanismul de avans a fost esențial modificat în scopul satisfacerii condițiilor impuse, asupra acționării principale nefectuindu-se nici o modificare întrucât această

este construită cu cuplaje electromagnetice, dar sistemul prezintă dezavantajul că nu permite schimbarea din mers și sub sarcină a vitezei. Deși cuplajele electromagnetice permit schimbarea din mers și sub sarcină a turării, pe modelul amintit, acest lucru nu se poate realiza din considerente legate de sistemul de comandă al turărilor acționării principale. Aceste considerații sunt concretizate

pe modelul SP-630-NC-AC ce constituie contract de cercetare cu ICPMUA București și I.S.Arad [26] Pentru edificarea celor afirmate în fig. 7.51 se prezintă cinemateca mecanismului de avans în care se observă grupa A, atașată mecanismului de avans convențional din suprafața cu linie punct. Principalele componente în această grupă fiind 1 cuplajul inductiv, 2 mecanisme diferențial, 3 hidromotor

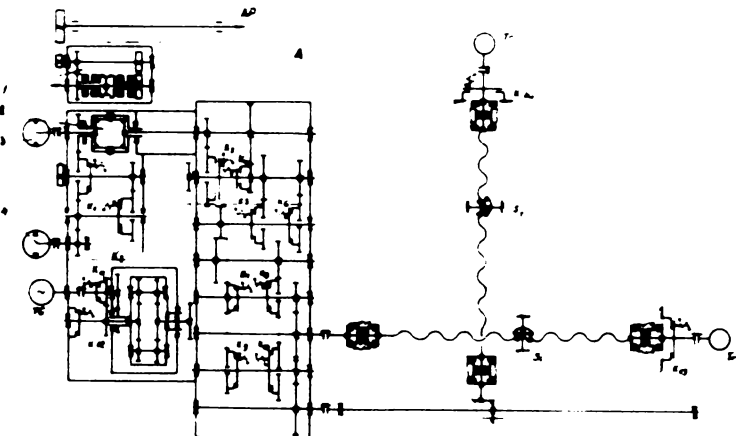


Fig.7.51

orbital tip OMP50 și 4 pompă de același tip ca hidromotorul 3.

In aceeași fig.7.47 este prezentată disperarea mecanismului de avans pe modelul de strung amintit, în care grupa A este partea de mecanism ce a fost atașată din considerațiile amintite în lucrare.

Aspectele abordate și tratate de prezenta lucrare sunt domenii de vîrf în construcția de mașini-unelte pe plan mondial, iar colectivul de mașini-unelte de la catedra de TCM a Facultății de Mecanică a Institutului Politehnic "Traian Vuia" din Timișoara are o preocupare constantă și cu rezultate bune în contextul ideii precise. Lucrarea a încercat să preciseze condițiile tehnologice în care poate fi utilizat un SCA după autovibrării precum și modificările structurale ce trebuie operate pe o mașină-unsală pentru realizarea acestui desiderat. Sistemul realizat este posibil de abordat pentru constructorii de MU din țară el neridicând pretenții deosebite pentru execuție.

Cap.8. CONCLuzii

- Apariția în timpul procesului de aşchiere a vibrațiilor autoexcitate (datorate exclusiv aşchierii) la frecvențe legate de frecvențele proprii ale structurii mașinilor-unelte, cum s-a arătat, poate avea diverse cauze. În majoritatea cazurilor ele sunt produse de variația periodică a forțelor de aşchiere, acestea în rîndul lor fiind provocate de modificarea parametrilor de care ele depind. Prezenta lucrare și-a propus drept scop să analizeze acești parametri, ponderea lor în stabilitatea procesului de aşchiere și în final comanda automată (CA) în scopul stabilizării procesului în funcție de intensitatea autovibrațiilor în combinație cu CA a regimului de aşchiere.

1. Pe plan mondial se cunosc puține SCA care să urmărească stabilizarea procesului după autovibrații și aceasta datorită complexității deosebite de factori și condiții de care trebuie să se țină seama în abordarea aspectului prezentat.

La colectivul de NJ de la Facultatea de mecanică a Institutului Politehnic "Traian Vuia" există o preocupare intensă în domeniul SCA. - ea constituie obiectul unei activități de mai bine de 22 ani - aceasta materializându-se în realizarea unor modele experimentale sisteme și, destinate, strugurilor normale și revolver, mașinilor de dantură, mașinilor de superfinisat, mașinilor de rectificat și mașinilor de cojitură bare aceasta din urmă constituind model industrial în exploatare. În comparație cu realizările similare la nivel mondial la care soluțiile de fond a SCA se reduc la programarea : forței (moment, putere) de aşchiere, sau la corecții ale avansului, soluțiile experimentale la I.P.T.V.Timișoara asigură o reducere sensibilă a programării, precum și o creștere a capacitații de producție și a preciziei de prelucrare. În ce privesc SCA care conduce procesul de aşchiere după vibrațiile autoexcitate, se apreciază că acestea sunt încă în fază de început. Soluțiile cunoscute la ora actuală pe plan mondial constituie un progres în domeniu dar ele nu satisfac pe deplin, cerințele impuse. Dintre sistemele cunoscute se desprind cele în care se folosește ca mărime controlată pentru SCA deformarea după direcția y a STE, datorită variației rigidității STE de-a lungul piesei de prelucrat. Reajunsul constând în plus și din necesitatea utilizării unor elemente de sesizare și de execuție de mare finitate și precizie.

Alte sisteme de SA utilizează ca mărime controlată raportul componentelor, P_x / P_y , prin parametrul s (avansul), fapt ce introduce dificultăți de natură tehnologică pentru trecerile finale. Cele mai bune rezultate au fost obținute prin variația adâncimii de aşchiere t , cu bascularea supertului portcūțit. Neajunsurile legate de acest procedeu constau în tiptii de basculare ce trebuie să rigoreze controlați, deoarece prin aceasta se realizează amortisarea în sistem în funcție de durata unei perioade a autovibrării. Posibilitatea introducerii în SA a unei instabilități datorată încăși procedeului, aceasta fiind legită de durata transitorii. Modificarea adâncimii t este un alt inconvenient care limitează utilizarea acestui procedeu în comanda SA. Din analiza sistemelor existente pe plan mondial, se poate aprecia că, în structura SA s-a urmat în principal soluționarea aspectelor specifice automatizării, respectiv realizarea unor sisteme cu buclă închisă, fără a se ține seama de condițiile tehnologice ce se impun în procesul de lucru și care de fapt constituie esența problemei pentru SA. În consecință la rezolvarea acestora s-a utilizat mărimea rugozității R_g ca mărime de referință, prin intermediul amplitudinii A , a autovibrării care transpusă în rugozitatea suprafeței prelucrate, conduce implicit la calitate și precizie. La noi în țară nu se cunosc încă preocupări în acest domeniu.

2. Soluțiile cunoscute pe plan mondial vinează în parte și comanda după parametrii regimului de aşchiere s , t și v , nici una încă nu a abordat și aprofundat sub aspect tehnologic implicațiile ce decurg din acceptarea uneia sau altuia dintre parametri ca mărime de comandă în SA.

Alegerea vitezei de aşchiere v ca mărime comandată pentru stabilirea procesului în SA în care încărcarea automată a MU se face utilizând mărimi de referință componenta " P_g ", a rezolvat în primul rînd aspectele de ordin tehnologic legate de precizia și calitatea prelucrării. Acest parametru a fost luat în considerare în cercetările efectuate de colectivul de MU de la I.P.T.V.T. el având un puternic efect de stabilire a procesului de aşchiere în toate casurile de prelucrare, degroșare, semifinisare și finisare. Atunci cînd sistemul de încercare automată este scos din funcțiune, pentru același scop se poate folosi ca mărime comandată avansul s , cu precizarea că este de evitat acționarea asupra acestuia în cazul operațiilor finale. Acești doi parametri au fost luați în considerare în analiza stabilității procesului de aşchiere după autovibrării,

lucrarea având meritul de a fi analizat și din punct de vedere tehnologic oportunitatea utilizării acestor parametri.

3. Deși pe plan mondial s-au obținut unele rezultate bune în încărcarea automată prin echiparea cu SCA a IJU, în majoritatea casurilor s-a păstrat o programare rigida a parametrilor regimului de aşchieri urmărindu-se menținerea unui parametru, forță, putere sau moment în anumite limite. Mai puțin s-a urmărit realizarea de SCA care să conducă la o stabilisare a procesului de aşchieri. În niciunul din cazuri însă nu se cunoaște (pe plan mondial nu este de seamă cunoscut) nici măcar ca soluție realizarea unui SCA care să cupleze cele două aspecte în același sistem; încărcarea automată și în același timp stabilisarea procesului de aşchieri. Lucrarea de față a analizat din punct de vedere constructiv și tehnologic posibilitatea construcției strungurilor cu SCA care să înglobeze cele două aspecte, realizându-se efectiv acest sistem pe modelul SP630-NC-CA. Încărcarea automată [156] urmărind forță de referință "F_{SP}" prin reglarea avansului s - strungul având avans independent - și stabilisarea automată a procesului prin reglarea vitezei de aşchieri și a avansului s, cind este scos din funcțiune sistemul de încărcare automată. În acest scop (la colectivul de IJ a I.P.T.V.T) s-a reconsiderat structura cinematică a modelului de strung utilizat, realizându-se o reglare continuă și independentă pentru mecanismul de avans.

4. Aspectele legate de CA după autovibrății au implicații directe asupra durabilității sculelor aşchietoare, acestea nefiind tratate în literatura de specialitate pînă în prezent. Deși lucrarea de față nu face o analiză detaliată și riguroasă a durabilității și comportării sculelor în cazul prelucrărilor cu vibrății, se fac cîteva referiri de esență la avantajele ce le oferă un proces de aşchieri stabilisat. În lucrare se stabilește și expresia matematică pe cît drulul parcurs de sculă în semifabricat lufindu-se în considerare elipsa de clasărilor și frecvența autovibrățiilor.

5. Multitudinea factorilor ce concordă la stabilisarea procesului de aşchieri, au condus la emiterea unui mare număr de ipoteze legate de natura autovibrățiilor și criteriile ce conduc la stabilitatea procesului. Multe din aceste ipoteze au luat în considerare, caracteristicile (STb), altele geometria sculei, o bună parte din acestea oprindu-se asupra parametrilor regimului de aşchieri. În mai mică măsură s-a analizat însă, influența și consecințele ce decurg din modificarea vitezei de aşchieri [29] [32] [102]. În acest

cas, în analiza stabilității, forțele de așchieri erau considerate ca o mărime constantă dată de raportul lor $\lambda = \frac{F_x}{F_y}$. Lucrarea de față însă, ia în considerare în ecuațiile de stabilitate a procesului expresiile matematice ale forțelor de așchieri reușind să apropie într-un grad mai mare expresiile matematice de cazul concret al prelucrării.

6. În toate cazurile cunoscute pînă în prezent analiza stabilității procesului de așchieri, folosind SCA s-a efectuat singular pentru cazuri isolate. Lucrarea de față realizează un program pe calculator prin care se pot stabili domeniile de stabilitate la prelucrarea pe strunguri, operație relativ simplă. Pentru utilizarea acestui program fiind necesară doar cunoașterea caracteristicilor dinamice a strungului și parametrii t și a regimului de așchieri.

7. Față de noile condiții cerute de SCA în care, așa cum s-a menționat, cercetarea s-a axat pe analiza riguroasă a aspectelor tehnologice, lucrarea de față stabiloște algoritmul (CA), expresiile matematice pentru acesta, întreg ansamblul de elemente de comandă și execuție fiind grefat pe modelul de strung SP-630-NC+CA.

8. Noile cerințe impuse de SCA au condus la operarea unor modificări structurale de esență în construcția strungului. Astfel că s-a impus ca necesitate obiectivă realizarea unui mecanism de avans independent, cu reglare continuă (studii și proiecte fiind realizat în colectivul de NJ de la I.P.T.V.Timișoara), folosind sisteme de acționare hidrostatice. Legat de acest aspect se poate specifica contribuția la studiul asupra mecanismului de avans cu acționare continuă, încercare tuturor elementelor hidraulice, proiectate în cadrul colectivului de NJ sau importate.

9. S.C.A. conceput și realizat în cadrul Facultății de Mecanică a I.P.T.V.Timișoara a presupus realizarea unui bloc electronic de comandă și comparare a mărimilor măsurate cu mărimile de referință, pentru măsurarea efectivă a vibrațiilor autoexcitate din procesul de așchieri utilizându-se traductori de deplasare de viteză sau accelerometrii utilizati de obicei în practica de producție, un exemplu în acest sens poate fi traductorul tip KD35a 04110 cu fixare magnetică.

10. Pentru realizarea desideratelor propuse așa cum s-a mai amintit, a fost necesar să se opereze în lanțul cinetic al mecanismului de avans, modificări de structură care să conduca la obținerea de avansuri în parte independente având posibilitatea regulării din mers și sub sarcină a mărimii acestea.

In acest scop s-a conceput, proiectat și executat un cuplaj de comandă inductiv prin care semnalul de intrare de natură electrică și mărime variabilă să realizeze ca mărime de ieșire o turăție proporțională cu mărimea de intrare, turăția de ieșire reglând un regulator de viteză din circuitul hidrostatic al mecanismului de avans.

11. Tinând seama de condițiile de stabilitate din proces, s-a analizat stabilitatea mecanismului de avans trăgindu-se concluzii importante în ce privește viteza de avans și încărcarea strungurilor în scopul evitării așa numitei mișcări de "stick-slip". În acest sens în lucrare s-au stabilit expresiile matematice ce definesc gradul de încărcare al strungurilor în scopul asigurării unei deplasări liniștite în avans de lucru.

Din considerentul mai înainte enunțat s-au determinat expresiile de stabilitate după avans din condiția de economicitate a regimului de așchiere.

12. În concluzie se apreciază că prezenta lucrare a analizat în mod critic stadiul actual în domeniul (SCA) a tras concluzii importante privind cota de participare a parametrilor v, α și t la SCA după autovibrații. În domeniul cercetării fundamentale a analizat aspecte ale usurii sculelor legate de drumul parcurs de scule în cazul așchierii cu vibrații, s-a reconsiderat expresiile forțelor de așchiere în ecuațiile matematice de stabilitate ale procesului de așchiere, precum și contribuția privind stabilitatea mecanismului de avans cu exprimarea matematică a acestuia din condiția de economicitate a regimului de așchiere. S-a luat în analiză și studiul stabilității dinamice a mecanismului de avans pentru care s-au stabilit expresiile matematice ale încărcării limită a mecanismului de avans. S-a proiectat și executat un mecanism de avans cu structură modificată față de cele cunoscute, folosind un sistem de acționare hidrostatic, s-a realizat un cuplaj inductiv pentru comanda mecanismului de avans, precum și un bloc electronic pentru comanda parametrilor din proces. A fost conceput și realizat un sistem de comandă adaptiv la vibrații SCA'3 (având ca mărime de referință mărimea microneregularităților R_z , iar ca mărime comandată viteza și avansul) cuplat cu un sistem de încărcare automată (SI). S-a urmărit și analizat capacitatea de acordare a (SCA) la caracteristicile unei MU concrete definite. Toate cele de mai sus (prezentate în mod succint în aceste concluzii) nu se cunosc a exista pe plan mondial, constituind deci contribuții originale, soluții direct aplicabile în construcția MU cu CA.

Față de problema abordată și de rezultatele obținute și prezentate în lucrarea de față, se apreciază că aspectele de fond pot fi luate în considerare de constructorii de mașini din țara noastră, dat fiind faptul că un astfel de SCA nu necesită elemente electronice și echipamente speciale. Ceea ce trebuie să se ia în considerare în acest caz este însă structura MU care trebuie să ofere posibilitatea reglării continue, din mers și sub sarcini a avansului și a acțiunării principale.

S I B L I O G R A P I E

1. ACERCAU A.S. - Calculul și construcția mașinilor unelte. (Traducere din limba rusă) Editura tehnică Bac. 1955
2. ALBU A. - Studii și cercetări asupra rigidității și vibrațiilor mașinilor-unelte în procesul de măchiere.-Buletinul I.P.Cluj nr.8-1965.
3. ALBINICĂU G.P. - Serhovatost i obrabotnoi poverhnosti pritancioiu trenii.-Tehnologia i avtomatisatia mașino-stroenia nr.12-1973.
- ✓ 4. AMOSOV I.C. - Tocinosti, vibrații i cistota poverhnosti pri tocarnoe obrabotke.-Maghis - 1953.
5. ARNOLD R. - Mechanism of Tool Vibration in Cutting of Steel.-The Engineer nr.4836-1945
6. BALACSI B.S. - Adaptivoe upravlenie stankami. - Mašinostroenie Zoskva - 1973.
7. BALACSI B.S. - Perspectivale utilizării sistemelor de comandă adaptivă la mașinile-unelte pentru comandă și optimizarea proceselor tehnologice.- Fertigungs technic und Betrieb Vol.21-Nr.10-1971
8. BARKIN B.P. - Vibratii i rejimi rezonante.- Izdatelstva Mašinostroenia - Moskva 1972
9. BARANOV V.I. - Probleme strukti pri tocenie vinskikh metalov.- Stanki i instrument nr.1-1963.
10. BAZOV B.M., JORUSKIN V.I.- Ustranenie ovtekolebanii pritokarnoe obrabotke a pomociu samoprioseobliaiucisca sistem upravlenie.-Stanki i instrument nr.4-1977
11. BENJAMIN ' .I. - Sisteme automate cu eșantionare.S. ' .I.-1967.
12. BERTHOLD H. - Beitrag sur Klirung der Entstehung selbsterregter schwingungen beim Drehen.-Industrie Anzeiger nr.98, 6 dez.-1960
13. BUDISAN N. - Automatizări și telecomenzi. Editura didactică și pedagogică - București 1968
14. BUZDUGAN Gh. - Măsurarea vibrațiilor mecanice . Editura tehnică - București - 1964.
15. CIUDIN I.N. - Povîsenie tocinosti i preisveditelnosti stankov. Moskva Mašinostroenie - 1970

16. CHIRIACESCU I. - Contribuții la studiul stabilității dinamice a proceselor de prelucrare pe mașinile-unelte așchierteare.Teză de doctorat-I.P.Brașov 971
17. DAMSKER D. - Principii și mijloace noi de automatizare a acțiunilor electrice.-Editura Academiei R.P.R.-1964.
18. DAVEK I. TLUSTI J.- Selbsterregte. Schwingungen an Werkzeugmaschinen.-Berlin VEB Verlag Technik-1962.
19. BEAC P. - Vibrăriile mașinilor unelte.- Editura tehnică București-19
20. DIACONESCU I. - Mașini unelte. Vol.I,II,III,IV- București Editura transporturilor și telecomunicațiilor 1962.
21. DICUȘIN V.A. RESTOV D.N.- Issledovanie kelebanii metalorejusocik stanov pri resanii metalloc-Moskva-1958.
22. DODON E. - Asupra reglării automate a regimului de așchiere la strugări.- Probleme de automatizare - București - 1960
23. DODON E. - Reglarea automată a regimului de așchiere la strugări.- I.P.Brașov și I.P.Timișoara-1960
24. DODON E. - Comanda adaptivă a mașinilor unelte.Material intern I.P.T.V.Timișoara-1973
25. DODON E. g.a. BASTIUREA G. - Comanda numerică a mașinilor unelte.Editura tehnico-București-1976
26. DODON E. - Colaborare la realizarea strugării normal cu comandă program. Contract cu I.C.P.M.U.A. București-1973.
27. DODON E., SUREA P.g.a.- Studii asupra dezvoltării actuale pe plan mondial a mașinilor unelte cu comandă adaptivă Contract cu I.C.P.M.U.A.București-1972
28. DODON E., URDEA G. - Lucrări de laborator la mașini-unelte. I.P.Timișoara Facultatea de Mecanică-1969.
29. DODON E., URDEA G. - Studiul echilibrării hidrostaticice a dreselelor cu fântă transversală. Sesiones de comunicări I.P.T.V.Timișoara-1970.
30. DODON E., g.a. - Mașini unelte. Editura didactică și pedagogică București-1970.
31. D.W HERTOG G.P. - Forced vibration with combined Coulomb and Viscoelastic Friction.Transactions of the ISME-ANM - 33-2-1955.

32. DODOC P. - Fenomene de rezonanță la axele principale ale mașinilor asupra preciziai de prelucrare la strunjire. Studii și cercetări de mecanică-Tom 28, nr.2-1969.
33. DODOC P. - Mecanismul transmiterii vibrațiilor la suprafața piesei în procesul de strunjire. Studii și cercetări de mecanică aplicată-Tom 27, nr.5-1965
34. DODOC P. - Strunjirea de înaltă precizie. Editura tehnică București-1970.
35. DOI S. KATO S. - Shatter vibration of Lather Tools. Transaction of the ASME-V78, nr.5-1956.
36. DRAGHICI G. - Bazele teoretice ale protecțării proceselor tehnologice în construcția de mașini. Editura tehnică București-1971.
37. DRAGHICI G., CHIRIACESCU I. - Contribuții la calculul durabilității sculei și al regimului de aşchiere. Buletinul I.P.Brașov - vol.I - 1968
38. DRAGHICI G. - Studiul preciziai de prelucrare la strunjirea de finisare cu cuțite armate cu plăcuțe minere-loceramice. Metalurgia și construcția de mașini, nr.7 - 1961.
39. DUCA I. - Bazele teoretice ale prelucrării de mașini unelte. Editura didactică și pedagogică, Buc.-1969.
40. EFREMOV I.P., SNEIDDE I.B.- Calitatea suprafețelor prelucrate. Referatele celei de a II-a Conferință din Leningrad 1955.
41. EISELE P.T., GRIFFIN R.T.- Schwingungseigungen auf gedrehten Oberflächen. Industrie Emseiger, nr.36-1956
42. ELIASBERG N.E. - Ob ustoicivosti protesa rezania. Investia AN, SSSR, OTN -nr.9-1958.
43. ELIASBERG N.E. - Raschet metalorejuscii stancov na ustoicivosti protesa rezania. Stanki i instrument, nr.3-1959.
44. ELIASBERG N.E. - Absalintnaia vibroustoicivosti metalorejuscii stancov po scorostii rezania. Stanki i instrument, nr.4-1966.
45. ELIASBERG N.E. - Osnovi teorii autocolebanii pri rezanie metalov. Stanki i instrument, nr.10-1962.
46. GAVRILAS I.Ş.Ş. - Tehnologia pieselor tip arbore, bucsă și disc pe mașini unelte clasice și cu comandă program. Editura tehnică, București-1973.

47. GHINDIU N.I. - Problema invarianțării și uprovlenia uprugimii permutării sistemelor S.P.I.D. Tehnologia - 1965.
48. GIBSON I.E. - Sisteme automate neliniare. Editura tehnică București-1974.
49. GILLE I.E. - Teoria și calculul sistemelor de reglare automată. Editura tehnică, București-1962
50. GORUŞCHIN V., PIGERT G. - Adaptive Regelungssysteme mindern die Ratterneigung beim sahen. Maschinenbau-technic, nr.11-1976.
51. GUSKO B.S. - Vlianje sil trenia pokeia i seolojenia na vozmichovenia vîseocociastotnii avtokolebania", Stanki i instrument, nr.6-1967.
52. HAHN R.S. - Reducerea vibrațiilor mașinilor unelte. Caiet selectiv - Mașini unelte și prelucrarea metalelor, nr.18-1968.
53. HALANAY A. - Teoria calitativă a ecuațiilor diferențiale. Editura Academiei, București-1963.
54. HAMBURGER L. - Teoria vibrațiilor și aplicația ei în construcția de mașini. Editura tehnică, București - 1958.
55. HARKEVICI A.A. - Avtokolebania Moskva-1953.
56. HARRIS C.M., CREDE C.E. - "Socuri și vibrații. vol.I,II,III, (Traducere din l.engleză) Editura tehnică, București-1969.
57. HAYDU G. - Egyetemes esztargo reszére és méréségről mérési modszerei. SZIMPI - 1976.
58. ILINSKI V.S. - Isolarea mașinilor unelte contra vibrațiilor Stanki i instrument, nr.5-1957
59. ILNITKI I.I. - Princíp avtokolebania restov. Voprosy tehnologii masinostroenia-Vip.63,Maşghis-1956.
60. ILNITKI I.I. - Kolebanie v metalrajuscích. Stankah i puti ih ustranenia. Sverdlovsk, Maşghis - 1958.
61. ISAEV A.I. - Proces obrasovania poverhnost'noye slojia pri obrabotke metalov resaniem. Maşghis-1950.
62. ISAEV A.I., ZORER N.N.- Aschierea metalelor cu scule armate cu plăci miniraloceramice. Editura tehnică, București-1954.

63. ISAEV A.I. - Microgeometria poverhorosti pri tokarnej abraborke. Moskva-Leningrad-1950.
64. KAMINSKAIA V.V. - Vibroizolacia pretizionfi stankov. Stanki i instrument, nr.11-1964.
65. KAMINSKAIA V.V. - Rascet kolebanie nesučich sistem stankov raha-diašcihsia pod deistviem impulsnfm vozmusčienic. Stanki i instrument, nr.12-1966.
66. KAPAJIOTIDIS N. - Adaptive Control (AC). e.t.-z in Fertigung, nr.63-1973.
67. KASIRIN A.I. - Isledovanie vibratii pri rezanii metalov "izd-va, AN, SSSR - 1944.
68. KLUSIN M.I. - Rezanie metalov. Masghiz-Moskva-1958.
69. KLUBNIKIN P.F. - Bistrodistvuiuscie inductivnoee muftiv sistemah avtomaticescovo regulirovania. Moskva-1962.
70. KOPELOVICI A.P. - Sisteme de reglare automată. Editura tehnica. Bucureşti-1963.
71. KROHIN A.G. - Primenenie restov iz splava TM332 pri tonkom rastacivanie. Stanki i instrument, nr.8-1964.
72. KRIVANHOV V.A. - Visokociastotnie vibratii resta pri tocenii. Oboronghiz-1954.
73. KRIVANHOV V.A. - Dempfirovanie poverhnostnih sloev metala v protise rezania. Maşghiz-1945
74. KRONENBERG M. - Grundzüge der Zerspanungslehre Springer - Verlag-1954
75. KUCINEA L.K. - Isledovanie kolebanii metalorejučih stankov pri rezanii metalov. Moskva-1958.
76. KUDINOV V.A. - Dinamica maşinilor unelte. Editura tehnica, Bucureşti-1970.
77. KUDINOV V.A. - Teoria vibratii pri resanfi. Peredovaia tehnologija masinostroenia, isd-va, AN, SSSR - 1955.
78. KUDINOV V.A. - Dinamiceskaia harakteristica protesa suhova treniia. Riga, itd-va, AN, Latv.SSSR-1961.
79. KUDINOV V.A. - Dinamiceskaia harakteristica rezania. Stanki i instrument, nr.10-1963.
80. KUDINOV V.A. - Ustranenie vibratii pri rastacivanie konsolnimi borstangami. Stanki i instrument, nr.12-1958.
81. KUDINOV V.A. - Metodi ustranenie vibratii poperecino strogal-novo stanka. Stanki i instrument, nr.5-1950.
82. KUDINOV V.A. - Ispitanie stanka abşcevo naznacenja na vibro-ustoicivosti pri rezanie. Stanki i instrument nr.7-1965.

83. KUDINOV V.A. - Avtokolebanie pri rezanie s neustoinim naro-
stom. Stanki i instrument, nr.7-1965.
84. KUDINOV V.A. - Ecsperimentalnoe isledotvorie nelineinosti dinamicevcoes haracteristiki protisa rezania. Stanki i instrument, nr.11-1978.
85. LEVINA Z.M. - Isledovanie i rascet jestkosti napravliaiuscih cacenja. Stanki i instrument, nr.11-1961
86. LEVINA Z.M. - Rascet contractnih deformatii napravliaiuscih. Stanki i instrument, nr.1-1965.
87. LEVINA Z.M. - Rascet polzunov metalorejuscich stankov. Stanki i instrument, nr.12-1956.
88. LEVIT G.A. - Govertseestvovanie metodov smaski napravliaiuscih mehanizma podaci. Stanki i instrument, nr. 11-1961.
89. LEVIT G.A. - Rascet napravliaiuscih mehanizma podaci po haracteristicam trenia. Stanki i instrument, nr.1-1962.
90. LING Ch.C. - Einstelbare Dämpfungs vorrichtung beseitigt Schwingungen. Machinery N.Y.76-nr.5-1970..
91. LOKOTOS B.N. - Isledovanie regimov raboti spetsializirovaniava tiajelnovo tokarnovo stonka. Tehnologhia i avtomatizacija mašinostroenia, nr.12-1973.
92. LALADZE T.N. - Strujkobrazovanie prirezanie metalov. Masghiz-1952.
93. LURIE B.G. - Masla abespecivaiuscie ravnomernosti podaci stolov stankov. Stanki i instrument nr.7-1960
94. LURIE B.G. - Koeffitienti trenia materialovdlia napravliaiuscih stankov. Stanki i instrument, nr.3-1959
95. LURIE B.G. - Primenenie teorii podobia dlia rasceta metalrjuscich stankov na ravromernosti podaci. Stanki i instrument nr.11-1962.
96. MAKAROV A.D. - Iznos i stoikosti rejuscich instrumentov. Moskva, Mašinostroenia-1966.
97. MAKAROV A.D. - Razmernie iznos stoikosti rezov pritocenie zakalenih stalei. Stanki i instrument, nr.9-1972
98. MARKIN E.A. - Uprugie deformatia & vibronastoicivosti sistemi S.P.I.D. Stanki i instrument, nr.4-1968
99. MAZOND M. - Stade actuel et perspectives de la comande adaptive en turnage.GAMIISMCM, iunie-1971.

100. MAYER I. J.a. - Numerische Steuerung mit Adaption an werkzeugmaschinen. VDI, nr.7-1972.
101. MURASCHIN L.S. - K voprosu o vosprijenii avtokolebanii na metalejuscih stankah. VSB., Trudi LPI, nr.191, Masinostroi - Maşghis - 1957
102. NAVRATKI B.S. - Opredelenie zavisimosti stoikosti instrumenta ot rejimov rezania pri pomoći matematiceskoj metoda, planirovania eksperimentov. Tehnologija i avtomatizacija mašinostroenia, nr.12-1973
103. NEAGOE B. - Comanda adaptivă a turării la mașinile de frezat orizontale. Teză de doctorat - 1978
104. OPITZ H. - Maßnahmen zur wirtschaftlichen Erzielung und Erhaltung der Fertigungsfähigkeit von Werkzeugmaschinen. Industrie Anzeiger, nr.62; 2, aug-1960
105. OPREANU A. - Sistemele hidraulice ale maşinilor unelte Editura tehnică, Bucureşti - 1965
106. PICOS C. - Calculul adusurilor de prelucrare și a regimurilor de aşchiere. Editura tehnică, Bucureşti 1971
107. PODURAEV V.N. - Ispolzovanie avtokolibanií dlia droblenia strujki. Stanki i instrument, nr.1-1963
108. PODURAEV V.N. - Vibratiionnoe rezanie pri tocenie metalov. Stanki i instrument, nr.12-1959
109. PORIS I.U. - Izmerenie vibratii. Moskva 1956.
110. PUS V.E. - Rascet napravliajuscih na jidkostnoe trenie. Stanki i instrument, nr.9-1952
111. RADES N. - Probleme actuale ale măsurării vibrațiilor pe mașini unelte. Prima Conferință națională de mașini-unelte, Bucureşti - 1973
112. RADES N. - Metode dinamice pentru identificarea sistemelor mecanice. Editura Academiei RSR-1979
113. RADISCH B. - Strunjirea cu comandă numerică și cu comandă adaptivă. TZ für praktische metallbearbeitung, vol.65, nr.4, apr.-1971
114. RADOI D. - Elemente de vibrații mecanice. Editura tehnică Bucureşti-1969
115. RESETOV D.N. - Dämpfieren von Kolebanií v detailech stankov. Maşghis - 1958
116. RESETOV D.N. - Rascet stankov na kontaktmaju jestkosti. Stanki i instrument, nr.1-1951

117. RIBKOV G.M. - Ispolzovanie sil rezania dlia kreplenia regusich elementov. Stanki i instrument, nr.6-1962
118. RIJKOV E.V. - Vlianije rejima rezania i deformația restă. Stanki i instrument, nr.4-1961
119. RUBINSTEIN V.R.- Gagenia vibratii pri tocenie metodom rezanie. Stanki i instrument, nr.9-1968
120. RUSU S. - Autovibratiile proceselor de prelucrare mecanică. Teză de doctorat - 1974
121. RUSU S. - Asupra stabilității sistemului dinamic nelinian al mașinilor-uelte, la așchierea metalelor temne, Construcția de mașini, nr.1-1975
122. SALIE E. - Seef - Excited Vibrations of systems with two degrees of freedom. Transation of the ASMC, vol.78, nr.4-1956
123. SANDU G. - Ghidajele mașinilor unelte. Editura tehnică, București - 1967
124. SAVANT C.I. - Calculul sistemelor automate. Editura tehnică, București - 1967
125. SAVII G. - Tehnologia construcțiilor de mașini. Editura didactică și pedagogică, București-1968
126. SILAS G. - Vibratii mecanice. Editura didactică și pedagogică, București-1968
127. SLEZINGER I.N. - Raschet mehanizmov podaci na plavnosti peremescenia. Stanki i instrument nr.10-1956
128. SNEPS V.A. - Issledovanie vlianija stupeiatova ismenenia skorosti rezania na ustoicivost. Vap.din. proci, nr.20-1970
129. SOKOLOVSKI A.P.- Bazele științifice ale tehnologiei construcțiilor de mașini. Vol.I,II (Traducere din l. rusă) București-1955
130. SOKOLOVSKI A.P.- Tocnosti mehaniceskaia obrabotki i puti ee povigienia. Masghiz -1951
131. SOLOMENTEV I.M.- Optimizația protesa obrabotki s pomociu adaptivnoi upravlenia iz nosom instrumente. Stanki i instrument, nr.8-1974
132. SPUR G. ș.a. - Adaptives System für Drehmaschinen zeitstrift für wirtschaftliche. Fertigung-1971
133. STEINBERG I.S. - Ustranenie vibratii voznikaiuscih pri rezanii metalov na takarnom stanke. Masghiz-1947

134. STÖPERLER TH. - Vermeiden von Ratterschwingungen durch periodische Drehzahländerung. Werkstatt und Betrieb 105, nr.10-1972
135. STUTE G. - Eine Adaptive - Control- Einrichtung für Drehmaschine. Industrie Fertigung, 62-1972
136. SURU P. - Influența parametrilor regimului de aşchieră asupra intensității autovibrățiilor. Sesiunea de Comunicări - I.P.T.V.Timișoara-1977
137. SURU P. - Stabilitatea la autovibrății după viteză la aşchieră pe strunguri. Sesiunea de Comunicări I.P.T.V.Timișoara - 1978
138. SURU P. - Stabilitatea la autovibrății după avans la aşchieră pe strunguri. Sesiunea de Comunicări, I.P.T.V.Timișoara - 1978
139. SURU P. - Cuplaj inductiv de comandă. Sesiunea de Comunicări I.P.T.V.Timișoara - 1979
140. TEODORCIC K.P. - Avtokolebania sistemî. Moskva - 1952
141. TIMIREAZEV V.A.- Povišenie tecnosti tokarnoi obrabotki putem regulirovania staticeskoi nostroiki. Stanki i instrument, nr.6-1967
142. TLUSTII I., POLACHEK W.- Exemple de corectarea vibrățiilor auto-exitate a mașinilor unelte Der Maschinenmarkt nr.3-1959
143. TLUSTII I. - Avtokolebania v metalorejuscích stankah, Mašghis - 1956
144. TLUSTII I., POLACHEK W.- Teoria autooscilațiilor care apar în timpul prelucrării și calculul de stabilitate al mașinilor unelte. Mașini-unelte și scule, nr.3,4-1956
145. TOBIAS A.S., FISHWICH W.- The catter of Lathe tools under orthogonal Cutting condition. Transaction of the ISME, vol 80. nr.5-1958
146. TOBIAS A.S. - Schwingungen an werkzeugmaschinen. Carl Hanser Verlag, München-1961
147. TOMINARI N. - Analytical Method in Machine-Tools Vibration- Metod for Analogue Computer, ISME-vol.14, nr.71, mai-1971
148. TOLOCIKOV I.A. - Immenie set rezania pri ismose instrument. Stanki i instrument, nr.10-1968

149. TURICIN A.H. - Măsurarea electrică a mărimilor meelectrice. Editura tehnică Bucureşti-1968.
150. VASILENKO N.V. - O rascite avtokolebanii pri rezanii metalov. Prikladnaia mehanika, tom III, nr.6, Kiev-1967
151. VAZACA C. - Analiza și sinteza sistemelor automate liniare. Editura tehnică, București-1968
152. VEITS V.L. - Dinamika stanocinovo privoda pri rezanii i vibode instrumenta. Stanki i instrument, nr.1-1964.
153. VEITS V.L. - Rasciot mehanismov podaci tiajolih stankov na plavnosti i ciastvitnosti peremescenia. Stanki i instrument, nr.3-1958
154. VISTO R. - Studio e relieva delle vibrazioni autoaccitate su formi paralceli. Machine utensili, nr.3-1955
155. VALKHART G. - Regelungstechnische Untersuchungen zum Problem der Ratterdämpfung durch Tatzeitvariation am Beispiel der Dechmaschine, Berlin-1976
156. VONICA C. - Stabilirea automată a încărcării pe strung. Tesă de doctorat - 1977
157. VORONOV A.A. - Elementele teoriei reglării automate. (Traducere din l.rusă) Bucureşti-1957
158. WIMFERS O. - Tehnica reglării automate - 1965
159. ZADEC L.A., POLAC E. - Teoria sistemelor. Editura tehnică, Bucureşti-1973
160. ZARS V.V. - Ustoicivosti i avtakalebania sistem s dvumia stepeniami svobodi i zapasivaniem vneseni sil po skorosti. Vop. din. poci. nr.14-67
161. ZOREV N.N. - Voprosi mehaniki protesa rezanii metalov. Maqghis - 1956
162. ZOTOVA L.K. - Issledovanie raboty restov s mnogogroznymi tvordosplavnimi plastinkami. Stanki i instrument, nr.6-1965
163. x x - Catalog, firma Brüel Kjar
164. x x - American standar Metods for the calibration of shock and vibration, Picups S. 22-1960. American Standards Association
165. x x - Organe de masini-Standarde și comentarii, Col.I, Editura tehnică, Bucureşti-1970

166. x x - Amortizarea vibrațiilor mărește productivitatea mașinilor unelte. Machinery, nr.1-1967
167. x x - Mazak - Turning. Center "R" canbe used as Adaptive Controlled NC lathe. Prospect Aichi Prof. Japonia
168. x x - Documentație tehnică, strung SP-630-NC. ICPMUA București.
169. x x - Isledovanie colebanii metalorojusciih stankov pri rezanii metalov. Sub redacția lui V.I.Dicușin, Moskva-1958
170. x x - Instalație de comandă adaptivă geometrică la mașinile unelte. Industrie Anzeiger, nr.87-1972
171. x x - Adaptive Steierung. AEG, Adaptive Sistem AEG. Prospect Adaptic, 100, 200, 300.
172. x x - Adaptive Control Versuch einer einheitlichen Begriffsbestimmung. wt-s ind.Fertigung, nr.11-970
173. x x - Mașini unelte japoneze. Werkstatt und Betrieb, nr.5-1974
174. x x - Adaptive Steierung. Prospekt Drehmaschin Type V 800 NC+CA, Boehringer-VDP
175. x x - Strunguri normale tip SMA 500. Cartea mașinii, Arad-1972
176. x x - Noteours hidralique et accesoire. Catalog DANPOS, Danemark-1975
177. x x - Development of adaptive control techniques for numerically - controlled milling machines. The Benolix corporation Michigan-1964
178. x x - GP Information K.D.M-Georges Fischer, Societe Anonime, Schaffhouse (Suisse)nr.12 Oct.-1968
179. M.I.KOVALI, A.V.KOROBKO. - Adaptivnaia sistema upravlenia s organicheniem avtocolebanii stanka. Stanki i
180. E.DUDON - Însemnată pe 1989 pentru stabilirea automată a avansului la strunguri înve...ie, Certificat autor Nr. 57436.